GDAC Float Anomalies Monitoring

February 2021

Christine Coatanoan-Girou

Coriolis

NOTES

NOVEMBER 2017

§- (From last week of October) New version for the message sent to each DAC operator, information can be found on the vertical sampling scheme (only the beginning of the text), for instance :

DAC_CODE,PLATFORM_CODE,CV_NUMBER,DATE_UPDATE,DIRECTION,WEB_URL,PARAMETER,START_IMMERSION,STOP_IMMERSION,OLD_QC, NEW_QC,VERTICAL_SAMPLING_SCHEME

AO,3901276,8,26/10/2017 00:00:00,A,http://www.ifremer.fr/co-argoFloats/station?stationId=54124442 ,PSAL,.96,.96,1,4,Primary sampling

AO,5904770,104,26/10/2017 00:00:00,A,http://www.ifremer.fr/co-argoFloats/station?stationId=54124471 ,PSAL,6.15,1997.6,1,3,n/a

DECEMBER 2017

§ A bug has been found in the message for the pressure, when a QC is changed this is the index and not the real value that is recorded in the message for START and STOP Immersion. The correction will be applied very soon.

§ New information in chapter 13 Automatic tests : it seems that for the near-surface data, the automatic tests are not taken into account as described in the Argo Quality Control Manual for CTD and Trajectory Data (see §2.5 test 21 & test 22). Strange profiles are also observed and it seems that the cutting between profile and trajectory data is not well applied.

January 2018

During few days in January, no information was available in the message regarding the parameters and QC then the message was like :

BO,3901951,11,08/01/2018 00:00:00,A,http://www.ifremer.fr/co-argoFloats/station?stationId=54612977 ,,,,, ,Primary sampling

The problem has been resolved rapidly.

May 2018

A little bit more anomalies due to analysis of blacklist sent by CLS.

July 2018

More anomalies have been listed, due to the 'DM Analysis' checks for the CORA dataset. Consequently old profiles have been detected for corrections and some can be in data mode D. A new approach has also been implemented (Min/Max : method developed by Jérôme Gourrion) and is now running in the Coriolis exploitation for improving the quality control.

March 2019

A new table has been added with a list of floats showing a suspected drift, observed in the month. (feedback from Delphine Dobler/Coriolis)

April 2019

Re-organization of the report

June 2019

Many anomalies were detected following the return of the work done by the CORA team.

September 2019

Many anomalies were detected after processing new spike test (test performed on DM files, resulting in many anomalies detected on DM profiles).

October 2019

Many anomalies were detected after processing new spike test (test performed on RT files, resulting in many anomalies detected on RT profiles).

November 2019

Many anomalies were detected after processing MinMax method on the retroactive years (till end of 2014).
The list describing the floats has been divided in 2 parts : one for files with data_mode = 'A' & 'R', an other for data_mode='D'.

February 2020

More information in the first table with failure type, first cycle of smooth or hard failure.

March 2020

DM - Take care, some D files have a good correction on adjusted parameter (most of the time QC4 and Fill_Value) but in real time, QC1 is always kept instead of QC3 or 4. See in Argo Quality Control Manual For CTD and Trajectory Data (Version 3.3) : §3.1. Editing raw qc flags in delayed-mode.

April 2020

The first table has been slightly reorganized to highlight the new floats for which drift has been detected. The others are left under the banner "Previous reports" and indicate those still detected by the anomalies (not yet in grey list). At the end, a new category indicates the floats for which the DAC operators do not agree although these floats still appear in the anomalies.

October 2020

The first table has been reorganized to move, at the end, the floats that have been present in the table in the previous month and that have been put in grey list.

November 2020

The first table has been reorganized to remove from the previous months part, all the profiles which have not been detected in alert for the last 5 months (greylisted by DAC ? dead floats ? no more drift ?).

Summary

1. Anomalies of Argo profiles – Suspected drift

This table shows a list of floats showing a suspected drift/bias, observed in the month. (feedback from Coriolis).

DAC	WMO	PI	First station in alert	First cycle in alert	Last Station in alert	Last cycle in alert	Description	SENSOR_MODEL	SERIAL_N°	Failure_Type for Coriolis DB (1-drift, 2-bias, 3-weird, 4-wrecked, 5-pressure, 6-adjustement issue)	Comment All drift mentions are SUSPICION drift value mentions are visual impression surrounding profiles = close in space (position diff < 2 degrees latitude/longitude) and in time (date diff < 5 years)
NEW											
AOML	1902222	BRECK OWENS, STEVEN JAYNE, P.E. ROBBINS	**2021/02/01**	**70**	2021/02/21	72	Argo WHOI	SBE41CP	10904	1	
AOML	3901307	GREGORY C. JOHNSON	**2021/01/30**	**60**	2021/02/19	62	Argo PMEL	SBE41CP	11064	1	
AOML	4902088	GREGORY C. JOHNSON	**2021/02/25**	**205**	2021/02/25	205	Argo PMEL	SBE41CP	7178	3	One strange profile
AOML	4903057	BRECK OWENS, STEVEN JAYNE, P.E. ROBBINS	**2021/02/07**	**74**	2021/02/17	75	Argo WHOI	SBE41CP	10922	1	
AOML	5903825	GREGORY C. JOHNSON	**2021/01/31**	**303**	2021/02/22	305	Argo PMEL	SBE41	5111	1	on psal, psal_adjusted seems ok
AOML	5905707	DEAN ROEMMICH	**2021/02/20**	**93**	2021/03/02	94	Argo SIO	SBE41CP_V7.2.5	9984	1	
CORIOLIS	7900557	Birgit KLEIN	**2021/02/25**	**23**	2021/02/25	23	Argo BSH	SBE41CP	41-12674	1	
CSIRO	5905003	Susan Wijffels	**2021/02/08**	**193**	2021/02/18	194	ARGO AUSTRALIA	SBE41CP_V2	7055	1	
CSIRO	7900624	Peter Oke	**2021/01/28**	**155**	2021/02/17	157	ARGO AUSTRALIA	SBE41CP_V7.2.5	7869	1	
JMA	2903361	JMA	**2021/02/12**	**140**	2021/02/22	142	Argo eq. JMA	SBE41CP_V7.2.5	10835	1	
PREVIOUS REPORTS		[in last 5 months]									
AOML	1901805	GREGORY C. JOHNSON	**2020/07/28**	**135**	2021/01/24	153	Argo PMEL	SBE41CP	8181	1	Adjustment on PSAL_ADJUSTED is going to introduced a bias
AOML	1901812	BRECK OWENS, STEVEN JAYNE, P.E. ROBBINS	**2020/02/17**	**148**	2020/09/03	172	Argo WHOI	SBE41CP	7205	3	Very weird behaviour, that may be depth-dependant. Cycle 148 is definitely out of distribution (0.08 psu saltier) but only at depth.
AOML	1901817	BRECK OWENS, STEVEN JAYNE, P.E. ROBBINS	**2021/01/01**	**170**	2021/01/01	170	Argo WHOI	SBE41CP	7212	3	Below 500 dbar, strange drift
AOML	1902198	GREGORY C. JOHNSON	**2020/02/20**	**61**	2021/02/24	98	Argo PMEL	SBE41CP	9911	1	cycle 53 is 0.05 psu saltier than surrounding profiles.
AOML	1902199	GREGORY C. JOHNSON	**2020/03/05**	**54**	2020/07/03	66	Argo PMEL	SBE41CP	9841	2	big fresh jump in salinity. cycle 35 is 1.5 PSU fresher
AOML	1902269	GREGORY C. JOHNSON	**2020/10/03**	**54**	2021/02/20	68	Argo PMEL	SBE41CP	10756		
AOML	2902397	BRECK OWENS, STEVEN JAYNE, P.E. ROBBINS	**2020/05/16**	**167**	2020/12/15	189	Argo WHOI	SBE41CP	7335		Gap around 3 psu
AOML	3900499	STEPHEN RISER	**2020/04/21**	**498**	2020/09/05	511	Argo UW	SBE41	1944	1	Small drift which seems going back to correct profiles with cycle 512
AOML	3901156	GREGORY C. JOHNSON	**2020/02/24**	**216**	2020/09/11	236	Argo PMEL	SBE41CP	4221	1	0.02 psu salty jump at cycle 171. cycle 198 is 0.07 psu saltier than surrounding profiles
AOML	3901179	GREGORY C. JOHNSON	**2019/01/06**	**167**	2020/10/27	233	Argo PMEL	SBE41CP	5542	1	Offset from cycle 167 (+0,02 psu) and drift very slightly after
AOML	3901187	GREGORY C. JOHNSON	**2014/11/22**	**25**	2021/02/18	253	Argo PMEL	SBE41CP	5507	1 or 2	This float had stopped emmiting on the 2018/02/04 and has begun to emit once more since the 2019/01/10 in the middle of the pacific but values and shapes are totally ut of bounds by 1 PSU saltier. Positions may be incorrect.
AOML	3901199	GREGORY C. JOHNSON	**2020/02/25**	**172**	2021/02/19	208	Argo PMEL	SBE41CP	6308	6	There is a correction in adjusted that seem to worsen the salinity. Raw data are inside alert boundaries, adjusted data are fresher than boundaries. This seems to have been corrected. Only cycle 143 remains out of bounds.
AOML	3901222	BRECK OWENS, STEVEN JAYNE, P.E. ROBBINS	**2020/03/16**	**170**	2021/02/16	204	Argo WHOI	SBE41CP	6509	1	QC2 automatically set. cycle 142 is 0.03 PSU saltier than surrounding profiles
AOML	3901227	BRECK OWENS, STEVEN JAYNE, P.E. ROBBINS	**2018/04/30**	**100**	2021/02/08	203	Argo WHOI	SBE41CP	6486	1	QC2 automatically set. cycle 139 is 0.07 PSU saltier than surrounding profiles
AOML	3901229	BRECK OWENS, STEVEN JAYNE, P.E. ROBBINS	**2020/09/12**	**188**	2020/09/22	189	Argo WHOI	SBE41CP	6482	3	Bad profiles
AOML	3901257	GREGORY C. JOHNSON	**2020/07/07**	**136**	2021/02/22	159	Argo PMEL	SBE41CP	8338	1	Small drift
AOML	3901259	GREGORY C. JOHNSON	**2018/09/27**	**67**	2021/02/23	155	Argo PMEL	SBE41CP	8462	1	drifting since at least cycle 79. cycle 101 is 0.15 PSU saltier than surrounding profiles
AOML	3901266	CARL SZCZECHOWSKI	**2020/08/23**	**326**	2021/02/25	363	Argo NAVOCEANO	SBE41CP_V3.0c	7131	1	
AOML	3901282	GREGORY C. JOHNSON	**2017/09/05**	**32**	2021/02/26	159	Argo PMEL	SBE41CP	8531	4	salty jump at cycle 86. salinity data are wrecked
AOML	3901283	GREGORY C. JOHNSON	**2020/03/11**	**114**	2021/02/24	149	Argo PMEL	SBE41CP	8563	1	Slight drift from cycle 114
AOML	3901286	GREGORY C. JOHNSON	**2020/02/20**	**111**	2020/03/31	115	Argo PMEL	SBE41CP	8562	1	cycle 93 is 0.05 PSU saltier than surrounding profiles
AOML	3901289	GREGORY C. JOHNSON	**2020/02/23**	**117**	2021/02/17	153	Argo PMEL	SBE41CP	8651	1	cycle 99 is 0.2 PSU saltier than surrounding profiles
AOML	3901291	GREGORY C. JOHNSON	**2020/07/06**	**129**	2021/02/21	152	Argo PMEL	SBE41CP	8634	1	
AOML	3901299	GREGORY C. JOHNSON	**2020/02/23**	**52**	2021/02/17	88	Argo PMEL	SBE41CP	9957	2	cycle 45 is affected by a 0.02 salty jump. Wait for more cycles
AOML	3901306	GREGORY C. JOHNSON	**2020/12/24**	**55**	2021/02/22	61	Argo PMEL	SBE41CP	4600		
AOML	3901792	DEAN ROEMMICH -> Grey List	**2020/06/29**	**100**	2020/09/07	107	Argo SIO	SBE41CP_V7.2.5	8283	1	High drift
AOML	3901803	DEAN ROEMMICH -> Grey List	**2020/10/02**	**81**	2020/11/01	84	Argo SIO	SBE41CP_V7.2.5	10690	1	Slight jump and drift
AOML	3901808	BRECK OWENS, STEVEN JAYNE, P.E. ROBBINS	**2020/05/28**	**226**	2021/02/11	278	Argo WHOI	SBE41CP	8458		Previous Cycles a lot of cycles before, 0.02 PSU salty drift. Now corrected in adjusted. But Cycle 226, gap (more than 1 psu) with QC1 (PSAL& PSAL_ADJUSTED)
AOML	3901809	BRECK OWENS, STEVEN JAYNE, P.E. ROBBINS	**2020/10/25**	**271**	2020/12/14	281	Argo WHOI	SBE41CP	8451	1	Slight jump and drift
AOML	3901813	BRECK OWENS, STEVEN JAYNE, P.E. ROBBINS	**2021/01/25**	**266**	2021/01/25	266	Argo WHOI	SBE41CP	8391		
AOML	3901815	BRECK OWENS, STEVEN JAYNE, P.E. ROBBINS	**2020/02/27**	**202**	2020/06/06	222	Argo WHOI	SBE41CP	8548	1	cycle 146 is 0.03 PSU saltier than surrounding platforms. From cycle 209 big jump.
AOML	3901819	BRECK OWENS, STEVEN JAYNE, P.E. ROBBINS	**2019/05/03**	**137**	2020/09/12	236	Argo WHOI	SBE41CP	8642	1	drifting since cycle 120 (2019/02/06). cycle 160 is 0.05 PSU saltier than surrounding profiles
AOML	3902145	BRECK OWENS, STEVEN JAYNE, P.E. ROBBINS	**2020/02/05**	**33**	2020/12/28	66	Argo WHOI	SBE41CP	11024	4	It has become suddenly noisy from cycle 28 on. Still noisy cycle 31. (dirt or failure .) Cycles 36 and 37 doubtful but it seems come back to something better - stop at 37 & restart from cycle 64
AOML	3902149	GREGORY C. JOHNSON	**2020/11/10**	**46**	2021/01/26	54	Argo PMEL			1	Drift
AOML	3902152	GREGORY C. JOHNSON	**2020/09/08**	**38**	2021/02/11	54	Argo PMEL	SBE	5719	3	Bad profiles
AOML	3902164	BRECK OWENS, STEVEN JAYNE, P.E. ROBBINS	**2020/10/22**	**59**	2020/12/11	64	Argo WHOI	SBE41CP	11027	1	Drift
AOML	3902208	GREGORY C. JOHNSON	**2019/12/27**	**1**	2020/01/26	4	XXXXXXX	SBE41CP	12069	2	Bias of 0,35 psu for the cycle 1, then come back to the range of the values in this area
AOML	3902209	GREGORY C. JOHNSON	**2019/12/29**	**1**	2020/01/08	2	XXXXXXX	SBE41CP	11964		Small negative drift from first cycle, come back to correct values after few cycles
AOML	3902211	GREGORY C. JOHNSON	**2019/11/15**	**1**	2020/08/21	29	XXXXXXX	SBE41CP	12092	1	Drift from cycle 1 - Fresh salinity for cycle 1 with salinity going back to right values
AOML	3902212	GREGORY C. JOHNSON	**2019/11/15**	**1**	2020/08/01	27	XXXXXXX	SBE41CP	12099		Drift from first cycle, come back to correct value but still a slight bias for cycle 17, check with next cycles
AOML	4901441	GREGORY C. JOHNSON	**2020/07/28**	**303**	2020/11/22	314	Argo PMEL	SBE41	5637	1	
AOML	4901591	BRECK OWENS, STEVE JAYNE, P.E. ROBBINS	**2017/10/26**	**153**	2020/12/14	271	Argo WHOI	SBE41CP	4890	3	cycle 233 seems to be 0.23 psu saltier than surrounding profiles at 1000 dbar. But recent cycles have not been below 1000 dbar and thus is it difficult to be certain of a drift and to infer when it may have begun. Hard 7 psu fresh jump from cycle 234 on.
AOML	~~4901593~~	BRECK OWENS, STEVE JAYNE, P.E. ROBBINS	**2020/02/17**	**224**	2020/03/07	226	Argo WHOI	SBE41CP	4938	3	cycle 170 to cycle 174 show a strange feature in temperature below 500 dbar (0.5 °C warmer than surrounding profiles) not seen in surrounding profiles distribution. As a consequence, salinity is also weird.
AOML	4902087	GREGORY C. JOHNSON	**2019/08/25**	**150**	2021/01/26	202	Argo PMEL	SBE41CP	7176		cycle 150 (2019/08/25) is 0.04 psu saltier than surrounding platforms. It is not triggering alert anymore but it seems to be affected by
AOML	4902101	BRECK OWENS, STEVEN JAYNE, P.E. ROBBINS	**2021/01/21**	**152**	2021/01/21	152	Argo WHOI	SBE41CP	6478		
AOML	4902102	BRECK OWENS, STEVEN JAYNE, P.E. ROBBINS	**2020/02/17**	**3174**	2021/02/10	3210	Argo WHOI	SBE41CP	6488	2	cycle 3168 is affected by a 0.2 psu salty jump. Wait for more cycles
AOML	4902306	GREGORY C. JOHNSON	**2020/11/07**	**159**	2021/01/06	165	Argo PMEL			1	slight drift
AOML	4902307	GREGORY C. JOHNSON	**2020/06/19**	**145**	2021/02/14	:156][165:169	Argo PMEL	SBE41CP	7682	1	
AOML	4902312	GREGORY C. JOHNSON	**2019/10/13**	**126**	2021/01/25	173	Argo PMEL	SBE41CP	7557	1	cycle 121 (2019/08/24) is 0.1 PSU saltier than surrounding profiles
AOML	4902313	GREGORY C. JOHNSON	**2020/10/26**	**163**	2020/10/26	163	Argo PMEL	SBE41CP	7547	1	Slight drift
AOML	4902893	GREGORY C. JOHNSON	**2019/10/12**	**107**	2021/02/23	157	Argo PMEL	SBE41CP	8007	1 unsure	cycle 103 is 0.07 PSU saltier than the core of the profiles distribution of surronding platforms but there are other similar measurements from surrounding profiles. It would seserve DMQC . Cycles 20 to 22 are affected by fresh jump
AOML	4902895	GREGORY C. JOHNSON	**2020/02/13**	**119**	2021/01/28	154	Argo PMEL	SBE41CP	8012	1	cycle 102 is 0.07 PSU saltier than surrounding profiles
AOML	4902897	GREGORY C. JOHNSON	**2020/02/09**	**119**	2021/02/23	157	Argo PMEL	SBE41CP	8310	1	smoothly drifting so far
AOML	4902899	GREGORY C. JOHNSON	**2020/02/19**	**117**	2021/01/14	150	Argo PMEL	SBE41CP	8559	1	cycle 111 is 0.02 psu saltier than surrounding profiles. Seems to be gently drfiting since cycle 61
AOML	4902901	GREGORY C. JOHNSON	**2020/02/12**	**116**	2021/02/26	154	Argo PMEL	SBE41CP	8692	1	undoubtly drifting (0.04 PSU saltier on 2018/12/19). hard salty jumps from cycle 80 (2019/02/17)
AOML	4902905	GREGORY C. JOHNSON	**2020/02/12**	**114**	2021/01/27	149	Argo PMEL	SBE41CP	8709	1	cycle 97 is 0.03 PSU saltier than surrounding profiles
AOML	4902911	BRECK OWENS, STEVEN JAYNE, P.E. ROBBINS	**2020/08/16**	**126**	2021/01/22	142	Argo WHOI	SBE41CP	8551	1	
AOML	4902915	BRECK OWENS, STEVEN JAYNE, P.E. ROBBINS	**2019/03/30**	**134**	2021/02/18	273	Argo WHOI	SBE41CP	8540	3	seems to be depth-dependant and affect temperature as well since cycle 35 (2107/11/23). cycle 160 (2019/08/06) is 0.2 PSU fresher
AOML	4902916	BRECK OWENS, STEVEN JAYNE, P.E. ROBBINS	**2020/12/06**	**255**	2020/12/26	259	Argo WHOI			3	slight drift
AOML	4902980	GREGORY C. JOHNSON	**2021/01/08**	**122**	2021/02/17	126	Argo PMEL	SBE41CP	9807		
AOML	4902996	GREGORY C. JOHNSON	**2020/06/19**	**102**	2021/02/24	127	Argo PMEL	SBE41CP	0908	1	
AOML	4902997	GREGORY C. JOHNSON	**2020/06/07**	**97**	2021/01/24	119	Argo PMEL	SBE41CP	0909	1	Drift
AOML	4903000	GREGORY C. JOHNSON	**2020/04/02**	**61**	2021/01/27	91	Argo PMEL	SBE41CP	9963	1	Drift from cycle 61
AOML	4903027	GREGORY C. JOHNSON	**2018/11/15**	**18**	2021/02/02	99	Argo PMEL	SBE41CP_V7.2.5	10054	1	cycle 61 is affected by a 0.03 psu salty jump. cycle 62 is 0.17 psu saltier than surrounding profiles.
AOML	4903028	GREGORY C. JOHNSON	**2020/03/15**	**50**	2021/02/18	84	Argo PMEL	SBE41CP	10069	2 unsure	Fresher profiles from cycle 50, bias then come back to correct profiles ?
AOML	4903030	GREGORY C. JOHNSON	**2020/02/16**	**60**	2021/02/20	97	Argo PMEL	SBE41CP	10574	1	cycle 53 is 0.06 psu saltier than surrounding profiles and than cycle 51. Cycle 52 is 0.03 psu saltier than cycle 51.
AOML	4903031	GREGORY C. JOHNSON	**2020/02/16**	**60**	2020/11/12	87	Argo PMEL	SBE41CP	10575	1	
AOML	4903032	GREGORY C. JOHNSON	**2020/02/14**	**60**	2021/01/29	95	Argo PMEL	SBE41CP	10576	1	fast salty drift
AOML	4903033	GREGORY C. JOHNSON	**2019/10/11**	**47**	2021/02/22	97	Argo PMEL	SBE41CP	10577	1	cycle 46 (2019/10/01) is affected by a 0.04 psu salty jump. Rapidly drifting.
AOML	4903034	GREGORY C. JOHNSON	**2020/02/15**	**51**	2021/02/19	88	Argo PMEL	SBE41CP	10758	2	0.05 PSU salty jump since cycle 32
AOML	4903055	BRECK OWENS, STEVEN JAYNE, P.E. ROBBINS	**2020/05/23**	**47**	2020/11/12	57	Argo WHOI	SBE41CP	11020		Gap or drift, 0,1 psu observed, saltier
AOML	4903171	GREGORY C. JOHNSON	**2020/05/26**	**61**	2021/01/21	85	Argo PMEL	SBE41CP	10759		The four first cycles are fresher (1 PSU) but back to nominal values from cycle 5 on. Drift ? starting from cycle 61.
AOML	4903172	GREGORY C. JOHNSON	**2020/02/11**	**50**	2021/01/26	85	Argo PMEL	SBE41CP	10983	1	0.2 psu salty jump from cycle 47 on
AOML	4903173	GREGORY C. JOHNSON	**2019/05/09**	**21**	2021/02/17	86	Argo PMEL	SBE41CP	10997	1	cycle 42 and cycle 43 are 0.04 psu saltier than surrounding profiles. Drift may have begun cycle 38
AOML	4903174	GREGORY C. JOHNSON	**2019/10/14**	**37**	2021/01/26	84	Argo PMEL	SBE41CP	11044	1	First cycles are fresher than surrounding profiles. cycle 32 (2019/08/25) is 0.1 PSU saltier than surrounding profiles
AOML	4903175	GREGORY C. JOHNSON	**2018/12/08**	**5**	2021/01/26	83	Argo PMEL	SBE41CP	11040	1	cycle 29 and cycle 30 are affecetd by a 0.03 PSU salty jump
AOML	4903176	GREGORY C. JOHNSON	**2020/02/14**	**47**	2021/01/29	82	Argo PMEL	SBE41CP	11045	1	fast salty drift from cycle 47 on
AOML	4903177	GREGORY C. JOHNSON	**2019/10/14**	**35**	2021/01/26	82	Argo PMEL	SBE41CP	11046	1	cycle 31 is affected by a 0.02 psu salty jump. Wait for more cycles
AOML	4903181	GREGORY C. JOHNSON	**2019/10/10**	**35**	2021/01/22	82	Argo PMEL	SBE41CP	11050	1	cycle 31 is 0.08 psu saltier than surrounding profiles, may be depth dependant. cycle 35 is not parallel => QC4
AOML	4903182	GREGORY C. JOHNSON	**2020/04/16**	**54**	2021/01/21	82	Argo PMEL	SBE41CP	11051	1	Drift from cycle 54, salty jump till 0,1 psu
AOML	4903183	GREGORY C. JOHNSON	**2019/10/10**	**35**	2020/05/27	58	Argo PMEL	SBE41CP	11041	1	cycle 31 is 0.2 PSU saltier than surrounding profiles
AOML	4903184	GREGORY C. JOHNSON	**2020/02/17**	**48**	2021/02/21	85	Argo PMEL	SBE41CP	11042	1	cycle 42 is 0.02 psu saltier than surrounding profiles
AOML	4903185	GREGORY C. JOHNSON	**2020/09/03**	**68**	2021/01/21	82	Argo PMEL	SBE41CP	11065	1	Drift
AOML	4903186	GREGORY C. JOHNSON	**2019/10/12**	**21**	2021/01/24	68	Argo PMEL	SBE41CP	11067	1	cycle 17 (2019/09/02) is 0.04 PSU saltier than surrounding profiles. cycle 25 (2019/11/21) is 0.8 PSU saltier than surrounding profiles
AOML	4903188	GREGORY C. JOHNSON	**2019/10/10**	**21**	2021/02/21	71	Argo PMEL	SBE41CP	11069	1	fast salty drift
AOML	4903194	GREGORY C. JOHNSON	**2020/09/20**	**56**	2021/02/17	71	Argo PMEL	SBE41CP	11138	1	Small drift
AOML	4903197	GREGORY C. JOHNSON	**2020/03/04**	**36**	2021/01/28	69	Argo PMEL	SBE41CP	11043	1	Salty drift
AOML	4903202	GREGORY C. JOHNSON	**2020/02/12**	**27**	2021/02/16	64	Argo PMEL	SBE41CP	11068	1	cycle 24 is 0.05 psu saltier than surrounding profiles. Wait for more cycles.
AOML	4903233	AMY BOWER, STEVEN JAYNE, HEATHER FUREY	**2020/07/03**	**77**	2020/07/08	78	Argo WHOI	SBE41CP	11215	1	
AOML	4903247	WIJFFELS, JAYNE, ROBBINS	**2020/09/24**	**42**	2020/11/13	48	Argo WHOI	SBE41CP	11062	1	Drift or biais ? Only one cycle
AOML	4903266	WHOI: WIJFFELS, JAYNE, ROBBINS	**2020/04/01**	**1**	2020/04/06	3	Argo WHOI	SBE41CP	9628	2 unsure	Bias ? Drift? from the first cyce, strange behavior
AOML	4903281	GREGORY C. JOHNSON	**2020/09/03**	**50**	2021/01/21	64	Argo PMEL	SBE41CP	11089	1	Drift
AOML	4903283	GREGORY C. JOHNSON	**2020/02/19**	**25**	2021/01/24	59	Argo PMEL	SBE41CP	11149	1	cycle 22 is 0.08 psu saltier than surrounding profiles. Wait for more cycles
AOML	4903287	GREGORY C. JOHNSON	**2020/08/10**	**42**	2020/08/30	44	Argo PMEL	SBE41CP	11298	1	
AOML	4903293	GREGORY C. JOHNSON	**2020/09/26**	**16**	2021/02/23	31	Argo PMEL	SBE41CP	11822	2	Beginning of drift or jump ?
AOML	4903298	GREGORY C. JOHNSON	**2020/04/05**	**1**	2020/04/25	3	XXXXXXX	SBE41CP	12094	2	Drift from first cycles
AOML	5902416	DEAN ROEMMICH	**2020/06/17**	**175**	2020/09/06	183	Argo SIO	SBE41CP_V3.0c	7105	1	
AOML	5902519	DEAN ROEMMICH	**2020/09/06**	**144**	2020/10/25	149	Argo SIO	SBE41CP_V7.2.5	8596	1	Small drift
AOML	5903806	GREGORY C. JOHNSON	**2020/02/17**	**278**	2021/02/24	313	Argo PMEL	SBE41	5646	1	cycle 257 is 0.04 PSU saltier than surrounding profiles.
AOML	5903821	GREGORY C. JOHNSON	**2020/07/08**	**296**	2021/02/19	317	Argo PMEL			1	
AOML	5904051	GREGORY C. JOHNSON	**2020/09/28**	**261**	2020/11/27	267	Argo PMEL	SBE41CP	4765	1 (jump)	Small drift ? Beginning ?
AOML	5904056	GREGORY C. JOHNSON	**2020/04/30**	**225**	2020/12/16	248	Argo PMEL	SBE41CP	5132		High jump of 0,1 psu - no cycle between cycle 196 and cycle 225

AOML	5904401	STEPHEN RISER	**2014/11/02**	**9**	2020/10/17	223	Argo UW	SBE41	6396	1	QC 2 automatically set.. cycle 172 is 0.05 PSU saltier than surrounding profiles
AOML	5904403	STEPHEN RISER	**2016/04/06**	**63**	2021/02/08	237	Argo UW	SBE41	6398	1	There is a -0.04 PSU adjustement but this is not big enough anymore
AOML	5904429	STEPHEN RISER	**2020/09/08**	**212**	2020/11/07	218	Argo UW	SBE41	6275	3	Small drift
AOML	5904441	STEPHEN RISER	**2020/12/09**	**222**	2021/01/09	225	Argo UW				
AOML	5904490	STEPHEN RISER	**2021/01/19**	**215**	2021/02/19	218	Argo UW	SBE41	6423		
AOML	5904543	GREGORY C. JOHNSON	**2020/05/26**	**215**	2021/02/20	242	Argo PMEL	SBE41CP	5921		Gap or drift starting ?
AOML	5904587	GREGORY C. JOHNSON	**2020/02/13**	**176**	2021/02/17	213	Argo PMEL	SBE41CP	6288	1	This float is drifiting since approx cycle 117. The delayed mode applied an adjustement until cycle 143. There are a gap until new RT begins once more at cycle 163. The DM adjustement is not propagated. cycle 163 is 0.06 psu saltier than surrounding profiles.
AOML	5904703	GREGORY C. JOHNSON	**2020/02/21**	**146**	2020/10/08	169	Argo PMEL	SBE41CP	6296	165	smoothly drifting
AOML	5904738	GREGORY C. JOHNSON	**2020/01/27**	**119**	2021/02/22	161	Argo PMEL	SBE41CP	7757		cycle 119 is 0.02 psu saltier than surrounding profiles. cycle 123 is back to nominal values but restart to saltier values.
AOML	5904740	GREGORY C. JOHNSON	**2020/07/04**	**138**	2021/01/20	158	Argo PMEL	SBE41CP	7755	1	
AOML	5904741	GREGORY C. JOHNSON	**2020/09/07**	**151**	2021/02/24	168	Argo PMEL	SBE41CP	7754	1	Small drift
AOML	5904781	STEPHEN RISER	**2019/04/08**	**94**	2021/02/24	164	Argo UW	SBE41CP	7829	1	jump of 0.02 psu saltier on cycle 94 (2019/03/28). 0.05 psu saltier with surrounding platforms (but few available).
AOML	5904785	STEPHEN RISER	**2016/11/27**	**9**	2021/02/22	164	Argo UW	SBE41CP	7936	1	Cycles 127 and 128 seem to imply a fast salty drift phenomenom. Wait for more cycles. Take care correction in data mode A seems introduce biais on PSAL_ADJUSTED.
AOML	5904786	STEPHEN RISER	**2020/04/29**	**134**	2021/02/23	164	Argo UW	SBE41CP	7933		Drift , check next cycles
AOML	5904828	STEPHEN RISER	**2020/11/13**	**148**	2021/02/21	158	Argo UW	SBE41CP	7879	1	Drift
AOML	5904861	GREGORY C. JOHNSON	**2020/02/19**	**133**	2020/09/06	153	Argo PMEL	SBE41CP	7719	6	adjusted seem too hard of 0.02PSU + some jump: would need a delayed mode reanalysis
AOML	5904948	GREGORY C. JOHNSON	**2017/01/23**	**1**	2020/10/24	138	Argo PMEL	SBE41CP	8641	1	was drifting until cycle 67 when hard drift occurs
AOML	5905079	STEPHEN RISER, KENNETH JOHNSON	**2020/07/07**	**123**	2020/10/24	134	Argo UW	SBE41CP	8059	1	
AOML	5905106	STEPHEN RISER, KENNETH JOHNSON	**2020/07/17**	**104**	2020/12/21	121	Argo UW-SOCCOM	SBE41CP	7943	1	Drift
AOML	5905150	STEPHEN RISER, KENNETH JOHNSON	**2020/12/23**	**115**	2021/02/11	120	Argo UW	SBE41CP	7728		
AOML	5905254	DEAN ROEMMICH	**2020/12/28**	**119**	2021/01/27	122	Argo SIO	SBE41CP_V7.2.5	9447		
AOML	5905288	GREGORY C. JOHNSON	**2020/02/17**	**97**	2021/01/22	131	Argo PMEL	SBE41CP	9043	1	cycle 90 is 0.04 psu saltier than surrounding profiles. Smooth drift seems to have begun from the beginning.
AOML	5905669	GREGORY C. JOHNSON	**2020/11/18**	**79**	2021/02/16	88	Argo PMEL				
AOML	5905676	GREGORY C. JOHNSON	**2020/02/11**	**54**	2021/01/26	89	Argo PMEL	SBE41CP	10018	1	may be fast salty drift. Wait for more cycles.
AOML	5905730	GREGORY C. JOHNSON	**2019/10/12**	**51**	2021/02/23	101	Argo PMEL	SBE41CP	9857	1	cycle 47 (2019/09/02) is 0.05 psu saltier than surrounding profiles
AOML	5905732	GREGORY C. JOHNSON	**2020/02/15**	**66**	2021/01/30	101	Argo PMEL	SBE41CP_V7.2.5	9964	1	rapid drift . cycle 36 is 0.05 PSU saltier. cycle 49 is 0.3 PSU saltier
AOML	5905736	GREGORY C. JOHNSON	**2020/04/17**	**72**	2021/01/22	100	Argo PMEL	SBE41CP	10067		Salty jump
AOML	5905743	GREGORY C. JOHNSON	**2020/02/15**	**60**	2021/02/19	97	Argo PMEL	SBE41CP	10559	1	cycle 53 and cycle 54 are 0.02 psu saltier than surrounding profiles. The drift seems to begin cycle 50
AOML	5905744	GREGORY C. JOHNSON	**2020/02/15**	**60**	2021/01/20	94	Argo PMEL	SBE41CP	10560	1	jump in salinity:cycle 29 is 0.07 PSU saltier than surrounding profiles
AOML	5905748	GREGORY C. JOHNSON	**2020/03/31**	**55**	2021/02/24	88	Argo PMEL	SBE41CP	10956	1	Fresher drift from cycle 55
AOML	5905988	ANDREA FASSBENDER	**2020/04/28**	**111**	2021/02/23	141	Argo UW-MBARI	SBE41CP	10762		Salty drift
AOML	5906038	STEPHEN RISER	**2020/12/08**	**117**	2020/12/29	121	Argo UW				
AOML	5906095	GREGORY C. JOHNSON	**2020/07/05**	**43**	2021/02/20	66	Argo PMEL	SBE41CP	11103	1	
AOML	5906098	GREGORY C. JOHNSON	**2020/02/16**	**27**	2021/02/20	64	Argo PMEL	SBE41CP	11099	4	Very fresh first cycles (cycle 10 is still 0.3 PSU fresher than expected)
AOML	5906159	GREGORY C. JOHNSON	**2020/04/29**	**30**	2021/02/23	60	Argo PMEL	SBE41CP	11076		Salty drift
AOML	5906170	GREGORY C. JOHNSON	**2020/12/31**	**43**	2021/02/19	48	Argo PMEL	SBE41CP	11085		
AOML	5906174	GREGORY C. JOHNSON	**2020/03/31**	**1**	2021/02/24	34	XXXXXXX	SBE41CP	12135	2	Bias of salinity for 2 first cycles (difference of 3 psu ith profiles in this area)
AOML	5906223	STEPHEN RISER/KEN JOHNSON	**2020/03/18**	**1**	2020/11/29	26	Argo UW-SOCCOM	SBE41CP	11518	1	First cycle slightly out of boundary, wait for following cycles, drift for first cycles seems to be confirmed
AOML	5906252	STEPHEN RISER	**2020/11/11**	**6**	2020/12/21	10	Argo UW	SBE41CP	11676	2	Jump
AOML	5906274	STEPHEN RISER	**2020/08/19**	**1**	2020/09/18	4	XXXX	SBE41CP	10303	1	
AOML	5906299	STEPHEN RISER	**2021/01/16**	**34**	2021/02/25	54	Argo UW	RBR_ARGO3	201598		
AOML	5906331	STEPHEN RISER	**2020/12/28**	**1**	2020/12/28	1	Argo UW	SBE41CP	12288		
BODC	3901966	Andreas Sterl	**2020/12/14**	**99**	2021/01/23	103	ARGO MOCCA - NETHERLANDS				
BODC	6903720	Brian King	**2020/10/28**	**34**	2020/12/27	40	Argo UK	SBE61	5637	1	Slight drift
CORIOLIS	3901847	Birgit Klein	**2020/11/22**	**150**	2021/02/20	159	ARGO MOCCA	SBE41CP_V7.2.5	8076		
CORIOLIS	6901253	Pedro Velez	**2020/03/11**	**66**	2021/02/24	:82] [94:101	Argo SPAIN - IEO	SBE41CP_V7.2.5	9918	1	Drift from cycle 66
CORIOLIS	6901268	Pedro Velez	**2021/01/18**	**68**	2021/02/17	71	Argo SPAIN	SBE41CP	9975		
CORIOLIS	6901772	Fabrizio D'Ortenzio	**2020/11/26**	**167**	2021/02/25	180	NAOS	SBE41CP_V2	6036	1	Slight drift, check with next profiles
CORIOLIS	6901841	Pierre-Marie Poulain	**2020/12/13**	**218**	2021/02/21	225	ARGO ITALY - MEDESS-AMS				
CORIOLIS	6902762	Bernard BOURLES	**2020/09/22**	**128**	2021/02/19	143	CORIOLIS - PIRATA	SBE41CP_V7.2.5	8504	1	Slight drift, to checked
CORIOLIS	6902813	Jean-Baptiste SALLEE	**2020/10/30**	**100**	2021/02/17	111	CORIOLIS - Deep Ice	SBE41CP_V7.2.5	8467		
CORIOLIS	6902838	Christine COATANOAN	**2020/09/17**	**57**	2020/10/17	60	CORIOLIS	SBE41CP	9580	1	Smoothly drifting
CORIOLIS	6903562	Kjell Arne Mork	**2020/09/16**	**48**	2021/02/23	64	Argo NORWAY	SBE41CP_V7.2.5	10941	1	Drift
CORIOLIS	6903574	Kjell Arne Mork	**2020/08/26**	**2**	2021/01/28	33	Argo NORWAY	SBE41CP	12716	2	Big jump
CSIO	**2902622**	ZENCHONG LIU	**2020/10/23**	**220**	2020/12/12	225	Argo CHINA	SBE41CP	5614	1	Drift
CSIO	2902682	Ju Chen	**2020/09/19**	**155**	2020/10/18	158	Argo CHINA	SBE41	7851	1	Smoothly drifting
CSIRO	1901748	Peter Oke	**2020/11/27**	**35**	2020/12/07	36	ARGO AUSTRALIA				
CSIRO	7900636	Steve Rintoul -> Grey List ??	**2020/12/23**	**86**	2021/02/15	95	Argo AUSTRALIA	SBE61_V5.0.2	5648		
INCOIS	2902185	M Ravichandran	**2020/12/29**	**190**	2021/02/17	195	Indian Argo	SBE41CP	6670		
INCOIS	2902199	M Ravichandran	**2020/07/10**	**211**	2021/02/21	234	Indian Argo	SBE41CP	7512	1	
INCOIS	2902201	M Ravichandran	**2020/08/23**	**164**	2021/02/19	182	Indian Argo	SBE41	7642	1	
INCOIS	2902209	M Ravichandran	**2019/03/10**	**92**	2021/02/24	165	Indian Argo	SBE41CP	8353	1	driftng since cycle 87 (2019/01/20) and shape has changed, probably beause it entered an eddy-rich region. cycle 109 (20190824) is 0.25 psu saltier than surrounding profiles
INCOIS	2902211	M Ravichandran	**2020/02/22**	**162**	2021/02/16	198	Indian Argo	SBE41CP	8355	1	Drift
INCOIS	2902236	M Ravichandran	**2020/08/27**	**233**	2021/02/23	269	Argo INDIA	SBE41CP	9529	1	
INCOIS	2902268	M Ravichandran	**2020/06/15**	**51**	2021/02/20	76	Argo INDIA	SBE41CP	11207		
JMA	2903212	JAMSTEC	**2019/04/30**	**45**	2021/02/21	115	Argo eq. JAMSTEC	SBE61	5631	2	highly biased (by approx 0.4 psu). Yuka Okunaka anwered they are looking with the constructor: flag are set by recommandation from ADMT, that is QC1. Yuka's comment from 2019/09/19: "The qc flags of the following floats will be decided when the D-files are created. Float : 2903212 - Cycle : 49 - 55"
JMA	2903377	JMA	**2020/08/21**	**79**	2020/10/09	89	Argo eq. JMA	SBE41	10911	1	Drift
JMA	2903387	JMA	**2020/12/15**	**69**	2021/01/23	77	Argo eq. JMA				
JMA	2903394	JMA	**2020/09/19**	**107**	2020/11/13	118	Argo eq. JAMSTEC	SBE41N	11082	1	Large drift - Last cycles RT QC4 but PSAL_ADJUSTED still with QC1
JMA	2903404	JAMSTEC	**2020/12/06**	**57**	2021/01/25	62	Argo JAMSTEC				
JMA	4902983	JMA	**2020/09/10**	**45**	2021/01/17	58	Argo JAMSTEC	SBE41CP_V7.2.5	10972	1	Large drift
JMA	4902985	JMA	**2020/09/01**	**40**	2021/01/19	54	Argo JAMSTEC	SBE41CP_V7.2.5	10984	1	Large drift
JMA	5905842	JMA	**2020/08/29**	**61**	2021/01/01	:62] [65:66	Argo eq. JAMSTEC	SBE61	5683	1	Drift (Deep Argo Float)
MEDS	4902470	Blair Greenan	**2020/05/17**	**40**	2021/02/21	68	Argo CANADA	SBE41CP	41CP-11308	1	Drift, now biais on temp
Floats on grey list since last month (from feedback)											
AOML	5904510	DEAN ROEMMICH -> Grey List	**2020/11/25**	**335**	2020/12/05	337	Argo SIO	SBE41CP_V3.0c	5281		Big jump
AOML	5905790	DEAN ROEMMICH -> Grey List	**2021/01/24**	**102**	2021/01/24	102	Argo SIO	SBE41CP_V7.2.5	10864		
AOML	7900797	DEAN ROEMMICH, SARAH PURKEY, NATHALIE ZILBERMAN, JOHN GILSON -> Grey List	**2021/01/16**	**2**	2021/01/29	7	Argo SIO	SBE41CP_V7.2.5	12510		
CORIOLIS	3901610	Birgit Klein -> Grey List	**2021/01/06**	**135**	2021/02/25	140	Argo BSH	SBE41CP_V7.2.5	8614		

2. Statistics on floats and format version (End of February 2021)

Plots showing format_version percentage, number of floats (*with profiles*), number of D and R files by DACs.

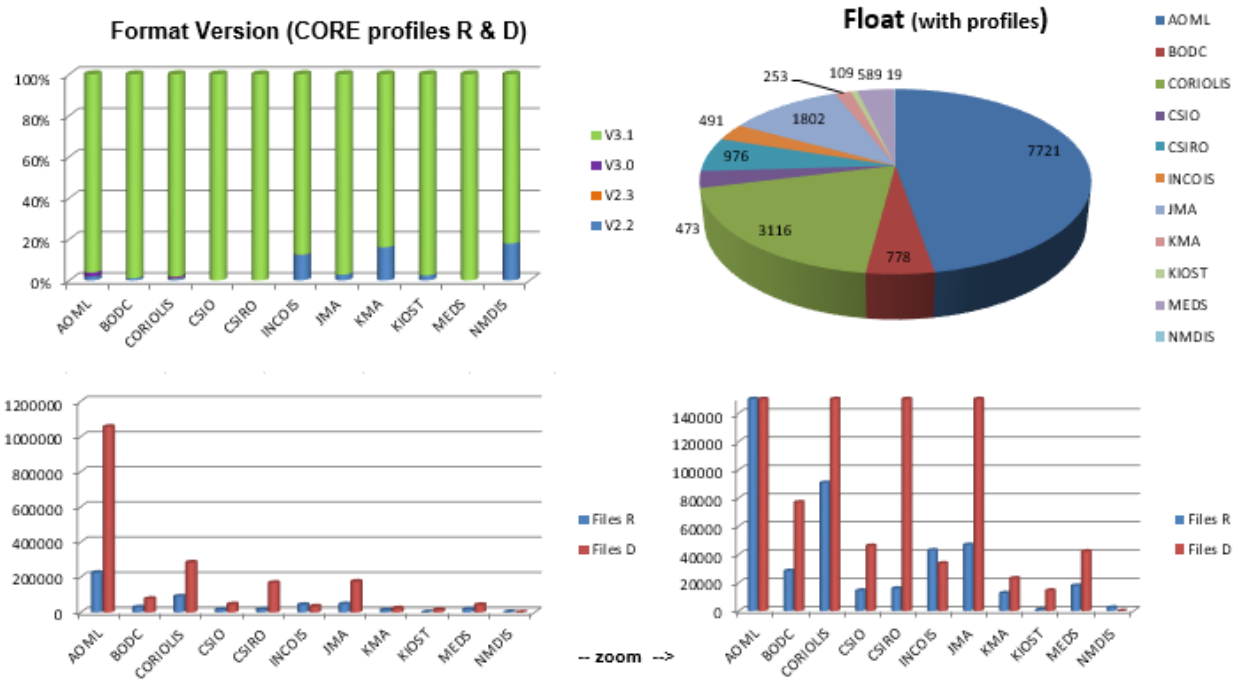

Plots showing format_version percentage, for metadata-technical-trajectory and core profiles following dead or active floats.

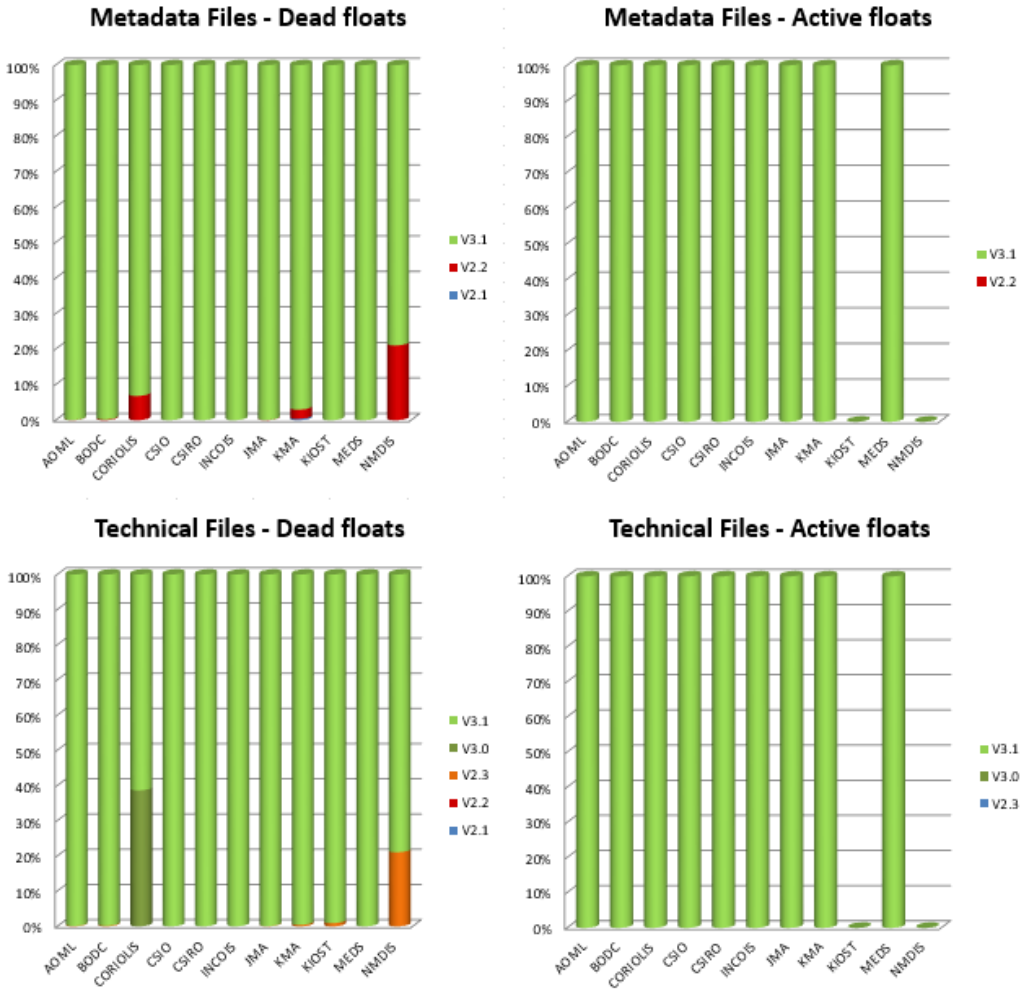

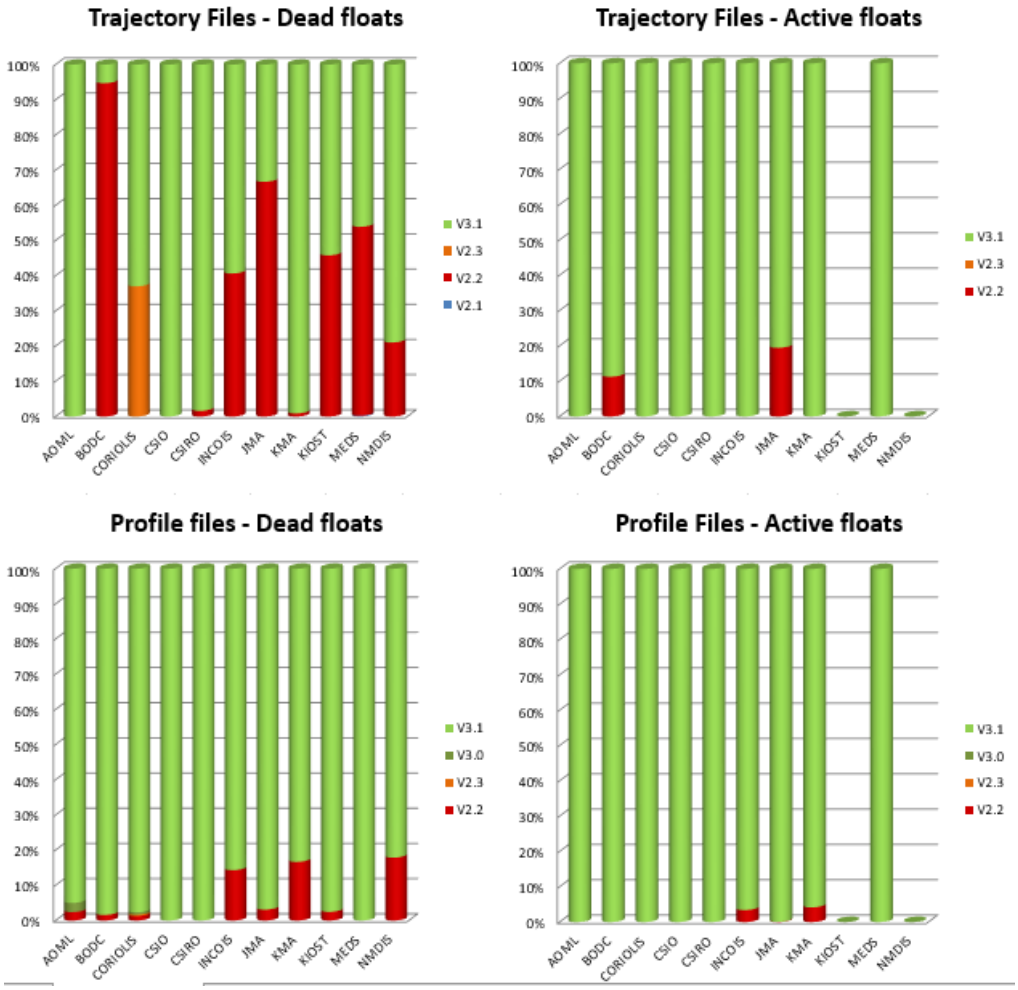

Delayed mode percentage by DAC

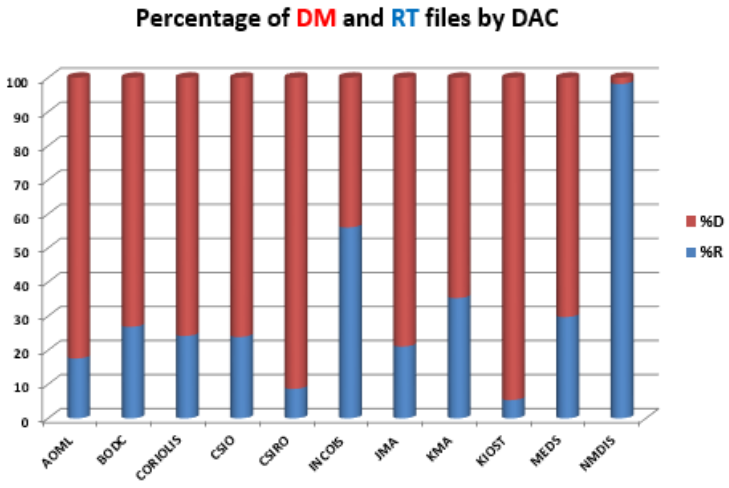

DACS	%R	%D
AOML	17,60	82,40
BODC	26,89	73,11
CORIOLIS	24,20	75,80
CSIO	23,90	76,10
CSIRO	8,66	91,34
INCOIS	56,04	43,96
JMA	21,09	78,91
KMA	35,32	64,68
KIOST	5,38	94,62
MEDS	29,74	70,26
NMDIS	98,17	1,83

3. Statistics on Anomalies

Plots showing evolution of number of anomalies by DAC.

3.1. Year

3.2. DAC

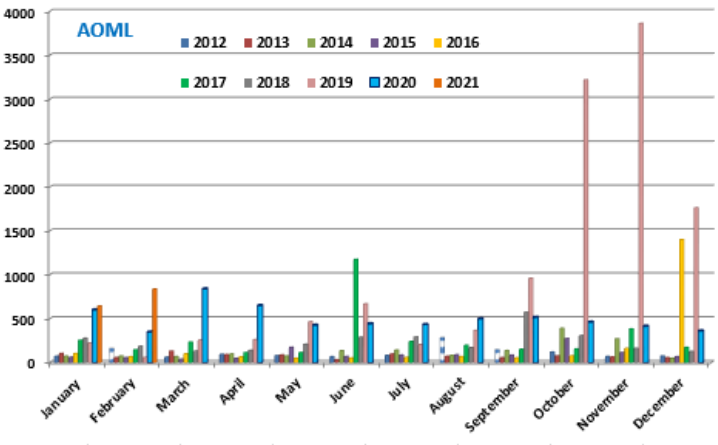

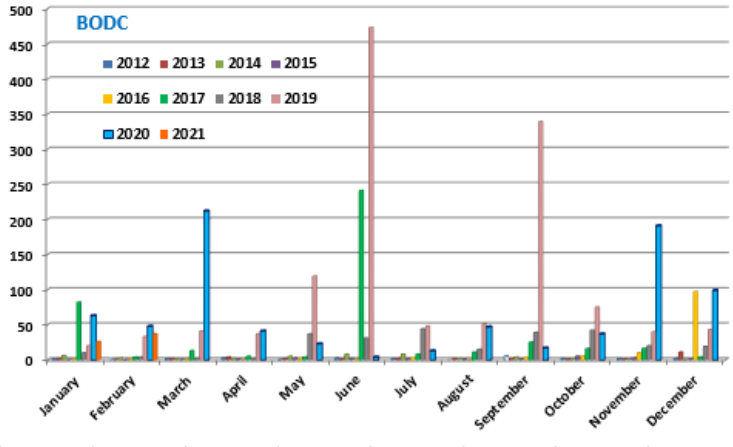

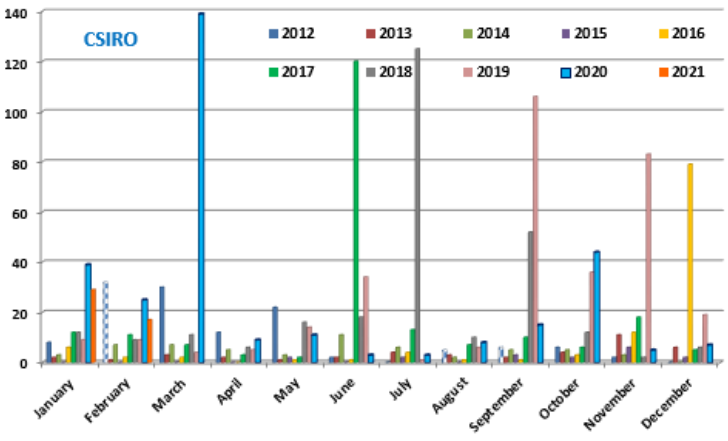

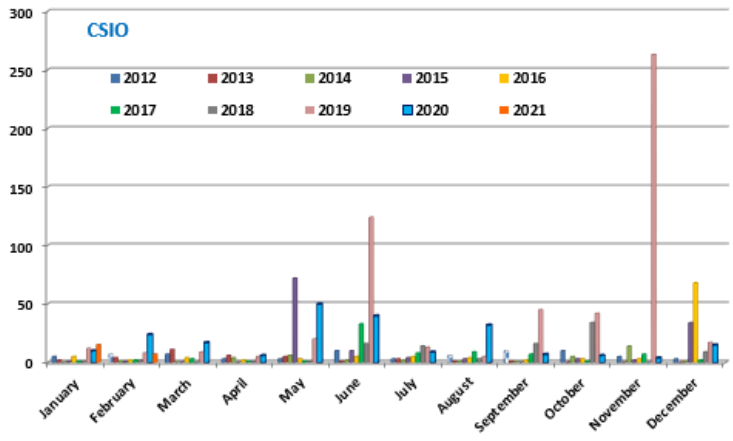

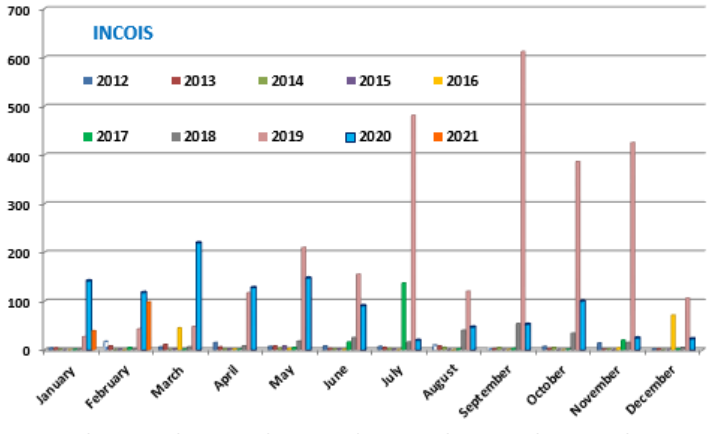

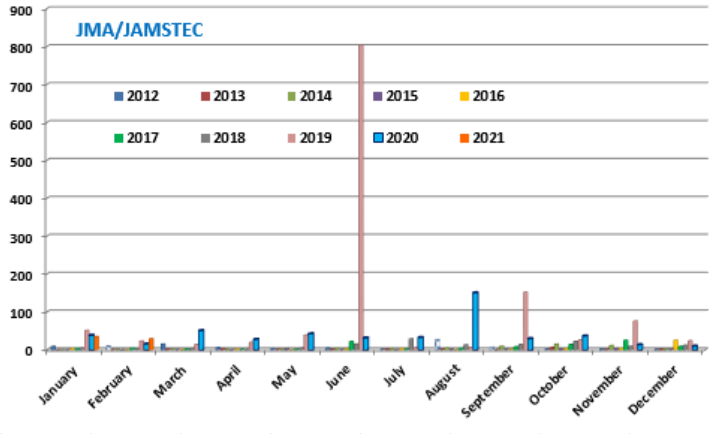

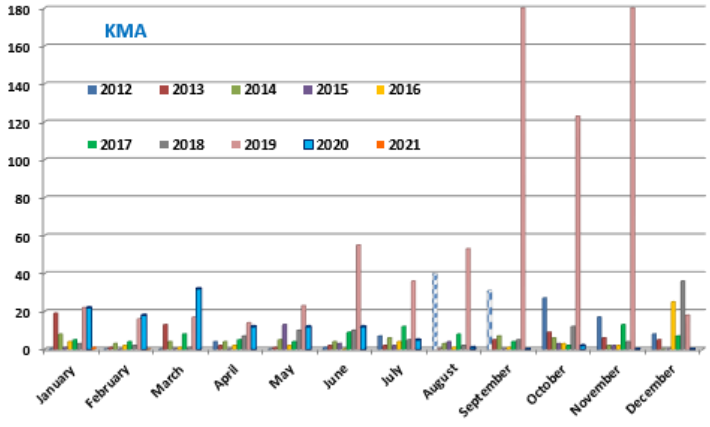

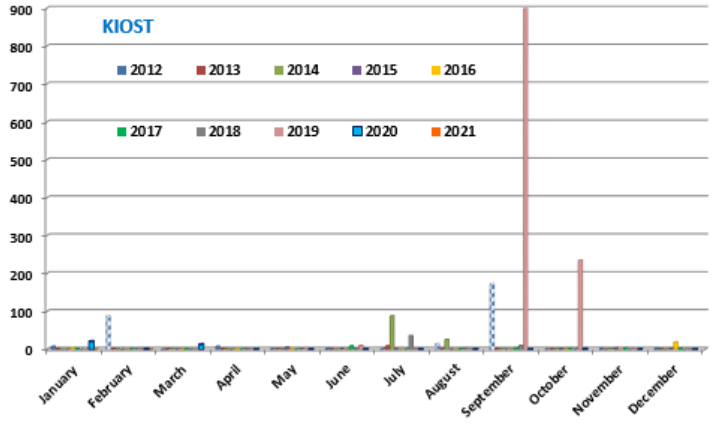

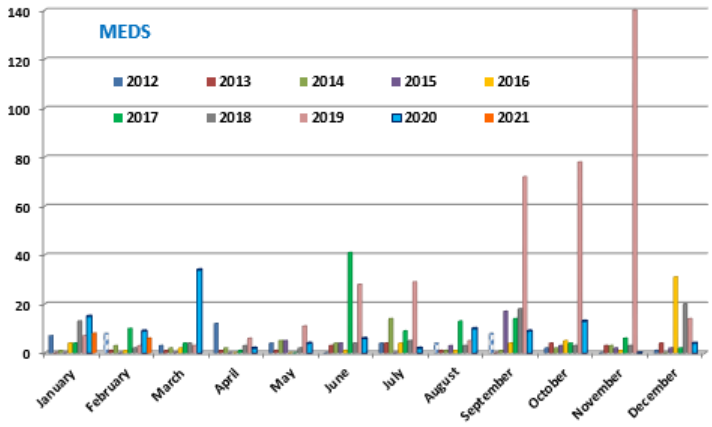

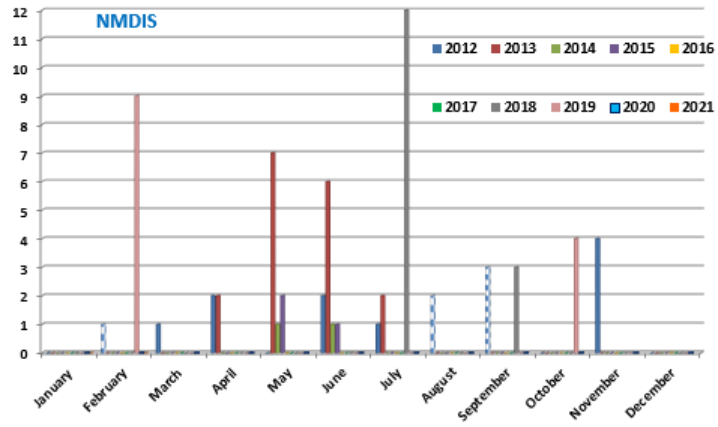

3.3. Anomalies by year, by month

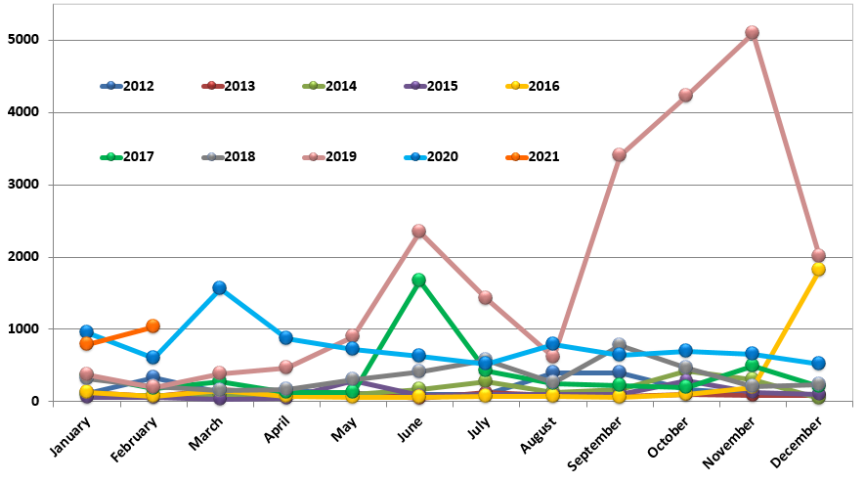

4. DAC Anomalies

4.1. DAC AOML

Profiles detected by the objective analysis: 836 profiles (320 floats, but floats can have several cycles with anomalies)

Data_mode ='R'	Data_mode ='A'	Data_mode ='D'
378 cycles	342 cycles	116 cycles

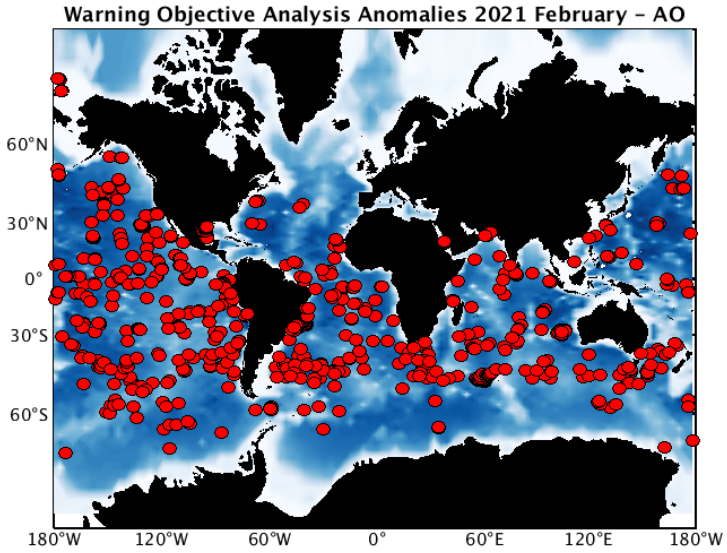

Status of corrections: **Done for few profiles – still bad QC no corrected**

DM - Take care that some floats are shown with data mode D but the corrections can have been applied on R files before submission of the delayed mode. (see the csv messages on the ftp site for more information)

DM - Take care, some D files have a good correction on adjusted parameter (most of the time QC4 and Fill_Value) but in real time, QC1 is always kept instead of QC3 or 4.

Files data_mode='R' / 'A'

Float : 1900959 - Cycle : 100 - PI : CARL SZCZECHOWSKI - Data mode : A - Platform type : APEX - WMO inst type : 846 - FLOAT SERIAL : 7219 - Date : 2016 4 5
Float : 1900959 - Cycle : 101 - PI : CARL SZCZECHOWSKI - Data mode : A - Platform type : APEX - WMO inst type : 846 - FLOAT SERIAL : 7219 - Date : 2016 4 9
Float : 1900959 - Cycle : 102 - PI : CARL SZCZECHOWSKI - Data mode : A - Platform type : APEX - WMO inst type : 846 - FLOAT SERIAL : 7219 - Date : 2016 4 13
Float : 1900959 - Cycle : 103 - PI : CARL SZCZECHOWSKI - Data mode : A - Platform type : APEX - WMO inst type : 846 - FLOAT SERIAL : 7219 - Date : 2016 4 16
Float : 1900959 - Cycle : 104 - PI : CARL SZCZECHOWSKI - Data mode : A - Platform type : APEX - WMO inst type : 846 - FLOAT SERIAL : 7219 - Date : 2016 4 20
Float : 1900959 - Cycle : 105 - PI : CARL SZCZECHOWSKI - Data mode : A - Platform type : APEX - WMO inst type : 846 - FLOAT SERIAL : 7219 - Date : 2016 4 24
Float : 1900959 - Cycle : 75 - PI : CARL SZCZECHOWSKI - Data mode : A - Platform type : APEX - WMO inst type : 846 - FLOAT SERIAL : 7219 - Date : 2016 1 6
Float : 1900959 - Cycle : 76 - PI : CARL SZCZECHOWSKI - Data mode : A - Platform type : APEX - WMO inst type : 846 - FLOAT SERIAL : 7219 - Date : 2016 1 10
Float : 1900959 - Cycle : 77 - PI : CARL SZCZECHOWSKI - Data mode : A - Platform type : APEX - WMO inst type : 846 - FLOAT SERIAL : 7219 - Date : 2016 1 13
Float : 1900959 - Cycle : 78 - PI : CARL SZCZECHOWSKI - Data mode : A - Platform type : APEX - WMO inst type : 846 - FLOAT SERIAL : 7219 - Date : 2016 1 17
Float : 1900959 - Cycle : 81 - PI : CARL SZCZECHOWSKI - Data mode : A - Platform type : APEX - WMO inst type : 846 - FLOAT SERIAL : 7219 - Date : 2016 1 28
Float : 1900959 - Cycle : 82 - PI : CARL SZCZECHOWSKI - Data mode : A - Platform type : APEX - WMO inst type : 846 - FLOAT SERIAL : 7219 - Date : 2016 1 31
Float : 1900959 - Cycle : 83 - PI : CARL SZCZECHOWSKI - Data mode : A - Platform type : APEX - WMO inst type : 846 - FLOAT SERIAL : 7219 - Date : 2016 2 4
Float : 1900959 - Cycle : 85 - PI : CARL SZCZECHOWSKI - Data mode : A - Platform type : APEX - WMO inst type : 846 - FLOAT SERIAL : 7219 - Date : 2016 2 11
Float : 1900959 - Cycle : 86 - PI : CARL SZCZECHOWSKI - Data mode : A - Platform type : APEX - WMO inst type : 846 - FLOAT SERIAL : 7219 - Date : 2016 2 15
Float : 1900959 - Cycle : 87 - PI : CARL SZCZECHOWSKI - Data mode : A - Platform type : APEX - WMO inst type : 846 - FLOAT SERIAL : 7219 - Date : 2016 2 18
Float : 1900959 - Cycle : 88 - PI : CARL SZCZECHOWSKI - Data mode : A - Platform type : APEX - WMO inst type : 846 - FLOAT SERIAL : 7219 - Date : 2016 2 22
Float : 1900959 - Cycle : 89 - PI : CARL SZCZECHOWSKI - Data mode : A - Platform type : APEX - WMO inst type : 846 - FLOAT SERIAL : 7219 - Date : 2016 2 26
Float : 1900959 - Cycle : 90 - PI : CARL SZCZECHOWSKI - Data mode : A - Platform type : APEX - WMO inst type : 846 - FLOAT SERIAL : 7219 - Date : 2016 2 29
Float : 1900959 - Cycle : 91 - PI : CARL SZCZECHOWSKI - Data mode : A - Platform type : APEX - WMO inst type : 846 - FLOAT SERIAL : 7219 - Date : 2016 3 4
Float : 1900959 - Cycle : 92 - PI : CARL SZCZECHOWSKI - Data mode : A - Platform type : APEX - WMO inst type : 846 - FLOAT SERIAL : 7219 - Date : 2016 3 8
Float : 1900959 - Cycle : 93 - PI : CARL SZCZECHOWSKI - Data mode : A - Platform type : APEX - WMO inst type : 846 - FLOAT SERIAL : 7219 - Date : 2016 3 11
Float : 1900959 - Cycle : 94 - PI : CARL SZCZECHOWSKI - Data mode : A - Platform type : APEX - WMO inst type : 846 - FLOAT SERIAL : 7219 - Date : 2016 3 15
Float : 1900959 - Cycle : 95 - PI : CARL SZCZECHOWSKI - Data mode : A - Platform type : APEX - WMO inst type : 846 - FLOAT SERIAL : 7219 - Date : 2016 3 18
Float : 1900959 - Cycle : 96 - PI : CARL SZCZECHOWSKI - Data mode : A - Platform type : APEX - WMO inst type : 846 - FLOAT SERIAL : 7219 - Date : 2016 3 22
Float : 1900959 - Cycle : 97 - PI : CARL SZCZECHOWSKI - Data mode : A - Platform type : APEX - WMO inst type : 846 - FLOAT SERIAL : 7219 - Date : 2016 3 26
Float : 1900959 - Cycle : 98 - PI : CARL SZCZECHOWSKI - Data mode : A - Platform type : APEX - WMO inst type : 846 - FLOAT SERIAL : 7219 - Date : 2016 3 29
Float : 1900959 - Cycle : 99 - PI : CARL SZCZECHOWSKI - Data mode : A - Platform type : APEX - WMO inst type : 846 - FLOAT SERIAL : 7219 - Date : 2016 4 2
Float : 1901694 - Cycle : 230 - PI : BRECK OWENS, STEVE JAYNE, P.E. ROBBINS - Data mode : R - Platform type : S2A - WMO inst type : 854 - FLOAT SERIAL : 7162 - Date : 2019 10 13
Float : 1901698 - Cycle : 261 - PI : BRECK OWENS, STEVE JAYNE, AND P.E. ROBBINS - Data mode : R - Platform type : S2A - WMO inst type : 854 - FLOAT SERIAL : 7188 - Date : 2020 12 30
Float : 1901712 - Cycle : 245 - PI : BRECK OWENS, STEVE JAYNE, P.E. ROBBINS - Data mode : R - Platform type : S2A - WMO inst type : 854 - FLOAT SERIAL : 7186 - Date : 2020 6 24
Float : 1901714 - Cycle : 240 - PI : BRECK OWENS, STEVEN JAYNE, P.E. ROBBINS - Data mode : R - Platform type : S2A - WMO inst type : 854 - FLOAT SERIAL : 7243 - Date : 2020 11 9

Float : 1901716 - Cycle : 214 - PI : BRECK OWENS, STEVEN JAYNE, P.E. ROBBINS - Data mode : R - Platform type : S2A - WMO inst type : 854 - FLOAT SERIAL : 7246 - Date : 2020 2 26
Float : 1901719 - Cycle : 237 - PI : BRECK OWENS, STEVEN JAYNE, P.E. ROBBINS - Data mode : R - Platform type : S2A - WMO inst type : 854 - FLOAT SERIAL : 7234 - Date : 2020 10 10
Float : 1901721 - Cycle : 177 - PI : BRECK OWENS, STEVEN JAYNE, P.E. ROBBINS - Data mode : R - Platform type : S2A - WMO inst type : 854 - FLOAT SERIAL : 7237 - Date : 2019 3 8
Float : 1901721 - Cycle : 220 - PI : BRECK OWENS, STEVEN JAYNE, P.E. ROBBINS - Data mode : R - Platform type : S2A - WMO inst type : 854 - FLOAT SERIAL : 7237 - Date : 2020 4 29
Float : 1901725 - Cycle : 105 - PI : BRECK OWENS, STEVEN JAYNE, P.E. ROBBINS - Data mode : R - Platform type : S2A - WMO inst type : 854 - FLOAT SERIAL : 7023 - Date : 2017 11 21
Float : 1901726 - Cycle : 95 - PI : BRECK OWENS, STEVEN JAYNE, P.E. ROBBINS - Data mode : R - Platform type : S2A - WMO inst type : 854 - FLOAT SERIAL : 7024 - Date : 2017 8 2
Float : 1901809 - Cycle : 159 - PI : BRECK OWENS, STEVEN JAYNE, P.E. ROBBINS - Data mode : R - Platform type : S2A - WMO inst type : 854 - FLOAT SERIAL : 7320 - Date : 2019 4 4
Float : 1901812 - Cycle : 148 - PI : BRECK OWENS, STEVEN JAYNE, P.E. ROBBINS - Data mode : R - Platform type : S2A - WMO inst type : 854 - FLOAT SERIAL : 7325 - Date : 2020 2 17
Float : 1901812 - Cycle : 149 - PI : BRECK OWENS, STEVEN JAYNE, P.E. ROBBINS - Data mode : R - Platform type : S2A - WMO inst type : 854 - FLOAT SERIAL : 7325 - Date : 2020 2 27
Float : 1901812 - Cycle : 150 - PI : BRECK OWENS, STEVEN JAYNE, P.E. ROBBINS - Data mode : R - Platform type : S2A - WMO inst type : 854 - FLOAT SERIAL : 7325 - Date : 2020 3 8
Float : 1901812 - Cycle : 151 - PI : BRECK OWENS, STEVEN JAYNE, P.E. ROBBINS - Data mode : R - Platform type : S2A - WMO inst type : 854 - FLOAT SERIAL : 7325 - Date : 2020 3 18
Float : 1901812 - Cycle : 152 - PI : BRECK OWENS, STEVEN JAYNE, P.E. ROBBINS - Data mode : R - Platform type : S2A - WMO inst type : 854 - FLOAT SERIAL : 7325 - Date : 2020 3 28
Float : 1901812 - Cycle : 154 - PI : BRECK OWENS, STEVEN JAYNE, P.E. ROBBINS - Data mode : R - Platform type : S2A - WMO inst type : 854 - FLOAT SERIAL : 7325 - Date : 2020 4 17
Float : 1901812 - Cycle : 155 - PI : BRECK OWENS, STEVEN JAYNE, P.E. ROBBINS - Data mode : R - Platform type : S2A - WMO inst type : 854 - FLOAT SERIAL : 7325 - Date : 2020 4 27
Float : 1901812 - Cycle : 156 - PI : BRECK OWENS, STEVEN JAYNE, P.E. ROBBINS - Data mode : R - Platform type : S2A - WMO inst type : 854 - FLOAT SERIAL : 7325 - Date : 2020 5 7
Float : 1901812 - Cycle : 160 - PI : BRECK OWENS, STEVEN JAYNE, P.E. ROBBINS - Data mode : R - Platform type : S2A - WMO inst type : 854 - FLOAT SERIAL : 7325 - Date : 2020 5 19
Float : 1901812 - Cycle : 164 - PI : BRECK OWENS, STEVEN JAYNE, P.E. ROBBINS - Data mode : R - Platform type : S2A - WMO inst type : 854 - FLOAT SERIAL : 7325 - Date : 2020 6 17
Float : 1901812 - Cycle : 168 - PI : BRECK OWENS, STEVEN JAYNE, P.E. ROBBINS - Data mode : R - Platform type : S2A - WMO inst type : 854 - FLOAT SERIAL : 7325 - Date : 2020 7 26
Float : 1901812 - Cycle : 172 - PI : BRECK OWENS, STEVEN JAYNE, P.E. ROBBINS - Data mode : R - Platform type : S2A - WMO inst type : 854 - FLOAT SERIAL : 7325 - Date : 2020 9 3
Float : 1901812 - Cycle : 85 - PI : BRECK OWENS, STEVEN JAYNE, P.E. ROBBINS - Data mode : R - Platform type : S2A - WMO inst type : 854 - FLOAT SERIAL : 7325 - Date : 2018 6 1
Float : 1901816 - Cycle : 133 - PI : BRECK OWENS, STEVEN JAYNE, P.E. ROBBINS - Data mode : R - Platform type : S2A - WMO inst type : 854 - FLOAT SERIAL : 7352 - Date : 2019 12 30
Float : 1901819 - Cycle : 155 - PI : BRECK OWENS, STEVEN JAYNE, P.E. ROBBINS - Data mode : R - Platform type : S2A - WMO inst type : 854 - FLOAT SERIAL : 7355 - Date : 2020 8 4
Float : 1901826 - Cycle : 116 - PI : BRECK OWENS, STEVEN JAYNE, P.E. ROBBINS - Data mode : R - Platform type : S2A - WMO inst type : 854 - FLOAT SERIAL : 7383 - Date : 2020 1 2
Float : 1901826 - Cycle : 117 - PI : BRECK OWENS, STEVEN JAYNE, P.E. ROBBINS - Data mode : R - Platform type : S2A - WMO inst type : 854 - FLOAT SERIAL : 7383 - Date : 2020 1 12
Float : 1901828 - Cycle : 152 - PI : BRECK OWENS, STEVEN JAYNE, P.E. ROBBINS - Data mode : R - Platform type : S2A - WMO inst type : 854 - FLOAT SERIAL : 7389 - Date : 2021 1 6
Float : 1902026 - Cycle : 130 - PI : DEAN ROEMMICH - Data mode : R - Platform type : SOLO_II - WMO inst type : 853 - FLOAT SERIAL : 8494 - Date : 2020 5 14
Float : 1902028 - Cycle : 119 - PI : DEAN ROEMMICH - Data mode : R - Platform type : SOLO_II - WMO inst type : 853 - FLOAT SERIAL : 8496 - Date : 2020 1 29
Float : 1902030 - Cycle : 141 - PI : DEAN ROEMMICH - Data mode : R - Platform type : SOLO_II - WMO inst type : 853 - FLOAT SERIAL : 8498 - Date : 2020 9 4
Float : 1902031 - Cycle : 133 - PI : DEAN ROEMMICH - Data mode : R - Platform type : SOLO_II - WMO inst type : 853 - FLOAT SERIAL : 8499 - Date : 2020 6 17
Float : 1902032 - Cycle : 120 - PI : DEAN ROEMMICH - Data mode : R - Platform type : SOLO_II - WMO inst type : 853 - FLOAT SERIAL : 8500 - Date : 2020 2 9
Float : 1902033 - Cycle : 123 - PI : DEAN ROEMMICH - Data mode : A - Platform type : SOLO_II - WMO inst type : 853 - FLOAT SERIAL : 8501 - Date : 2020 3 8
Float : 1902033 - Cycle : 143 - PI : DEAN ROEMMICH - Data mode : A - Platform type : SOLO_II - WMO inst type : 853 - FLOAT SERIAL : 8501 - Date : 2020 9 24
Float : 1902037 - Cycle : 78 - PI : DEAN ROEMMICH - Data mode : R - Platform type : SOLO_II - WMO inst type : 853 - FLOAT SERIAL : 8724 - Date : 2021 2 14
Float : 1902038 - Cycle : 77 - PI : DEAN ROEMMICH - Data mode : A - Platform type : SOLO_II - WMO inst type : 853 - FLOAT SERIAL : 8725 - Date : 2021 2 5
Float : 1902040 - Cycle : 78 - PI : DEAN ROEMMICH - Data mode : R - Platform type : SOLO_II - WMO inst type : 853 - FLOAT SERIAL : 8727 - Date : 2020 11 20
Float : 1902040 - Cycle : 85 - PI : DEAN ROEMMICH - Data mode : R - Platform type : SOLO_II - WMO inst type : 853 - FLOAT SERIAL : 8727 - Date : 2021 1 28
Float : 1902043 - Cycle : 77 - PI : DEAN ROEMMICH - Data mode : A - Platform type : SOLO_II - WMO inst type : 853 - FLOAT SERIAL : 8730 - Date : 2021 2 8
Float : 1902045 - Cycle : 58 - PI : DEAN ROEMMICH - Data mode : A - Platform type : SOLO_II - WMO inst type : 853 - FLOAT SERIAL : 8732 - Date : 2020 8 3
Float : 1902045 - Cycle : 62 - PI : DEAN ROEMMICH - Data mode : A - Platform type : SOLO_II - WMO inst type : 853 - FLOAT SERIAL : 8732 - Date : 2020 9 11
Float : 1902048 - Cycle : 58 - PI : DEAN ROEMMICH - Data mode : R - Platform type : SOLO_II - WMO inst type : 853 - FLOAT SERIAL : 8735 - Date : 2020 8 4
Float : 1902073 - Cycle : 0 - PI : BRECK OWENS, STEVEN JAYNE, P.E. ROBBINS - Data mode : R - Platform type : S2A - WMO inst type : 854 - FLOAT SERIAL : 7442 - Date : 2017 11 17
Float : 1902073 - Cycle : 36 - PI : BRECK OWENS, STEVEN JAYNE, P.E. ROBBINS - Data mode : R - Platform type : S2A - WMO inst type : 854 - FLOAT SERIAL : 7442 - Date : 2018 10 4
Float : 1902183 - Cycle : 17 - PI : BRECK OWENS, STEVEN JAYNE, P.E. ROBBINS - Data mode : R - Platform type : S2A - WMO inst type : 854 - FLOAT SERIAL : 7456 - Date : 2018 8 14
Float : 1902183 - Cycle : 82 - PI : BRECK OWENS, STEVEN JAYNE, P.E. ROBBINS - Data mode : R - Platform type : S2A - WMO inst type : 854 - FLOAT SERIAL : 7456 - Date : 2020 5 27
Float : 1902185 - Cycle : 22 - PI : BRECK OWENS, STEVEN JAYNE, P.E. ROBBINS - Data mode : R - Platform type : S2A - WMO inst type : 854 - FLOAT SERIAL : 7467 - Date : 2018 10 2
Float : 1902185 - Cycle : 98 - PI : BRECK OWENS, STEVEN JAYNE, P.E. ROBBINS - Data mode : R - Platform type : S2A - WMO inst type : 854 - FLOAT SERIAL : 7467 - Date : 2020 11 2
Float : 1902198 - Cycle : 96 - PI : GREGORY C. JOHNSON - Data mode : A - Platform type : NAVIS_A - WMO inst type : 863 - FLOAT SERIAL : 0856 - Date : 2021 2 4
Float : 1902198 - Cycle : 97 - PI : GREGORY C. JOHNSON - Data mode : A - Platform type : NAVIS_A - WMO inst type : 863 - FLOAT SERIAL : 0856 - Date : 2021 2 14
Float : 1902198 - Cycle : 98 - PI : GREGORY C. JOHNSON - Data mode : A - Platform type : NAVIS_A - WMO inst type : 863 - FLOAT SERIAL : 0856 - Date : 2021 2 24
Float : 1902200 - Cycle : 31 - PI : GREGORY C. JOHNSON - Data mode : A - Platform type : NAVIS_A - WMO inst type : 863 - FLOAT SERIAL : 0858 - Date : 2019 4 28
Float : 1902204 - Cycle : 16 - PI : BRECK OWENS, STEVEN JAYNE, P.E. ROBBINS - Data mode : R - Platform type : S2A - WMO inst type : 854 - FLOAT SERIAL : 7470 - Date : 2018 8 5
Float : 1902210 - Cycle : 91 - PI : BRECK OWENS, STEVEN JAYNE, P.E. ROBBINS - Data mode : R - Platform type : S2A - WMO inst type : 854 - FLOAT SERIAL : 7478 - Date : 2020 8 11
Float : 1902211 - Cycle : 105 - PI : BRECK OWENS, STEVEN JAYNE, P.E. ROBBINS - Data mode : R - Platform type : S2A - WMO inst type : 854 - FLOAT SERIAL : 7479 - Date : 2020 12 29
Float : 1902211 - Cycle : 85 - PI : BRECK OWENS, STEVEN JAYNE, P.E. ROBBINS - Data mode : R - Platform type : S2A - WMO inst type : 854 - FLOAT SERIAL : 7479 - Date : 2020 6 14
Float : 1902212 - Cycle : 133 - PI : BRECK OWENS, STEVEN JAYNE, P.E. ROBBINS - Data mode : R - Platform type : S2A - WMO inst type : 854 - FLOAT SERIAL : 7450 - Date : 2020 3 1
Float : 1902212 - Cycle : 134 - PI : BRECK OWENS, STEVEN JAYNE, P.E. ROBBINS - Data mode : R - Platform type : S2A - WMO inst type : 854 - FLOAT SERIAL : 7450 - Date : 2020 3 6
Float : 1902212 - Cycle : 188 - PI : BRECK OWENS, STEVEN JAYNE, P.E. ROBBINS - Data mode : R - Platform type : S2A - WMO inst type : 854 - FLOAT SERIAL : 7450 - Date : 2020 11 25
Float : 1902212 - Cycle : 20 - PI : BRECK OWENS, STEVEN JAYNE, P.E. ROBBINS - Data mode : R - Platform type : S2A - WMO inst type : 854 - FLOAT SERIAL : 7450 - Date : 2018 8 27
Float : 1902213 - Cycle : 109 - PI : BRECK OWENS, STEVEN JAYNE, P.E. ROBBINS - Data mode : R - Platform type : S2A - WMO inst type : 854 - FLOAT SERIAL : 7452 - Date : 2019 11 5
Float : 1902213 - Cycle : 149 - PI : BRECK OWENS, STEVEN JAYNE, P.E. ROBBINS - Data mode : R - Platform type : S2A - WMO inst type : 854 - FLOAT SERIAL : 7452 - Date : 2020 5 19
Float : 1902213 - Cycle : 49 - PI : BRECK OWENS, STEVEN JAYNE, P.E. ROBBINS - Data mode : R - Platform type : S2A - WMO inst type : 854 - FLOAT SERIAL : 7452 - Date : 2019 1 16
Float : 1902214 - Cycle : 49 - PI : BRECK OWENS, STEVEN JAYNE, P.E. ROBBINS - Data mode : R - Platform type : S2A - WMO inst type : 854 - FLOAT SERIAL : 7453 - Date : 2019 1 16
Float : 1902218 - Cycle : 72 - PI : BRECK OWENS, STEVEN JAYNE, P.E. ROBBINS - Data mode : R - Platform type : S2A - WMO inst type : 854 - FLOAT SERIAL : 7459 - Date : 2020 4 10
Float : 1902218 - Cycle : 96 - PI : BRECK OWENS, STEVEN JAYNE, P.E. ROBBINS - Data mode : R - Platform type : S2A - WMO inst type : 854 - FLOAT SERIAL : 7459 - Date : 2020 12 3
Float : 1902219 - Cycle : 38 - PI : BRECK OWENS, STEVEN JAYNE, P.E. ROBBINS - Data mode : R - Platform type : S2A - WMO inst type : 854 - FLOAT SERIAL : 7460 - Date : 2018 7 18
Float : 1902219 - Cycle : 8 - PI : BRECK OWENS, STEVEN JAYNE, P.E. ROBBINS - Data mode : R - Platform type : S2A - WMO inst type : 854 - FLOAT SERIAL : 7460 - Date : 2018 6 12
Float : 1902220 - Cycle : 65 - PI : BRECK OWENS, STEVEN JAYNE, P.E. ROBBINS - Data mode : R - Platform type : S2A - WMO inst type : 854 - FLOAT SERIAL : 7461 - Date : 2019 12 22
Float : 1902222 - Cycle : 70 - PI : BRECK OWENS, STEVEN JAYNE, P.E. ROBBINS - Data mode : R - Platform type : S2A - WMO inst type : 854 - FLOAT SERIAL : 7517 - Date : 2021 2 1
Float : 1902222 - Cycle : 71 - PI : BRECK OWENS, STEVEN JAYNE, P.E. ROBBINS - Data mode : R - Platform type : S2A - WMO inst type : 854 - FLOAT SERIAL : 7517 - Date : 2021 2 11
Float : 1902222 - Cycle : 72 - PI : BRECK OWENS, STEVEN JAYNE, P.E. ROBBINS - Data mode : R - Platform type : S2A - WMO inst type : 854 - FLOAT SERIAL : 7517 - Date : 2021 2 21
Float : 1902225 - Cycle : 47 - PI : BRECK OWENS, STEVEN JAYNE, P.E. ROBBINS - Data mode : R - Platform type : ALTO - WMO inst type : 873 - FLOAT SERIAL : 11021 - Date : 2020 7 3
Float : 1902226 - Cycle : 53 - PI : BRECK OWENS, STEVEN JAYNE, P.E. ROBBINS - Data mode : R - Platform type : ALTO - WMO inst type : 873 - FLOAT SERIAL : 11029 - Date : 2020 9 1
Float : 1902228 - Cycle : 38 - PI : WHOI: WIJFFELS, JAYNE, ROBBINS - Data mode : R - Platform type : ALTO - WMO inst type : 873 - FLOAT SERIAL : 11058 - Date : 2020 10 22
Float : 1902251 - Cycle : 15 - PI : DEAN ROEMMICH, SARAH PURKEY, NATHALIE ZILBERMAN, JOHN GILSON - Data mode : R - Platform type : SOLO_II - WMO inst type : 853 - FLOAT SERIAL : 8870 - Date : 2020 12 14
Float : 1902252 - Cycle : 0 - PI : DEAN ROEMMICH, SARAH PURKEY, NATHALIE ZILBERMAN, JOHN GILSON - Data mode : R - Platform type : SOLO_II - WMO inst type : 853 - FLOAT SERIAL : 8871 - Date : 2020 8 24
Float : 1902253 - Cycle : 0 - PI : DEAN ROEMMICH, SARAH PURKEY, NATHALIE ZILBERMAN, JOHN GILSON - Data mode : R - Platform type : SOLO_II - WMO inst type : 853 - FLOAT SERIAL : 8872 - Date : 2020 8 24

Float : 1902253 - Cycle : 5 - PI : DEAN ROEMMICH, SARAH PURKEY, NATHALIE ZILBERMAN, JOHN GILSON - Data mode : R - Platform type : SOLO_II - WMO inst type : 853 - FLOAT SERIAL : 8872 - Date : 2020 9 7
Float : 1902255 - Cycle : 0 - PI : DEAN ROEMMICH, SARAH PURKEY, NATHALIE ZILBERMAN, JOHN GILSON - Data mode : R - Platform type : SOLO_II - WMO inst type : 853 - FLOAT SERIAL : 8875 - Date : 2020 8 26
Float : 1902257 - Cycle : 0 - PI : DEAN ROEMMICH, SARAH PURKEY, NATHALIE ZILBERMAN, JOHN GILSON - Data mode : R - Platform type : SOLO_II - WMO inst type : 853 - FLOAT SERIAL : 8877 - Date : 2020 8 27
Float : 1902257 - Cycle : 15 - PI : DEAN ROEMMICH, SARAH PURKEY, NATHALIE ZILBERMAN, JOHN GILSON - Data mode : R - Platform type : SOLO_II - WMO inst type : 853 - FLOAT SERIAL : 8877 - Date : 2020 12 18
Float : 1902263 - Cycle : 10 - PI : DEAN ROEMMICH, SARAH PURKEY, NATHALIE ZILBERMAN, JOHN GILSON - Data mode : R - Platform type : SOLO_II - WMO inst type : 853 - FLOAT SERIAL : 8884 - Date : 2020 11 5
Float : 1902265 - Cycle : 12 - PI : DEAN ROEMMICH, SARAH PURKEY, NATHALIE ZILBERMAN, JOHN GILSON - Data mode : R - Platform type : SOLO_II - WMO inst type : 853 - FLOAT SERIAL : 8886 - Date : 2020 11 26
Float : 1902265 - Cycle : 2 - PI : DEAN ROEMMICH, SARAH PURKEY, NATHALIE ZILBERMAN, JOHN GILSON - Data mode : R - Platform type : SOLO_II - WMO inst type : 853 - FLOAT SERIAL : 8886 - Date : 2020 9 6
Float : 1902269 - Cycle : 66 - PI : GREGORY C. JOHNSON - Data mode : A - Platform type : NAVIS_A - WMO inst type : 863 - FLOAT SERIAL : 0946 - Date : 2021 1 31
Float : 1902269 - Cycle : 67 - PI : GREGORY C. JOHNSON - Data mode : A - Platform type : NAVIS_A - WMO inst type : 863 - FLOAT SERIAL : 0946 - Date : 2021 2 10
Float : 1902269 - Cycle : 68 - PI : GREGORY C. JOHNSON - Data mode : A - Platform type : NAVIS_A - WMO inst type : 863 - FLOAT SERIAL : 0946 - Date : 2021 2 20
Float : 1902280 - Cycle : 17 - PI : WHOI: WIJFFELS, JAYNE, ROBBINS - Data mode : R - Platform type : S2A - WMO inst type : 854 - FLOAT SERIAL : 7565 - Date : 2021 2 9
Float : 2900382 - Cycle : 1 - PI : CHARLIE HORTON - Data mode : A - Platform type : APEX - WMO inst type : 846 - FLOAT SERIAL : 2611 - Date : 2006 4 17
Float : 2900382 - Cycle : 168 - PI : CHARLIE HORTON - Data mode : A - Platform type : APEX - WMO inst type : 846 - FLOAT SERIAL : 2611 - Date : 2007 6 7
Float : 2900382 - Cycle : 208 - PI : CHARLIE HORTON - Data mode : A - Platform type : APEX - WMO inst type : 846 - FLOAT SERIAL : 2611 - Date : 2007 9 15
Float : 2900382 - Cycle : 210 - PI : CHARLIE HORTON - Data mode : A - Platform type : APEX - WMO inst type : 846 - FLOAT SERIAL : 2611 - Date : 2007 9 20
Float : 2900382 - Cycle : 220 - PI : CHARLIE HORTON - Data mode : A - Platform type : APEX - WMO inst type : 846 - FLOAT SERIAL : 2611 - Date : 2007 10 15
Float : 2900623 - Cycle : 292 - PI : CHARLIE HORTON - Data mode : A - Platform type : APEX - WMO inst type : 846 - FLOAT SERIAL : 3071 - Date : 2009 1 18
Float : 2902055 - Cycle : 162 - PI : CARL SZCZECHOWSKI - Data mode : A - Platform type : APEX - WMO inst type : 846 - FLOAT SERIAL : 7319 - Date : 2017 5 23
Float : 2902064 - Cycle : 266 - PI : CARL SZCZECHOWSKI - Data mode : A - Platform type : APEX - WMO inst type : 846 - FLOAT SERIAL : 7321 - Date : 2018 6 7
Float : 2902386 - Cycle : 111 - PI : CARL SZCZECHOWSKI - Data mode : A - Platform type : APEX - WMO inst type : 846 - FLOAT SERIAL : 7564 - Date : 2017 5 23
Float : 2902391 - Cycle : 87 - PI : BRECK OWENS, STEVEN JAYNE, P.E. ROBBINS - Data mode : R - Platform type : S2A - WMO inst type : 854 - FLOAT SERIAL : 7331 - Date : 2018 3 7
Float : 2902393 - Cycle : 177 - PI : BRECK OWENS, STEVEN JAYNE, P.E. ROBBINS - Data mode : R - Platform type : S2A - WMO inst type : 854 - FLOAT SERIAL : 7316 - Date : 2020 8 18
Float : 2902394 - Cycle : 92 - PI : BRECK OWENS, STEVEN JAYNE, P.E. ROBBINS - Data mode : R - Platform type : S2A - WMO inst type : 854 - FLOAT SERIAL : 7322 - Date : 2018 5 10
Float : 2902395 - Cycle : 73 - PI : BRECK OWENS, STEVEN JAYNE, P.E. ROBBINS - Data mode : R - Platform type : S2A - WMO inst type : 854 - FLOAT SERIAL : 7333 - Date : 2017 10 31
Float : 2902396 - Cycle : 104 - PI : BRECK OWENS, STEVEN JAYNE, P.E. ROBBINS - Data mode : R - Platform type : S2A - WMO inst type : 854 - FLOAT SERIAL : 7338 - Date : 2018 9 5
Float : 2902397 - Cycle : 60 - PI : BRECK OWENS, STEVEN JAYNE, P.E. ROBBINS - Data mode : R - Platform type : S2A - WMO inst type : 854 - FLOAT SERIAL : 7339 - Date : 2017 6 24
Float : 2903133 - Cycle : 15 - PI : BRECK OWENS, STEVEN JAYNE, P.E. ROBBINS - Data mode : R - Platform type : ALTO - WMO inst type : 873 - FLOAT SERIAL : 10110 - Date : 2018 5 25
Float : 2903133 - Cycle : 18 - PI : BRECK OWENS, STEVEN JAYNE, P.E. ROBBINS - Data mode : R - Platform type : ALTO - WMO inst type : 873 - FLOAT SERIAL : 10110 - Date : 2018 5 28
Float : 2903133 - Cycle : 3 - PI : BRECK OWENS, STEVEN JAYNE, P.E. ROBBINS - Data mode : R - Platform type : ALTO - WMO inst type : 873 - FLOAT SERIAL : 10110 - Date : 2018 5 17
Float : 2903134 - Cycle : 3 - PI : BRECK OWENS, STEVEN JAYNE, P.E. ROBBINS - Data mode : R - Platform type : ALTO - WMO inst type : 873 - FLOAT SERIAL : 10114 - Date : 2018 5 17
Float : 2903135 - Cycle : 15 - PI : BRECK OWENS, STEVEN JAYNE, P.E. ROBBINS - Data mode : R - Platform type : ALTO - WMO inst type : 873 - FLOAT SERIAL : 11013 - Date : 2018 5 26
Float : 2903135 - Cycle : 7 - PI : BRECK OWENS, STEVEN JAYNE, P.E. ROBBINS - Data mode : R - Platform type : ALTO - WMO inst type : 873 - FLOAT SERIAL : 11013 - Date : 2018 5 20
Float : 2903423 - Cycle : 45 - PI : DEAN ROEMMICH - Data mode : R - Platform type : SOLO_II - WMO inst type : 853 - FLOAT SERIAL : 8788 - Date : 2020 8 2
Float : 2903425 - Cycle : 40 - PI : DEAN ROEMMICH - Data mode : R - Platform type : SOLO_II - WMO inst type : 853 - FLOAT SERIAL : 8790 - Date : 2020 6 14
Float : 2903427 - Cycle : 34 - PI : DEAN ROEMMICH - Data mode : R - Platform type : SOLO_II - WMO inst type : 853 - FLOAT SERIAL : 8792 - Date : 2020 4 17
Float : 3901059 - Cycle : 118 - PI : BRECK OWENS, STEVEN JAYNE, P.E. ROBBINS - Data mode : R - Platform type : S2A - WMO inst type : 854 - FLOAT SERIAL : 7125 - Date : 2018 3 20
Float : 3901105 - Cycle : 191 - PI : BRECK OWENS, STEVEN JAYNE, P.E. ROBBINS - Data mode : R - Platform type : S2A - WMO inst type : 854 - FLOAT SERIAL : 7282 - Date : 2020 10 6
Float : 3901113 - Cycle : 135 - PI : BRECK OWENS, STEVEN JAYNE, P.E. ROBBINS - Data mode : R - Platform type : S2A - WMO inst type : 854 - FLOAT SERIAL : 7301 - Date : 2019 4 2
Float : 3901126 - Cycle : 215 - PI : DEAN ROEMMICH - Data mode : R - Platform type : SOLO - WMO inst type : 851 - FLOAT SERIAL : 3061 - Date : 2018 8 14
Float : 3901151 - Cycle : 288 - PI : GREGORY C. JOHNSON - Data mode : A - Platform type : NAVIS_A - WMO inst type : 863 - FLOAT SERIAL : 0194 - Date : 2021 2 11
Float : 3901187 - Cycle : 252 - PI : GREGORY C. JOHNSON - Data mode : A - Platform type : NAVIS_A - WMO inst type : 863 - FLOAT SERIAL : 0300 - Date : 2021 2 8
Float : 3901187 - Cycle : 253 - PI : GREGORY C. JOHNSON - Data mode : A - Platform type : NAVIS_A - WMO inst type : 863 - FLOAT SERIAL : 0300 - Date : 2021 2 18
Float : 3901199 - Cycle : 206 - PI : GREGORY C. JOHNSON - Data mode : A - Platform type : NAVIS_A - WMO inst type : 863 - FLOAT SERIAL : 0478 - Date : 2021 1 30
Float : 3901199 - Cycle : 207 - PI : GREGORY C. JOHNSON - Data mode : A - Platform type : NAVIS_A - WMO inst type : 863 - FLOAT SERIAL : 0478 - Date : 2021 2 9
Float : 3901199 - Cycle : 208 - PI : GREGORY C. JOHNSON - Data mode : A - Platform type : NAVIS_A - WMO inst type : 863 - FLOAT SERIAL : 0478 - Date : 2021 2 19
Float : 3901200 - Cycle : 171 - PI : GREGORY C. JOHNSON - Data mode : A - Platform type : NAVIS_A - WMO inst type : 863 - FLOAT SERIAL : 0500 - Date : 2021 2 20
Float : 3901221 - Cycle : 12 - PI : BRECK OWENS, STEVEN JAYNE, P.E. ROBBINS - Data mode : R - Platform type : S2A - WMO inst type : 854 - FLOAT SERIAL : 7305 - Date : 2015 11 30
Float : 3901221 - Cycle : 130 - PI : BRECK OWENS, STEVEN JAYNE, P.E. ROBBINS - Data mode : R - Platform type : S2A - WMO inst type : 854 - FLOAT SERIAL : 7305 - Date : 2019 2 13
Float : 3901221 - Cycle : 47 - PI : BRECK OWENS, STEVEN JAYNE, P.E. ROBBINS - Data mode : R - Platform type : S2A - WMO inst type : 854 - FLOAT SERIAL : 7305 - Date : 2016 11 11
Float : 3901221 - Cycle : 50 - PI : BRECK OWENS, STEVEN JAYNE, P.E. ROBBINS - Data mode : R - Platform type : S2A - WMO inst type : 854 - FLOAT SERIAL : 7305 - Date : 2016 12 11
Float : 3901222 - Cycle : 10 - PI : BRECK OWENS, STEVEN JAYNE, P.E. ROBBINS - Data mode : R - Platform type : S2A - WMO inst type : 854 - FLOAT SERIAL : 7308 - Date : 2015 11 11
Float : 3901222 - Cycle : 11 - PI : BRECK OWENS, STEVEN JAYNE, P.E. ROBBINS - Data mode : R - Platform type : S2A - WMO inst type : 854 - FLOAT SERIAL : 7308 - Date : 2015 11 21
Float : 3901222 - Cycle : 130 - PI : BRECK OWENS, STEVEN JAYNE, P.E. ROBBINS - Data mode : R - Platform type : S2A - WMO inst type : 854 - FLOAT SERIAL : 7308 - Date : 2019 2 13
Float : 3901222 - Cycle : 170 - PI : BRECK OWENS, STEVEN JAYNE, P.E. ROBBINS - Data mode : R - Platform type : S2A - WMO inst type : 854 - FLOAT SERIAL : 7308 - Date : 2020 3 16
Float : 3901222 - Cycle : 171 - PI : BRECK OWENS, STEVEN JAYNE, P.E. ROBBINS - Data mode : R - Platform type : S2A - WMO inst type : 854 - FLOAT SERIAL : 7308 - Date : 2020 3 26
Float : 3901222 - Cycle : 172 - PI : BRECK OWENS, STEVEN JAYNE, P.E. ROBBINS - Data mode : R - Platform type : S2A - WMO inst type : 854 - FLOAT SERIAL : 7308 - Date : 2020 4 5
Float : 3901222 - Cycle : 173 - PI : BRECK OWENS, STEVEN JAYNE, P.E. ROBBINS - Data mode : R - Platform type : S2A - WMO inst type : 854 - FLOAT SERIAL : 7308 - Date : 2020 4 14
Float : 3901222 - Cycle : 174 - PI : BRECK OWENS, STEVEN JAYNE, P.E. ROBBINS - Data mode : R - Platform type : S2A - WMO inst type : 854 - FLOAT SERIAL : 7308 - Date : 2020 4 24
Float : 3901222 - Cycle : 175 - PI : BRECK OWENS, STEVEN JAYNE, P.E. ROBBINS - Data mode : R - Platform type : S2A - WMO inst type : 854 - FLOAT SERIAL : 7308 - Date : 2020 5 4
Float : 3901222 - Cycle : 176 - PI : BRECK OWENS, STEVEN JAYNE, P.E. ROBBINS - Data mode : R - Platform type : S2A - WMO inst type : 854 - FLOAT SERIAL : 7308 - Date : 2020 5 14
Float : 3901222 - Cycle : 177 - PI : BRECK OWENS, STEVEN JAYNE, P.E. ROBBINS - Data mode : R - Platform type : S2A - WMO inst type : 854 - FLOAT SERIAL : 7308 - Date : 2020 5 24
Float : 3901222 - Cycle : 179 - PI : BRECK OWENS, STEVEN JAYNE, P.E. ROBBINS - Data mode : R - Platform type : S2A - WMO inst type : 854 - FLOAT SERIAL : 7308 - Date : 2020 6 13
Float : 3901222 - Cycle : 180 - PI : BRECK OWENS, STEVEN JAYNE, P.E. ROBBINS - Data mode : R - Platform type : S2A - WMO inst type : 854 - FLOAT SERIAL : 7308 - Date : 2020 6 23
Float : 3901222 - Cycle : 181 - PI : BRECK OWENS, STEVEN JAYNE, P.E. ROBBINS - Data mode : R - Platform type : S2A - WMO inst type : 854 - FLOAT SERIAL : 7308 - Date : 2020 7 3
Float : 3901222 - Cycle : 182 - PI : BRECK OWENS, STEVEN JAYNE, P.E. ROBBINS - Data mode : R - Platform type : S2A - WMO inst type : 854 - FLOAT SERIAL : 7308 - Date : 2020 7 13
Float : 3901222 - Cycle : 183 - PI : BRECK OWENS, STEVEN JAYNE, P.E. ROBBINS - Data mode : R - Platform type : S2A - WMO inst type : 854 - FLOAT SERIAL : 7308 - Date : 2020 7 23
Float : 3901222 - Cycle : 184 - PI : BRECK OWENS, STEVEN JAYNE, P.E. ROBBINS - Data mode : R - Platform type : S2A - WMO inst type : 854 - FLOAT SERIAL : 7308 - Date : 2020 8 2
Float : 3901222 - Cycle : 185 - PI : BRECK OWENS, STEVEN JAYNE, P.E. ROBBINS - Data mode : R - Platform type : S2A - WMO inst type : 854 - FLOAT SERIAL : 7308 - Date : 2020 8 12
Float : 3901222 - Cycle : 186 - PI : BRECK OWENS, STEVEN JAYNE, P.E. ROBBINS - Data mode : R - Platform type : S2A - WMO inst type : 854 - FLOAT SERIAL : 7308 - Date : 2020 8 21
Float : 3901222 - Cycle : 187 - PI : BRECK OWENS, STEVEN JAYNE, P.E. ROBBINS - Data mode : R - Platform type : S2A - WMO inst type : 854 - FLOAT SERIAL : 7308 - Date : 2020 8 31
Float : 3901222 - Cycle : 188 - PI : BRECK OWENS, STEVEN JAYNE, P.E. ROBBINS - Data mode : R - Platform type : S2A - WMO inst type : 854 - FLOAT SERIAL : 7308 - Date : 2020 9 10
Float : 3901222 - Cycle : 189 - PI : BRECK OWENS, STEVEN JAYNE, P.E. ROBBINS - Data mode : R - Platform type : S2A - WMO inst type : 854 - FLOAT SERIAL : 7308 - Date : 2020 9 20

Float : 3901222 - Cycle : 190 - PI : BRECK OWENS, STEVEN JAYNE, P.E. ROBBINS - Data mode : R - Platform type : S2A - WMO inst type : 854 - FLOAT SERIAL : 7308 - Date : 2020 9 30
Float : 3901222 - Cycle : 191 - PI : BRECK OWENS, STEVEN JAYNE, P.E. ROBBINS - Data mode : R - Platform type : S2A - WMO inst type : 854 - FLOAT SERIAL : 7308 - Date : 2020 10 10
Float : 3901222 - Cycle : 192 - PI : BRECK OWENS, STEVEN JAYNE, P.E. ROBBINS - Data mode : R - Platform type : S2A - WMO inst type : 854 - FLOAT SERIAL : 7308 - Date : 2020 10 20
Float : 3901222 - Cycle : 193 - PI : BRECK OWENS, STEVEN JAYNE, P.E. ROBBINS - Data mode : R - Platform type : S2A - WMO inst type : 854 - FLOAT SERIAL : 7308 - Date : 2020 10 30
Float : 3901222 - Cycle : 194 - PI : BRECK OWENS, STEVEN JAYNE, P.E. ROBBINS - Data mode : R - Platform type : S2A - WMO inst type : 854 - FLOAT SERIAL : 7308 - Date : 2020 11 9
Float : 3901222 - Cycle : 195 - PI : BRECK OWENS, STEVEN JAYNE, P.E. ROBBINS - Data mode : R - Platform type : S2A - WMO inst type : 854 - FLOAT SERIAL : 7308 - Date : 2020 11 19
Float : 3901222 - Cycle : 196 - PI : BRECK OWENS, STEVEN JAYNE, P.E. ROBBINS - Data mode : R - Platform type : S2A - WMO inst type : 854 - FLOAT SERIAL : 7308 - Date : 2020 11 29
Float : 3901222 - Cycle : 197 - PI : BRECK OWENS, STEVEN JAYNE, P.E. ROBBINS - Data mode : R - Platform type : S2A - WMO inst type : 854 - FLOAT SERIAL : 7308 - Date : 2020 12 8
Float : 3901222 - Cycle : 198 - PI : BRECK OWENS, STEVEN JAYNE, P.E. ROBBINS - Data mode : R - Platform type : S2A - WMO inst type : 854 - FLOAT SERIAL : 7308 - Date : 2020 12 18
Float : 3901222 - Cycle : 199 - PI : BRECK OWENS, STEVEN JAYNE, P.E. ROBBINS - Data mode : R - Platform type : S2A - WMO inst type : 854 - FLOAT SERIAL : 7308 - Date : 2020 12 28
Float : 3901222 - Cycle : 200 - PI : BRECK OWENS, STEVEN JAYNE, P.E. ROBBINS - Data mode : R - Platform type : S2A - WMO inst type : 854 - FLOAT SERIAL : 7308 - Date : 2021 1 7
Float : 3901222 - Cycle : 201 - PI : BRECK OWENS, STEVEN JAYNE, P.E. ROBBINS - Data mode : R - Platform type : S2A - WMO inst type : 854 - FLOAT SERIAL : 7308 - Date : 2021 1 17
Float : 3901222 - Cycle : 202 - PI : BRECK OWENS, STEVEN JAYNE, P.E. ROBBINS - Data mode : R - Platform type : S2A - WMO inst type : 854 - FLOAT SERIAL : 7308 - Date : 2021 1 27
Float : 3901222 - Cycle : 203 - PI : BRECK OWENS, STEVEN JAYNE, P.E. ROBBINS - Data mode : R - Platform type : S2A - WMO inst type : 854 - FLOAT SERIAL : 7308 - Date : 2021 2 6
Float : 3901222 - Cycle : 204 - PI : BRECK OWENS, STEVEN JAYNE, P.E. ROBBINS - Data mode : R - Platform type : S2A - WMO inst type : 854 - FLOAT SERIAL : 7308 - Date : 2021 2 16
Float : 3901224 - Cycle : 171 - PI : BRECK OWENS, STEVEN JAYNE, P.E. ROBBINS - Data mode : R - Platform type : S2A - WMO inst type : 854 - FLOAT SERIAL : 7310 - Date : 2020 3 29
Float : 3901224 - Cycle : 197 - PI : BRECK OWENS, STEVEN JAYNE, P.E. ROBBINS - Data mode : R - Platform type : S2A - WMO inst type : 854 - FLOAT SERIAL : 7310 - Date : 2020 12 11
Float : 3901228 - Cycle : 130 - PI : BRECK OWENS, STEVEN JAYNE, P.E. ROBBINS - Data mode : R - Platform type : S2A - WMO inst type : 854 - FLOAT SERIAL : 7295 - Date : 2019 2 17
Float : 3901230 - Cycle : 124 - PI : BRECK OWENS, STEVEN JAYNE, P.E. ROBBINS - Data mode : R - Platform type : S2A - WMO inst type : 854 - FLOAT SERIAL : 7297 - Date : 2018 12 26
Float : 3901242 - Cycle : 126 - PI : BRECK OWENS, STEVEN JAYNE, P.E. ROBBINS - Data mode : R - Platform type : S2A - WMO inst type : 854 - FLOAT SERIAL : 7403 - Date : 2020 6 27
Float : 3901243 - Cycle : 4 - PI : BRECK OWENS, STEVEN JAYNE, P.E. ROBBINS - Data mode : R - Platform type : S2A - WMO inst type : 854 - FLOAT SERIAL : 7409 - Date : 2017 5 13
Float : 3901250 - Cycle : 123 - PI : DEAN ROEMMICH - Data mode : A - Platform type : SOLO_II - WMO inst type : 853 - FLOAT SERIAL : 8539 - Date : 2020 4 7
Float : 3901250 - Cycle : 131 - PI : DEAN ROEMMICH - Data mode : A - Platform type : SOLO_II - WMO inst type : 853 - FLOAT SERIAL : 8539 - Date : 2020 6 26
Float : 3901257 - Cycle : 157 - PI : GREGORY C. JOHNSON - Data mode : A - Platform type : NAVIS_A - WMO inst type : 863 - FLOAT SERIAL : 0684 - Date : 2021 2 2
Float : 3901257 - Cycle : 158 - PI : GREGORY C. JOHNSON - Data mode : A - Platform type : NAVIS_A - WMO inst type : 863 - FLOAT SERIAL : 0684 - Date : 2021 2 12
Float : 3901257 - Cycle : 159 - PI : GREGORY C. JOHNSON - Data mode : A - Platform type : NAVIS_A - WMO inst type : 863 - FLOAT SERIAL : 0684 - Date : 2021 2 22
Float : 3901259 - Cycle : 153 - PI : GREGORY C. JOHNSON - Data mode : A - Platform type : NAVIS_A - WMO inst type : 863 - FLOAT SERIAL : 0704 - Date : 2021 2 3
Float : 3901259 - Cycle : 154 - PI : GREGORY C. JOHNSON - Data mode : A - Platform type : NAVIS_A - WMO inst type : 863 - FLOAT SERIAL : 0704 - Date : 2021 2 13
Float : 3901259 - Cycle : 155 - PI : GREGORY C. JOHNSON - Data mode : A - Platform type : NAVIS_A - WMO inst type : 863 - FLOAT SERIAL : 0704 - Date : 2021 2 23
Float : 3901261 - Cycle : 226 - PI : CARL SZCZECHOWSKI - Data mode : R - Platform type : S2A - WMO inst type : 854 - FLOAT SERIAL : 10017 - Date : 2019 4 8
Float : 3901261 - Cycle : 358 - PI : CARL SZCZECHOWSKI - Data mode : R - Platform type : S2A - WMO inst type : 854 - FLOAT SERIAL : 10017 - Date : 2021 1 31
Float : 3901261 - Cycle : 359 - PI : CARL SZCZECHOWSKI - Data mode : R - Platform type : S2A - WMO inst type : 854 - FLOAT SERIAL : 10017 - Date : 2021 2 5
Float : 3901266 - Cycle : 282 - PI : CARL SZCZECHOWSKI - Data mode : A - Platform type : S2A - WMO inst type : 854 - FLOAT SERIAL : 10027 - Date : 2020 1 15
Float : 3901266 - Cycle : 286 - PI : CARL SZCZECHOWSKI - Data mode : A - Platform type : S2A - WMO inst type : 854 - FLOAT SERIAL : 10027 - Date : 2020 2 4
Float : 3901266 - Cycle : 326 - PI : CARL SZCZECHOWSKI - Data mode : A - Platform type : S2A - WMO inst type : 854 - FLOAT SERIAL : 10027 - Date : 2020 8 23
Float : 3901266 - Cycle : 327 - PI : CARL SZCZECHOWSKI - Data mode : A - Platform type : S2A - WMO inst type : 854 - FLOAT SERIAL : 10027 - Date : 2020 8 28
Float : 3901266 - Cycle : 328 - PI : CARL SZCZECHOWSKI - Data mode : A - Platform type : S2A - WMO inst type : 854 - FLOAT SERIAL : 10027 - Date : 2020 9 2
Float : 3901266 - Cycle : 329 - PI : CARL SZCZECHOWSKI - Data mode : A - Platform type : S2A - WMO inst type : 854 - FLOAT SERIAL : 10027 - Date : 2020 9 7
Float : 3901266 - Cycle : 330 - PI : CARL SZCZECHOWSKI - Data mode : A - Platform type : S2A - WMO inst type : 854 - FLOAT SERIAL : 10027 - Date : 2020 9 12
Float : 3901266 - Cycle : 331 - PI : CARL SZCZECHOWSKI - Data mode : A - Platform type : S2A - WMO inst type : 854 - FLOAT SERIAL : 10027 - Date : 2020 9 17
Float : 3901266 - Cycle : 332 - PI : CARL SZCZECHOWSKI - Data mode : A - Platform type : S2A - WMO inst type : 854 - FLOAT SERIAL : 10027 - Date : 2020 9 22
Float : 3901266 - Cycle : 333 - PI : CARL SZCZECHOWSKI - Data mode : A - Platform type : S2A - WMO inst type : 854 - FLOAT SERIAL : 10027 - Date : 2020 9 27
Float : 3901266 - Cycle : 334 - PI : CARL SZCZECHOWSKI - Data mode : A - Platform type : S2A - WMO inst type : 854 - FLOAT SERIAL : 10027 - Date : 2020 10 2
Float : 3901266 - Cycle : 335 - PI : CARL SZCZECHOWSKI - Data mode : A - Platform type : S2A - WMO inst type : 854 - FLOAT SERIAL : 10027 - Date : 2020 10 7
Float : 3901266 - Cycle : 336 - PI : CARL SZCZECHOWSKI - Data mode : A - Platform type : S2A - WMO inst type : 854 - FLOAT SERIAL : 10027 - Date : 2020 10 12
Float : 3901266 - Cycle : 337 - PI : CARL SZCZECHOWSKI - Data mode : A - Platform type : S2A - WMO inst type : 854 - FLOAT SERIAL : 10027 - Date : 2020 10 17
Float : 3901266 - Cycle : 338 - PI : CARL SZCZECHOWSKI - Data mode : A - Platform type : S2A - WMO inst type : 854 - FLOAT SERIAL : 10027 - Date : 2020 10 22
Float : 3901266 - Cycle : 340 - PI : CARL SZCZECHOWSKI - Data mode : A - Platform type : S2A - WMO inst type : 854 - FLOAT SERIAL : 10027 - Date : 2020 11 2
Float : 3901266 - Cycle : 341 - PI : CARL SZCZECHOWSKI - Data mode : A - Platform type : S2A - WMO inst type : 854 - FLOAT SERIAL : 10027 - Date : 2020 11 7
Float : 3901266 - Cycle : 342 - PI : CARL SZCZECHOWSKI - Data mode : A - Platform type : S2A - WMO inst type : 854 - FLOAT SERIAL : 10027 - Date : 2020 11 12
Float : 3901266 - Cycle : 343 - PI : CARL SZCZECHOWSKI - Data mode : A - Platform type : S2A - WMO inst type : 854 - FLOAT SERIAL : 10027 - Date : 2020 11 17
Float : 3901266 - Cycle : 344 - PI : CARL SZCZECHOWSKI - Data mode : A - Platform type : S2A - WMO inst type : 854 - FLOAT SERIAL : 10027 - Date : 2020 11 22
Float : 3901266 - Cycle : 345 - PI : CARL SZCZECHOWSKI - Data mode : A - Platform type : S2A - WMO inst type : 854 - FLOAT SERIAL : 10027 - Date : 2020 11 27
Float : 3901266 - Cycle : 346 - PI : CARL SZCZECHOWSKI - Data mode : A - Platform type : S2A - WMO inst type : 854 - FLOAT SERIAL : 10027 - Date : 2020 12 2
Float : 3901266 - Cycle : 347 - PI : CARL SZCZECHOWSKI - Data mode : A - Platform type : S2A - WMO inst type : 854 - FLOAT SERIAL : 10027 - Date : 2020 12 7
Float : 3901266 - Cycle : 348 - PI : CARL SZCZECHOWSKI - Data mode : A - Platform type : S2A - WMO inst type : 854 - FLOAT SERIAL : 10027 - Date : 2020 12 12
Float : 3901266 - Cycle : 349 - PI : CARL SZCZECHOWSKI - Data mode : A - Platform type : S2A - WMO inst type : 854 - FLOAT SERIAL : 10027 - Date : 2020 12 17
Float : 3901266 - Cycle : 350 - PI : CARL SZCZECHOWSKI - Data mode : A - Platform type : S2A - WMO inst type : 854 - FLOAT SERIAL : 10027 - Date : 2020 12 22
Float : 3901266 - Cycle : 351 - PI : CARL SZCZECHOWSKI - Data mode : A - Platform type : S2A - WMO inst type : 854 - FLOAT SERIAL : 10027 - Date : 2020 12 27
Float : 3901266 - Cycle : 352 - PI : CARL SZCZECHOWSKI - Data mode : A - Platform type : S2A - WMO inst type : 854 - FLOAT SERIAL : 10027 - Date : 2021 1 1
Float : 3901266 - Cycle : 353 - PI : CARL SZCZECHOWSKI - Data mode : A - Platform type : S2A - WMO inst type : 854 - FLOAT SERIAL : 10027 - Date : 2021 1 6
Float : 3901266 - Cycle : 354 - PI : CARL SZCZECHOWSKI - Data mode : A - Platform type : S2A - WMO inst type : 854 - FLOAT SERIAL : 10027 - Date : 2021 1 11
Float : 3901266 - Cycle : 357 - PI : CARL SZCZECHOWSKI - Data mode : A - Platform type : S2A - WMO inst type : 854 - FLOAT SERIAL : 10027 - Date : 2021 1 26
Float : 3901266 - Cycle : 358 - PI : CARL SZCZECHOWSKI - Data mode : A - Platform type : S2A - WMO inst type : 854 - FLOAT SERIAL : 10027 - Date : 2021 1 31
Float : 3901266 - Cycle : 359 - PI : CARL SZCZECHOWSKI - Data mode : A - Platform type : S2A - WMO inst type : 854 - FLOAT SERIAL : 10027 - Date : 2021 2 5
Float : 3901266 - Cycle : 360 - PI : CARL SZCZECHOWSKI - Data mode : A - Platform type : S2A - WMO inst type : 854 - FLOAT SERIAL : 10027 - Date : 2021 2 10
Float : 3901266 - Cycle : 361 - PI : CARL SZCZECHOWSKI - Data mode : A - Platform type : S2A - WMO inst type : 854 - FLOAT SERIAL : 10027 - Date : 2021 2 15
Float : 3901266 - Cycle : 362 - PI : CARL SZCZECHOWSKI - Data mode : A - Platform type : S2A - WMO inst type : 854 - FLOAT SERIAL : 10027 - Date : 2021 2 20
Float : 3901266 - Cycle : 363 - PI : CARL SZCZECHOWSKI - Data mode : A - Platform type : S2A - WMO inst type : 854 - FLOAT SERIAL : 10027 - Date : 2021 2 25
Float : 3901276 - Cycle : 106 - PI : DEAN ROEMMICH - Data mode : R - Platform type : SOLO_II - WMO inst type : 853 - FLOAT SERIAL : 8566 - Date : 2020 6 29
Float : 3901282 - Cycle : 157 - PI : GREGORY C. JOHNSON - Data mode : A - Platform type : NAVIS_A - WMO inst type : 863 - FLOAT SERIAL : 0710 - Date : 2021 2 6
Float : 3901282 - Cycle : 158 - PI : GREGORY C. JOHNSON - Data mode : A - Platform type : NAVIS_A - WMO inst type : 863 - FLOAT SERIAL : 0710 - Date : 2021 2 16
Float : 3901282 - Cycle : 159 - PI : GREGORY C. JOHNSON - Data mode : A - Platform type : NAVIS_A - WMO inst type : 863 - FLOAT SERIAL : 0710 - Date : 2021 2 26
Float : 3901283 - Cycle : 147 - PI : GREGORY C. JOHNSON - Data mode : A - Platform type : NAVIS_A - WMO inst type : 863 - FLOAT SERIAL : 0712 - Date : 2021 2 4
Float : 3901283 - Cycle : 148 - PI : GREGORY C. JOHNSON - Data mode : A - Platform type : NAVIS_A - WMO inst type : 863 - FLOAT SERIAL : 0712 - Date : 2021 2 14
Float : 3901283 - Cycle : 149 - PI : GREGORY C. JOHNSON - Data mode : A - Platform type : NAVIS_A - WMO inst type : 863 - FLOAT SERIAL : 0712 - Date : 2021 2 24
Float : 3901289 - Cycle : 152 - PI : GREGORY C. JOHNSON - Data mode : A - Platform type : NAVIS_A - WMO inst type : 863 - FLOAT SERIAL : 0724 - Date : 2021 2 7
Float : 3901289 - Cycle : 153 - PI : GREGORY C. JOHNSON - Data mode : A - Platform type : NAVIS_A - WMO inst type : 863 - FLOAT SERIAL : 0724 - Date : 2021 2 17
Float : 3901291 - Cycle : 150 - PI : GREGORY C. JOHNSON - Data mode : A - Platform type : NAVIS_A - WMO inst type : 863 - FLOAT SERIAL : 0726 - Date : 2021 2 1

Float : 3901291 - Cycle : 151 - PI : GREGORY C. JOHNSON - Data mode : A - Platform type : NAVIS_A - WMO inst type : 863 - FLOAT SERIAL : 0726 - Date : 2021 2 11
Float : 3901291 - Cycle : 152 - PI : GREGORY C. JOHNSON - Data mode : A - Platform type : NAVIS_A - WMO inst type : 863 - FLOAT SERIAL : 0726 - Date : 2021 2 21
Float : 3901299 - Cycle : 87 - PI : GREGORY C. JOHNSON - Data mode : A - Platform type : NAVIS_A - WMO inst type : 863 - FLOAT SERIAL : 0868 - Date : 2021 2 7
Float : 3901299 - Cycle : 88 - PI : GREGORY C. JOHNSON - Data mode : A - Platform type : NAVIS_A - WMO inst type : 863 - FLOAT SERIAL : 0868 - Date : 2021 2 17
Float : 3901303 - Cycle : 102 - PI : GREGORY C. JOHNSON - Data mode : A - Platform type : NAVIS_A - WMO inst type : 863 - FLOAT SERIAL : 0870 - Date : 2021 2 4
Float : 3901306 - Cycle : 59 - PI : GREGORY C. JOHNSON - Data mode : A - Platform type : NAVIS_A - WMO inst type : 863 - FLOAT SERIAL : 0964 - Date : 2021 2 2
Float : 3901306 - Cycle : 60 - PI : GREGORY C. JOHNSON - Data mode : A - Platform type : NAVIS_A - WMO inst type : 863 - FLOAT SERIAL : 0964 - Date : 2021 2 12
Float : 3901306 - Cycle : 61 - PI : GREGORY C. JOHNSON - Data mode : A - Platform type : NAVIS_A - WMO inst type : 863 - FLOAT SERIAL : 0964 - Date : 2021 2 22
Float : 3901307 - Cycle : 60 - PI : GREGORY C. JOHNSON - Data mode : A - Platform type : NAVIS_A - WMO inst type : 863 - FLOAT SERIAL : 0976 - Date : 2021 1 30
Float : 3901307 - Cycle : 61 - PI : GREGORY C. JOHNSON - Data mode : A - Platform type : NAVIS_A - WMO inst type : 863 - FLOAT SERIAL : 0976 - Date : 2021 2 9
Float : 3901307 - Cycle : 62 - PI : GREGORY C. JOHNSON - Data mode : A - Platform type : NAVIS_A - WMO inst type : 863 - FLOAT SERIAL : 0976 - Date : 2021 2 19
Float : 3901471 - Cycle : 106 - PI : DEAN ROEMMICH - Data mode : R - Platform type : SOLO_II - WMO inst type : 853 - FLOAT SERIAL : 8582 - Date : 2020 8 20
Float : 3901471 - Cycle : 114 - PI : DEAN ROEMMICH - Data mode : R - Platform type : SOLO_II - WMO inst type : 853 - FLOAT SERIAL : 8582 - Date : 2020 11 8
Float : 3901471 - Cycle : 89 - PI : DEAN ROEMMICH - Data mode : R - Platform type : SOLO_II - WMO inst type : 853 - FLOAT SERIAL : 8582 - Date : 2020 3 3
Float : 3901471 - Cycle : 93 - PI : DEAN ROEMMICH - Data mode : R - Platform type : SOLO_II - WMO inst type : 853 - FLOAT SERIAL : 8582 - Date : 2020 4 12
Float : 3901473 - Cycle : 105 - PI : DEAN ROEMMICH - Data mode : R - Platform type : SOLO_II - WMO inst type : 853 - FLOAT SERIAL : 8584 - Date : 2020 8 14
Float : 3901474 - Cycle : 101 - PI : DEAN ROEMMICH - Data mode : R - Platform type : SOLO_II - WMO inst type : 853 - FLOAT SERIAL : 8585 - Date : 2020 7 6
Float : 3901474 - Cycle : 117 - PI : DEAN ROEMMICH - Data mode : R - Platform type : SOLO_II - WMO inst type : 853 - FLOAT SERIAL : 8585 - Date : 2020 12 13
Float : 3901477 - Cycle : 75 - PI : DEAN ROEMMICH - Data mode : R - Platform type : SOLO_II - WMO inst type : 853 - FLOAT SERIAL : 8588 - Date : 2019 10 22
Float : 3901477 - Cycle : 95 - PI : DEAN ROEMMICH - Data mode : R - Platform type : SOLO_II - WMO inst type : 853 - FLOAT SERIAL : 8588 - Date : 2020 5 10
Float : 3901479 - Cycle : 110 - PI : DEAN ROEMMICH - Data mode : A - Platform type : SOLO_II - WMO inst type : 853 - FLOAT SERIAL : 8590 - Date : 2020 10 7
Float : 3901479 - Cycle : 87 - PI : DEAN ROEMMICH - Data mode : A - Platform type : SOLO_II - WMO inst type : 853 - FLOAT SERIAL : 8590 - Date : 2020 2 20
Float : 3901479 - Cycle : 91 - PI : DEAN ROEMMICH - Data mode : A - Platform type : SOLO_II - WMO inst type : 853 - FLOAT SERIAL : 8590 - Date : 2020 3 31
Float : 3901479 - Cycle : 95 - PI : DEAN ROEMMICH - Data mode : A - Platform type : SOLO_II - WMO inst type : 853 - FLOAT SERIAL : 8590 - Date : 2020 5 10
Float : 3901480 - Cycle : 104 - PI : DEAN ROEMMICH - Data mode : R - Platform type : SOLO_II - WMO inst type : 853 - FLOAT SERIAL : 8591 - Date : 2020 8 9
Float : 3901480 - Cycle : 79 - PI : DEAN ROEMMICH - Data mode : R - Platform type : SOLO_II - WMO inst type : 853 - FLOAT SERIAL : 8591 - Date : 2019 12 3
Float : 3901484 - Cycle : 118 - PI : DEAN ROEMMICH - Data mode : R - Platform type : SOLO_II - WMO inst type : 853 - FLOAT SERIAL : 8596 - Date : 2020 12 28
Float : 3901486 - Cycle : 106 - PI : DEAN ROEMMICH - Data mode : R - Platform type : SOLO_II - WMO inst type : 853 - FLOAT SERIAL : 8600 - Date : 2020 9 10
Float : 3901790 - Cycle : 91 - PI : DEAN ROEMMICH - Data mode : R - Platform type : SOLO_II - WMO inst type : 853 - FLOAT SERIAL : 8607 - Date : 2020 4 17
Float : 3901796 - Cycle : 107 - PI : DEAN ROEMMICH - Data mode : R - Platform type : SOLO_II - WMO inst type : 853 - FLOAT SERIAL : 8616 - Date : 2020 9 30
Float : 3901797 - Cycle : 83 - PI : DEAN ROEMMICH - Data mode : R - Platform type : SOLO_II - WMO inst type : 853 - FLOAT SERIAL : 8671 - Date : 2020 10 19
Float : 3901808 - Cycle : 261 - PI : BRECK OWENS, STEVEN JAYNE, P.E. ROBBINS - Data mode : A - Platform type : S2A - WMO inst type : 854 - FLOAT SERIAL : 7411 - Date : 2020 11 18
Float : 3901808 - Cycle : 274 - PI : BRECK OWENS, STEVEN JAYNE, P.E. ROBBINS - Data mode : A - Platform type : S2A - WMO inst type : 854 - FLOAT SERIAL : 7411 - Date : 2021 1 22
Float : 3901808 - Cycle : 275 - PI : BRECK OWENS, STEVEN JAYNE, P.E. ROBBINS - Data mode : A - Platform type : S2A - WMO inst type : 854 - FLOAT SERIAL : 7411 - Date : 2021 1 27
Float : 3901808 - Cycle : 276 - PI : BRECK OWENS, STEVEN JAYNE, P.E. ROBBINS - Data mode : A - Platform type : S2A - WMO inst type : 854 - FLOAT SERIAL : 7411 - Date : 2021 2 1
Float : 3901808 - Cycle : 277 - PI : BRECK OWENS, STEVEN JAYNE, P.E. ROBBINS - Data mode : A - Platform type : S2A - WMO inst type : 854 - FLOAT SERIAL : 7411 - Date : 2021 2 6
Float : 3901809 - Cycle : 274 - PI : BRECK OWENS, STEVEN JAYNE, P.E. ROBBINS - Data mode : R - Platform type : S2A - WMO inst type : 854 - FLOAT SERIAL : 7412 - Date : 2020 11 9
Float : 3901822 - Cycle : 2 - PI : BRECK OWENS, STEVEN JAYNE, P.E. ROBBINS - Data mode : R - Platform type : S2A - WMO inst type : 854 - FLOAT SERIAL : 10094 - Date : 2017 6 10
Float : 3901822 - Cycle : 20 - PI : BRECK OWENS, STEVEN JAYNE, P.E. ROBBINS - Data mode : R - Platform type : S2A - WMO inst type : 854 - FLOAT SERIAL : 10094 - Date : 2017 11 18
Float : 3901826 - Cycle : 14 - PI : BRECK OWENS, STEVEN JAYNE, P.E. ROBBINS - Data mode : R - Platform type : ALTO - WMO inst type : 873 - FLOAT SERIAL : 10113 - Date : 2017 11 14
Float : 3901827 - Cycle : 12 - PI : BRECK OWENS, STEVEN JAYNE, P.E. ROBBINS - Data mode : R - Platform type : ALTO - WMO inst type : 873 - FLOAT SERIAL : 10115 - Date : 2017 11 1
Float : 3901828 - Cycle : 13 - PI : BRECK OWENS, STEVEN JAYNE, P.E. ROBBINS - Data mode : R - Platform type : ALTO - WMO inst type : 873 - FLOAT SERIAL : 10116 - Date : 2017 11 14
Float : 3901828 - Cycle : 14 - PI : BRECK OWENS, STEVEN JAYNE, P.E. ROBBINS - Data mode : R - Platform type : ALTO - WMO inst type : 873 - FLOAT SERIAL : 10116 - Date : 2017 11 15
Float : 3901828 - Cycle : 15 - PI : BRECK OWENS, STEVEN JAYNE, P.E. ROBBINS - Data mode : R - Platform type : ALTO - WMO inst type : 873 - FLOAT SERIAL : 10116 - Date : 2017 11 16
Float : 3901828 - Cycle : 53 - PI : BRECK OWENS, STEVEN JAYNE, P.E. ROBBINS - Data mode : R - Platform type : ALTO - WMO inst type : 873 - FLOAT SERIAL : 10116 - Date : 2018 12 1
Float : 3901828 - Cycle : 64 - PI : BRECK OWENS, STEVEN JAYNE, P.E. ROBBINS - Data mode : R - Platform type : ALTO - WMO inst type : 873 - FLOAT SERIAL : 10116 - Date : 2019 3 17
Float : 3901828 - Cycle : 83 - PI : BRECK OWENS, STEVEN JAYNE, P.E. ROBBINS - Data mode : R - Platform type : ALTO - WMO inst type : 873 - FLOAT SERIAL : 10116 - Date : 2019 9 21
Float : 3901830 - Cycle : 104 - PI : BRECK OWENS, STEVEN JAYNE, P.E. ROBBINS - Data mode : R - Platform type : S2A - WMO inst type : 854 - FLOAT SERIAL : 7436 - Date : 2020 9 27
Float : 3901830 - Cycle : 40 - PI : BRECK OWENS, STEVEN JAYNE, P.E. ROBBINS - Data mode : R - Platform type : S2A - WMO inst type : 854 - FLOAT SERIAL : 7436 - Date : 2019 1 3
Float : 3901831 - Cycle : 101 - PI : BRECK OWENS, STEVEN JAYNE, P.E. ROBBINS - Data mode : R - Platform type : S2A - WMO inst type : 854 - FLOAT SERIAL : 7438 - Date : 2020 9 1
Float : 3901831 - Cycle : 111 - PI : BRECK OWENS, STEVEN JAYNE, P.E. ROBBINS - Data mode : R - Platform type : S2A - WMO inst type : 854 - FLOAT SERIAL : 7438 - Date : 2020 12 9
Float : 3901831 - Cycle : 33 - PI : BRECK OWENS, STEVEN JAYNE, P.E. ROBBINS - Data mode : R - Platform type : S2A - WMO inst type : 854 - FLOAT SERIAL : 7438 - Date : 2018 10 28
Float : 3901831 - Cycle : 94 - PI : BRECK OWENS, STEVEN JAYNE, P.E. ROBBINS - Data mode : R - Platform type : S2A - WMO inst type : 854 - FLOAT SERIAL : 7438 - Date : 2020 6 23
Float : 3901832 - Cycle : 13 - PI : BRECK OWENS, STEVEN JAYNE, P.E. ROBBINS - Data mode : R - Platform type : S2A - WMO inst type : 854 - FLOAT SERIAL : 7440 - Date : 2018 4 11
Float : 3901832 - Cycle : 22 - PI : BRECK OWENS, STEVEN JAYNE, P.E. ROBBINS - Data mode : R - Platform type : S2A - WMO inst type : 854 - FLOAT SERIAL : 7440 - Date : 2018 7 9
Float : 3901832 - Cycle : 40 - PI : BRECK OWENS, STEVEN JAYNE, P.E. ROBBINS - Data mode : R - Platform type : S2A - WMO inst type : 854 - FLOAT SERIAL : 7440 - Date : 2019 1 3
Float : 3901832 - Cycle : 52 - PI : BRECK OWENS, STEVEN JAYNE, P.E. ROBBINS - Data mode : R - Platform type : S2A - WMO inst type : 854 - FLOAT SERIAL : 7440 - Date : 2019 5 2
Float : 3901833 - Cycle : 54 - PI : BRECK OWENS, STEVEN JAYNE, P.E. ROBBINS - Data mode : R - Platform type : S2A - WMO inst type : 854 - FLOAT SERIAL : 7441 - Date : 2019 5 21
Float : 3901833 - Cycle : 58 - PI : BRECK OWENS, STEVEN JAYNE, P.E. ROBBINS - Data mode : R - Platform type : S2A - WMO inst type : 854 - FLOAT SERIAL : 7441 - Date : 2019 6 29
Float : 3901833 - Cycle : 6 - PI : BRECK OWENS, STEVEN JAYNE, P.E. ROBBINS - Data mode : R - Platform type : S2A - WMO inst type : 854 - FLOAT SERIAL : 7441 - Date : 2018 1 30
Float : 3901833 - Cycle : 83 - PI : BRECK OWENS, STEVEN JAYNE, P.E. ROBBINS - Data mode : R - Platform type : S2A - WMO inst type : 854 - FLOAT SERIAL : 7441 - Date : 2020 3 3
Float : 3901833 - Cycle : 87 - PI : BRECK OWENS, STEVEN JAYNE, P.E. ROBBINS - Data mode : R - Platform type : S2A - WMO inst type : 854 - FLOAT SERIAL : 7441 - Date : 2020 4 12
Float : 3901833 - Cycle : 96 - PI : BRECK OWENS, STEVEN JAYNE, P.E. ROBBINS - Data mode : R - Platform type : S2A - WMO inst type : 854 - FLOAT SERIAL : 7441 - Date : 2020 7 10
Float : 3901834 - Cycle : 48 - PI : BRECK OWENS, STEVEN JAYNE, P.E. ROBBINS - Data mode : R - Platform type : S2A - WMO inst type : 854 - FLOAT SERIAL : 7446 - Date : 2019 3 23
Float : 3901834 - Cycle : 80 - PI : BRECK OWENS, STEVEN JAYNE, P.E. ROBBINS - Data mode : R - Platform type : S2A - WMO inst type : 854 - FLOAT SERIAL : 7446 - Date : 2020 2 2
Float : 3901834 - Cycle : 96 - PI : BRECK OWENS, STEVEN JAYNE, P.E. ROBBINS - Data mode : R - Platform type : S2A - WMO inst type : 854 - FLOAT SERIAL : 7446 - Date : 2020 7 9
Float : 3901834 - Cycle : 99 - PI : BRECK OWENS, STEVEN JAYNE, P.E. ROBBINS - Data mode : R - Platform type : S2A - WMO inst type : 854 - FLOAT SERIAL : 7446 - Date : 2020 8 8
Float : 3901836 - Cycle : 101 - PI : BRECK OWENS, STEVEN JAYNE, P.E. ROBBINS - Data mode : R - Platform type : S2A - WMO inst type : 854 - FLOAT SERIAL : 7448 - Date : 2020 8 27
Float : 3901837 - Cycle : 107 - PI : BRECK OWENS, STEVEN JAYNE, P.E. ROBBINS - Data mode : R - Platform type : S2A - WMO inst type : 854 - FLOAT SERIAL : 7444 - Date : 2021 1 20
Float : 3902149 - Cycle : 53 - PI : GREGORY C. JOHNSON - Data mode : A - Platform type : SOLO_D_MRV - WMO inst type : 874 - FLOAT SERIAL : 12014 - Date : 2021 1 16
Float : 3902149 - Cycle : 54 - PI : GREGORY C. JOHNSON - Data mode : A - Platform type : SOLO_D_MRV - WMO inst type : 874 - FLOAT SERIAL : 12014 - Date : 2021 1 26
Float : 3902152 - Cycle : 51 - PI : GREGORY C. JOHNSON - Data mode : A - Platform type : SOLO_D_MRV - WMO inst type : 874 - FLOAT SERIAL : 12017 - Date : 2021 1 13
Float : 3902152 - Cycle : 52 - PI : GREGORY C. JOHNSON - Data mode : A - Platform type : SOLO_D_MRV - WMO inst type : 874 - FLOAT SERIAL : 12017 - Date : 2021 1 23
Float : 3902152 - Cycle : 53 - PI : GREGORY C. JOHNSON - Data mode : A - Platform type : SOLO_D_MRV - WMO inst type : 874 - FLOAT SERIAL : 12017 - Date : 2021 2 1
Float : 3902152 - Cycle : 54 - PI : GREGORY C. JOHNSON - Data mode : A - Platform type : SOLO_D_MRV - WMO inst type : 874 - FLOAT SERIAL : 12017 - Date : 2021 2 11
Float : 3902167 - Cycle : 17 - PI : WIJFFELS, JAYNE, ROBBINS - Data mode : R - Platform type : ALTO - WMO inst type : 873 - FLOAT SERIAL : 11051 - Date : 2020 1 22
Float : 3902170 - Cycle : 18 - PI : DEAN ROEMMICH - Data mode : R - Platform type : SOLO_II - WMO inst type : 853 - FLOAT SERIAL : 8816 - Date : 2020 5 8
Float : 3902174 - Cycle : 24 - PI : DEAN ROEMMICH - Data mode : R - Platform type : SOLO_II - WMO inst type : 853 - FLOAT SERIAL : 8821 - Date : 2020 7 8
Float : 3902175 - Cycle : 24 - PI : DEAN ROEMMICH - Data mode : R - Platform type : SOLO_II - WMO inst type : 853 - FLOAT SERIAL : 8822 - Date : 2020 7 9

Float : 3902176 - Cycle : 1 - PI : DEAN ROEMMICH - Data mode : R - Platform type : SOLO_II - WMO inst type : 853 - FLOAT SERIAL : 8824 - Date : 2019 12 21
Float : 3902178 - Cycle : 0 - PI : DEAN ROEMMICH - Data mode : R - Platform type : SOLO_II - WMO inst type : 853 - FLOAT SERIAL : 8826 - Date : 2019 12 23
Float : 3902178 - Cycle : 27 - PI : DEAN ROEMMICH - Data mode : R - Platform type : SOLO_II - WMO inst type : 853 - FLOAT SERIAL : 8826 - Date : 2020 8 10
Float : 3902180 - Cycle : 0 - PI : DEAN ROEMMICH - Data mode : R - Platform type : SOLO_II - WMO inst type : 853 - FLOAT SERIAL : 8828 - Date : 2019 12 24
Float : 3902180 - Cycle : 27 - PI : DEAN ROEMMICH - Data mode : R - Platform type : SOLO_II - WMO inst type : 853 - FLOAT SERIAL : 8828 - Date : 2020 8 11
Float : 3902180 - Cycle : 40 - PI : DEAN ROEMMICH - Data mode : R - Platform type : SOLO_II - WMO inst type : 853 - FLOAT SERIAL : 8828 - Date : 2020 12 17
Float : 3902182 - Cycle : 0 - PI : DEAN ROEMMICH - Data mode : R - Platform type : SOLO_II - WMO inst type : 853 - FLOAT SERIAL : 8830 - Date : 2019 12 25
Float : 3902183 - Cycle : 6 - PI : DEAN ROEMMICH - Data mode : R - Platform type : SOLO_II - WMO inst type : 853 - FLOAT SERIAL : 8831 - Date : 2020 1 18
Float : 3902184 - Cycle : 0 - PI : DEAN ROEMMICH - Data mode : R - Platform type : SOLO_II - WMO inst type : 853 - FLOAT SERIAL : 8832 - Date : 2020 1 5
Float : 3902184 - Cycle : 10 - PI : DEAN ROEMMICH - Data mode : R - Platform type : SOLO_II - WMO inst type : 853 - FLOAT SERIAL : 8832 - Date : 2020 3 8
Float : 3902184 - Cycle : 7 - PI : DEAN ROEMMICH - Data mode : R - Platform type : SOLO_II - WMO inst type : 853 - FLOAT SERIAL : 8832 - Date : 2020 2 7
Float : 3902186 - Cycle : 0 - PI : DEAN ROEMMICH - Data mode : R - Platform type : SOLO_II - WMO inst type : 853 - FLOAT SERIAL : 8834 - Date : 2020 1 8
Float : 3902195 - Cycle : 0 - PI : DEAN ROEMMICH - Data mode : R - Platform type : SOLO_II - WMO inst type : 853 - FLOAT SERIAL : 8843 - Date : 2020 1 15
Float : 3902203 - Cycle : 60 - PI : GREGORY C. JOHNSON - Data mode : A - Platform type : SOLO_D_MRV - WMO inst type : 874 - FLOAT SERIAL : 12032 - Date : 2021 2 15
Float : 3902212 - Cycle : 1 - PI : GREGORY C. JOHNSON - Data mode : A - Platform type : NAVIS_A - WMO inst type : 863 - FLOAT SERIAL : 1141 - Date : 2019 11 15
Float : 3902212 - Cycle : 10 - PI : GREGORY C. JOHNSON - Data mode : A - Platform type : NAVIS_A - WMO inst type : 863 - FLOAT SERIAL : 1141 - Date : 2020 2 13
Float : 3902212 - Cycle : 11 - PI : GREGORY C. JOHNSON - Data mode : A - Platform type : NAVIS_A - WMO inst type : 863 - FLOAT SERIAL : 1141 - Date : 2020 2 23
Float : 3902212 - Cycle : 12 - PI : GREGORY C. JOHNSON - Data mode : A - Platform type : NAVIS_A - WMO inst type : 863 - FLOAT SERIAL : 1141 - Date : 2020 3 4
Float : 3902212 - Cycle : 13 - PI : GREGORY C. JOHNSON - Data mode : A - Platform type : NAVIS_A - WMO inst type : 863 - FLOAT SERIAL : 1141 - Date : 2020 3 14
Float : 3902212 - Cycle : 14 - PI : GREGORY C. JOHNSON - Data mode : A - Platform type : NAVIS_A - WMO inst type : 863 - FLOAT SERIAL : 1141 - Date : 2020 3 24
Float : 3902212 - Cycle : 15 - PI : GREGORY C. JOHNSON - Data mode : A - Platform type : NAVIS_A - WMO inst type : 863 - FLOAT SERIAL : 1141 - Date : 2020 4 3
Float : 3902212 - Cycle : 16 - PI : GREGORY C. JOHNSON - Data mode : A - Platform type : NAVIS_A - WMO inst type : 863 - FLOAT SERIAL : 1141 - Date : 2020 4 13
Float : 3902212 - Cycle : 17 - PI : GREGORY C. JOHNSON - Data mode : A - Platform type : NAVIS_A - WMO inst type : 863 - FLOAT SERIAL : 1141 - Date : 2020 4 23
Float : 3902212 - Cycle : 18 - PI : GREGORY C. JOHNSON - Data mode : A - Platform type : NAVIS_A - WMO inst type : 863 - FLOAT SERIAL : 1141 - Date : 2020 5 3
Float : 3902212 - Cycle : 19 - PI : GREGORY C. JOHNSON - Data mode : A - Platform type : NAVIS_A - WMO inst type : 863 - FLOAT SERIAL : 1141 - Date : 2020 5 13
Float : 3902212 - Cycle : 2 - PI : GREGORY C. JOHNSON - Data mode : A - Platform type : NAVIS_A - WMO inst type : 863 - FLOAT SERIAL : 1141 - Date : 2019 11 25
Float : 3902212 - Cycle : 20 - PI : GREGORY C. JOHNSON - Data mode : A - Platform type : NAVIS_A - WMO inst type : 863 - FLOAT SERIAL : 1141 - Date : 2020 5 23
Float : 3902212 - Cycle : 21 - PI : GREGORY C. JOHNSON - Data mode : A - Platform type : NAVIS_A - WMO inst type : 863 - FLOAT SERIAL : 1141 - Date : 2020 6 2
Float : 3902212 - Cycle : 22 - PI : GREGORY C. JOHNSON - Data mode : A - Platform type : NAVIS_A - WMO inst type : 863 - FLOAT SERIAL : 1141 - Date : 2020 6 12
Float : 3902212 - Cycle : 23 - PI : GREGORY C. JOHNSON - Data mode : A - Platform type : NAVIS_A - WMO inst type : 863 - FLOAT SERIAL : 1141 - Date : 2020 6 22
Float : 3902212 - Cycle : 24 - PI : GREGORY C. JOHNSON - Data mode : A - Platform type : NAVIS_A - WMO inst type : 863 - FLOAT SERIAL : 1141 - Date : 2020 7 2
Float : 3902212 - Cycle : 25 - PI : GREGORY C. JOHNSON - Data mode : A - Platform type : NAVIS_A - WMO inst type : 863 - FLOAT SERIAL : 1141 - Date : 2020 7 12
Float : 3902212 - Cycle : 26 - PI : GREGORY C. JOHNSON - Data mode : A - Platform type : NAVIS_A - WMO inst type : 863 - FLOAT SERIAL : 1141 - Date : 2020 7 22
Float : 3902212 - Cycle : 27 - PI : GREGORY C. JOHNSON - Data mode : A - Platform type : NAVIS_A - WMO inst type : 863 - FLOAT SERIAL : 1141 - Date : 2020 8 1
Float : 3902212 - Cycle : 3 - PI : GREGORY C. JOHNSON - Data mode : A - Platform type : NAVIS_A - WMO inst type : 863 - FLOAT SERIAL : 1141 - Date : 2019 12 5
Float : 3902212 - Cycle : 4 - PI : GREGORY C. JOHNSON - Data mode : A - Platform type : NAVIS_A - WMO inst type : 863 - FLOAT SERIAL : 1141 - Date : 2019 12 15
Float : 3902212 - Cycle : 5 - PI : GREGORY C. JOHNSON - Data mode : A - Platform type : NAVIS_A - WMO inst type : 863 - FLOAT SERIAL : 1141 - Date : 2019 12 25
Float : 3902212 - Cycle : 6 - PI : GREGORY C. JOHNSON - Data mode : A - Platform type : NAVIS_A - WMO inst type : 863 - FLOAT SERIAL : 1141 - Date : 2020 1 4
Float : 3902212 - Cycle : 7 - PI : GREGORY C. JOHNSON - Data mode : A - Platform type : NAVIS_A - WMO inst type : 863 - FLOAT SERIAL : 1141 - Date : 2020 1 14
Float : 3902212 - Cycle : 8 - PI : GREGORY C. JOHNSON - Data mode : A - Platform type : NAVIS_A - WMO inst type : 863 - FLOAT SERIAL : 1141 - Date : 2020 1 24
Float : 3902212 - Cycle : 9 - PI : GREGORY C. JOHNSON - Data mode : A - Platform type : NAVIS_A - WMO inst type : 863 - FLOAT SERIAL : 1141 - Date : 2020 2 3
Float : 3902244 - Cycle : 3 - PI : WHOI: WIJFFELS, JAYNE, ROBBINS - Data mode : R - Platform type : ALTO - WMO inst type : 873 - FLOAT SERIAL : 11049 - Date : 2020 1 2
Float : 4901435 - Cycle : 227 - PI : GREGORY C. JOHNSON - Data mode : A - Platform type : APEX - WMO inst type : 846 - FLOAT SERIAL : 5323 - Date : 2018 5 14
Float : 4901435 - Cycle : 321 - PI : GREGORY C. JOHNSON - Data mode : A - Platform type : APEX - WMO inst type : 846 - FLOAT SERIAL : 5323 - Date : 2021 2 6
Float : 4901633 - Cycle : 318 - PI : DEAN ROEMMICH - Data mode : R - Platform type : SOLO_II - WMO inst type : 853 - FLOAT SERIAL : 8192 - Date : 2021 2 18
Float : 4902081 - Cycle : 116 - PI : GREGORY C. JOHNSON - Data mode : A - Platform type : NAVIS_A - WMO inst type : 863 - FLOAT SERIAL : 0463 - Date : 2018 7 28
Float : 4902088 - Cycle : 205 - PI : GREGORY C. JOHNSON - Data mode : A - Platform type : NAVIS_A - WMO inst type : 863 - FLOAT SERIAL : 0538 - Date : 2021 2 25
Float : 4902090 - Cycle : 182 - PI : GREGORY C. JOHNSON - Data mode : A - Platform type : NAVIS_A - WMO inst type : 863 - FLOAT SERIAL : 0540 - Date : 2020 8 18
Float : 4902101 - Cycle : 152 - PI : BRECK OWENS, STEVEN JAYNE, P.E. ROBBINS - Data mode : A - Platform type : S2A - WMO inst type : 854 - FLOAT SERIAL : 7298 - Date : 2021 1 21
Float : 4902102 - Cycle : 3209 - PI : BRECK OWENS, STEVEN JAYNE, P.E. ROBBINS - Data mode : A - Platform type : S2A - WMO inst type : 854 - FLOAT SERIAL : 7299 - Date : 2021 1 31
Float : 4902102 - Cycle : 3210 - PI : BRECK OWENS, STEVEN JAYNE, P.E. ROBBINS - Data mode : A - Platform type : S2A - WMO inst type : 854 - FLOAT SERIAL : 7299 - Date : 2021 2 10
Float : 4902307 - Cycle : 168 - PI : GREGORY C. JOHNSON - Data mode : A - Platform type : NAVIS_A - WMO inst type : 863 - FLOAT SERIAL : 0602 - Date : 2021 2 4
Float : 4902307 - Cycle : 169 - PI : GREGORY C. JOHNSON - Data mode : A - Platform type : NAVIS_A - WMO inst type : 863 - FLOAT SERIAL : 0602 - Date : 2021 2 14
Float : 4902321 - Cycle : 68 - PI : DEAN ROEMMICH - Data mode : R - Platform type : SOLO_D - WMO inst type : 862 - FLOAT SERIAL : 6021 - Date : 2019 8 2
Float : 4902324 - Cycle : 43 - PI : DEAN ROEMMICH - Data mode : A - Platform type : SOLO_D - WMO inst type : 862 - FLOAT SERIAL : 6027 - Date : 2018 5 30
Float : 4902327 - Cycle : 123 - PI : DEAN ROEMMICH - Data mode : R - Platform type : SOLO_II - WMO inst type : 853 - FLOAT SERIAL : 8601 - Date : 2021 1 25
Float : 4902328 - Cycle : 110 - PI : DEAN ROEMMICH - Data mode : R - Platform type : SOLO_II - WMO inst type : 853 - FLOAT SERIAL : 8635 - Date : 2020 9 7
Float : 4902342 - Cycle : 31 - PI : BRECK OWENS, STEVEN JAYNE, P.E. ROBBINS - Data mode : R - Platform type : S2A - WMO inst type : 854 - FLOAT SERIAL : 7341 - Date : 2018 8 14
Float : 4902344 - Cycle : 165 - PI : BRECK OWENS, STEVEN JAYNE, P.E. ROBBINS - Data mode : R - Platform type : S2A - WMO inst type : 854 - FLOAT SERIAL : 7378 - Date : 2021 2 15
Float : 4902893 - Cycle : 155 - PI : GREGORY C. JOHNSON - Data mode : A - Platform type : NAVIS_A - WMO inst type : 863 - FLOAT SERIAL : 0625 - Date : 2021 2 3
Float : 4902893 - Cycle : 156 - PI : GREGORY C. JOHNSON - Data mode : A - Platform type : NAVIS_A - WMO inst type : 863 - FLOAT SERIAL : 0625 - Date : 2021 2 13
Float : 4902893 - Cycle : 157 - PI : GREGORY C. JOHNSON - Data mode : A - Platform type : NAVIS_A - WMO inst type : 863 - FLOAT SERIAL : 0625 - Date : 2021 2 23
Float : 4902897 - Cycle : 157 - PI : GREGORY C. JOHNSON - Data mode : A - Platform type : NAVIS_A - WMO inst type : 863 - FLOAT SERIAL : 0678 - Date : 2021 2 23
Float : 4902901 - Cycle : 152 - PI : GREGORY C. JOHNSON - Data mode : A - Platform type : NAVIS_A - WMO inst type : 863 - FLOAT SERIAL : 0723 - Date : 2021 2 6
Float : 4902901 - Cycle : 153 - PI : GREGORY C. JOHNSON - Data mode : A - Platform type : NAVIS_A - WMO inst type : 863 - FLOAT SERIAL : 0723 - Date : 2021 2 16
Float : 4902901 - Cycle : 154 - PI : GREGORY C. JOHNSON - Data mode : A - Platform type : NAVIS_A - WMO inst type : 863 - FLOAT SERIAL : 0723 - Date : 2021 2 26
Float : 4902908 - Cycle : 151 - PI : GREGORY C. JOHNSON - Data mode : A - Platform type : NAVIS_A - WMO inst type : 863 - FLOAT SERIAL : 0756 - Date : 2021 2 4
Float : 4902908 - Cycle : 152 - PI : GREGORY C. JOHNSON - Data mode : A - Platform type : NAVIS_A - WMO inst type : 863 - FLOAT SERIAL : 0756 - Date : 2021 2 14
Float : 4902915 - Cycle : 268 - PI : BRECK OWENS, STEVEN JAYNE, P.E. ROBBINS - Data mode : R - Platform type : S2A - WMO inst type : 854 - FLOAT SERIAL : 7427 - Date : 2021 1 24
Float : 4902915 - Cycle : 269 - PI : BRECK OWENS, STEVEN JAYNE, P.E. ROBBINS - Data mode : R - Platform type : S2A - WMO inst type : 854 - FLOAT SERIAL : 7427 - Date : 2021 1 29
Float : 4902915 - Cycle : 270 - PI : BRECK OWENS, STEVEN JAYNE, P.E. ROBBINS - Data mode : R - Platform type : S2A - WMO inst type : 854 - FLOAT SERIAL : 7427 - Date : 2021 2 3
Float : 4902915 - Cycle : 271 - PI : BRECK OWENS, STEVEN JAYNE, P.E. ROBBINS - Data mode : R - Platform type : S2A - WMO inst type : 854 - FLOAT SERIAL : 7427 - Date : 2021 2 8
Float : 4902915 - Cycle : 272 - PI : BRECK OWENS, STEVEN JAYNE, P.E. ROBBINS - Data mode : R - Platform type : S2A - WMO inst type : 854 - FLOAT SERIAL : 7427 - Date : 2021 2 13
Float : 4902915 - Cycle : 273 - PI : BRECK OWENS, STEVEN JAYNE, P.E. ROBBINS - Data mode : R - Platform type : S2A - WMO inst type : 854 - FLOAT SERIAL : 7427 - Date : 2021 2 18
Float : 4902915 - Cycle : 274 - PI : BRECK OWENS, STEVEN JAYNE, P.E. ROBBINS - Data mode : R - Platform type : S2A - WMO inst type : 854 - FLOAT SERIAL : 7427 - Date : 2021 2 23
Float : 4902925 - Cycle : 17 - PI : BRECK OWENS, STEVEN JAYNE, P.E. ROBBINS - Data mode : R - Platform type : S2A - WMO inst type : 854 - FLOAT SERIAL : 7433 - Date : 2018 3 17
Float : 4902925 - Cycle : 18 - PI : BRECK OWENS, STEVEN JAYNE, P.E. ROBBINS - Data mode : R - Platform type : S2A - WMO inst type : 854 - FLOAT SERIAL : 7433 - Date : 2018 3 26
Float : 4902925 - Cycle : 19 - PI : BRECK OWENS, STEVEN JAYNE, P.E. ROBBINS - Data mode : R - Platform type : S2A - WMO inst type : 854 - FLOAT SERIAL : 7433 - Date : 2018 4 5
Float : 4902925 - Cycle : 20 - PI : BRECK OWENS, STEVEN JAYNE, P.E. ROBBINS - Data mode : R - Platform type : S2A - WMO inst type : 854 - FLOAT SERIAL : 7433 - Date : 2018 4 15

Float : 4902925 - Cycle : 21 - PI : BRECK OWENS, STEVEN JAYNE, P.E. ROBBINS - Data mode : R - Platform type : S2A - WMO inst type : 854 - FLOAT SERIAL : 7433 - Date : 2018 4 25
Float : 4902925 - Cycle : 22 - PI : BRECK OWENS, STEVEN JAYNE, P.E. ROBBINS - Data mode : R - Platform type : S2A - WMO inst type : 854 - FLOAT SERIAL : 7433 - Date : 2018 5 5
Float : 4902925 - Cycle : 23 - PI : BRECK OWENS, STEVEN JAYNE, P.E. ROBBINS - Data mode : R - Platform type : S2A - WMO inst type : 854 - FLOAT SERIAL : 7433 - Date : 2018 5 9
Float : 4902925 - Cycle : 24 - PI : BRECK OWENS, STEVEN JAYNE, P.E. ROBBINS - Data mode : R - Platform type : S2A - WMO inst type : 854 - FLOAT SERIAL : 7433 - Date : 2018 5 13
Float : 4902925 - Cycle : 25 - PI : BRECK OWENS, STEVEN JAYNE, P.E. ROBBINS - Data mode : R - Platform type : S2A - WMO inst type : 854 - FLOAT SERIAL : 7433 - Date : 2018 5 17
Float : 4902925 - Cycle : 26 - PI : BRECK OWENS, STEVEN JAYNE, P.E. ROBBINS - Data mode : R - Platform type : S2A - WMO inst type : 854 - FLOAT SERIAL : 7433 - Date : 2018 5 20
Float : 4902925 - Cycle : 27 - PI : BRECK OWENS, STEVEN JAYNE, P.E. ROBBINS - Data mode : R - Platform type : S2A - WMO inst type : 854 - FLOAT SERIAL : 7433 - Date : 2018 5 24
Float : 4902925 - Cycle : 28 - PI : BRECK OWENS, STEVEN JAYNE, P.E. ROBBINS - Data mode : R - Platform type : S2A - WMO inst type : 854 - FLOAT SERIAL : 7433 - Date : 2018 5 28
Float : 4902925 - Cycle : 29 - PI : BRECK OWENS, STEVEN JAYNE, P.E. ROBBINS - Data mode : R - Platform type : S2A - WMO inst type : 854 - FLOAT SERIAL : 7433 - Date : 2018 6 1
Float : 4902925 - Cycle : 30 - PI : BRECK OWENS, STEVEN JAYNE, P.E. ROBBINS - Data mode : R - Platform type : S2A - WMO inst type : 854 - FLOAT SERIAL : 7433 - Date : 2018 6 5
Float : 4902925 - Cycle : 31 - PI : BRECK OWENS, STEVEN JAYNE, P.E. ROBBINS - Data mode : R - Platform type : S2A - WMO inst type : 854 - FLOAT SERIAL : 7433 - Date : 2018 6 9
Float : 4902925 - Cycle : 32 - PI : BRECK OWENS, STEVEN JAYNE, P.E. ROBBINS - Data mode : R - Platform type : S2A - WMO inst type : 854 - FLOAT SERIAL : 7433 - Date : 2018 6 12
Float : 4902925 - Cycle : 33 - PI : BRECK OWENS, STEVEN JAYNE, P.E. ROBBINS - Data mode : R - Platform type : S2A - WMO inst type : 854 - FLOAT SERIAL : 7433 - Date : 2018 6 16
Float : 4902925 - Cycle : 34 - PI : BRECK OWENS, STEVEN JAYNE, P.E. ROBBINS - Data mode : R - Platform type : S2A - WMO inst type : 854 - FLOAT SERIAL : 7433 - Date : 2018 6 20
Float : 4902925 - Cycle : 35 - PI : BRECK OWENS, STEVEN JAYNE, P.E. ROBBINS - Data mode : R - Platform type : S2A - WMO inst type : 854 - FLOAT SERIAL : 7433 - Date : 2018 6 24
Float : 4902925 - Cycle : 36 - PI : BRECK OWENS, STEVEN JAYNE, P.E. ROBBINS - Data mode : R - Platform type : S2A - WMO inst type : 854 - FLOAT SERIAL : 7433 - Date : 2018 6 28
Float : 4902925 - Cycle : 37 - PI : BRECK OWENS, STEVEN JAYNE, P.E. ROBBINS - Data mode : R - Platform type : S2A - WMO inst type : 854 - FLOAT SERIAL : 7433 - Date : 2018 7 2
Float : 4902925 - Cycle : 38 - PI : BRECK OWENS, STEVEN JAYNE, P.E. ROBBINS - Data mode : R - Platform type : S2A - WMO inst type : 854 - FLOAT SERIAL : 7433 - Date : 2018 7 5
Float : 4902925 - Cycle : 39 - PI : BRECK OWENS, STEVEN JAYNE, P.E. ROBBINS - Data mode : R - Platform type : S2A - WMO inst type : 854 - FLOAT SERIAL : 7433 - Date : 2018 7 9
Float : 4902925 - Cycle : 40 - PI : BRECK OWENS, STEVEN JAYNE, P.E. ROBBINS - Data mode : R - Platform type : S2A - WMO inst type : 854 - FLOAT SERIAL : 7433 - Date : 2018 7 13
Float : 4902925 - Cycle : 41 - PI : BRECK OWENS, STEVEN JAYNE, P.E. ROBBINS - Data mode : R - Platform type : S2A - WMO inst type : 854 - FLOAT SERIAL : 7433 - Date : 2018 7 17
Float : 4902925 - Cycle : 42 - PI : BRECK OWENS, STEVEN JAYNE, P.E. ROBBINS - Data mode : R - Platform type : S2A - WMO inst type : 854 - FLOAT SERIAL : 7433 - Date : 2018 7 21
Float : 4902925 - Cycle : 43 - PI : BRECK OWENS, STEVEN JAYNE, P.E. ROBBINS - Data mode : R - Platform type : S2A - WMO inst type : 854 - FLOAT SERIAL : 7433 - Date : 2018 7 25
Float : 4902925 - Cycle : 44 - PI : BRECK OWENS, STEVEN JAYNE, P.E. ROBBINS - Data mode : R - Platform type : S2A - WMO inst type : 854 - FLOAT SERIAL : 7433 - Date : 2018 7 28
Float : 4902925 - Cycle : 45 - PI : BRECK OWENS, STEVEN JAYNE, P.E. ROBBINS - Data mode : R - Platform type : S2A - WMO inst type : 854 - FLOAT SERIAL : 7433 - Date : 2018 8 1
Float : 4902925 - Cycle : 47 - PI : BRECK OWENS, STEVEN JAYNE, P.E. ROBBINS - Data mode : R - Platform type : S2A - WMO inst type : 854 - FLOAT SERIAL : 7433 - Date : 2018 8 9
Float : 4902925 - Cycle : 55 - PI : BRECK OWENS, STEVEN JAYNE, P.E. ROBBINS - Data mode : R - Platform type : S2A - WMO inst type : 854 - FLOAT SERIAL : 7433 - Date : 2018 9 9
Float : 4902926 - Cycle : 259 - PI : BRECK OWENS, STEVEN JAYNE, P.E. ROBBINS - Data mode : R - Platform type : ALTO - WMO inst type : 873 - FLOAT SERIAL : 11010 - Date : 2019 7 23
Float : 4902926 - Cycle : 264 - PI : BRECK OWENS, STEVEN JAYNE, P.E. ROBBINS - Data mode : R - Platform type : ALTO - WMO inst type : 873 - FLOAT SERIAL : 11010 - Date : 2019 8 17
Float : 4902926 - Cycle : 274 - PI : BRECK OWENS, STEVEN JAYNE, P.E. ROBBINS - Data mode : R - Platform type : ALTO - WMO inst type : 873 - FLOAT SERIAL : 11010 - Date : 2019 10 5
Float : 4902926 - Cycle : 276 - PI : BRECK OWENS, STEVEN JAYNE, P.E. ROBBINS - Data mode : R - Platform type : ALTO - WMO inst type : 873 - FLOAT SERIAL : 11010 - Date : 2019 10 15
Float : 4902926 - Cycle : 278 - PI : BRECK OWENS, STEVEN JAYNE, P.E. ROBBINS - Data mode : R - Platform type : ALTO - WMO inst type : 873 - FLOAT SERIAL : 11010 - Date : 2019 10 25
Float : 4902980 - Cycle : 108 - PI : GREGORY C. JOHNSON - Data mode : A - Platform type : NAVIS_A - WMO inst type : 863 - FLOAT SERIAL : 0829 - Date : 2020 8 21
Float : 4902980 - Cycle : 109 - PI : GREGORY C. JOHNSON - Data mode : A - Platform type : NAVIS_A - WMO inst type : 863 - FLOAT SERIAL : 0829 - Date : 2020 8 31
Float : 4902980 - Cycle : 111 - PI : GREGORY C. JOHNSON - Data mode : A - Platform type : NAVIS_A - WMO inst type : 863 - FLOAT SERIAL : 0829 - Date : 2020 9 20
Float : 4902980 - Cycle : 114 - PI : GREGORY C. JOHNSON - Data mode : A - Platform type : NAVIS_A - WMO inst type : 863 - FLOAT SERIAL : 0829 - Date : 2020 10 20
Float : 4902980 - Cycle : 116 - PI : GREGORY C. JOHNSON - Data mode : A - Platform type : NAVIS_A - WMO inst type : 863 - FLOAT SERIAL : 0829 - Date : 2020 11 9
Float : 4902980 - Cycle : 119 - PI : GREGORY C. JOHNSON - Data mode : A - Platform type : NAVIS_A - WMO inst type : 863 - FLOAT SERIAL : 0829 - Date : 2020 12 9
Float : 4902980 - Cycle : 125 - PI : GREGORY C. JOHNSON - Data mode : A - Platform type : NAVIS_A - WMO inst type : 863 - FLOAT SERIAL : 0829 - Date : 2021 2 7
Float : 4902980 - Cycle : 126 - PI : GREGORY C. JOHNSON - Data mode : A - Platform type : NAVIS_A - WMO inst type : 863 - FLOAT SERIAL : 0829 - Date : 2021 2 17
Float : 4902996 - Cycle : 125 - PI : GREGORY C. JOHNSON - Data mode : A - Platform type : NAVIS_A - WMO inst type : 863 - FLOAT SERIAL : 0830 - Date : 2021 2 4
Float : 4902996 - Cycle : 126 - PI : GREGORY C. JOHNSON - Data mode : A - Platform type : NAVIS_A - WMO inst type : 863 - FLOAT SERIAL : 0830 - Date : 2021 2 14
Float : 4902996 - Cycle : 127 - PI : GREGORY C. JOHNSON - Data mode : A - Platform type : NAVIS_A - WMO inst type : 863 - FLOAT SERIAL : 0830 - Date : 2021 2 24
Float : 4903009 - Cycle : 103 - PI : DEAN ROEMMICH - Data mode : R - Platform type : SOLO_II - WMO inst type : 853 - FLOAT SERIAL : 8641 - Date : 2020 11 26
Float : 4903009 - Cycle : 105 - PI : DEAN ROEMMICH - Data mode : R - Platform type : SOLO_II - WMO inst type : 853 - FLOAT SERIAL : 8641 - Date : 2020 12 16
Float : 4903009 - Cycle : 110 - PI : DEAN ROEMMICH - Data mode : R - Platform type : SOLO_II - WMO inst type : 853 - FLOAT SERIAL : 8641 - Date : 2021 2 4
Float : 4903009 - Cycle : 96 - PI : DEAN ROEMMICH - Data mode : R - Platform type : SOLO_II - WMO inst type : 853 - FLOAT SERIAL : 8641 - Date : 2020 9 18
Float : 4903019 - Cycle : 64 - PI : DEAN ROEMMICH - Data mode : R - Platform type : SOLO_II - WMO inst type : 853 - FLOAT SERIAL : 8776 - Date : 2021 1 29
Float : 4903028 - Cycle : 82 - PI : GREGORY C. JOHNSON - Data mode : A - Platform type : NAVIS_A - WMO inst type : 863 - FLOAT SERIAL : 0900 - Date : 2021 1 29
Float : 4903028 - Cycle : 83 - PI : GREGORY C. JOHNSON - Data mode : A - Platform type : NAVIS_A - WMO inst type : 863 - FLOAT SERIAL : 0900 - Date : 2021 2 8
Float : 4903028 - Cycle : 84 - PI : GREGORY C. JOHNSON - Data mode : A - Platform type : NAVIS_A - WMO inst type : 863 - FLOAT SERIAL : 0900 - Date : 2021 2 18
Float : 4903030 - Cycle : 95 - PI : GREGORY C. JOHNSON - Data mode : A - Platform type : NAVIS_A - WMO inst type : 863 - FLOAT SERIAL : 0940 - Date : 2021 1 31
Float : 4903030 - Cycle : 96 - PI : GREGORY C. JOHNSON - Data mode : A - Platform type : NAVIS_A - WMO inst type : 863 - FLOAT SERIAL : 0940 - Date : 2021 2 10
Float : 4903030 - Cycle : 97 - PI : GREGORY C. JOHNSON - Data mode : A - Platform type : NAVIS_A - WMO inst type : 863 - FLOAT SERIAL : 0940 - Date : 2021 2 20
Float : 4903033 - Cycle : 95 - PI : GREGORY C. JOHNSON - Data mode : A - Platform type : NAVIS_A - WMO inst type : 863 - FLOAT SERIAL : 0943 - Date : 2021 2 2
Float : 4903033 - Cycle : 96 - PI : GREGORY C. JOHNSON - Data mode : A - Platform type : NAVIS_A - WMO inst type : 863 - FLOAT SERIAL : 0943 - Date : 2021 2 12
Float : 4903033 - Cycle : 97 - PI : GREGORY C. JOHNSON - Data mode : A - Platform type : NAVIS_A - WMO inst type : 863 - FLOAT SERIAL : 0943 - Date : 2021 2 22
Float : 4903034 - Cycle : 86 - PI : GREGORY C. JOHNSON - Data mode : A - Platform type : NAVIS_A - WMO inst type : 863 - FLOAT SERIAL : 0960 - Date : 2021 1 30
Float : 4903034 - Cycle : 87 - PI : GREGORY C. JOHNSON - Data mode : A - Platform type : NAVIS_A - WMO inst type : 863 - FLOAT SERIAL : 0960 - Date : 2021 2 9
Float : 4903034 - Cycle : 88 - PI : GREGORY C. JOHNSON - Data mode : A - Platform type : NAVIS_A - WMO inst type : 863 - FLOAT SERIAL : 0960 - Date : 2021 2 19
Float : 4903057 - Cycle : 74 - PI : BRECK OWENS, STEVEN JAYNE, P.E. ROBBINS - Data mode : R - Platform type : S2A - WMO inst type : 854 - FLOAT SERIAL : 7506 - Date : 2021 2 7
Float : 4903057 - Cycle : 75 - PI : BRECK OWENS, STEVEN JAYNE, P.E. ROBBINS - Data mode : R - Platform type : S2A - WMO inst type : 854 - FLOAT SERIAL : 7506 - Date : 2021 2 17
Float : 4903173 - Cycle : 85 - PI : GREGORY C. JOHNSON - Data mode : A - Platform type : NAVIS_A - WMO inst type : 863 - FLOAT SERIAL : 0966 - Date : 2021 2 7
Float : 4903173 - Cycle : 86 - PI : GREGORY C. JOHNSON - Data mode : A - Platform type : NAVIS_A - WMO inst type : 863 - FLOAT SERIAL : 0966 - Date : 2021 2 17
Float : 4903184 - Cycle : 83 - PI : GREGORY C. JOHNSON - Data mode : A - Platform type : NAVIS_A - WMO inst type : 863 - FLOAT SERIAL : 0978 - Date : 2021 2 1
Float : 4903184 - Cycle : 84 - PI : GREGORY C. JOHNSON - Data mode : A - Platform type : NAVIS_A - WMO inst type : 863 - FLOAT SERIAL : 0978 - Date : 2021 2 11
Float : 4903184 - Cycle : 85 - PI : GREGORY C. JOHNSON - Data mode : A - Platform type : NAVIS_A - WMO inst type : 863 - FLOAT SERIAL : 0978 - Date : 2021 2 21
Float : 4903188 - Cycle : 69 - PI : GREGORY C. JOHNSON - Data mode : A - Platform type : NAVIS_A - WMO inst type : 863 - FLOAT SERIAL : 0983 - Date : 2021 2 1
Float : 4903188 - Cycle : 70 - PI : GREGORY C. JOHNSON - Data mode : A - Platform type : NAVIS_A - WMO inst type : 863 - FLOAT SERIAL : 0983 - Date : 2021 2 11
Float : 4903188 - Cycle : 71 - PI : GREGORY C. JOHNSON - Data mode : A - Platform type : NAVIS_A - WMO inst type : 863 - FLOAT SERIAL : 0983 - Date : 2021 2 21
Float : 4903194 - Cycle : 70 - PI : GREGORY C. JOHNSON - Data mode : A - Platform type : NAVIS_A - WMO inst type : 863 - FLOAT SERIAL : 1000 - Date : 2021 2 7
Float : 4903194 - Cycle : 71 - PI : GREGORY C. JOHNSON - Data mode : A - Platform type : NAVIS_A - WMO inst type : 863 - FLOAT SERIAL : 1000 - Date : 2021 2 17
Float : 4903202 - Cycle : 63 - PI : GREGORY C. JOHNSON - Data mode : A - Platform type : NAVIS_A - WMO inst type : 863 - FLOAT SERIAL : 1023 - Date : 2021 2 6
Float : 4903202 - Cycle : 64 - PI : GREGORY C. JOHNSON - Data mode : A - Platform type : NAVIS_A - WMO inst type : 863 - FLOAT SERIAL : 1023 - Date : 2021 2 16
Float : 4903229 - Cycle : 15 - PI : WHOI: WIJFFELS, JAYNE, ROBBINS - Data mode : R - Platform type : ALTO - WMO inst type : 873 - FLOAT SERIAL : 11034 - Date : 2020 6 28
Float : 4903231 - Cycle : 20 - PI : WHOI: WIJFFELS, JAYNE, ROBBINS - Data mode : R - Platform type : ALTO - WMO inst type : 873 - FLOAT SERIAL : 11055 - Date : 2020 8 20
Float : 4903266 - Cycle : 1 - PI : WHOI: WIJFFELS, JAYNE, ROBBINS - Data mode : R - Platform type : ALTO - WMO inst type : 873 - FLOAT SERIAL : 11026 - Date : 2020 4 1
Float : 4903266 - Cycle : 2 - PI : WHOI: WIJFFELS, JAYNE, ROBBINS - Data mode : R - Platform type : ALTO - WMO inst type : 873 - FLOAT SERIAL : 11026 - Date : 2020 4 3
Float : 4903266 - Cycle : 3 - PI : WHOI: WIJFFELS, JAYNE, ROBBINS - Data mode : R - Platform type : ALTO - WMO inst type : 873 - FLOAT SERIAL : 11026 - Date : 2020 4 6

Float : 4903270 - Cycle : 29 - PI : WHOI: WIJFFELS, JAYNE, ROBBINS - Data mode : R - Platform type : ALTO - WMO inst type : 873 - FLOAT SERIAL : 11040 - Date : 2020 12 26
Float : 4903280 - Cycle : 11 - PI : WHOI: WIJFFELS, JAYNE, ROBBINS - Data mode : R - Platform type : S2A - WMO inst type : 854 - FLOAT SERIAL : 7486 - Date : 2021 2 8
Float : 4903293 - Cycle : 29 - PI : GREGORY C. JOHNSON - Data mode : A - Platform type : NAVIS_A - WMO inst type : 863 - FLOAT SERIAL : 1106 - Date : 2021 2 3
Float : 4903293 - Cycle : 30 - PI : GREGORY C. JOHNSON - Data mode : A - Platform type : NAVIS_A - WMO inst type : 863 - FLOAT SERIAL : 1106 - Date : 2021 2 13
Float : 4903293 - Cycle : 31 - PI : GREGORY C. JOHNSON - Data mode : A - Platform type : NAVIS_A - WMO inst type : 863 - FLOAT SERIAL : 1106 - Date : 2021 2 23
Float : 5901411 - Cycle : 486 - PI : GREGORY C. JOHNSON - Data mode : A - Platform type : APEX - WMO inst type : 846 - FLOAT SERIAL : 3017 - Date : 2021 2 20
Float : 5902437 - Cycle : 188 - PI : DEAN ROEMMICH - Data mode : A - Platform type : SOLO_II - WMO inst type : 853 - FLOAT SERIAL : 8424 - Date : 2020 11 11
Float : 5902448 - Cycle : 254 - PI : DEAN ROEMMICH - Data mode : A - Platform type : SOLO_D - WMO inst type : 862 - FLOAT SERIAL : 6011 - Date : 2020 3 21
Float : 5902467 - Cycle : 161 - PI : DEAN ROEMMICH - Data mode : A - Platform type : SOLO_II - WMO inst type : 853 - FLOAT SERIAL : 8466 - Date : 2021 1 29
Float : 5902469 - Cycle : 127 - PI : DEAN ROEMMICH - Data mode : A - Platform type : SOLO_II - WMO inst type : 853 - FLOAT SERIAL : 8469 - Date : 2020 2 29
Float : 5902469 - Cycle : 128 - PI : DEAN ROEMMICH - Data mode : A - Platform type : SOLO_II - WMO inst type : 853 - FLOAT SERIAL : 8469 - Date : 2020 3 10
Float : 5902469 - Cycle : 137 - PI : DEAN ROEMMICH - Data mode : A - Platform type : SOLO_II - WMO inst type : 853 - FLOAT SERIAL : 8469 - Date : 2020 6 8
Float : 5902469 - Cycle : 140 - PI : DEAN ROEMMICH - Data mode : A - Platform type : SOLO_II - WMO inst type : 853 - FLOAT SERIAL : 8469 - Date : 2020 7 8
Float : 5902469 - Cycle : 151 - PI : DEAN ROEMMICH - Data mode : A - Platform type : SOLO_II - WMO inst type : 853 - FLOAT SERIAL : 8469 - Date : 2020 10 27
Float : 5902469 - Cycle : 152 - PI : DEAN ROEMMICH - Data mode : A - Platform type : SOLO_II - WMO inst type : 853 - FLOAT SERIAL : 8469 - Date : 2020 11 6
Float : 5902469 - Cycle : 161 - PI : DEAN ROEMMICH - Data mode : A - Platform type : SOLO_II - WMO inst type : 853 - FLOAT SERIAL : 8469 - Date : 2021 2 4
Float : 5902484 - Cycle : 134 - PI : DEAN ROEMMICH - Data mode : R - Platform type : SOLO_II - WMO inst type : 853 - FLOAT SERIAL : 8476 - Date : 2020 5 21
Float : 5902484 - Cycle : 135 - PI : DEAN ROEMMICH - Data mode : R - Platform type : SOLO_II - WMO inst type : 853 - FLOAT SERIAL : 8476 - Date : 2020 5 31
Float : 5902484 - Cycle : 143 - PI : DEAN ROEMMICH - Data mode : R - Platform type : SOLO_II - WMO inst type : 853 - FLOAT SERIAL : 8476 - Date : 2020 8 19
Float : 5902484 - Cycle : 144 - PI : DEAN ROEMMICH - Data mode : R - Platform type : SOLO_II - WMO inst type : 853 - FLOAT SERIAL : 8476 - Date : 2020 8 29
Float : 5902484 - Cycle : 152 - PI : DEAN ROEMMICH - Data mode : R - Platform type : SOLO_II - WMO inst type : 853 - FLOAT SERIAL : 8476 - Date : 2020 11 17
Float : 5902484 - Cycle : 153 - PI : DEAN ROEMMICH - Data mode : R - Platform type : SOLO_II - WMO inst type : 853 - FLOAT SERIAL : 8476 - Date : 2020 11 27
Float : 5902484 - Cycle : 155 - PI : DEAN ROEMMICH - Data mode : R - Platform type : SOLO_II - WMO inst type : 853 - FLOAT SERIAL : 8476 - Date : 2020 12 17
Float : 5902484 - Cycle : 159 - PI : DEAN ROEMMICH - Data mode : R - Platform type : SOLO_II - WMO inst type : 853 - FLOAT SERIAL : 8476 - Date : 2021 1 26
Float : 5902484 - Cycle : 160 - PI : DEAN ROEMMICH - Data mode : R - Platform type : SOLO_II - WMO inst type : 853 - FLOAT SERIAL : 8476 - Date : 2021 2 5
Float : 5902484 - Cycle : 162 - PI : DEAN ROEMMICH - Data mode : R - Platform type : SOLO_II - WMO inst type : 853 - FLOAT SERIAL : 8476 - Date : 2021 2 25
Float : 5902486 - Cycle : 129 - PI : DEAN ROEMMICH - Data mode : A - Platform type : SOLO_II - WMO inst type : 853 - FLOAT SERIAL : 8478 - Date : 2020 4 13
Float : 5902493 - Cycle : 159 - PI : DEAN ROEMMICH - Data mode : A - Platform type : SOLO_II - WMO inst type : 853 - FLOAT SERIAL : 8485 - Date : 2021 2 15
Float : 5902493 - Cycle : 160 - PI : DEAN ROEMMICH - Data mode : A - Platform type : SOLO_II - WMO inst type : 853 - FLOAT SERIAL : 8485 - Date : 2021 2 25
Float : 5902495 - Cycle : 150 - PI : DEAN ROEMMICH - Data mode : A - Platform type : SOLO_II - WMO inst type : 853 - FLOAT SERIAL : 8504 - Date : 2020 12 8
Float : 5902495 - Cycle : 155 - PI : DEAN ROEMMICH - Data mode : A - Platform type : SOLO_II - WMO inst type : 853 - FLOAT SERIAL : 8504 - Date : 2021 1 27
Float : 5902499 - Cycle : 120 - PI : DEAN ROEMMICH - Data mode : A - Platform type : SOLO_II - WMO inst type : 853 - FLOAT SERIAL : 8508 - Date : 2020 2 14
Float : 5902501 - Cycle : 128 - PI : DEAN ROEMMICH - Data mode : R - Platform type : SOLO_II - WMO inst type : 853 - FLOAT SERIAL : 8510 - Date : 2020 4 28
Float : 5902505 - Cycle : 123 - PI : DEAN ROEMMICH - Data mode : A - Platform type : SOLO_II - WMO inst type : 853 - FLOAT SERIAL : 8515 - Date : 2020 3 14
Float : 5902505 - Cycle : 152 - PI : DEAN ROEMMICH - Data mode : A - Platform type : SOLO_II - WMO inst type : 853 - FLOAT SERIAL : 8515 - Date : 2020 12 26
Float : 5902507 - Cycle : 136 - PI : DEAN ROEMMICH - Data mode : A - Platform type : SOLO_II - WMO inst type : 853 - FLOAT SERIAL : 8519 - Date : 2020 8 4
Float : 5903806 - Cycle : 312 - PI : GREGORY C. JOHNSON - Data mode : A - Platform type : APEX - WMO inst type : 846 - FLOAT SERIAL : 5869 - Date : 2021 2 14
Float : 5903806 - Cycle : 313 - PI : GREGORY C. JOHNSON - Data mode : A - Platform type : APEX - WMO inst type : 846 - FLOAT SERIAL : 5869 - Date : 2021 2 24
Float : 5903821 - Cycle : 317 - PI : GREGORY C. JOHNSON - Data mode : A - Platform type : APEX - WMO inst type : 846 - FLOAT SERIAL : 5283 - Date : 2021 2 19
Float : 5903825 - Cycle : 303 - PI : GREGORY C. JOHNSON - Data mode : A - Platform type : APEX - WMO inst type : 846 - FLOAT SERIAL : 5284 - Date : 2021 1 31
Float : 5903878 - Cycle : 251 - PI : DEAN ROEMMICH - Data mode : R - Platform type : SOLO - WMO inst type : 851 - FLOAT SERIAL : 3038 - Date : 2018 11 23
Float : 5903878 - Cycle : 275 - PI : DEAN ROEMMICH - Data mode : R - Platform type : SOLO - WMO inst type : 851 - FLOAT SERIAL : 3038 - Date : 2019 7 21
Float : 5903878 - Cycle : 286 - PI : DEAN ROEMMICH - Data mode : R - Platform type : SOLO - WMO inst type : 851 - FLOAT SERIAL : 3038 - Date : 2019 11 8
Float : 5904200 - Cycle : 256 - PI : DEAN ROEMMICH - Data mode : R - Platform type : SOLO - WMO inst type : 851 - FLOAT SERIAL : 3073 - Date : 2020 2 8
Float : 5904403 - Cycle : 237 - PI : STEPHEN RISER - Data mode : A - Platform type : APEX - WMO inst type : 846 - FLOAT SERIAL : 6932 - Date : 2021 2 8
Float : 5904490 - Cycle : 216 - PI : STEPHEN RISER - Data mode : A - Platform type : APEX - WMO inst type : 846 - FLOAT SERIAL : 6972 - Date : 2021 1 29
Float : 5904490 - Cycle : 217 - PI : STEPHEN RISER - Data mode : A - Platform type : APEX - WMO inst type : 846 - FLOAT SERIAL : 6972 - Date : 2021 2 9
Float : 5904490 - Cycle : 218 - PI : STEPHEN RISER - Data mode : A - Platform type : APEX - WMO inst type : 846 - FLOAT SERIAL : 6972 - Date : 2021 2 19
Float : 5904543 - Cycle : 240 - PI : GREGORY C. JOHNSON - Data mode : A - Platform type : NAVIS_A - WMO inst type : 863 - FLOAT SERIAL : 0382 - Date : 2021 1 31
Float : 5904543 - Cycle : 241 - PI : GREGORY C. JOHNSON - Data mode : A - Platform type : NAVIS_A - WMO inst type : 863 - FLOAT SERIAL : 0382 - Date : 2021 2 10
Float : 5904543 - Cycle : 242 - PI : GREGORY C. JOHNSON - Data mode : A - Platform type : NAVIS_A - WMO inst type : 863 - FLOAT SERIAL : 0382 - Date : 2021 2 20
Float : 5904560 - Cycle : 229 - PI : GREGORY C. JOHNSON - Data mode : A - Platform type : NAVIS_A - WMO inst type : 863 - FLOAT SERIAL : 0408 - Date : 2021 2 16
Float : 5904578 - Cycle : 217 - PI : GREGORY C. JOHNSON - Data mode : A - Platform type : NAVIS_A - WMO inst type : 863 - FLOAT SERIAL : 0449 - Date : 2021 2 18
Float : 5904587 - Cycle : 213 - PI : GREGORY C. JOHNSON - Data mode : A - Platform type : NAVIS_A - WMO inst type : 863 - FLOAT SERIAL : 0458 - Date : 2021 2 17
Float : 5904612 - Cycle : 195 - PI : STEPHEN RISER - Data mode : A - Platform type : APEX - WMO inst type : 846 - FLOAT SERIAL : 7274 - Date : 2021 2 1
Float : 5904695 - Cycle : 168 - PI : STEPHEN RISER, KENNETH JOHNSON - Data mode : A - Platform type : APEX - WMO inst type : 846 - FLOAT SERIAL : 6942 - Date : 2021 2 4
Float : 5904738 - Cycle : 159 - PI : GREGORY C. JOHNSON - Data mode : A - Platform type : NAVIS_A - WMO inst type : 863 - FLOAT SERIAL : 0613 - Date : 2021 2 2
Float : 5904738 - Cycle : 160 - PI : GREGORY C. JOHNSON - Data mode : A - Platform type : NAVIS_A - WMO inst type : 863 - FLOAT SERIAL : 0613 - Date : 2021 2 12
Float : 5904738 - Cycle : 161 - PI : GREGORY C. JOHNSON - Data mode : A - Platform type : NAVIS_A - WMO inst type : 863 - FLOAT SERIAL : 0613 - Date : 2021 2 22
Float : 5904741 - Cycle : 159 - PI : GREGORY C. JOHNSON - Data mode : A - Platform type : NAVIS_A - WMO inst type : 863 - FLOAT SERIAL : 0609 - Date : 2020 11 26
Float : 5904741 - Cycle : 166 - PI : GREGORY C. JOHNSON - Data mode : A - Platform type : NAVIS_A - WMO inst type : 863 - FLOAT SERIAL : 0609 - Date : 2021 2 4
Float : 5904741 - Cycle : 167 - PI : GREGORY C. JOHNSON - Data mode : A - Platform type : NAVIS_A - WMO inst type : 863 - FLOAT SERIAL : 0609 - Date : 2021 2 14
Float : 5904741 - Cycle : 168 - PI : GREGORY C. JOHNSON - Data mode : A - Platform type : NAVIS_A - WMO inst type : 863 - FLOAT SERIAL : 0609 - Date : 2021 2 24
Float : 5904762 - Cycle : 167 - PI : STEPHEN RISER - Data mode : A - Platform type : APEX - WMO inst type : 846 - FLOAT SERIAL : 6426 - Date : 2021 2 2
Float : 5904775 - Cycle : 153 - PI : STEPHEN RISER - Data mode : A - Platform type : APEX - WMO inst type : 846 - FLOAT SERIAL : 7061 - Date : 2020 9 6
Float : 5904781 - Cycle : 162 - PI : STEPHEN RISER - Data mode : A - Platform type : APEX - WMO inst type : 846 - FLOAT SERIAL : 7662 - Date : 2021 2 4
Float : 5904781 - Cycle : 163 - PI : STEPHEN RISER - Data mode : A - Platform type : APEX - WMO inst type : 846 - FLOAT SERIAL : 7662 - Date : 2021 2 14
Float : 5904781 - Cycle : 164 - PI : STEPHEN RISER - Data mode : A - Platform type : APEX - WMO inst type : 846 - FLOAT SERIAL : 7662 - Date : 2021 2 24
Float : 5904785 - Cycle : 164 - PI : STEPHEN RISER - Data mode : A - Platform type : APEX - WMO inst type : 846 - FLOAT SERIAL : 7666 - Date : 2021 2 22
Float : 5904786 - Cycle : 162 - PI : STEPHEN RISER - Data mode : A - Platform type : APEX - WMO inst type : 846 - FLOAT SERIAL : 7667 - Date : 2021 2 3
Float : 5904786 - Cycle : 163 - PI : STEPHEN RISER - Data mode : A - Platform type : APEX - WMO inst type : 846 - FLOAT SERIAL : 7667 - Date : 2021 2 13
Float : 5904786 - Cycle : 164 - PI : STEPHEN RISER - Data mode : A - Platform type : APEX - WMO inst type : 846 - FLOAT SERIAL : 7667 - Date : 2021 2 23
Float : 5904828 - Cycle : 156 - PI : STEPHEN RISER - Data mode : A - Platform type : APEX - WMO inst type : 846 - FLOAT SERIAL : 7677 - Date : 2021 2 1
Float : 5904828 - Cycle : 157 - PI : STEPHEN RISER - Data mode : A - Platform type : APEX - WMO inst type : 846 - FLOAT SERIAL : 7677 - Date : 2021 2 11
Float : 5904828 - Cycle : 158 - PI : STEPHEN RISER - Data mode : A - Platform type : APEX - WMO inst type : 846 - FLOAT SERIAL : 7677 - Date : 2021 2 21
Float : 5905066 - Cycle : 150 - PI : STEPHEN RISER - Data mode : A - Platform type : APEX - WMO inst type : 846 - FLOAT SERIAL : 7656 - Date : 2021 2 1
Float : 5905150 - Cycle : 119 - PI : STEPHEN RISER - Data mode : A - Platform type : APEX - WMO inst type : 846 - FLOAT SERIAL : 7854 - Date : 2021 2 1
Float : 5905150 - Cycle : 120 - PI : STEPHEN RISER - Data mode : A - Platform type : APEX - WMO inst type : 846 - FLOAT SERIAL : 7854 - Date : 2021 2 11
Float : 5905150 - Cycle : 121 - PI : STEPHEN RISER - Data mode : A - Platform type : APEX - WMO inst type : 846 - FLOAT SERIAL : 7854 - Date : 2021 2 21

Float : 5905236 - Cycle : 80 - PI : DEAN ROEMMICH - Data mode : R - Platform type : SOLO_II - WMO inst type : 853 - FLOAT SERIAL : 8527 - Date : 2019 8 14
Float : 5905239 - Cycle : 103 - PI : DEAN ROEMMICH - Data mode : R - Platform type : SOLO_II - WMO inst type : 853 - FLOAT SERIAL : 8557 - Date : 2020 5 16
Float : 5905240 - Cycle : 130 - PI : DEAN ROEMMICH - Data mode : R - Platform type : SOLO_II - WMO inst type : 853 - FLOAT SERIAL : 8558 - Date : 2021 2 13
Float : 5905246 - Cycle : 105 - PI : DEAN ROEMMICH - Data mode : A - Platform type : SOLO_II - WMO inst type : 853 - FLOAT SERIAL : 8553 - Date : 2020 7 31
Float : 5905246 - Cycle : 123 - PI : DEAN ROEMMICH - Data mode : A - Platform type : SOLO_II - WMO inst type : 853 - FLOAT SERIAL : 8553 - Date : 2021 1 27
Float : 5905248 - Cycle : 83 - PI : DEAN ROEMMICH - Data mode : R - Platform type : SOLO_II - WMO inst type : 853 - FLOAT SERIAL : 8572 - Date : 2019 12 28
Float : 5905248 - Cycle : 87 - PI : DEAN ROEMMICH - Data mode : R - Platform type : SOLO_II - WMO inst type : 853 - FLOAT SERIAL : 8572 - Date : 2020 2 6
Float : 5905248 - Cycle : 99 - PI : DEAN ROEMMICH - Data mode : R - Platform type : SOLO_II - WMO inst type : 853 - FLOAT SERIAL : 8572 - Date : 2020 6 5
Float : 5905249 - Cycle : 123 - PI : DEAN ROEMMICH - Data mode : R - Platform type : SOLO_II - WMO inst type : 853 - FLOAT SERIAL : 8573 - Date : 2021 2 3
Float : 5905249 - Cycle : 82 - PI : DEAN ROEMMICH - Data mode : R - Platform type : SOLO_II - WMO inst type : 853 - FLOAT SERIAL : 8573 - Date : 2019 12 21
Float : 5905250 - Cycle : 127 - PI : DEAN ROEMMICH - Data mode : R - Platform type : SOLO_II - WMO inst type : 853 - FLOAT SERIAL : 8576 - Date : 2021 1 4
Float : 5905250 - Cycle : 84 - PI : DEAN ROEMMICH - Data mode : R - Platform type : SOLO_II - WMO inst type : 853 - FLOAT SERIAL : 8576 - Date : 2020 1 9
Float : 5905252 - Cycle : 106 - PI : DEAN ROEMMICH - Data mode : R - Platform type : SOLO_II - WMO inst type : 853 - FLOAT SERIAL : 8578 - Date : 2020 8 19
Float : 5905252 - Cycle : 86 - PI : DEAN ROEMMICH - Data mode : R - Platform type : SOLO_II - WMO inst type : 853 - FLOAT SERIAL : 8578 - Date : 2020 2 1
Float : 5905253 - Cycle : 101 - PI : DEAN ROEMMICH - Data mode : R - Platform type : SOLO_II - WMO inst type : 853 - FLOAT SERIAL : 8579 - Date : 2020 6 5
Float : 5905253 - Cycle : 118 - PI : DEAN ROEMMICH - Data mode : R - Platform type : SOLO_II - WMO inst type : 853 - FLOAT SERIAL : 8579 - Date : 2020 11 21
Float : 5905253 - Cycle : 120 - PI : DEAN ROEMMICH - Data mode : R - Platform type : SOLO_II - WMO inst type : 853 - FLOAT SERIAL : 8579 - Date : 2020 12 10
Float : 5905253 - Cycle : 94 - PI : DEAN ROEMMICH - Data mode : R - Platform type : SOLO_II - WMO inst type : 853 - FLOAT SERIAL : 8579 - Date : 2020 3 28
Float : 5905262 - Cycle : 92 - PI : DEAN ROEMMICH - Data mode : A - Platform type : SOLO_II - WMO inst type : 853 - FLOAT SERIAL : 8623 - Date : 2020 5 10
Float : 5905262 - Cycle : 97 - PI : DEAN ROEMMICH - Data mode : A - Platform type : SOLO_II - WMO inst type : 853 - FLOAT SERIAL : 8623 - Date : 2020 6 29
Float : 5905268 - Cycle : 36 - PI : DEAN ROEMMICH - Data mode : R - Platform type : SOLO_D - WMO inst type : 862 - FLOAT SERIAL : 6038 - Date : 2018 12 23
Float : 5905269 - Cycle : 13 - PI : DEAN ROEMMICH - Data mode : R - Platform type : SOLO_D - WMO inst type : 862 - FLOAT SERIAL : 6039 - Date : 2018 4 7
Float : 5905269 - Cycle : 15 - PI : DEAN ROEMMICH - Data mode : R - Platform type : SOLO_D - WMO inst type : 862 - FLOAT SERIAL : 6039 - Date : 2018 4 17
Float : 5905269 - Cycle : 16 - PI : DEAN ROEMMICH - Data mode : R - Platform type : SOLO_D - WMO inst type : 862 - FLOAT SERIAL : 6039 - Date : 2018 4 23
Float : 5905276 - Cycle : 106 - PI : DEAN ROEMMICH - Data mode : R - Platform type : SOLO_II - WMO inst type : 853 - FLOAT SERIAL : 8645 - Date : 2020 12 2
Float : 5905277 - Cycle : 104 - PI : DEAN ROEMMICH - Data mode : A - Platform type : SOLO_II - WMO inst type : 853 - FLOAT SERIAL : 8647 - Date : 2020 11 12
Float : 5905278 - Cycle : 108 - PI : DEAN ROEMMICH - Data mode : R - Platform type : SOLO_II - WMO inst type : 853 - FLOAT SERIAL : 8574 - Date : 2020 12 14
Float : 5905278 - Cycle : 87 - PI : DEAN ROEMMICH - Data mode : R - Platform type : SOLO_II - WMO inst type : 853 - FLOAT SERIAL : 8574 - Date : 2020 5 19
Float : 5905278 - Cycle : 89 - PI : DEAN ROEMMICH - Data mode : R - Platform type : SOLO_II - WMO inst type : 853 - FLOAT SERIAL : 8574 - Date : 2020 6 8
Float : 5905635 - Cycle : 107 - PI : STEPHEN RISER, KENNETH JOHNSON - Data mode : A - Platform type : APEX - WMO inst type : 846 - FLOAT SERIAL : 8056 - Date : 2021 2 24
Float : 5905669 - Cycle : 87 - PI : GREGORY C. JOHNSON - Data mode : A - Platform type : NAVIS_A - WMO inst type : 863 - FLOAT SERIAL : 0867 - Date : 2021 2 6
Float : 5905669 - Cycle : 88 - PI : GREGORY C. JOHNSON - Data mode : A - Platform type : NAVIS_A - WMO inst type : 863 - FLOAT SERIAL : 0867 - Date : 2021 2 16
Float : 5905678 - Cycle : 83 - PI : DEAN ROEMMICH - Data mode : R - Platform type : SOLO_II - WMO inst type : 853 - FLOAT SERIAL : 8613 - Date : 2020 4 10
Float : 5905680 - Cycle : 112 - PI : DEAN ROEMMICH - Data mode : R - Platform type : SOLO_II - WMO inst type : 853 - FLOAT SERIAL : 8646 - Date : 2021 2 19
Float : 5905680 - Cycle : 83 - PI : DEAN ROEMMICH - Data mode : R - Platform type : SOLO_II - WMO inst type : 853 - FLOAT SERIAL : 8646 - Date : 2020 5 7
Float : 5905680 - Cycle : 86 - PI : DEAN ROEMMICH - Data mode : R - Platform type : SOLO_II - WMO inst type : 853 - FLOAT SERIAL : 8646 - Date : 2020 6 6
Float : 5905680 - Cycle : 88 - PI : DEAN ROEMMICH - Data mode : R - Platform type : SOLO_II - WMO inst type : 853 - FLOAT SERIAL : 8646 - Date : 2020 6 26
Float : 5905682 - Cycle : 53 - PI : DEAN ROEMMICH - Data mode : R - Platform type : SOLO_II - WMO inst type : 853 - FLOAT SERIAL : 8659 - Date : 2019 12 4
Float : 5905707 - Cycle : 93 - PI : DEAN ROEMMICH - Data mode : R - Platform type : SOLO_II - WMO inst type : 853 - FLOAT SERIAL : 8692 - Date : 2021 2 20
Float : 5905714 - Cycle : 61 - PI : DEAN ROEMMICH - Data mode : R - Platform type : SOLO_II - WMO inst type : 853 - FLOAT SERIAL : 8699 - Date : 2020 4 13
Float : 5905716 - Cycle : 85 - PI : DEAN ROEMMICH - Data mode : R - Platform type : SOLO_II - WMO inst type : 853 - FLOAT SERIAL : 8701 - Date : 2020 12 9
Float : 5905716 - Cycle : 91 - PI : DEAN ROEMMICH - Data mode : R - Platform type : SOLO_II - WMO inst type : 853 - FLOAT SERIAL : 8701 - Date : 2021 2 7
Float : 5905717 - Cycle : 84 - PI : DEAN ROEMMICH - Data mode : R - Platform type : SOLO_II - WMO inst type : 853 - FLOAT SERIAL : 8702 - Date : 2020 11 29
Float : 5905725 - Cycle : 78 - PI : DEAN ROEMMICH - Data mode : R - Platform type : SOLO_II - WMO inst type : 853 - FLOAT SERIAL : 8710 - Date : 2020 10 13
Float : 5905725 - Cycle : 81 - PI : DEAN ROEMMICH - Data mode : R - Platform type : SOLO_II - WMO inst type : 853 - FLOAT SERIAL : 8710 - Date : 2020 11 11
Float : 5905730 - Cycle : 100 - PI : GREGORY C. JOHNSON - Data mode : A - Platform type : NAVIS_A - WMO inst type : 863 - FLOAT SERIAL : 0842 - Date : 2021 2 13
Float : 5905730 - Cycle : 101 - PI : GREGORY C. JOHNSON - Data mode : A - Platform type : NAVIS_A - WMO inst type : 863 - FLOAT SERIAL : 0842 - Date : 2021 2 23
Float : 5905730 - Cycle : 99 - PI : GREGORY C. JOHNSON - Data mode : A - Platform type : NAVIS_A - WMO inst type : 863 - FLOAT SERIAL : 0842 - Date : 2021 2 3
Float : 5905743 - Cycle : 97 - PI : GREGORY C. JOHNSON - Data mode : A - Platform type : NAVIS_A - WMO inst type : 863 - FLOAT SERIAL : 0938 - Date : 2021 2 19
Float : 5905748 - Cycle : 86 - PI : GREGORY C. JOHNSON - Data mode : A - Platform type : NAVIS_A - WMO inst type : 863 - FLOAT SERIAL : 0963 - Date : 2021 2 4
Float : 5905748 - Cycle : 87 - PI : GREGORY C. JOHNSON - Data mode : A - Platform type : NAVIS_A - WMO inst type : 863 - FLOAT SERIAL : 0963 - Date : 2021 2 14
Float : 5905748 - Cycle : 88 - PI : GREGORY C. JOHNSON - Data mode : A - Platform type : NAVIS_A - WMO inst type : 863 - FLOAT SERIAL : 0963 - Date : 2021 2 24
Float : 5905761 - Cycle : 60 - PI : DEAN ROEMMICH - Data mode : A - Platform type : SOLO_D - WMO inst type : 862 - FLOAT SERIAL : 6045 - Date : 2019 12 1
Float : 5905763 - Cycle : 77 - PI : DEAN ROEMMICH - Data mode : A - Platform type : SOLO_D - WMO inst type : 862 - FLOAT SERIAL : 6047 - Date : 2020 7 1
Float : 5905764 - Cycle : 97 - PI : DEAN ROEMMICH - Data mode : A - Platform type : SOLO_D - WMO inst type : 862 - FLOAT SERIAL : 6048 - Date : 2021 2 10
Float : 5905764 - Cycle : 98 - PI : DEAN ROEMMICH - Data mode : A - Platform type : SOLO_D - WMO inst type : 862 - FLOAT SERIAL : 6048 - Date : 2021 2 20
Float : 5905769 - Cycle : 0 - PI : DEAN ROEMMICH - Data mode : R - Platform type : SOLO_II - WMO inst type : 853 - FLOAT SERIAL : 8855 - Date : 2020 7 25
Float : 5905769 - Cycle : 21 - PI : DEAN ROEMMICH - Data mode : R - Platform type : SOLO_II - WMO inst type : 853 - FLOAT SERIAL : 8855 - Date : 2021 1 14
Float : 5905775 - Cycle : 80 - PI : DEAN ROEMMICH - Data mode : R - Platform type : SOLO_II - WMO inst type : 853 - FLOAT SERIAL : 8718 - Date : 2020 12 18
Float : 5905777 - Cycle : 76 - PI : DEAN ROEMMICH - Data mode : R - Platform type : SOLO_II - WMO inst type : 853 - FLOAT SERIAL : 8720 - Date : 2020 11 24
Float : 5905782 - Cycle : 60 - PI : DEAN ROEMMICH - Data mode : R - Platform type : SOLO_II - WMO inst type : 853 - FLOAT SERIAL : 8750 - Date : 2020 7 23
Float : 5905782 - Cycle : 69 - PI : DEAN ROEMMICH - Data mode : R - Platform type : SOLO_II - WMO inst type : 853 - FLOAT SERIAL : 8750 - Date : 2020 10 20
Float : 5905782 - Cycle : 71 - PI : DEAN ROEMMICH - Data mode : R - Platform type : SOLO_II - WMO inst type : 853 - FLOAT SERIAL : 8750 - Date : 2020 11 9
Float : 5905782 - Cycle : 79 - PI : DEAN ROEMMICH - Data mode : R - Platform type : SOLO_II - WMO inst type : 853 - FLOAT SERIAL : 8750 - Date : 2021 1 27
Float : 5905785 - Cycle : 12 - PI : DEAN ROEMMICH - Data mode : A - Platform type : SOLO_D - WMO inst type : 862 - FLOAT SERIAL : 6054 - Date : 2019 1 18
Float : 5905785 - Cycle : 149 - PI : DEAN ROEMMICH - Data mode : A - Platform type : SOLO_D - WMO inst type : 862 - FLOAT SERIAL : 6054 - Date : 2021 1 13
Float : 5905965 - Cycle : 89 - PI : STEPHEN RISER - Data mode : A - Platform type : APEX - WMO inst type : 846 - FLOAT SERIAL : 7716 - Date : 2021 2 8
Float : 5905988 - Cycle : 139 - PI : ANDREA FASSBENDER - Data mode : A - Platform type : NAVIS_A - WMO inst type : 863 - FLOAT SERIAL : 0949 - Date : 2021 2 3
Float : 5905988 - Cycle : 140 - PI : ANDREA FASSBENDER - Data mode : A - Platform type : NAVIS_A - WMO inst type : 863 - FLOAT SERIAL : 0949 - Date : 2021 2 13
Float : 5905988 - Cycle : 141 - PI : ANDREA FASSBENDER - Data mode : A - Platform type : NAVIS_A - WMO inst type : 863 - FLOAT SERIAL : 0949 - Date : 2021 2 23
Float : 5905992 - Cycle : 76 - PI : STEPHEN RISER, KENNETH JOHNSON - Data mode : A - Platform type : APEX - WMO inst type : 846 - FLOAT SERIAL : 8302 - Date : 2021 2 12
Float : 5906049 - Cycle : 48 - PI : STEPHEN RISER - Data mode : A - Platform type : APEX - WMO inst type : 846 - FLOAT SERIAL : 8340 - Date : 2021 2 3
Float : 5906065 - Cycle : 42 - PI : STEPHEN RISER - Data mode : A - Platform type : APEX - WMO inst type : 846 - FLOAT SERIAL : 8305 - Date : 2021 1 30
Float : 5906093 - Cycle : 4 - PI : GREGORY C. JOHNSON - Data mode : A - Platform type : NAVIS_A - WMO inst type : 863 - FLOAT SERIAL : 0999 - Date : 2021 1 31
Float : 5906095 - Cycle : 64 - PI : GREGORY C. JOHNSON - Data mode : A - Platform type : NAVIS_A - WMO inst type : 863 - FLOAT SERIAL : 1009 - Date : 2021 1 31
Float : 5906095 - Cycle : 65 - PI : GREGORY C. JOHNSON - Data mode : A - Platform type : NAVIS_A - WMO inst type : 863 - FLOAT SERIAL : 1009 - Date : 2021 2 10
Float : 5906095 - Cycle : 66 - PI : GREGORY C. JOHNSON - Data mode : A - Platform type : NAVIS_A - WMO inst type : 863 - FLOAT SERIAL : 1009 - Date : 2021 2 20
Float : 5906098 - Cycle : 62 - PI : GREGORY C. JOHNSON - Data mode : A - Platform type : NAVIS_A - WMO inst type : 863 - FLOAT SERIAL : 1012 - Date : 2021 1 31
Float : 5906098 - Cycle : 63 - PI : GREGORY C. JOHNSON - Data mode : A - Platform type : NAVIS_A - WMO inst type : 863 - FLOAT SERIAL : 1012 - Date : 2021 2 10

Float : 5906098 - Cycle : 64 - PI : GREGORY C. JOHNSON - Data mode : A - Platform type : NAVIS_A - WMO inst type : 863 - FLOAT SERIAL : 1012 - Date : 2021 2 20
Float : 5906102 - Cycle : 62 - PI : GREGORY C. JOHNSON - Data mode : A - Platform type : NAVIS_A - WMO inst type : 863 - FLOAT SERIAL : 1034 - Date : 2021 1 30
Float : 5906106 - Cycle : 7 - PI : DEAN ROEMMICH - Data mode : R - Platform type : SOLO_D - WMO inst type : 862 - FLOAT SERIAL : 6059 - Date : 2019 12 15
Float : 5906116 - Cycle : 28 - PI : DEAN ROEMMICH - Data mode : R - Platform type : SOLO_II - WMO inst type : 853 - FLOAT SERIAL : 8804 - Date : 2020 8 2
Float : 5906122 - Cycle : 43 - PI : DEAN ROEMMICH - Data mode : R - Platform type : SOLO_II - WMO inst type : 853 - FLOAT SERIAL : 8811 - Date : 2021 1 7
Float : 5906130 - Cycle : 22 - PI : DEAN ROEMMICH - Data mode : R - Platform type : SOLO_II - WMO inst type : 853 - FLOAT SERIAL : 8847 - Date : 2020 7 18
Float : 5906130 - Cycle : 27 - PI : DEAN ROEMMICH - Data mode : R - Platform type : SOLO_II - WMO inst type : 853 - FLOAT SERIAL : 8847 - Date : 2020 9 5
Float : 5906130 - Cycle : 28 - PI : DEAN ROEMMICH - Data mode : R - Platform type : SOLO_II - WMO inst type : 853 - FLOAT SERIAL : 8847 - Date : 2020 9 15
Float : 5906130 - Cycle : 34 - PI : DEAN ROEMMICH - Data mode : R - Platform type : SOLO_II - WMO inst type : 853 - FLOAT SERIAL : 8847 - Date : 2020 11 14
Float : 5906130 - Cycle : 38 - PI : DEAN ROEMMICH - Data mode : R - Platform type : SOLO_II - WMO inst type : 853 - FLOAT SERIAL : 8847 - Date : 2020 12 23
Float : 5906130 - Cycle : 42 - PI : DEAN ROEMMICH - Data mode : R - Platform type : SOLO_II - WMO inst type : 853 - FLOAT SERIAL : 8847 - Date : 2021 2 1
Float : 5906138 - Cycle : 22 - PI : DEAN ROEMMICH - Data mode : R - Platform type : SOLO_II - WMO inst type : 853 - FLOAT SERIAL : 8856 - Date : 2021 1 25
Float : 5906138 - Cycle : 7 - PI : DEAN ROEMMICH - Data mode : R - Platform type : SOLO_II - WMO inst type : 853 - FLOAT SERIAL : 8856 - Date : 2020 8 29
Float : 5906145 - Cycle : 0 - PI : DEAN ROEMMICH, SARAH PURKEY, NATHALIE ZILBERMAN, JOHN GILSON - Data mode : R - Platform type : SOLO_II - WMO inst type : 853 - FLOAT SERIAL : 8890 - Date : 2020 9 23
Float : 5906150 - Cycle : 0 - PI : DEAN ROEMMICH, SARAH PURKEY, NATHALIE ZILBERMAN, JOHN GILSON - Data mode : R - Platform type : SOLO_II - WMO inst type : 853 - FLOAT SERIAL : 8896 - Date : 2020 9 27
Float : 5906151 - Cycle : 11 - PI : DEAN ROEMMICH, SARAH PURKEY, NATHALIE ZILBERMAN, JOHN GILSON - Data mode : R - Platform type : SOLO_II - WMO inst type : 853 - FLOAT SERIAL : 8897 - Date : 2020 12 10
Float : 5906151 - Cycle : 3 - PI : DEAN ROEMMICH, SARAH PURKEY, NATHALIE ZILBERMAN, JOHN GILSON - Data mode : R - Platform type : SOLO_II - WMO inst type : 853 - FLOAT SERIAL : 8897 - Date : 2020 9 30
Float : 5906152 - Cycle : 11 - PI : DEAN ROEMMICH, SARAH PURKEY, NATHALIE ZILBERMAN, JOHN GILSON - Data mode : R - Platform type : SOLO_II - WMO inst type : 853 - FLOAT SERIAL : 8898 - Date : 2020 12 11
Float : 5906159 - Cycle : 58 - PI : GREGORY C. JOHNSON - Data mode : A - Platform type : NAVIS_A - WMO inst type : 863 - FLOAT SERIAL : 1045 - Date : 2021 2 3
Float : 5906159 - Cycle : 59 - PI : GREGORY C. JOHNSON - Data mode : A - Platform type : NAVIS_A - WMO inst type : 863 - FLOAT SERIAL : 1045 - Date : 2021 2 13
Float : 5906159 - Cycle : 60 - PI : GREGORY C. JOHNSON - Data mode : A - Platform type : NAVIS_A - WMO inst type : 863 - FLOAT SERIAL : 1045 - Date : 2021 2 23
Float : 5906170 - Cycle : 46 - PI : GREGORY C. JOHNSON - Data mode : A - Platform type : NAVIS_A - WMO inst type : 863 - FLOAT SERIAL : 1031 - Date : 2021 1 30
Float : 5906170 - Cycle : 48 - PI : GREGORY C. JOHNSON - Data mode : A - Platform type : NAVIS_A - WMO inst type : 863 - FLOAT SERIAL : 1031 - Date : 2021 2 19
Float : 5906174 - Cycle : 32 - PI : GREGORY C. JOHNSON - Data mode : A - Platform type : NAVIS_A - WMO inst type : 863 - FLOAT SERIAL : 1149 - Date : 2021 2 4
Float : 5906174 - Cycle : 33 - PI : GREGORY C. JOHNSON - Data mode : A - Platform type : NAVIS_A - WMO inst type : 863 - FLOAT SERIAL : 1149 - Date : 2021 2 14
Float : 5906174 - Cycle : 34 - PI : GREGORY C. JOHNSON - Data mode : A - Platform type : NAVIS_A - WMO inst type : 863 - FLOAT SERIAL : 1149 - Date : 2021 2 24
Float : 5906299 - Cycle : 40 - PI : STEPHEN RISER - Data mode : A - Platform type : APEX - WMO inst type : 877 - FLOAT SERIAL : 8815 - Date : 2021 1 28
Float : 5906299 - Cycle : 41 - PI : STEPHEN RISER - Data mode : A - Platform type : APEX - WMO inst type : 877 - FLOAT SERIAL : 8815 - Date : 2021 1 30
Float : 5906299 - Cycle : 42 - PI : STEPHEN RISER - Data mode : A - Platform type : APEX - WMO inst type : 877 - FLOAT SERIAL : 8815 - Date : 2021 2 1
Float : 5906299 - Cycle : 43 - PI : STEPHEN RISER - Data mode : A - Platform type : APEX - WMO inst type : 877 - FLOAT SERIAL : 8815 - Date : 2021 2 3
Float : 5906299 - Cycle : 44 - PI : STEPHEN RISER - Data mode : A - Platform type : APEX - WMO inst type : 877 - FLOAT SERIAL : 8815 - Date : 2021 2 5
Float : 5906299 - Cycle : 45 - PI : STEPHEN RISER - Data mode : A - Platform type : APEX - WMO inst type : 877 - FLOAT SERIAL : 8815 - Date : 2021 2 7
Float : 5906299 - Cycle : 46 - PI : STEPHEN RISER - Data mode : A - Platform type : APEX - WMO inst type : 877 - FLOAT SERIAL : 8815 - Date : 2021 2 9
Float : 5906299 - Cycle : 47 - PI : STEPHEN RISER - Data mode : A - Platform type : APEX - WMO inst type : 877 - FLOAT SERIAL : 8815 - Date : 2021 2 11
Float : 5906299 - Cycle : 48 - PI : STEPHEN RISER - Data mode : A - Platform type : APEX - WMO inst type : 877 - FLOAT SERIAL : 8815 - Date : 2021 2 13
Float : 5906299 - Cycle : 49 - PI : STEPHEN RISER - Data mode : A - Platform type : APEX - WMO inst type : 877 - FLOAT SERIAL : 8815 - Date : 2021 2 15
Float : 5906299 - Cycle : 50 - PI : STEPHEN RISER - Data mode : A - Platform type : APEX - WMO inst type : 877 - FLOAT SERIAL : 8815 - Date : 2021 2 17
Float : 5906299 - Cycle : 51 - PI : STEPHEN RISER - Data mode : A - Platform type : APEX - WMO inst type : 877 - FLOAT SERIAL : 8815 - Date : 2021 2 19
Float : 5906299 - Cycle : 52 - PI : STEPHEN RISER - Data mode : A - Platform type : APEX - WMO inst type : 877 - FLOAT SERIAL : 8815 - Date : 2021 2 21
Float : 5906299 - Cycle : 53 - PI : STEPHEN RISER - Data mode : A - Platform type : APEX - WMO inst type : 877 - FLOAT SERIAL : 8815 - Date : 2021 2 23
Float : 5906299 - Cycle : 54 - PI : STEPHEN RISER - Data mode : A - Platform type : APEX - WMO inst type : 877 - FLOAT SERIAL : 8815 - Date : 2021 2 25
Float : 5906331 - Cycle : 1 - PI : STEPHEN RISER - Data mode : R - Platform type : APEX - WMO inst type : 846 - FLOAT SERIAL : 8998 - Date : 2020 12 28
Float : 5906383 - Cycle : 14 - PI : DEAN ROEMMICH - Data mode : R - Platform type : SOLO_II - WMO inst type : 879 - FLOAT SERIAL : 8851 - Date : 2020 11 25
Float : 5906383 - Cycle : 3 - PI : DEAN ROEMMICH - Data mode : R - Platform type : SOLO_II - WMO inst type : 879 - FLOAT SERIAL : 8851 - Date : 2020 11 13
Float : 5906383 - Cycle : 4 - PI : DEAN ROEMMICH - Data mode : R - Platform type : SOLO_II - WMO inst type : 879 - FLOAT SERIAL : 8851 - Date : 2020 11 14
Float : 5906383 - Cycle : 8 - PI : DEAN ROEMMICH - Data mode : R - Platform type : SOLO_II - WMO inst type : 879 - FLOAT SERIAL : 8851 - Date : 2020 11 18
Float : 5906397 - Cycle : 0 - PI : DEAN ROEMMICH - Data mode : R - Platform type : SOLO_D - WMO inst type : 862 - FLOAT SERIAL : 6071 - Date : 2020 8 4
Float : 5906400 - Cycle : 6 - PI : DEAN ROEMMICH, SARAH PURKEY, NATHALIE ZILBERMAN, JOHN GILSON - Data mode : R - Platform type : SOLO_II - WMO inst type : 853 - FLOAT SERIAL : 8902 - Date : 2020 12 1
Float : 5906404 - Cycle : 16 - PI : DEAN ROEMMICH - Data mode : R - Platform type : SOLO_II - WMO inst type : 853 - FLOAT SERIAL : 8818 - Date : 2020 11 27
Float : 5906408 - Cycle : 0 - PI : PHIL SUTTON - Data mode : R - Platform type : SOLO_II - WMO inst type : 853 - FLOAT SERIAL : 8909 - Date : 2021 1 13
Float : 5906410 - Cycle : 0 - PI : DEAN ROEMMICH, SARAH PURKEY, NATHALIE ZILBERMAN, JOHN GILSON - Data mode : R - Platform type : SOLO_II - WMO inst type : 853 - FLOAT SERIAL : 8911 - Date : 2021 1 14
Float : 7900202 - Cycle : 239 - PI : DEAN ROEMMICH - Data mode : R - Platform type : SOLO_II - WMO inst type : 853 - FLOAT SERIAL : 8316 - Date : 2021 2 17
Float : 7900214 - Cycle : 233 - PI : DEAN ROEMMICH - Data mode : R - Platform type : SOLO_II - WMO inst type : 853 - FLOAT SERIAL : 8332 - Date : 2021 2 19
Float : 7900675 - Cycle : 159 - PI : DEAN ROEMMICH - Data mode : R - Platform type : SOLO_II - WMO inst type : 853 - FLOAT SERIAL : 8464 - Date : 2020 8 10
Float : 7900677 - Cycle : 37 - PI : DEAN ROEMMICH - Data mode : A - Platform type : SOLO_D - WMO inst type : 862 - FLOAT SERIAL : 6040 - Date : 2018 12 27
Float : 7900680 - Cycle : 100 - PI : DEAN ROEMMICH - Data mode : R - Platform type : SOLO_II - WMO inst type : 853 - FLOAT SERIAL : 8627 - Date : 2020 9 25
Float : 7900681 - Cycle : 73 - PI : DEAN ROEMMICH - Data mode : R - Platform type : SOLO_II - WMO inst type : 853 - FLOAT SERIAL : 8628 - Date : 2019 12 22
Float : 7900682 - Cycle : 104 - PI : DEAN ROEMMICH - Data mode : R - Platform type : SOLO_II - WMO inst type : 853 - FLOAT SERIAL : 8629 - Date : 2020 11 7
Float : 7900682 - Cycle : 96 - PI : DEAN ROEMMICH - Data mode : R - Platform type : SOLO_II - WMO inst type : 853 - FLOAT SERIAL : 8629 - Date : 2020 8 20
Float : 7900682 - Cycle : 99 - PI : DEAN ROEMMICH - Data mode : R - Platform type : SOLO_II - WMO inst type : 853 - FLOAT SERIAL : 8629 - Date : 2020 9 19
Float : 7900683 - Cycle : 126 - PI : DEAN ROEMMICH - Data mode : R - Platform type : SOLO_II - WMO inst type : 853 - FLOAT SERIAL : 8630 - Date : 2021 1 29
Float : 7900685 - Cycle : 110 - PI : DEAN ROEMMICH - Data mode : R - Platform type : SOLO_II - WMO inst type : 853 - FLOAT SERIAL : 8637 - Date : 2021 1 24
Float : 7900690 - Cycle : 83 - PI : DEAN ROEMMICH - Data mode : R - Platform type : SOLO_II - WMO inst type : 853 - FLOAT SERIAL : 8756 - Date : 2021 2 22
Float : 7900794 - Cycle : 66 - PI : DEAN ROEMMICH - Data mode : R - Platform type : SOLO_II - WMO inst type : 853 - FLOAT SERIAL : 8758 - Date : 2020 10 19
Float : 7900794 - Cycle : 69 - PI : DEAN ROEMMICH - Data mode : R - Platform type : SOLO_II - WMO inst type : 853 - FLOAT SERIAL : 8758 - Date : 2020 11 18
Float : 7900795 - Cycle : 46 - PI : DEAN ROEMMICH - Data mode : R - Platform type : SOLO_II - WMO inst type : 853 - FLOAT SERIAL : 8759 - Date : 2020 4 4

Files data_mode='D'

Float : 1900143 - Cycle : 59 - PI : STEPHEN RISER - Data mode : D - Platform type : APEX - WMO inst type : 846 - FLOAT SERIAL : 541 - Date : 2004 8 10
Float : 1900183 - Cycle : 46 - PI : STEPHEN RISER - Data mode : D - Platform type : APEX - WMO inst type : 846 - FLOAT SERIAL : 882 - Date : 2005 1 7
Float : 1900201 - Cycle : 62 - PI : BRECK OWENS - Data mode : D - Platform type : SOLO_W - WMO inst type : 852 - FLOAT SERIAL : SL200 - Date : 2005 1 27
Float : 1900425 - Cycle : 1 - PI : BRECK OWENS - Data mode : D - Platform type : SOLO_W - WMO inst type : 852 - FLOAT SERIAL : 339 - Date : 2004 10 2

Float : 1900425 - Cycle : 10 - PI : BRECK OWENS - Data mode : D - Platform type : SOLO_W - WMO inst type : 852 - FLOAT SERIAL : 339 - Date : 2004 12 31
Float : 1900425 - Cycle : 11 - PI : BRECK OWENS - Data mode : D - Platform type : SOLO_W - WMO inst type : 852 - FLOAT SERIAL : 339 - Date : 2005 1 10
Float : 1900425 - Cycle : 12 - PI : BRECK OWENS - Data mode : D - Platform type : SOLO_W - WMO inst type : 852 - FLOAT SERIAL : 339 - Date : 2005 1 20
Float : 1900425 - Cycle : 13 - PI : BRECK OWENS - Data mode : D - Platform type : SOLO_W - WMO inst type : 852 - FLOAT SERIAL : 339 - Date : 2005 1 30
Float : 1900425 - Cycle : 5 - PI : BRECK OWENS - Data mode : D - Platform type : SOLO_W - WMO inst type : 852 - FLOAT SERIAL : 339 - Date : 2004 11 11
Float : 1900425 - Cycle : 6 - PI : BRECK OWENS - Data mode : D - Platform type : SOLO_W - WMO inst type : 852 - FLOAT SERIAL : 339 - Date : 2004 11 21
Float : 3901114 - Cycle : 188 - PI : BRECK OWENS, STEVEN JAYNE, P.E. ROBBINS - Data mode : D - Platform type : S2A - WMO inst type : 854 - FLOAT SERIAL : 7302 - Date : 2020 9 7
Float : 3901114 - Cycle : 202 - PI : BRECK OWENS, STEVEN JAYNE, P.E. ROBBINS - Data mode : D - Platform type : S2A - WMO inst type : 854 - FLOAT SERIAL : 7302 - Date : 2021 1 21
Float : 3901114 - Cycle : 203 - PI : BRECK OWENS, STEVEN JAYNE, P.E. ROBBINS - Data mode : D - Platform type : S2A - WMO inst type : 854 - FLOAT SERIAL : 7302 - Date : 2021 1 30
Float : 3901114 - Cycle : 204 - PI : BRECK OWENS, STEVEN JAYNE, P.E. ROBBINS - Data mode : D - Platform type : S2A - WMO inst type : 854 - FLOAT SERIAL : 7302 - Date : 2021 2 9
Float : 3901227 - Cycle : 100 - PI : BRECK OWENS, STEVEN JAYNE, P.E. ROBBINS - Data mode : D - Platform type : S2A - WMO inst type : 854 - FLOAT SERIAL : 7293 - Date : 2018 4 30
Float : 3901227 - Cycle : 101 - PI : BRECK OWENS, STEVEN JAYNE, P.E. ROBBINS - Data mode : D - Platform type : S2A - WMO inst type : 854 - FLOAT SERIAL : 7293 - Date : 2018 5 10
Float : 3901227 - Cycle : 102 - PI : BRECK OWENS, STEVEN JAYNE, P.E. ROBBINS - Data mode : D - Platform type : S2A - WMO inst type : 854 - FLOAT SERIAL : 7293 - Date : 2018 5 20
Float : 3901227 - Cycle : 103 - PI : BRECK OWENS, STEVEN JAYNE, P.E. ROBBINS - Data mode : D - Platform type : S2A - WMO inst type : 854 - FLOAT SERIAL : 7293 - Date : 2018 5 30
Float : 3901227 - Cycle : 104 - PI : BRECK OWENS, STEVEN JAYNE, P.E. ROBBINS - Data mode : D - Platform type : S2A - WMO inst type : 854 - FLOAT SERIAL : 7293 - Date : 2018 6 9
Float : 3901227 - Cycle : 105 - PI : BRECK OWENS, STEVEN JAYNE, P.E. ROBBINS - Data mode : D - Platform type : S2A - WMO inst type : 854 - FLOAT SERIAL : 7293 - Date : 2018 6 19
Float : 3901227 - Cycle : 106 - PI : BRECK OWENS, STEVEN JAYNE, P.E. ROBBINS - Data mode : D - Platform type : S2A - WMO inst type : 854 - FLOAT SERIAL : 7293 - Date : 2018 6 29
Float : 3901227 - Cycle : 107 - PI : BRECK OWENS, STEVEN JAYNE, P.E. ROBBINS - Data mode : D - Platform type : S2A - WMO inst type : 854 - FLOAT SERIAL : 7293 - Date : 2018 7 9
Float : 3901227 - Cycle : 108 - PI : BRECK OWENS, STEVEN JAYNE, P.E. ROBBINS - Data mode : D - Platform type : S2A - WMO inst type : 854 - FLOAT SERIAL : 7293 - Date : 2018 7 19
Float : 3901227 - Cycle : 109 - PI : BRECK OWENS, STEVEN JAYNE, P.E. ROBBINS - Data mode : D - Platform type : S2A - WMO inst type : 854 - FLOAT SERIAL : 7293 - Date : 2018 7 29
Float : 3901227 - Cycle : 110 - PI : BRECK OWENS, STEVEN JAYNE, P.E. ROBBINS - Data mode : D - Platform type : S2A - WMO inst type : 854 - FLOAT SERIAL : 7293 - Date : 2018 8 8
Float : 3901227 - Cycle : 111 - PI : BRECK OWENS, STEVEN JAYNE, P.E. ROBBINS - Data mode : D - Platform type : S2A - WMO inst type : 854 - FLOAT SERIAL : 7293 - Date : 2018 8 18
Float : 3901227 - Cycle : 112 - PI : BRECK OWENS, STEVEN JAYNE, P.E. ROBBINS - Data mode : D - Platform type : S2A - WMO inst type : 854 - FLOAT SERIAL : 7293 - Date : 2018 8 27
Float : 3901227 - Cycle : 113 - PI : BRECK OWENS, STEVEN JAYNE, P.E. ROBBINS - Data mode : D - Platform type : S2A - WMO inst type : 854 - FLOAT SERIAL : 7293 - Date : 2018 9 6
Float : 3901227 - Cycle : 114 - PI : BRECK OWENS, STEVEN JAYNE, P.E. ROBBINS - Data mode : D - Platform type : S2A - WMO inst type : 854 - FLOAT SERIAL : 7293 - Date : 2018 9 16
Float : 3901227 - Cycle : 115 - PI : BRECK OWENS, STEVEN JAYNE, P.E. ROBBINS - Data mode : D - Platform type : S2A - WMO inst type : 854 - FLOAT SERIAL : 7293 - Date : 2018 9 26
Float : 3901227 - Cycle : 116 - PI : BRECK OWENS, STEVEN JAYNE, P.E. ROBBINS - Data mode : D - Platform type : S2A - WMO inst type : 854 - FLOAT SERIAL : 7293 - Date : 2018 10 6
Float : 3901227 - Cycle : 117 - PI : BRECK OWENS, STEVEN JAYNE, P.E. ROBBINS - Data mode : D - Platform type : S2A - WMO inst type : 854 - FLOAT SERIAL : 7293 - Date : 2018 10 16
Float : 3901227 - Cycle : 118 - PI : BRECK OWENS, STEVEN JAYNE, P.E. ROBBINS - Data mode : D - Platform type : S2A - WMO inst type : 854 - FLOAT SERIAL : 7293 - Date : 2018 10 26
Float : 3901227 - Cycle : 119 - PI : BRECK OWENS, STEVEN JAYNE, P.E. ROBBINS - Data mode : D - Platform type : S2A - WMO inst type : 854 - FLOAT SERIAL : 7293 - Date : 2018 11 5
Float : 3901227 - Cycle : 120 - PI : BRECK OWENS, STEVEN JAYNE, P.E. ROBBINS - Data mode : D - Platform type : S2A - WMO inst type : 854 - FLOAT SERIAL : 7293 - Date : 2018 11 15
Float : 3901227 - Cycle : 121 - PI : BRECK OWENS, STEVEN JAYNE, P.E. ROBBINS - Data mode : D - Platform type : S2A - WMO inst type : 854 - FLOAT SERIAL : 7293 - Date : 2018 11 25
Float : 3901227 - Cycle : 122 - PI : BRECK OWENS, STEVEN JAYNE, P.E. ROBBINS - Data mode : D - Platform type : S2A - WMO inst type : 854 - FLOAT SERIAL : 7293 - Date : 2018 12 5
Float : 3901227 - Cycle : 123 - PI : BRECK OWENS, STEVEN JAYNE, P.E. ROBBINS - Data mode : D - Platform type : S2A - WMO inst type : 854 - FLOAT SERIAL : 7293 - Date : 2018 12 15
Float : 3901227 - Cycle : 124 - PI : BRECK OWENS, STEVEN JAYNE, P.E. ROBBINS - Data mode : D - Platform type : S2A - WMO inst type : 854 - FLOAT SERIAL : 7293 - Date : 2018 12 25
Float : 3901227 - Cycle : 125 - PI : BRECK OWENS, STEVEN JAYNE, P.E. ROBBINS - Data mode : D - Platform type : S2A - WMO inst type : 854 - FLOAT SERIAL : 7293 - Date : 2019 1 4
Float : 3901227 - Cycle : 126 - PI : BRECK OWENS, STEVEN JAYNE, P.E. ROBBINS - Data mode : D - Platform type : S2A - WMO inst type : 854 - FLOAT SERIAL : 7293 - Date : 2019 1 14
Float : 3901227 - Cycle : 127 - PI : BRECK OWENS, STEVEN JAYNE, P.E. ROBBINS - Data mode : D - Platform type : S2A - WMO inst type : 854 - FLOAT SERIAL : 7293 - Date : 2019 1 24
Float : 3901227 - Cycle : 128 - PI : BRECK OWENS, STEVEN JAYNE, P.E. ROBBINS - Data mode : D - Platform type : S2A - WMO inst type : 854 - FLOAT SERIAL : 7293 - Date : 2019 2 2
Float : 3901227 - Cycle : 129 - PI : BRECK OWENS, STEVEN JAYNE, P.E. ROBBINS - Data mode : D - Platform type : S2A - WMO inst type : 854 - FLOAT SERIAL : 7293 - Date : 2019 2 12
Float : 3901227 - Cycle : 131 - PI : BRECK OWENS, STEVEN JAYNE, P.E. ROBBINS - Data mode : D - Platform type : S2A - WMO inst type : 854 - FLOAT SERIAL : 7293 - Date : 2019 3 4
Float : 3901227 - Cycle : 132 - PI : BRECK OWENS, STEVEN JAYNE, P.E. ROBBINS - Data mode : D - Platform type : S2A - WMO inst type : 854 - FLOAT SERIAL : 7293 - Date : 2019 3 14
Float : 3901227 - Cycle : 133 - PI : BRECK OWENS, STEVEN JAYNE, P.E. ROBBINS - Data mode : D - Platform type : S2A - WMO inst type : 854 - FLOAT SERIAL : 7293 - Date : 2019 3 24
Float : 3901227 - Cycle : 134 - PI : BRECK OWENS, STEVEN JAYNE, P.E. ROBBINS - Data mode : D - Platform type : S2A - WMO inst type : 854 - FLOAT SERIAL : 7293 - Date : 2019 4 3
Float : 3901227 - Cycle : 135 - PI : BRECK OWENS, STEVEN JAYNE, P.E. ROBBINS - Data mode : D - Platform type : S2A - WMO inst type : 854 - FLOAT SERIAL : 7293 - Date : 2019 4 13
Float : 3901227 - Cycle : 136 - PI : BRECK OWENS, STEVEN JAYNE, P.E. ROBBINS - Data mode : D - Platform type : S2A - WMO inst type : 854 - FLOAT SERIAL : 7293 - Date : 2019 4 23
Float : 3901227 - Cycle : 137 - PI : BRECK OWENS, STEVEN JAYNE, P.E. ROBBINS - Data mode : D - Platform type : S2A - WMO inst type : 854 - FLOAT SERIAL : 7293 - Date : 2019 5 3
Float : 3901227 - Cycle : 138 - PI : BRECK OWENS, STEVEN JAYNE, P.E. ROBBINS - Data mode : D - Platform type : S2A - WMO inst type : 854 - FLOAT SERIAL : 7293 - Date : 2019 5 13
Float : 3901227 - Cycle : 139 - PI : BRECK OWENS, STEVEN JAYNE, P.E. ROBBINS - Data mode : D - Platform type : S2A - WMO inst type : 854 - FLOAT SERIAL : 7293 - Date : 2019 5 23
Float : 3901227 - Cycle : 140 - PI : BRECK OWENS, STEVEN JAYNE, P.E. ROBBINS - Data mode : D - Platform type : S2A - WMO inst type : 854 - FLOAT SERIAL : 7293 - Date : 2019 6 2
Float : 3901227 - Cycle : 141 - PI : BRECK OWENS, STEVEN JAYNE, P.E. ROBBINS - Data mode : D - Platform type : S2A - WMO inst type : 854 - FLOAT SERIAL : 7293 - Date : 2019 6 12
Float : 3901227 - Cycle : 142 - PI : BRECK OWENS, STEVEN JAYNE, P.E. ROBBINS - Data mode : D - Platform type : S2A - WMO inst type : 854 - FLOAT SERIAL : 7293 - Date : 2019 6 22
Float : 3901227 - Cycle : 143 - PI : BRECK OWENS, STEVEN JAYNE, P.E. ROBBINS - Data mode : D - Platform type : S2A - WMO inst type : 854 - FLOAT SERIAL : 7293 - Date : 2019 7 2
Float : 3901227 - Cycle : 144 - PI : BRECK OWENS, STEVEN JAYNE, P.E. ROBBINS - Data mode : D - Platform type : S2A - WMO inst type : 854 - FLOAT SERIAL : 7293 - Date : 2019 7 12
Float : 3901227 - Cycle : 145 - PI : BRECK OWENS, STEVEN JAYNE, P.E. ROBBINS - Data mode : D - Platform type : S2A - WMO inst type : 854 - FLOAT SERIAL : 7293 - Date : 2019 7 22
Float : 3901227 - Cycle : 146 - PI : BRECK OWENS, STEVEN JAYNE, P.E. ROBBINS - Data mode : D - Platform type : S2A - WMO inst type : 854 - FLOAT SERIAL : 7293 - Date : 2019 8 1
Float : 3901227 - Cycle : 147 - PI : BRECK OWENS, STEVEN JAYNE, P.E. ROBBINS - Data mode : D - Platform type : S2A - WMO inst type : 854 - FLOAT SERIAL : 7293 - Date : 2019 8 11
Float : 3901227 - Cycle : 148 - PI : BRECK OWENS, STEVEN JAYNE, P.E. ROBBINS - Data mode : D - Platform type : S2A - WMO inst type : 854 - FLOAT SERIAL : 7293 - Date : 2019 8 21
Float : 3901227 - Cycle : 149 - PI : BRECK OWENS, STEVEN JAYNE, P.E. ROBBINS - Data mode : D - Platform type : S2A - WMO inst type : 854 - FLOAT SERIAL : 7293 - Date : 2019 8 31
Float : 3901227 - Cycle : 150 - PI : BRECK OWENS, STEVEN JAYNE, P.E. ROBBINS - Data mode : D - Platform type : S2A - WMO inst type : 854 - FLOAT SERIAL : 7293 - Date : 2019 9 10
Float : 3901227 - Cycle : 151 - PI : BRECK OWENS, STEVEN JAYNE, P.E. ROBBINS - Data mode : D - Platform type : S2A - WMO inst type : 854 - FLOAT SERIAL : 7293 - Date : 2019 9 20
Float : 3901227 - Cycle : 152 - PI : BRECK OWENS, STEVEN JAYNE, P.E. ROBBINS - Data mode : D - Platform type : S2A - WMO inst type : 854 - FLOAT SERIAL : 7293 - Date : 2019 9 30
Float : 3901227 - Cycle : 153 - PI : BRECK OWENS, STEVEN JAYNE, P.E. ROBBINS - Data mode : D - Platform type : S2A - WMO inst type : 854 - FLOAT SERIAL : 7293 - Date : 2019 10 10
Float : 3901227 - Cycle : 155 - PI : BRECK OWENS, STEVEN JAYNE, P.E. ROBBINS - Data mode : D - Platform type : S2A - WMO inst type : 854 - FLOAT SERIAL : 7293 - Date : 2019 10 30
Float : 3901227 - Cycle : 156 - PI : BRECK OWENS, STEVEN JAYNE, P.E. ROBBINS - Data mode : D - Platform type : S2A - WMO inst type : 854 - FLOAT SERIAL : 7293 - Date : 2019 11 9
Float : 3901227 - Cycle : 160 - PI : BRECK OWENS, STEVEN JAYNE, P.E. ROBBINS - Data mode : D - Platform type : S2A - WMO inst type : 854 - FLOAT SERIAL : 7293 - Date : 2019 12 18
Float : 3901227 - Cycle : 164 - PI : BRECK OWENS, STEVEN JAYNE, P.E. ROBBINS - Data mode : D - Platform type : S2A - WMO inst type : 854 - FLOAT SERIAL : 7293 - Date : 2020 1 26
Float : 3901227 - Cycle : 168 - PI : BRECK OWENS, STEVEN JAYNE, P.E. ROBBINS - Data mode : D - Platform type : S2A - WMO inst type : 854 - FLOAT SERIAL : 7293 - Date : 2020 3 5
Float : 3901227 - Cycle : 172 - PI : BRECK OWENS, STEVEN JAYNE, P.E. ROBBINS - Data mode : D - Platform type : S2A - WMO inst type : 854 - FLOAT SERIAL : 7293 - Date : 2020 4 13
Float : 3901227 - Cycle : 188 - PI : BRECK OWENS, STEVEN JAYNE, P.E. ROBBINS - Data mode : D - Platform type : S2A - WMO inst type : 854 - FLOAT SERIAL : 7293 - Date : 2020 9 15
Float : 3901227 - Cycle : 196 - PI : BRECK OWENS, STEVEN JAYNE, P.E. ROBBINS - Data mode : D - Platform type : S2A - WMO inst type : 854 - FLOAT SERIAL : 7293 - Date : 2020 12 2
Float : 3901227 - Cycle : 200 - PI : BRECK OWENS, STEVEN JAYNE, P.E. ROBBINS - Data mode : D - Platform type : S2A - WMO inst type : 854 - FLOAT SERIAL : 7293 - Date : 2021 1 10
Float : 3901227 - Cycle : 99 - PI : BRECK OWENS, STEVEN JAYNE, P.E. ROBBINS - Data mode : D - Platform type : S2A - WMO inst type : 854 - FLOAT SERIAL : 7293 - Date : 2018 4 20
Float : 3901229 - Cycle : 100 - PI : BRECK OWENS, STEVEN JAYNE, P.E. ROBBINS - Data mode : D - Platform type : S2A - WMO inst type : 854 - FLOAT SERIAL : 7296 - Date : 2018 4 30
Float : 3901229 - Cycle : 135 - PI : BRECK OWENS, STEVEN JAYNE, P.E. ROBBINS - Data mode : D - Platform type : S2A - WMO inst type : 854 - FLOAT SERIAL : 7296 - Date : 2019 4 12
Float : 3901229 - Cycle : 188 - PI : BRECK OWENS, STEVEN JAYNE, P.E. ROBBINS - Data mode : D - Platform type : S2A - WMO inst type : 854 - FLOAT SERIAL : 7296 - Date : 2020 9 12
Float : 3901229 - Cycle : 189 - PI : BRECK OWENS, STEVEN JAYNE, P.E. ROBBINS - Data mode : D - Platform type : S2A - WMO inst type : 854 - FLOAT SERIAL : 7296 - Date : 2020 9 22
Float : 3901808 - Cycle : 172 - PI : BRECK OWENS, STEVEN JAYNE, P.E. ROBBINS - Data mode : D - Platform type : S2A - WMO inst type : 854 - FLOAT SERIAL : 7411 - Date : 2019 9 2
Float : 3901808 - Cycle : 79 - PI : BRECK OWENS, STEVEN JAYNE, P.E. ROBBINS - Data mode : D - Platform type : S2A - WMO inst type : 854 - FLOAT SERIAL : 7411 - Date : 2018 5 28

Float : 3901809 - Cycle : 80 - PI : BRECK OWENS, STEVEN JAYNE, P.E. ROBBINS - Data mode : D - Platform type : S2A - WMO inst type : 854 - FLOAT SERIAL : 7412 - Date : 2018 4 14
Float : 3901813 - Cycle : 266 - PI : BRECK OWENS, STEVEN JAYNE, P.E. ROBBINS - Data mode : D - Platform type : S2A - WMO inst type : 854 - FLOAT SERIAL : 7416 - Date : 2021 1 25
Float : 3901813 - Cycle : 57 - PI : BRECK OWENS, STEVEN JAYNE, P.E. ROBBINS - Data mode : D - Platform type : S2A - WMO inst type : 854 - FLOAT SERIAL : 7416 - Date : 2018 3 25
Float : 4902101 - Cycle : 135 - PI : BRECK OWENS, STEVEN JAYNE, P.E. ROBBINS - Data mode : D - Platform type : S2A - WMO inst type : 854 - FLOAT SERIAL : 7298 - Date : 2020 8 7
Float : 4902101 - Cycle : 33 - PI : BRECK OWENS, STEVEN JAYNE, P.E. ROBBINS - Data mode : D - Platform type : S2A - WMO inst type : 854 - FLOAT SERIAL : 7298 - Date : 2017 10 30
Float : 4902101 - Cycle : 82 - PI : BRECK OWENS, STEVEN JAYNE, P.E. ROBBINS - Data mode : D - Platform type : S2A - WMO inst type : 854 - FLOAT SERIAL : 7298 - Date : 2019 2 28
Float : 4902104 - Cycle : 68 - PI : BRECK OWENS, STEVEN JAYNE, P.E. ROBBINS - Data mode : D - Platform type : S2A - WMO inst type : 854 - FLOAT SERIAL : 7306 - Date : 2017 7 29
Float : 4902909 - Cycle : 13 - PI : BRECK OWENS, STEVEN JAYNE, P.E. ROBBINS - Data mode : D - Platform type : S2A - WMO inst type : 854 - FLOAT SERIAL : 7406 - Date : 2017 9 16
Float : 4903009 - Cycle : 9 - PI : DEAN ROEMMICH - Data mode : D - Platform type : SOLO_II - WMO inst type : 853 - FLOAT SERIAL : 8641 - Date : 2018 5 7
Float : 4903027 - Cycle : 99 - PI : GREGORY C. JOHNSON - Data mode : D - Platform type : NAVIS_A - WMO inst type : 863 - FLOAT SERIAL : 0899 - Date : 2021 2 2
Float : 4903211 - Cycle : 37 - PI : BRECK OWENS, STEVEN JAYNE, P.E. ROBBINS - Data mode : D - Platform type : ALTO - WMO inst type : 873 - FLOAT SERIAL : 11019 - Date : 2020 2 26
Float : 4903222 - Cycle : 50 - PI : BRECK OWENS, STEVEN JAYNE, P.E. ROBBINS - Data mode : D - Platform type : ALTO - WMO inst type : 873 - FLOAT SERIAL : 10107 - Date : 2017 7 30
Float : 4903247 - Cycle : 36 - PI : WIJFFELS, JAYNE, ROBBINS - Data mode : D - Platform type : ALTO - WMO inst type : 873 - FLOAT SERIAL : 11048 - Date : 2020 7 26
Float : 4903247 - Cycle : 7 - PI : WIJFFELS, JAYNE, ROBBINS - Data mode : D - Platform type : ALTO - WMO inst type : 873 - FLOAT SERIAL : 11048 - Date : 2019 10 12
Float : 5903982 - Cycle : 172 - PI : STEPHEN RISER - Data mode : D - Platform type : APEX - WMO inst type : 846 - FLOAT SERIAL : 6220 - Date : 2017 9 8
Float : 5904398 - Cycle : 101 - PI : STEPHEN RISER, - Data mode : D - Platform type : APEX - WMO inst type : 846 - FLOAT SERIAL : 6122 - Date : 2017 5 27
Float : 5904398 - Cycle : 108 - PI : STEPHEN RISER, - Data mode : D - Platform type : APEX - WMO inst type : 846 - FLOAT SERIAL : 6122 - Date : 2017 8 6
Float : 5904398 - Cycle : 129 - PI : STEPHEN RISER, - Data mode : D - Platform type : APEX - WMO inst type : 846 - FLOAT SERIAL : 6122 - Date : 2018 3 7
Float : 5904398 - Cycle : 141 - PI : STEPHEN RISER, - Data mode : D - Platform type : APEX - WMO inst type : 846 - FLOAT SERIAL : 6122 - Date : 2018 7 7
Float : 5904398 - Cycle : 146 - PI : STEPHEN RISER, - Data mode : D - Platform type : APEX - WMO inst type : 846 - FLOAT SERIAL : 6122 - Date : 2018 8 27
Float : 5904401 - Cycle : 106 - PI : STEPHEN RISER, - Data mode : D - Platform type : APEX - WMO inst type : 846 - FLOAT SERIAL : 6930 - Date : 2017 7 15
Float : 5904401 - Cycle : 116 - PI : STEPHEN RISER, - Data mode : D - Platform type : APEX - WMO inst type : 846 - FLOAT SERIAL : 6930 - Date : 2017 10 25
Float : 5904401 - Cycle : 99 - PI : STEPHEN RISER, - Data mode : D - Platform type : APEX - WMO inst type : 846 - FLOAT SERIAL : 6930 - Date : 2017 5 5
Float : 5904603 - Cycle : 122 - PI : STEPHEN RISER - Data mode : D - Platform type : APEX - WMO inst type : 846 - FLOAT SERIAL : 7304 - Date : 2018 8 18
Float : 5904853 - Cycle : 47 - PI : STEPHEN RISER, - Data mode : D - Platform type : APEX - WMO inst type : 846 - FLOAT SERIAL : 7750 - Date : 2017 7 23
Float : 5905103 - Cycle : 20 - PI : STEPHEN RISER, KENNETH JOHNSON - Data mode : D - Platform type : APEX - WMO inst type : 846 - FLOAT SERIAL : 7704 - Date : 2018 8 25
Float : 5905136 - Cycle : 12 - PI : STEPHEN RISER, - Data mode : D - Platform type : APEX - WMO inst type : 846 - FLOAT SERIAL : 7892 - Date : 2018 1 7
Float : 5905240 - Cycle : 17 - PI : DEAN ROEMMICH - Data mode : D - Platform type : SOLO_II - WMO inst type : 853 - FLOAT SERIAL : 8558 - Date : 2018 1 10
Float : 5905247 - Cycle : 22 - PI : DEAN ROEMMICH - Data mode : D - Platform type : SOLO_II - WMO inst type : 853 - FLOAT SERIAL : 8554 - Date : 2018 4 27
Float : 5905266 - Cycle : 15 - PI : PHIL SUTTON - Data mode : D - Platform type : SOLO_II - WMO inst type : 853 - FLOAT SERIAL : 8599 - Date : 2018 4 6
Float : 5905732 - Cycle : 101 - PI : GREGORY C. JOHNSON - Data mode : D - Platform type : NAVIS_A - WMO inst type : 863 - FLOAT SERIAL : 0873 - Date : 2021 1 30
Float : 5905743 - Cycle : 95 - PI : GREGORY C. JOHNSON - Data mode : D - Platform type : NAVIS_A - WMO inst type : 863 - FLOAT SERIAL : 0938 - Date : 2021 1 30
Float : 5905743 - Cycle : 96 - PI : GREGORY C. JOHNSON - Data mode : D - Platform type : NAVIS_A - WMO inst type : 863 - FLOAT SERIAL : 0938 - Date : 2021 2 9

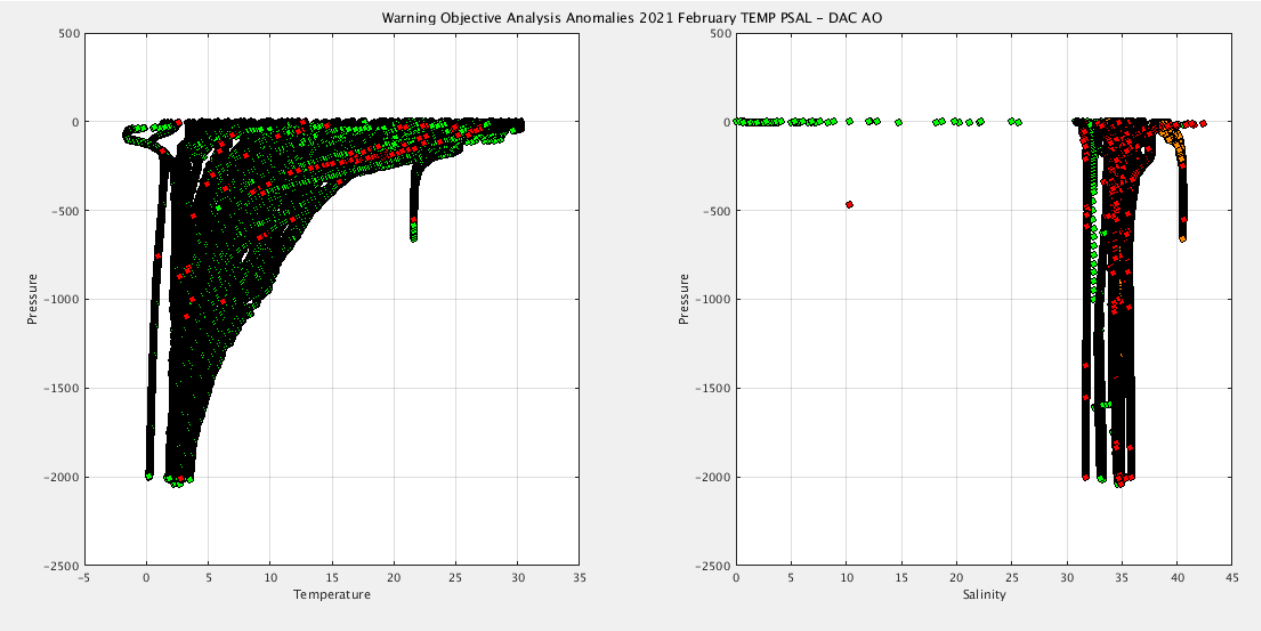

Plot for the 220 first profiles.

The list of the anomalies can be found at https://data-argo.ifremer.fr/etc/ObjectiveAnalysisWarning/aoml/

Example of anomalies:

Warning Objective Analysis Anomalies 2021 February TEMP PSAL : DAC AO- Float 1900201 - 62

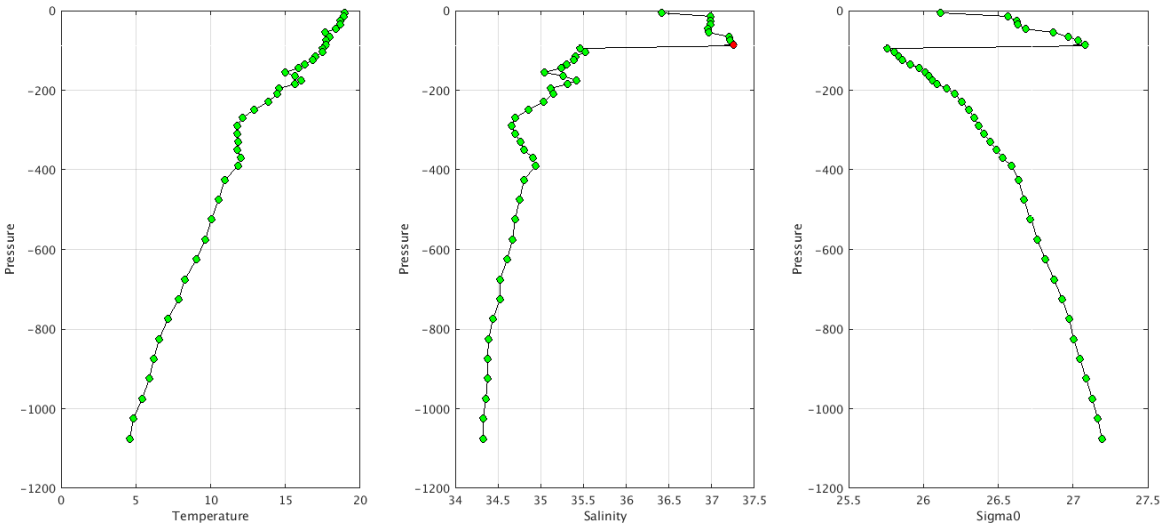

Warning Objective Analysis Anomalies 2021 February TEMP PSAL : DAC AO- Float 1901819 - 155

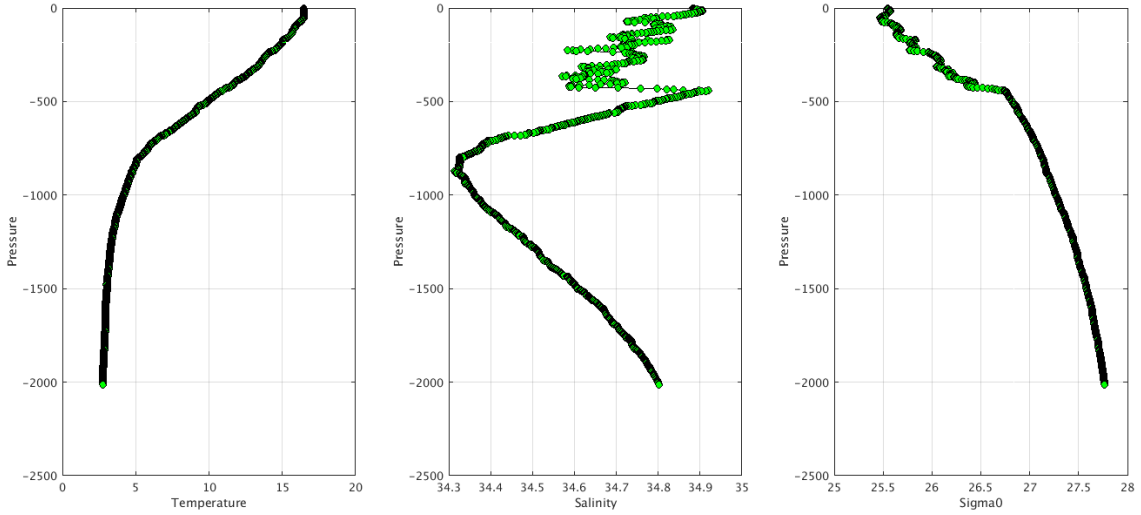

Warning Objective Analysis Anomalies 2021 February TEMP PSAL : DAC AO- Float 4903019 - 64

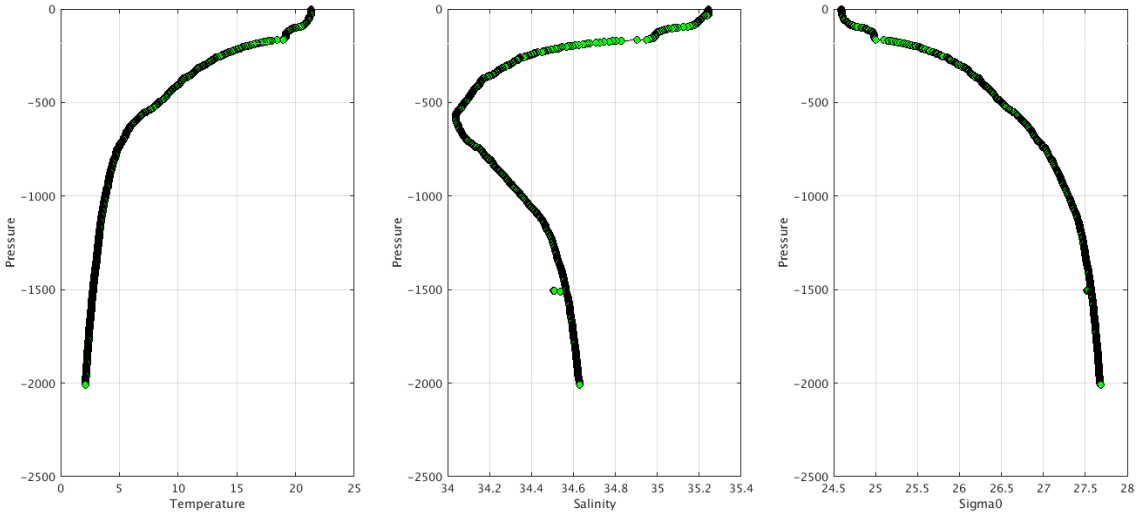

Delayed Mode anomalies (adjusted fields) – date mode = 'D'

- Error on practical salinity adjusted error :

PI_name = GREGORY C. JOHNSON - **Float 4900812 cycle 9** strange values on PSAL_ADJUSTED_ERROR

PSAL_ADJUSTED_ERROR =
957109.750, 958123.688, 980430.125, 1007920.750, 1010353.875, 1017708.312, 1023617.375, 1025777.875, 1028215.812, 1027735.562, 1027554.250, …..

PI_name = GREGORY C. JOHNSON - **Float 4903172 cycle 7 to cycle 46**

For instance cycle 7 PSAL_ADJUSTED_ERROR = 1266694.875, 1266783.750, 1266694.625, 1266685.500, 1266678.875, ….

PI_name = CARL SZCZECHOWSKI - **Float 6900376 cycle 44 to cycle 92 – cycle 98 to 128 – cycle 131 to 135**

For instance cycle 92 PSAL_ADJUSTED_ERROR = 2011706.750, 2010896.625, 2012649.000, 2023217.000,

4.2. DAC BODC

Profiles detected by the objective analysis: 37 profiles (8 floats, but floats can have several cycles with anomalies)

Data_mode ='R'	Data_mode ='A'	Data_mode ='D'
3 cycles	0 cycle	34 cycles

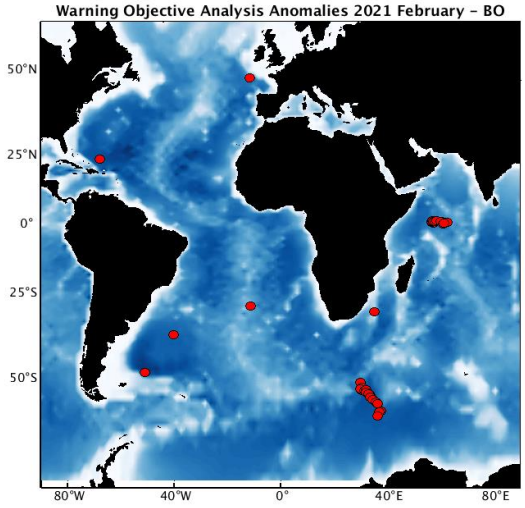

Status of corrections: Correction in progress, regular feedback.

Files data_mode='R' / 'A'

Float : 3901938 - Cycle : 122 - PI : Romain Cancouet - Data mode : R - Platform type : ARVOR - WMO inst type : 844 - FLOAT SERIAL : AI2600-16FR081 - Date : 2021 1 30
Float : 3901943 - Cycle : 125 - PI : Romain Cancouet - Data mode : R - Platform type : ARVOR - WMO inst type : 844 - FLOAT SERIAL : AI2600-16FR086 - Date : 2021 2 13
Float : 3902402 - Cycle : 47 - PI : Jon Turton - Data mode : R - Platform type : APEX - WMO inst type : 846 - FLOAT SERIAL : 8477 - Date : 2021 2 21

Files data_mode='D'

Float : 1901300 - Cycle : 179 - PI : Jon Turton - Data mode : D - Platform type : APEX - WMO inst type : 846 - FLOAT SERIAL : 5590 - Date : 2018 2 3
Float : 1901305 - Cycle : 209 - PI : Jon Turton - Data mode : D - Platform type : APEX - WMO inst type : 846 - FLOAT SERIAL : 6242 - Date : 2018 12 4
Float : 1901305 - Cycle : 210 - PI : Jon Turton - Data mode : D - Platform type : APEX - WMO inst type : 846 - FLOAT SERIAL : 6242 - Date : 2018 12 14
Float : 1901305 - Cycle : 211 - PI : Jon Turton - Data mode : D - Platform type : APEX - WMO inst type : 846 - FLOAT SERIAL : 6242 - Date : 2018 12 24
Float : 1901305 - Cycle : 212 - PI : Jon Turton - Data mode : D - Platform type : APEX - WMO inst type : 846 - FLOAT SERIAL : 6242 - Date : 2019 1 3
Float : 1901305 - Cycle : 213 - PI : Jon Turton - Data mode : D - Platform type : APEX - WMO inst type : 846 - FLOAT SERIAL : 6242 - Date : 2019 1 13
Float : 1901305 - Cycle : 215 - PI : Jon Turton - Data mode : D - Platform type : APEX - WMO inst type : 846 - FLOAT SERIAL : 6242 - Date : 2019 2 2
Float : 1901305 - Cycle : 216 - PI : Jon Turton - Data mode : D - Platform type : APEX - WMO inst type : 846 - FLOAT SERIAL : 6242 - Date : 2019 2 12
Float : 1901305 - Cycle : 217 - PI : Jon Turton - Data mode : D - Platform type : APEX - WMO inst type : 846 - FLOAT SERIAL : 6242 - Date : 2019 2 22
Float : 1901305 - Cycle : 218 - PI : Jon Turton - Data mode : D - Platform type : APEX - WMO inst type : 846 - FLOAT SERIAL : 6242 - Date : 2019 3 4
Float : 1901305 - Cycle : 219 - PI : Jon Turton - Data mode : D - Platform type : APEX - WMO inst type : 846 - FLOAT SERIAL : 6242 - Date : 2019 3 14
Float : 1901305 - Cycle : 220 - PI : Jon Turton - Data mode : D - Platform type : APEX - WMO inst type : 846 - FLOAT SERIAL : 6242 - Date : 2019 3 24
Float : 1901305 - Cycle : 221 - PI : Jon Turton - Data mode : D - Platform type : APEX - WMO inst type : 846 - FLOAT SERIAL : 6242 - Date : 2019 4 3
Float : 1901305 - Cycle : 222 - PI : Jon Turton - Data mode : D - Platform type : APEX - WMO inst type : 846 - FLOAT SERIAL : 6242 - Date : 2019 4 13
Float : 1901305 - Cycle : 223 - PI : Jon Turton - Data mode : D - Platform type : APEX - WMO inst type : 846 - FLOAT SERIAL : 6242 - Date : 2019 4 23
Float : 1901305 - Cycle : 224 - PI : Jon Turton - Data mode : D - Platform type : APEX - WMO inst type : 846 - FLOAT SERIAL : 6242 - Date : 2019 5 3
Float : 1901305 - Cycle : 225 - PI : Jon Turton - Data mode : D - Platform type : APEX - WMO inst type : 846 - FLOAT SERIAL : 6242 - Date : 2019 5 13
Float : 1901305 - Cycle : 226 - PI : Jon Turton - Data mode : D - Platform type : APEX - WMO inst type : 846 - FLOAT SERIAL : 6242 - Date : 2019 5 23
Float : 1901907 - Cycle : 1 - PI : Jon Turton - Data mode : D - Platform type : APEX - WMO inst type : 846 - FLOAT SERIAL : 5601 - Date : 2018 5 23
Float : 1901907 - Cycle : 2 - PI : Jon Turton - Data mode : D - Platform type : APEX - WMO inst type : 846 - FLOAT SERIAL : 5601 - Date : 2018 6 2
Float : 1901907 - Cycle : 3 - PI : Jon Turton - Data mode : D - Platform type : APEX - WMO inst type : 846 - FLOAT SERIAL : 5601 - Date : 2018 6 12
Float : 1901907 - Cycle : 4 - PI : Jon Turton - Data mode : D - Platform type : APEX - WMO inst type : 846 - FLOAT SERIAL : 5601 - Date : 2018 6 22
Float : 1901907 - Cycle : 5 - PI : Jon Turton - Data mode : D - Platform type : APEX - WMO inst type : 846 - FLOAT SERIAL : 5601 - Date : 2018 7 2
Float : 1901907 - Cycle : 6 - PI : Jon Turton - Data mode : D - Platform type : APEX - WMO inst type : 846 - FLOAT SERIAL : 5601 - Date : 2018 7 12
Float : 1901907 - Cycle : 7 - PI : Jon Turton - Data mode : D - Platform type : APEX - WMO inst type : 846 - FLOAT SERIAL : 5601 - Date : 2018 7 22
Float : 1901907 - Cycle : 8 - PI : Jon Turton - Data mode : D - Platform type : APEX - WMO inst type : 846 - FLOAT SERIAL : 5601 - Date : 2018 8 1
Float : 1901907 - Cycle : 9 - PI : Jon Turton - Data mode : D - Platform type : APEX - WMO inst type : 846 - FLOAT SERIAL : 5601 - Date : 2018 8 11

Float : 1901907 - Cycle : 10 - PI : Jon Turton - Data mode : D - Platform type : APEX - WMO inst type : 846 - FLOAT SERIAL : 5601 - Date : 2018 8 21
Float : 1901907 - Cycle : 11 - PI : Jon Turton - Data mode : D - Platform type : APEX - WMO inst type : 846 - FLOAT SERIAL : 5601 - Date : 2018 8 31
Float : 1901907 - Cycle : 21 - PI : Jon Turton - Data mode : D - Platform type : APEX - WMO inst type : 846 - FLOAT SERIAL : 5601 - Date : 2018 12 9
Float : 1901907 - Cycle : 22 - PI : Jon Turton - Data mode : D - Platform type : APEX - WMO inst type : 846 - FLOAT SERIAL : 5601 - Date : 2018 12 19
Float : 1901907 - Cycle : 23 - PI : Jon Turton - Data mode : D - Platform type : APEX - WMO inst type : 846 - FLOAT SERIAL : 5601 - Date : 2018 12 29
Float : 3901892 - Cycle : 50 - PI : Josep Llus Pelegr- Data mode : D - Platform type : ARVOR - WMO inst type : 844 - FLOAT SERIAL : AI2600-16FR055 - Date : 2018 3 1
Float : 6901182 - Cycle : 110 - PI : Giorgio Dall'Olmo - Data mode : D - Platform type : PROVOR_III - WMO inst type : 836 - FLOAT SERIAL : OIN14EN-S4-04 - Date : 2017 5 18

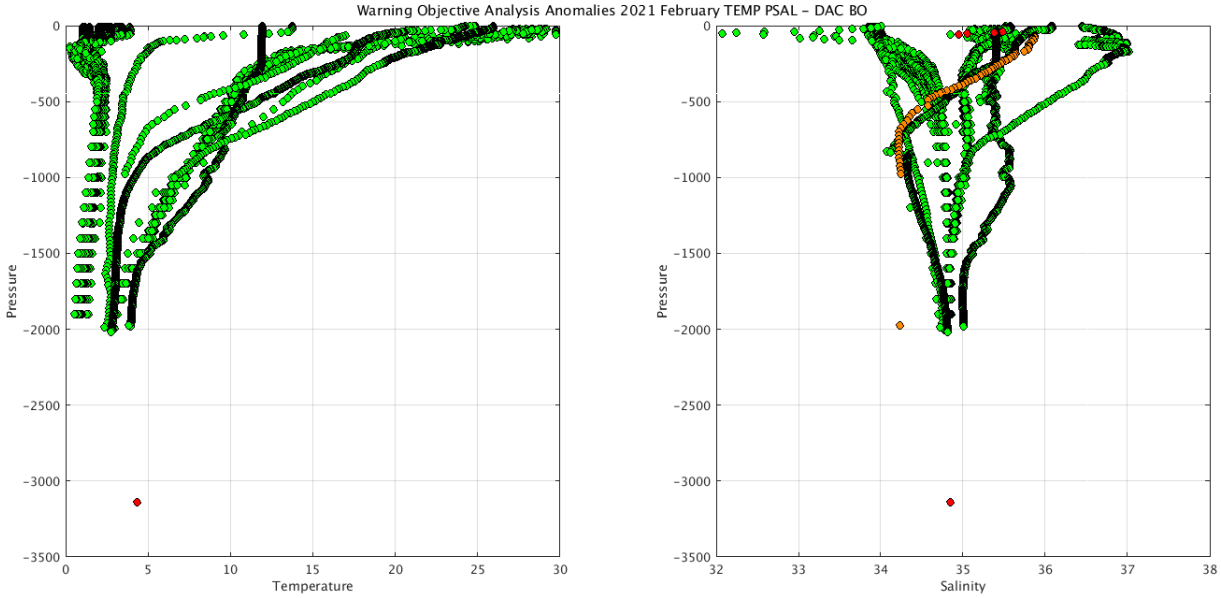

The list of the anomalies can be found at https://data-argo.ifremer.fr/etc/ObjectiveAnalysisWarning/bodc/

Example of anomalies:

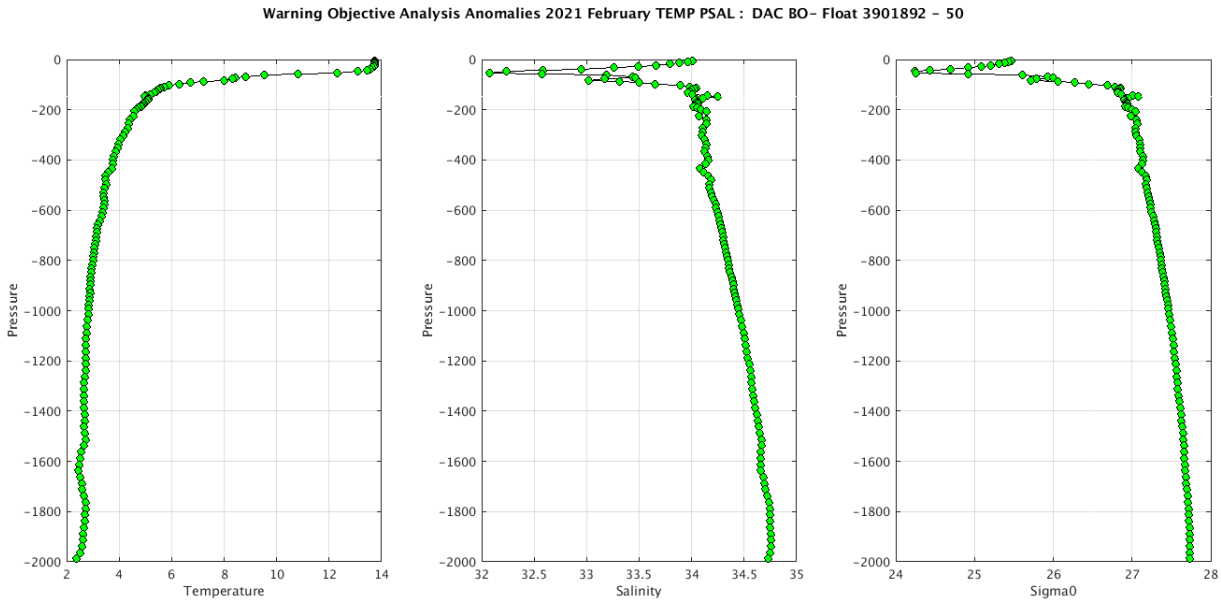

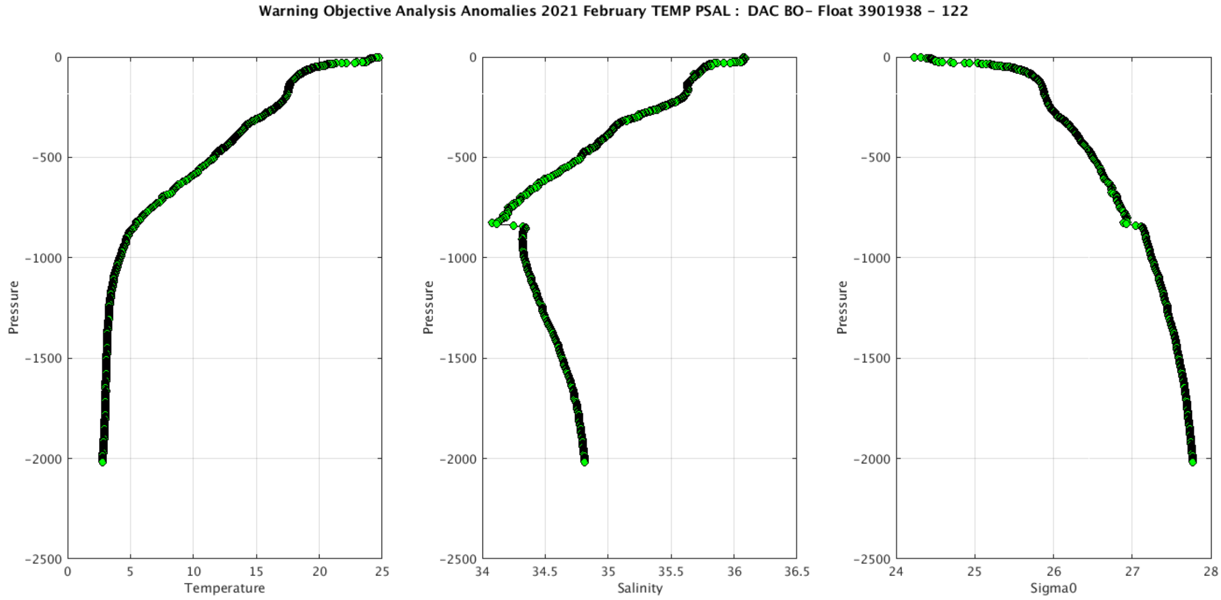

<u>Delayed Mode anomalies (adjusted fields) – date mode = 'D'</u>

- Mix between RT and DM files : Float 6901129 with strange PRES values (cycle 209 for instance)

```
D6901129_219.nc     PRES =
D6901129_225.nc       823.8,    nan,    nan,    nan,    nan,    nan,    nan,    nan,
D6901129_226.nc          nan,    nan,    nan,    nan,    nan,    nan,    nan,    nan,
R6901129_209.nc          nan,    nan,    nan,    nan,    nan,    nan,    nan,    nan,
R6901129_210.nc          nan,    nan,    nan,    nan,    nan,    nan,    nan,    nan,
R6901129_211.nc          nan,    nan,    nan,    nan,    nan,    nan,    nan,    nan,
R6901129_220.nc          nan,    nan,    nan,    nan,    nan,    nan,    nan,    nan,
R6901129_221.nc          nan,    nan,    nan,    nan,    nan,    nan,    nan,    nan,
R6901129_222.nc          nan,    nan,    nan,    nan,    nan,    nan,    nan,    nan,
R6901129_223.nc          nan,    nan,    nan,    nan,    nan,    nan,    nan,    nan,
R6901129_224.nc          nan,    nan,    nan,    nan,    nan,    nan,    nan,    nan,
                         nan,    nan,    nan,    nan,    nan,    nan,    nan,    nan,
                         nan,    nan,    nan,    nan,    nan,    nan,    nan,    nan,
                         nan,    nan,    nan,    nan,    nan,    nan,    nan,    nan,
                         nan,    nan,    nan,    nan,    nan,    nan,    nan,    nan,
```

- Mix between RT and DM files: Float 6901181 ex below DM files till cycle 367 but a lot of old cycle in RT (1D, 2D, 3, 3D, 4, ….)

D6901181_354.nc
D6901181_355.nc
D6901181_356.nc
D6901181_357.nc
D6901181_358.nc
D6901181_359.nc
D6901181_360.nc
D6901181_361.nc
D6901181_362.nc
D6901181_363.nc
D6901181_364.nc
D6901181_365.nc
D6901181_366.nc
D6901181_367.nc
R6901181_001D.nc
R6901181_002D.nc
R6901181_003.nc
R6901181_003D.nc
R6901181_004.nc
R6901181_004D.nc
R6901181_005D.nc
R6901181_006D.nc
R6901181_007D.nc
R6901181_008.nc
R6901181_008D.nc
R6901181_009D.nc
R6901181_010.nc
R6901181_010D.nc
R6901181_011.nc
R6901181_011D.nc
R6901181_012.nc

4.3. DAC CSIO

Profiles detected by the objective analysis: 7 profiles (2 floats, but floats can have several cycles with anomalies)

Data_mode ='R'	Data_mode ='A'	Data_mode ='D'
0 cycle	1 cycle	6 cycles

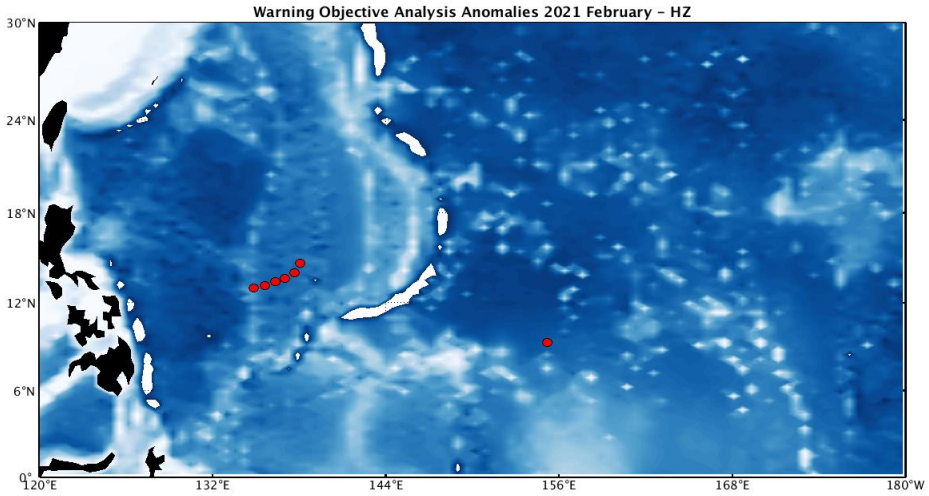

Status of corrections: **No regular feedback, corrections not always done. Feedback for DM profiles.**

Files data_mode='R' / 'A'

Float : 2902803 - Cycle : 3 - PI : FENG ZHOU - Data mode : A - Platform type : PROVOR - WMO inst type : 841 - FLOAT SERIAL : P32800-20CH021 - Date : 2021 2 6

Files data_mode='D'

Float : 2902554 - Cycle : 213 - PI : ZENGHONG LIU - Data mode : D - Platform type : PROVOR - WMO inst type : 841 - FLOAT SERIAL : OIN-11CH-S31-17 - Date : 2017 12 21
Float : 2902554 - Cycle : 214 - PI : ZENGHONG LIU - Data mode : D - Platform type : PROVOR - WMO inst type : 841 - FLOAT SERIAL : OIN-11CH-S31-17 - Date : 2017 12 31
Float : 2902554 - Cycle : 215 - PI : ZENGHONG LIU - Data mode : D - Platform type : PROVOR - WMO inst type : 841 - FLOAT SERIAL : OIN-11CH-S31-17 - Date : 2018 1 10
Float : 2902554 - Cycle : 216 - PI : ZENGHONG LIU - Data mode : D - Platform type : PROVOR - WMO inst type : 841 - FLOAT SERIAL : OIN-11CH-S31-17 - Date : 2018 1 20
Float : 2902554 - Cycle : 217 - PI : ZENGHONG LIU - Data mode : D - Platform type : PROVOR - WMO inst type : 841 - FLOAT SERIAL : OIN-11CH-S31-17 - Date : 2018 1 30
Float : 2902554 - Cycle : 218 - PI : ZENGHONG LIU - Data mode : D - Platform type : PROVOR - WMO inst type : 841 - FLOAT SERIAL : OIN-11CH-S31-17 - Date : 2018 2 9

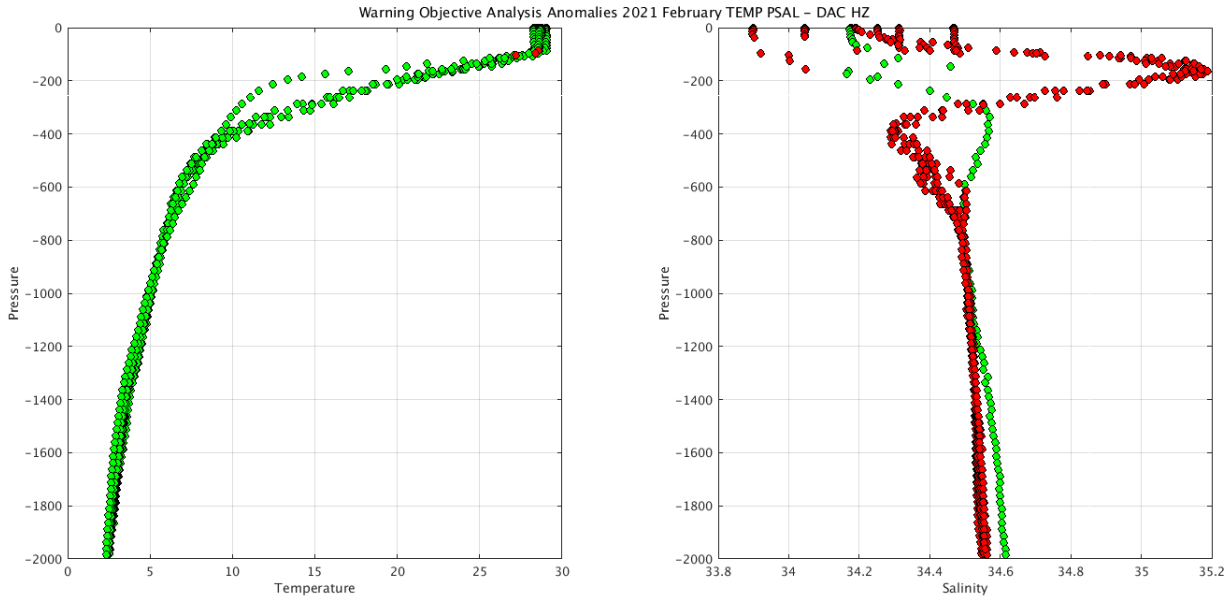

The list of the anomalies can be found at https://data-argo.ifremer.fr/etc/ObjectiveAnalysisWarning/csio/

Example of anomalies:

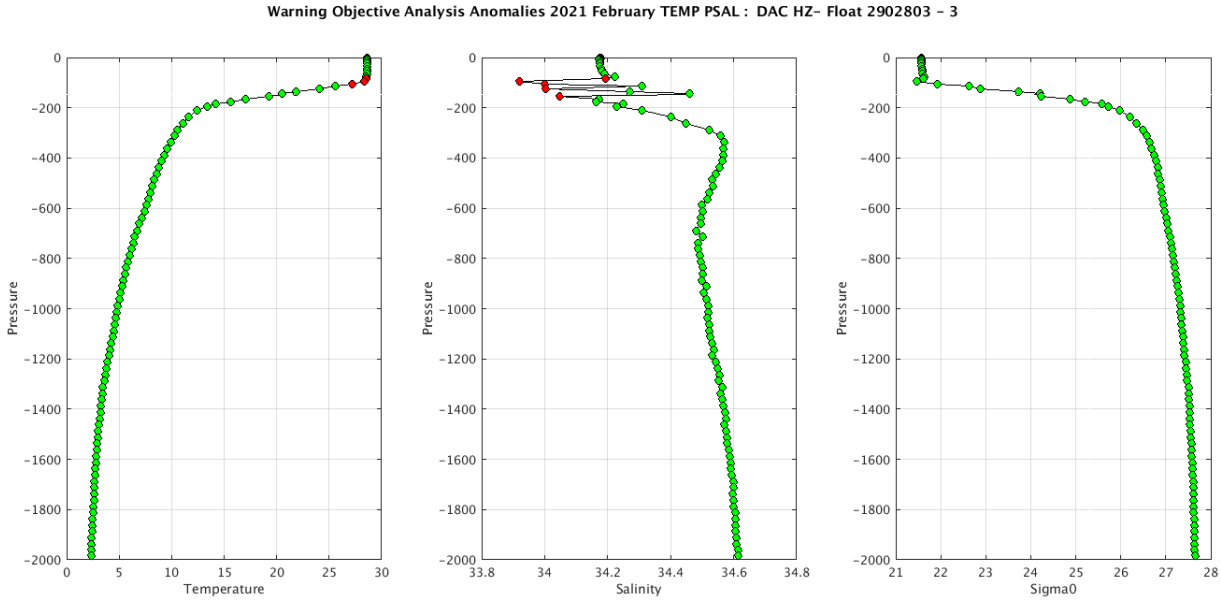

4.4. DAC CSIRO

Profiles detected by the objective analysis: 17 profiles (8 floats, but floats can have several cycles with anomalies)

Data_mode =’R’	Data_mode =’A’	Data_mode =’D’
0 cycle	12 cycles	5 cycles

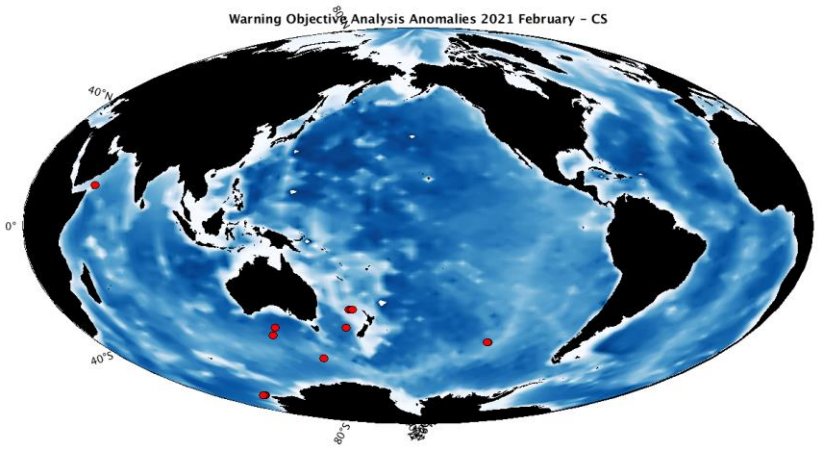

Status of corrections: Corrections done or in progress, regular feedback.

Files data_mode=’R’ / ‘A’

Float : 5905003 - Cycle : 193 - PI : Susan Wijffels - Data mode : A - Platform type : APEX - WMO inst type : 846 - FLOAT SERIAL : 7414 - Date : 2021 2 8
Float : 5905003 - Cycle : 194 - PI : Susan Wijffels - Data mode : A - Platform type : APEX - WMO inst type : 846 - FLOAT SERIAL : 7414 - Date : 2021 2 18
Float : 5905183 - Cycle : 157 - PI : Susan Wijffels - Data mode : A - Platform type : APEX - WMO inst type : 846 - FLOAT SERIAL : 7608 - Date : 2021 2 16
Float : 5905190 - Cycle : 153 - PI : Susan Wijffels - Data mode : A - Platform type : NAVIS_EBR - WMO inst type : 869 - FLOAT SERIAL : 633 - Date : 2021 2 13
Float : 5906624 - Cycle : 41 - PI : Philip Boyd - Data mode : A - Platform type : PROVOR_V - WMO inst type : 834 - FLOAT SERIAL : P53435-20AU002 - Date : 2021 2 8
Float : 7900624 - Cycle : 155 - PI : Steve Rintoul - Data mode : A - Platform type : APEX - WMO inst type : 846 - FLOAT SERIAL : 7734 - Date : 2021 1 28
Float : 7900624 - Cycle : 156 - PI : Steve Rintoul - Data mode : A - Platform type : APEX - WMO inst type : 846 - FLOAT SERIAL : 7734 - Date : 2021 2 7
Float : 7900624 - Cycle : 157 - PI : Steve Rintoul - Data mode : A - Platform type : APEX - WMO inst type : 846 - FLOAT SERIAL : 7734 - Date : 2021 2 17
Float : 7900636 - Cycle : 92 - PI : Steve Rintoul - Data mode : A - Platform type : SOLO_D_MRV - WMO inst type : 874 - FLOAT SERIAL : 12007 - Date : 2021 1 25
Float : 7900636 - Cycle : 93 - PI : Steve Rintoul - Data mode : A - Platform type : SOLO_D_MRV - WMO inst type : 874 - FLOAT SERIAL : 12007 - Date : 2021 2 4
Float : 7900636 - Cycle : 94 - PI : Steve Rintoul - Data mode : A - Platform type : SOLO_D_MRV - WMO inst type : 874 - FLOAT SERIAL : 12007 - Date : 2021 2 5
Float : 7900636 - Cycle : 95 - PI : Steve Rintoul - Data mode : A - Platform type : SOLO_D_MRV - WMO inst type : 874 - FLOAT SERIAL : 12007 - Date : 2021 2 15

Files data_mode=’D’

Float : 2901853 - Cycle : 168 - PI : Susan Wijffels - Data mode : D - Platform type : APEX - WMO inst type : 846 - FLOAT SERIAL : 5932 - Date : 2018 3 23
Float : 5901659 - Cycle : 359 - PI : Susan Wijffels - Data mode : D - Platform type : APEX - WMO inst type : 846 - FLOAT SERIAL : 3709 - Date : 2018 2 4
Float : 5901659 - Cycle : 363 - PI : Susan Wijffels - Data mode : D - Platform type : APEX - WMO inst type : 846 - FLOAT SERIAL : 3709 - Date : 2018 3 17
Float : 5901659 - Cycle : 368 - PI : Susan Wijffels - Data mode : D - Platform type : APEX - WMO inst type : 846 - FLOAT SERIAL : 3709 - Date : 2018 5 6
Float : 5903238 - Cycle : 282 - PI : Susan Wijffels - Data mode : D - Platform type : APEX - WMO inst type : 846 - FLOAT SERIAL : 4699 - Date : 2017 8 12

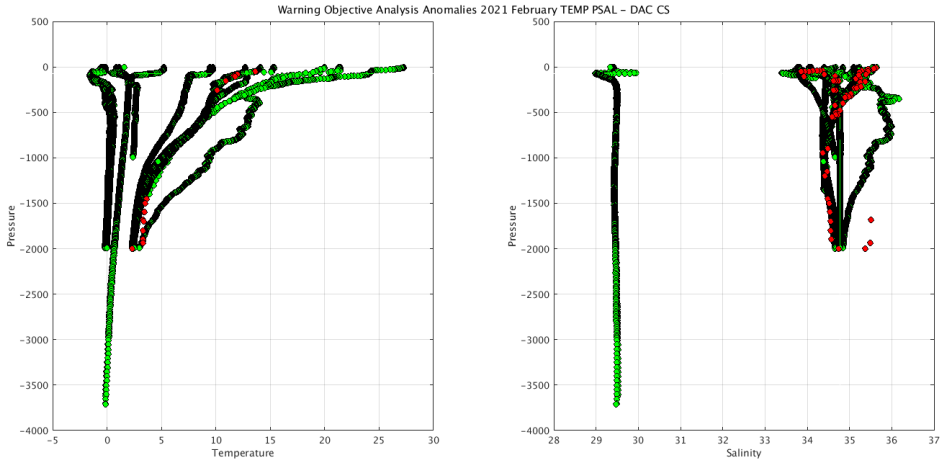

The list of the anomalies can be found at https://data-argo.ifremer.fr/etc/ObjectiveAnalysisWarning/csiro/

Example of anomalies:

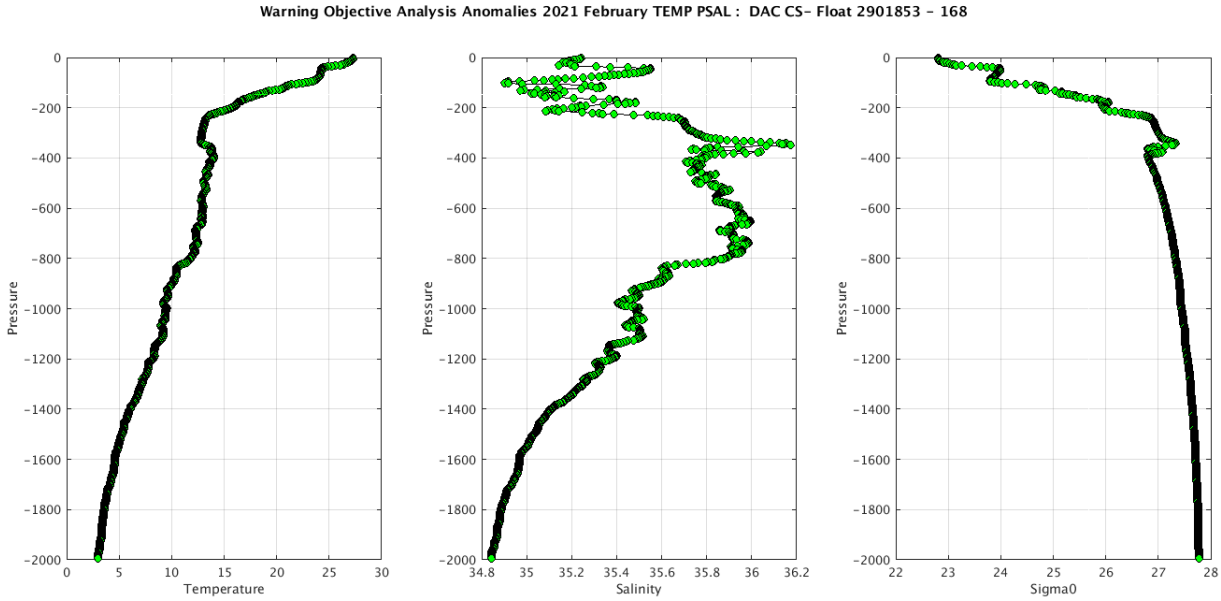

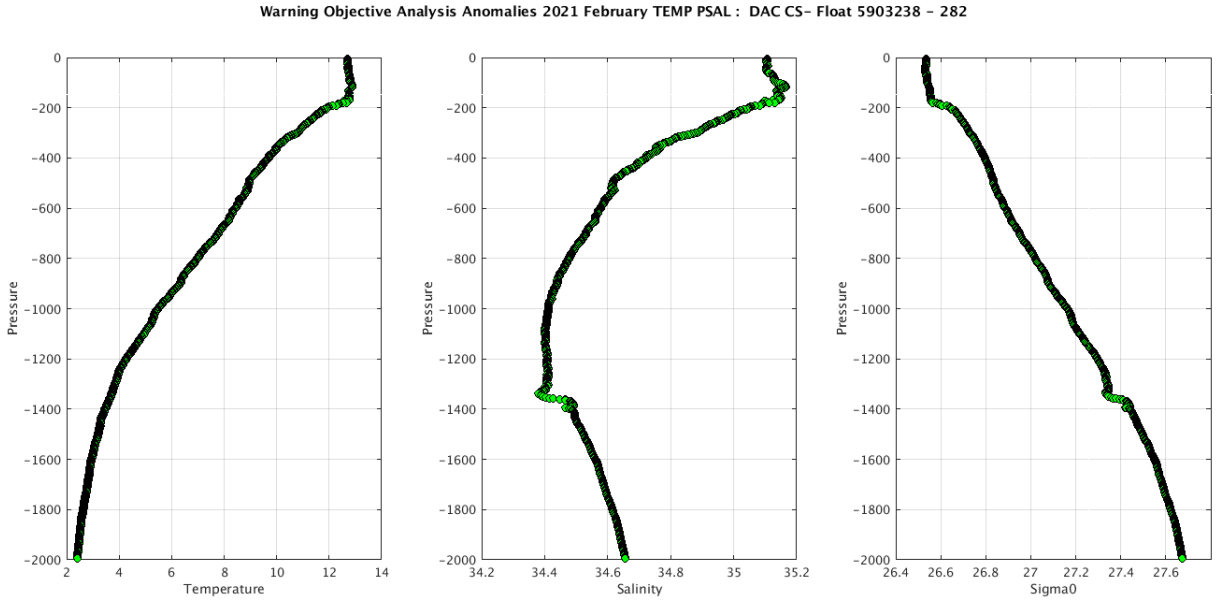

4.5. DAC INCOIS

Profiles detected by the objective analysis: 98 profiles (31 floats, but floats can have several cycles with anomalies)

Data_mode ='R'	Data_mode ='A'	Data_mode ='D'
64 cycles	34 cycles	0 cycle

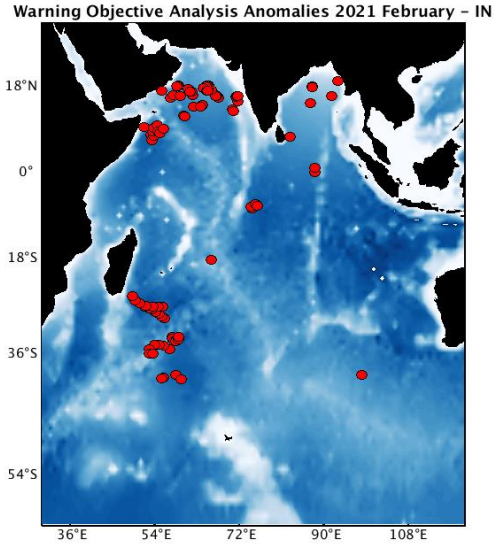

Status of corrections: **Corrections done or in progress, some feedbacks**

Files data_mode='R'/'A'

Float : 2902160 - Cycle : 193 - PI : M Ravichandran - Data mode : A - Platform type : APEX - WMO inst type : 846 - FLOAT SERIAL : 7129 - Date : 2017 6 22
Float : 2902174 - Cycle : 278 - PI : M Ravichandran - Data mode : R - Platform type : APEX - WMO inst type : 846 - FLOAT SERIAL : 7124 - Date : 2018 2 17
Float : 2902181 - Cycle : 203 - PI : M Ravichandran - Data mode : R - Platform type : APEX - WMO inst type : 846 - FLOAT SERIAL : 7114 - Date : 2021 2 12
Float : 2902185 - Cycle : 194 - PI : M Ravichandran - Data mode : R - Platform type : APEX - WMO inst type : 846 - FLOAT SERIAL : 7530 - Date : 2021 2 7
Float : 2902185 - Cycle : 195 - PI : M Ravichandran - Data mode : R - Platform type : APEX - WMO inst type : 846 - FLOAT SERIAL : 7530 - Date : 2021 2 17
Float : 2902189 - Cycle : 173 - PI : M Ravichandran - Data mode : R - Platform type : APEX - WMO inst type : 846 - FLOAT SERIAL : 7555 - Date : 2018 4 30
Float : 2902195 - Cycle : 141 - PI : M Ravichandran - Data mode : R - Platform type : APEX - WMO inst type : 846 - FLOAT SERIAL : 7557 - Date : 2017 12 7
Float : 2902199 - Cycle : 229 - PI : M Ravichandran - Data mode : R - Platform type : APEX - WMO inst type : 846 - FLOAT SERIAL : 7552 - Date : 2021 1 3
Float : 2902199 - Cycle : 231 - PI : M Ravichandran - Data mode : R - Platform type : APEX - WMO inst type : 846 - FLOAT SERIAL : 7552 - Date : 2021 1 23
Float : 2902199 - Cycle : 232 - PI : M Ravichandran - Data mode : R - Platform type : APEX - WMO inst type : 846 - FLOAT SERIAL : 7552 - Date : 2021 2 1
Float : 2902199 - Cycle : 233 - PI : M Ravichandran - Data mode : R - Platform type : APEX - WMO inst type : 846 - FLOAT SERIAL : 7552 - Date : 2021 2 11
Float : 2902199 - Cycle : 234 - PI : M Ravichandran - Data mode : R - Platform type : APEX - WMO inst type : 846 - FLOAT SERIAL : 7552 - Date : 2021 2 21
Float : 2902201 - Cycle : 180 - PI : M Ravichandran - Data mode : R - Platform type : APEX - WMO inst type : 846 - FLOAT SERIAL : 7542 - Date : 2021 1 30
Float : 2902201 - Cycle : 181 - PI : M Ravichandran - Data mode : R - Platform type : APEX - WMO inst type : 846 - FLOAT SERIAL : 7542 - Date : 2021 2 9
Float : 2902201 - Cycle : 182 - PI : M Ravichandran - Data mode : R - Platform type : APEX - WMO inst type : 846 - FLOAT SERIAL : 7542 - Date : 2021 2 19
Float : 2902205 - Cycle : 267 - PI : M Ravichandran - Data mode : R - Platform type : APEX - WMO inst type : 846 - FLOAT SERIAL : 7549 - Date : 2020 12 8
Float : 2902205 - Cycle : 271 - PI : M Ravichandran - Data mode : R - Platform type : APEX - WMO inst type : 846 - FLOAT SERIAL : 7549 - Date : 2021 1 17
Float : 2902209 - Cycle : 141 - PI : M Ravichandran - Data mode : R - Platform type : APEX - WMO inst type : 846 - FLOAT SERIAL : 7826 - Date : 2020 7 4
Float : 2902209 - Cycle : 157 - PI : M Ravichandran - Data mode : R - Platform type : APEX - WMO inst type : 846 - FLOAT SERIAL : 7826 - Date : 2020 12 7
Float : 2902209 - Cycle : 158 - PI : M Ravichandran - Data mode : R - Platform type : APEX - WMO inst type : 846 - FLOAT SERIAL : 7826 - Date : 2020 12 17
Float : 2902209 - Cycle : 159 - PI : M Ravichandran - Data mode : R - Platform type : APEX - WMO inst type : 846 - FLOAT SERIAL : 7826 - Date : 2020 12 27
Float : 2902209 - Cycle : 160 - PI : M Ravichandran - Data mode : R - Platform type : APEX - WMO inst type : 846 - FLOAT SERIAL : 7826 - Date : 2021 1 6
Float : 2902209 - Cycle : 161 - PI : M Ravichandran - Data mode : R - Platform type : APEX - WMO inst type : 846 - FLOAT SERIAL : 7826 - Date : 2021 1 16
Float : 2902209 - Cycle : 162 - PI : M Ravichandran - Data mode : R - Platform type : APEX - WMO inst type : 846 - FLOAT SERIAL : 7826 - Date : 2021 1 26
Float : 2902209 - Cycle : 163 - PI : M Ravichandran - Data mode : R - Platform type : APEX - WMO inst type : 846 - FLOAT SERIAL : 7826 - Date : 2021 2 5
Float : 2902209 - Cycle : 164 - PI : M Ravichandran - Data mode : R - Platform type : APEX - WMO inst type : 846 - FLOAT SERIAL : 7826 - Date : 2021 2 14
Float : 2902209 - Cycle : 165 - PI : M Ravichandran - Data mode : R - Platform type : APEX - WMO inst type : 846 - FLOAT SERIAL : 7826 - Date : 2021 2 24
Float : 2902211 - Cycle : 192 - PI : M Ravichandran - Data mode : R - Platform type : APEX - WMO inst type : 846 - FLOAT SERIAL : 7827 - Date : 2020 12 18
Float : 2902211 - Cycle : 194 - PI : M Ravichandran - Data mode : R - Platform type : APEX - WMO inst type : 846 - FLOAT SERIAL : 7827 - Date : 2021 1 7
Float : 2902211 - Cycle : 197 - PI : M Ravichandran - Data mode : R - Platform type : APEX - WMO inst type : 846 - FLOAT SERIAL : 7827 - Date : 2021 2 6
Float : 2902211 - Cycle : 198 - PI : M Ravichandran - Data mode : R - Platform type : APEX - WMO inst type : 846 - FLOAT SERIAL : 7827 - Date : 2021 2 16
Float : 2902230 - Cycle : 350 - PI : M Ravichandran - Data mode : R - Platform type : ARVOR - WMO inst type : 844 - FLOAT SERIAL : 17003 - Date : 2020 12 19
Float : 2902236 - Cycle : 266 - PI : M Ravichandran - Data mode : R - Platform type : ARVOR - WMO inst type : 844 - FLOAT SERIAL : 17008 - Date : 2021 2 8
Float : 2902236 - Cycle : 267 - PI : M Ravichandran - Data mode : R - Platform type : ARVOR - WMO inst type : 844 - FLOAT SERIAL : 17008 - Date : 2021 2 13
Float : 2902236 - Cycle : 268 - PI : M Ravichandran - Data mode : R - Platform type : ARVOR - WMO inst type : 844 - FLOAT SERIAL : 17008 - Date : 2021 2 18
Float : 2902236 - Cycle : 269 - PI : M Ravichandran - Data mode : R - Platform type : ARVOR - WMO inst type : 844 - FLOAT SERIAL : 17008 - Date : 2021 2 23
Float : 2902250 - Cycle : 79 - PI : M Ravichandran - Data mode : R - Platform type : ARVOR - WMO inst type : 844 - FLOAT SERIAL : 17105 - Date : 2020 3 27
Float : 2902254 - Cycle : 107 - PI : M Ravichandran - Data mode : R - Platform type : ARVOR - WMO inst type : 844 - FLOAT SERIAL : 17107 - Date : 2020 5 19

Float : 2902255 - Cycle : 186 - PI : M Ravichandran - Data mode : A - Platform type : ARVOR - WMO inst type : 844 - FLOAT SERIAL : 17108 - Date : 2020 4 5
Float : 2902256 - Cycle : 185 - PI : M Ravichandran - Data mode : R - Platform type : ARVOR - WMO inst type : 844 - FLOAT SERIAL : 17109 - Date : 2020 3 26
Float : 2902256 - Cycle : 186 - PI : M Ravichandran - Data mode : R - Platform type : ARVOR - WMO inst type : 844 - FLOAT SERIAL : 17109 - Date : 2020 4 5
Float : 2902256 - Cycle : 189 - PI : M Ravichandran - Data mode : R - Platform type : ARVOR - WMO inst type : 844 - FLOAT SERIAL : 17109 - Date : 2020 5 5
Float : 2902256 - Cycle : 190 - PI : M Ravichandran - Data mode : R - Platform type : ARVOR - WMO inst type : 844 - FLOAT SERIAL : 17109 - Date : 2020 5 15
Float : 2902259 - Cycle : 78 - PI : M Ravichandran - Data mode : R - Platform type : ARVOR - WMO inst type : 844 - FLOAT SERIAL : 17112 - Date : 2020 3 27
Float : 2902259 - Cycle : 82 - PI : M Ravichandran - Data mode : R - Platform type : ARVOR - WMO inst type : 844 - FLOAT SERIAL : 17112 - Date : 2020 5 7
Float : 2902260 - Cycle : 78 - PI : M Ravichandran - Data mode : R - Platform type : ARVOR - WMO inst type : 844 - FLOAT SERIAL : 17113 - Date : 2020 3 27
Float : 2902262 - Cycle : 78 - PI : M Ravichandran - Data mode : R - Platform type : ARVOR - WMO inst type : 844 - FLOAT SERIAL : 17115 - Date : 2020 3 28
Float : 2902262 - Cycle : 82 - PI : M Ravichandran - Data mode : R - Platform type : ARVOR - WMO inst type : 844 - FLOAT SERIAL : 17115 - Date : 2020 5 7
Float : 2902265 - Cycle : 43 - PI : M Ravichandran - Data mode : R - Platform type : ARVOR - WMO inst type : 844 - FLOAT SERIAL : 18001 - Date : 2020 4 1
Float : 2902265 - Cycle : 47 - PI : M Ravichandran - Data mode : R - Platform type : ARVOR - WMO inst type : 844 - FLOAT SERIAL : 18001 - Date : 2020 5 11
Float : 2902265 - Cycle : 48 - PI : M Ravichandran - Data mode : R - Platform type : ARVOR - WMO inst type : 844 - FLOAT SERIAL : 18001 - Date : 2020 5 21
Float : 2902267 - Cycle : 43 - PI : M Ravichandran - Data mode : R - Platform type : ARVOR - WMO inst type : 844 - FLOAT SERIAL : 18003 - Date : 2020 3 26
Float : 2902267 - Cycle : 47 - PI : M Ravichandran - Data mode : R - Platform type : ARVOR - WMO inst type : 844 - FLOAT SERIAL : 18003 - Date : 2020 5 5
Float : 2902267 - Cycle : 48 - PI : M Ravichandran - Data mode : R - Platform type : ARVOR - WMO inst type : 844 - FLOAT SERIAL : 18003 - Date : 2020 5 15
Float : 2902268 - Cycle : 43 - PI : M Ravichandran - Data mode : R - Platform type : ARVOR - WMO inst type : 844 - FLOAT SERIAL : 18004 - Date : 2020 3 27
Float : 2902268 - Cycle : 47 - PI : M Ravichandran - Data mode : R - Platform type : ARVOR - WMO inst type : 844 - FLOAT SERIAL : 18004 - Date : 2020 5 6
Float : 2902268 - Cycle : 74 - PI : M Ravichandran - Data mode : R - Platform type : ARVOR - WMO inst type : 844 - FLOAT SERIAL : 18004 - Date : 2021 1 31
Float : 2902268 - Cycle : 75 - PI : M Ravichandran - Data mode : R - Platform type : ARVOR - WMO inst type : 844 - FLOAT SERIAL : 18004 - Date : 2021 2 10
Float : 2902268 - Cycle : 76 - PI : M Ravichandran - Data mode : R - Platform type : ARVOR - WMO inst type : 844 - FLOAT SERIAL : 18004 - Date : 2021 2 20
Float : 2902269 - Cycle : 43 - PI : M Ravichandran - Data mode : R - Platform type : ARVOR - WMO inst type : 844 - FLOAT SERIAL : 18005 - Date : 2020 3 28
Float : 2902269 - Cycle : 47 - PI : M Ravichandran - Data mode : R - Platform type : ARVOR - WMO inst type : 844 - FLOAT SERIAL : 18005 - Date : 2020 5 7
Float : 2902286 - Cycle : 54 - PI : M Ravichandran - Data mode : R - Platform type : ARVOR - WMO inst type : 844 - FLOAT SERIAL : 18014 - Date : 2021 2 3
Float : 2902290 - Cycle : 23 - PI : M Ravichandran - Data mode : R - Platform type : ARVOR - WMO inst type : 844 - FLOAT SERIAL : 18018 - Date : 2020 3 25
Float : 2902290 - Cycle : 24 - PI : M Ravichandran - Data mode : R - Platform type : ARVOR - WMO inst type : 844 - FLOAT SERIAL : 18018 - Date : 2020 4 4
Float : 2902290 - Cycle : 27 - PI : M Ravichandran - Data mode : R - Platform type : ARVOR - WMO inst type : 844 - FLOAT SERIAL : 18018 - Date : 2020 5 4
Float : 2902290 - Cycle : 28 - PI : M Ravichandran - Data mode : R - Platform type : ARVOR - WMO inst type : 844 - FLOAT SERIAL : 18018 - Date : 2020 5 14
Float : 2902300 - Cycle : 3 - PI : M Ravichandran - Data mode : A - Platform type : ARVOR - WMO inst type : 844 - FLOAT SERIAL : 18022 - Date : 2020 4 3
Float : 2902300 - Cycle : 4 - PI : M Ravichandran - Data mode : A - Platform type : ARVOR - WMO inst type : 844 - FLOAT SERIAL : 18022 - Date : 2020 4 13
Float : 2902300 - Cycle : 6 - PI : M Ravichandran - Data mode : A - Platform type : ARVOR - WMO inst type : 844 - FLOAT SERIAL : 18022 - Date : 2020 5 3
Float : 2902300 - Cycle : 7 - PI : M Ravichandran - Data mode : A - Platform type : ARVOR - WMO inst type : 844 - FLOAT SERIAL : 18022 - Date : 2020 5 13
Float : 2902301 - Cycle : 2 - PI : M Ravichandran - Data mode : A - Platform type : ARVOR - WMO inst type : 844 - FLOAT SERIAL : 18023 - Date : 2020 3 26
Float : 2902301 - Cycle : 3 - PI : M Ravichandran - Data mode : A - Platform type : ARVOR - WMO inst type : 844 - FLOAT SERIAL : 18023 - Date : 2020 4 5
Float : 2902301 - Cycle : 4 - PI : M Ravichandran - Data mode : A - Platform type : ARVOR - WMO inst type : 844 - FLOAT SERIAL : 18023 - Date : 2020 4 15
Float : 2902301 - Cycle : 5 - PI : M Ravichandran - Data mode : A - Platform type : ARVOR - WMO inst type : 844 - FLOAT SERIAL : 18023 - Date : 2020 4 25
Float : 2902301 - Cycle : 6 - PI : M Ravichandran - Data mode : A - Platform type : ARVOR - WMO inst type : 844 - FLOAT SERIAL : 18023 - Date : 2020 5 5
Float : 2902301 - Cycle : 7 - PI : M Ravichandran - Data mode : A - Platform type : ARVOR - WMO inst type : 844 - FLOAT SERIAL : 18023 - Date : 2020 5 15
Float : 2902301 - Cycle : 8 - PI : M Ravichandran - Data mode : A - Platform type : ARVOR - WMO inst type : 844 - FLOAT SERIAL : 18023 - Date : 2020 5 25
Float : 2902302 - Cycle : 2 - PI : M Ravichandran - Data mode : A - Platform type : ARVOR - WMO inst type : 844 - FLOAT SERIAL : 18024 - Date : 2020 3 26
Float : 2902302 - Cycle : 3 - PI : M Ravichandran - Data mode : A - Platform type : ARVOR - WMO inst type : 844 - FLOAT SERIAL : 18024 - Date : 2020 4 5
Float : 2902302 - Cycle : 4 - PI : M Ravichandran - Data mode : A - Platform type : ARVOR - WMO inst type : 844 - FLOAT SERIAL : 18024 - Date : 2020 4 15
Float : 2902302 - Cycle : 5 - PI : M Ravichandran - Data mode : A - Platform type : ARVOR - WMO inst type : 844 - FLOAT SERIAL : 18024 - Date : 2020 4 25
Float : 2902302 - Cycle : 6 - PI : M Ravichandran - Data mode : A - Platform type : ARVOR - WMO inst type : 844 - FLOAT SERIAL : 18024 - Date : 2020 5 5
Float : 2902302 - Cycle : 7 - PI : M Ravichandran - Data mode : A - Platform type : ARVOR - WMO inst type : 844 - FLOAT SERIAL : 18024 - Date : 2020 5 15
Float : 2902302 - Cycle : 8 - PI : M Ravichandran - Data mode : A - Platform type : ARVOR - WMO inst type : 844 - FLOAT SERIAL : 18024 - Date : 2020 5 25
Float : 2902303 - Cycle : 2 - PI : M Ravichandran - Data mode : A - Platform type : ARVOR - WMO inst type : 844 - FLOAT SERIAL : 18025 - Date : 2020 3 25
Float : 2902303 - Cycle : 3 - PI : M Ravichandran - Data mode : A - Platform type : ARVOR - WMO inst type : 844 - FLOAT SERIAL : 18025 - Date : 2020 4 4
Float : 2902303 - Cycle : 4 - PI : M Ravichandran - Data mode : A - Platform type : ARVOR - WMO inst type : 844 - FLOAT SERIAL : 18025 - Date : 2020 4 14
Float : 2902303 - Cycle : 5 - PI : M Ravichandran - Data mode : A - Platform type : ARVOR - WMO inst type : 844 - FLOAT SERIAL : 18025 - Date : 2020 4 24
Float : 2902303 - Cycle : 6 - PI : M Ravichandran - Data mode : A - Platform type : ARVOR - WMO inst type : 844 - FLOAT SERIAL : 18025 - Date : 2020 5 4
Float : 2902303 - Cycle : 7 - PI : M Ravichandran - Data mode : A - Platform type : ARVOR - WMO inst type : 844 - FLOAT SERIAL : 18025 - Date : 2020 5 14
Float : 2902303 - Cycle : 8 - PI : M Ravichandran - Data mode : A - Platform type : ARVOR - WMO inst type : 844 - FLOAT SERIAL : 18025 - Date : 2020 5 24
Float : 2902304 - Cycle : 2 - PI : M Ravichandran - Data mode : A - Platform type : ARVOR - WMO inst type : 844 - FLOAT SERIAL : 18026 - Date : 2020 3 27
Float : 2902304 - Cycle : 3 - PI : M Ravichandran - Data mode : A - Platform type : ARVOR - WMO inst type : 844 - FLOAT SERIAL : 18026 - Date : 2020 4 6
Float : 2902304 - Cycle : 4 - PI : M Ravichandran - Data mode : A - Platform type : ARVOR - WMO inst type : 844 - FLOAT SERIAL : 18026 - Date : 2020 4 16
Float : 2902304 - Cycle : 5 - PI : M Ravichandran - Data mode : A - Platform type : ARVOR - WMO inst type : 844 - FLOAT SERIAL : 18026 - Date : 2020 4 26
Float : 2902304 - Cycle : 6 - PI : M Ravichandran - Data mode : A - Platform type : ARVOR - WMO inst type : 844 - FLOAT SERIAL : 18026 - Date : 2020 5 6
Float : 2902304 - Cycle : 7 - PI : M Ravichandran - Data mode : A - Platform type : ARVOR - WMO inst type : 844 - FLOAT SERIAL : 18026 - Date : 2020 5 16
Float : 2902304 - Cycle : 8 - PI : M Ravichandran - Data mode : A - Platform type : ARVOR - WMO inst type : 844 - FLOAT SERIAL : 18026 - Date : 2020 5 26

Files data_mode='D'

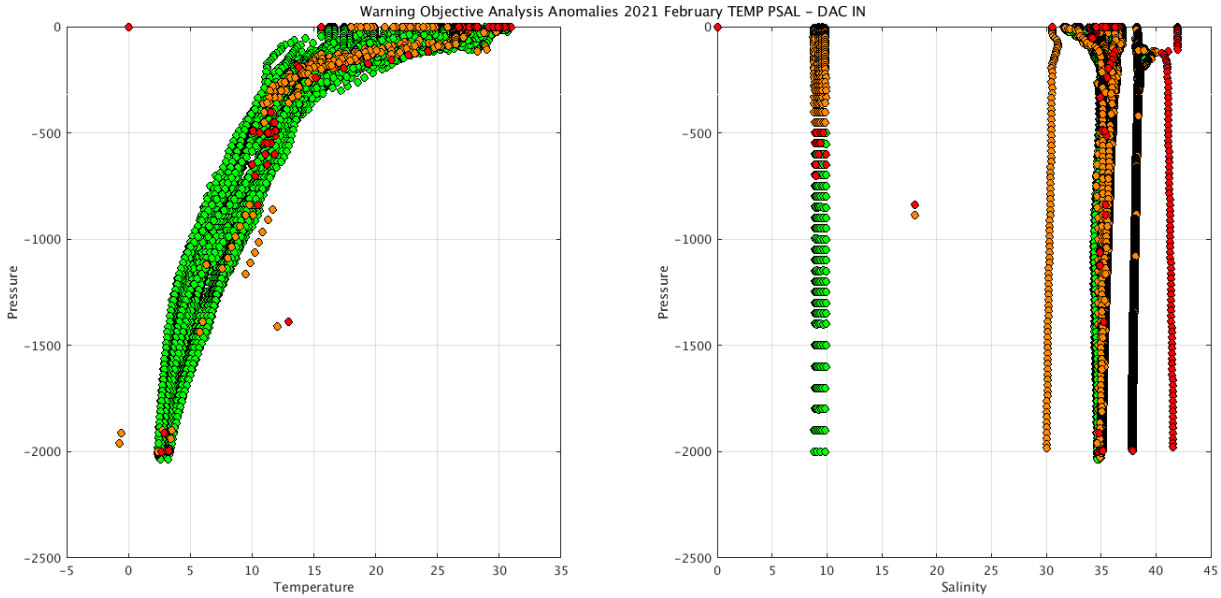

The list of the anomalies can be found at https://data-argo.ifremer.fr/etc/ObjectiveAnalysisWarning/incois/

Example of anomalies:

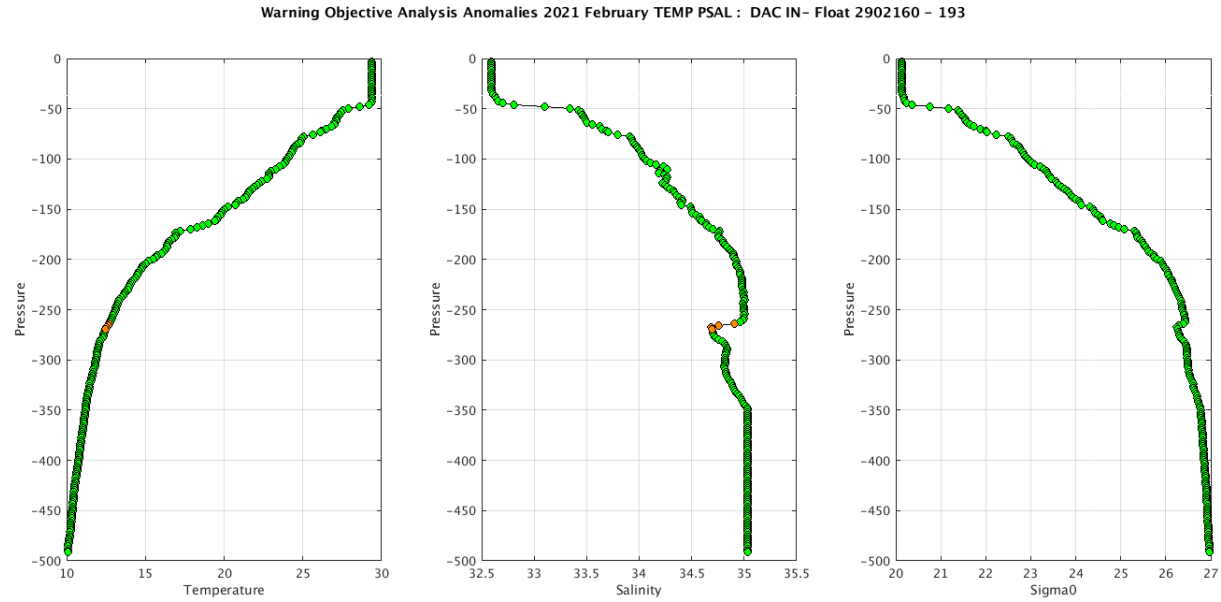

Warning Objective Analysis Anomalies 2021 February TEMP PSAL : DAC IN- Float 2902255 - 186

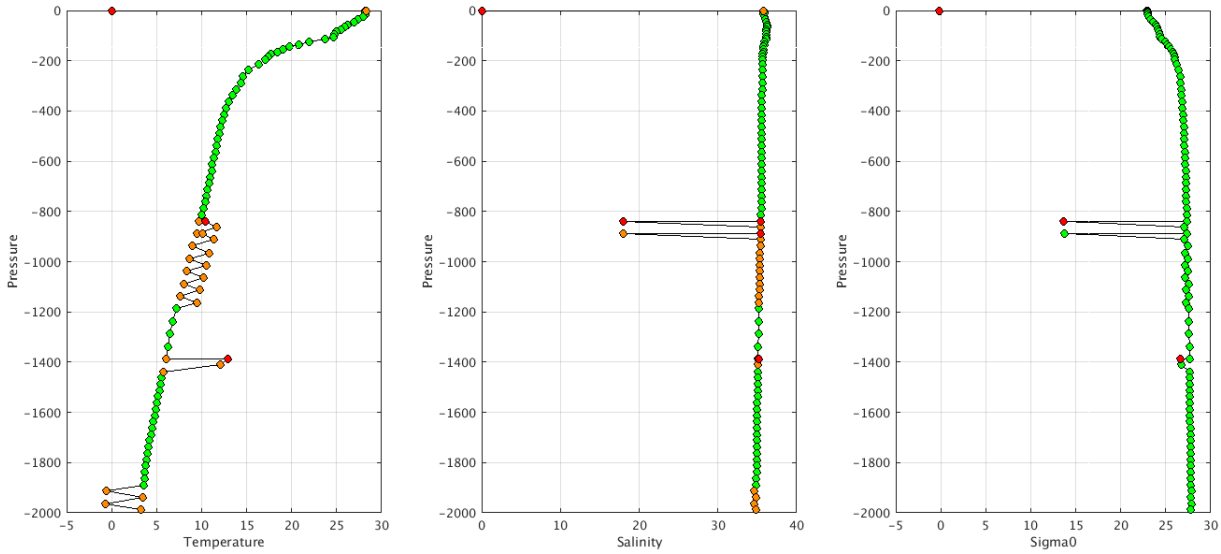

4.6. DAC JMA/JAMSTEC

Profiles detected by the objective analysis: 29 profiles (14 floats, but floats can have several cycles with anomalies)

Data_mode ='R'	Data_mode ='A'	Data_mode ='D'
7 cycles	16 cycles	6 cycles

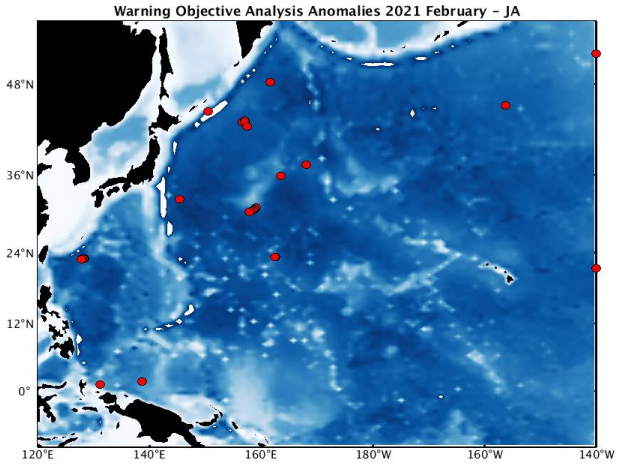

Status of corrections: **Correction in progress, feedbacks each month**

Files data_mode='R'/'A'

Float : 2903210 - Cycle : 212 - PI : JAMSTEC - Data mode : A - Platform type : APEX - WMO inst type : 846 - FLOAT SERIAL : 7884 - Date : 2020 4 16
Float : 2903212 - Cycle : 113 - PI : JAMSTEC - Data mode : R - Platform type : APEX_D - WMO inst type : 849 - FLOAT SERIAL : 29 - Date : 2021 2 3
Float : 2903212 - Cycle : 114 - PI : JAMSTEC - Data mode : R - Platform type : APEX_D - WMO inst type : 849 - FLOAT SERIAL : 29 - Date : 2021 2 12
Float : 2903212 - Cycle : 115 - PI : JAMSTEC - Data mode : R - Platform type : APEX_D - WMO inst type : 849 - FLOAT SERIAL : 29 - Date : 2021 2 21
Float : 2903361 - Cycle : 140 - PI : JMA - Data mode : R - Platform type : ARVOR - WMO inst type : 844 - FLOAT SERIAL : AK1000-18JP001 - Date : 2021 2 12
Float : 2903361 - Cycle : 141 - PI : JMA - Data mode : R - Platform type : ARVOR - WMO inst type : 844 - FLOAT SERIAL : AK1000-18JP001 - Date : 2021 2 17
Float : 2903361 - Cycle : 142 - PI : JMA - Data mode : R - Platform type : ARVOR - WMO inst type : 844 - FLOAT SERIAL : AK1000-18JP001 - Date : 2021 2 22
Float : 2903365 - Cycle : 90 - PI : JMA - Data mode : A - Platform type : APEX - WMO inst type : 846 - FLOAT SERIAL : 8547 - Date : 2020 7 16
Float : 2903365 - Cycle : 91 - PI : JMA - Data mode : A - Platform type : APEX - WMO inst type : 846 - FLOAT SERIAL : 8547 - Date : 2020 7 21
Float : 2903365 - Cycle : 92 - PI : JMA - Data mode : A - Platform type : APEX - WMO inst type : 846 - FLOAT SERIAL : 8547 - Date : 2020 7 26
Float : 2903365 - Cycle : 93 - PI : JMA - Data mode : A - Platform type : APEX - WMO inst type : 846 - FLOAT SERIAL : 8547 - Date : 2020 7 31
Float : 2903370 - Cycle : 78 - PI : JMA - Data mode : A - Platform type : APEX - WMO inst type : 846 - FLOAT SERIAL : 8552 - Date : 2020 7 17
Float : 2903370 - Cycle : 79 - PI : JMA - Data mode : A - Platform type : APEX - WMO inst type : 846 - FLOAT SERIAL : 8552 - Date : 2020 7 22
Float : 2903370 - Cycle : 80 - PI : JMA - Data mode : A - Platform type : APEX - WMO inst type : 846 - FLOAT SERIAL : 8552 - Date : 2020 7 27
Float : 2903370 - Cycle : 81 - PI : JMA - Data mode : A - Platform type : APEX - WMO inst type : 846 - FLOAT SERIAL : 8552 - Date : 2020 8 1
Float : 2903370 - Cycle : 82 - PI : JMA - Data mode : A - Platform type : APEX - WMO inst type : 846 - FLOAT SERIAL : 8552 - Date : 2020 8 6
Float : 2903370 - Cycle : 83 - PI : JMA - Data mode : A - Platform type : APEX - WMO inst type : 846 - FLOAT SERIAL : 8552 - Date : 2020 8 11
Float : 2903379 - Cycle : 59 - PI : JMA - Data mode : A - Platform type : APEX - WMO inst type : 846 - FLOAT SERIAL : 8561 - Date : 2020 7 3
Float : 2903394 - Cycle : 84 - PI : JAMSTEC - Data mode : A - Platform type : NAVIS_A - WMO inst type : 863 - FLOAT SERIAL : 0951 - Date : 2020 5 27
Float : 2903395 - Cycle : 62 - PI : JAMSTEC - Data mode : A - Platform type : NAVIS_A - WMO inst type : 863 - FLOAT SERIAL : 0952 - Date : 2020 2 7
Float : 2903632 - Cycle : 21 - PI : Yoichi Tanimoto - Data mode : A - Platform type : APEX - WMO inst type : 846 - FLOAT SERIAL : 8902 - Date : 2020 4 20
Float : 4902361 - Cycle : 164 - PI : JAMSTEC - Data mode : A - Platform type : NAVIS_A - WMO inst type : 863 - FLOAT SERIAL : 0575 - Date : 2020 8 21
Float : 4902380 - Cycle : 91 - PI : JAMSTEC - Data mode : R - Platform type : APEX - WMO inst type : 846 - FLOAT SERIAL : 8264 - Date : 2021 1 30

Files data_mode='D'

Float : 2903206 - Cycle : 161 - PI : JAMSTEC - Data mode : D - Platform type : NAVIS_A - WMO inst type : 863 - FLOAT SERIAL : 0673 - Date : 2017 12 15
Float : 5905045 - Cycle : 219 - PI : JAMSTEC - Data mode : D - Platform type : NAVIS_A - WMO inst type : 863 - FLOAT SERIAL : 0563 - Date : 2017 5 16
Float : 5905045 - Cycle : 280 - PI : JAMSTEC - Data mode : D - Platform type : NAVIS_A - WMO inst type : 863 - FLOAT SERIAL : 0563 - Date : 2017 9 15
Float : 5905057 - Cycle : 8 - PI : JAMSTEC - Data mode : D - Platform type : NAVIS_A - WMO inst type : 863 - FLOAT SERIAL : 0674 - Date : 2017 9 28
Float : 5905057 - Cycle : 47 - PI : JAMSTEC - Data mode : D - Platform type : NAVIS_A - WMO inst type : 863 - FLOAT SERIAL : 0674 - Date : 2018 3 12
Float : 5905057 - Cycle : 48 - PI : JAMSTEC - Data mode : D - Platform type : NAVIS_A - WMO inst type : 863 - FLOAT SERIAL : 0674 - Date : 2018 3 16

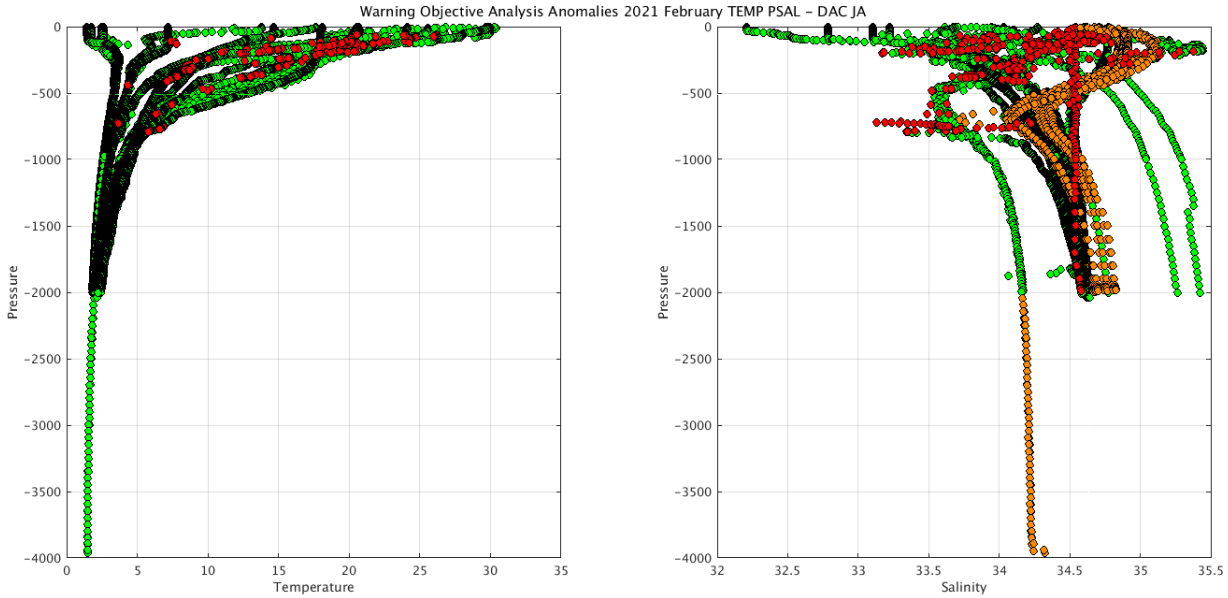

The list of the anomalies can be found at https://data-argo.ifremer.fr/etc/ObjectiveAnalysisWarning/jma/

Example of anomalies:

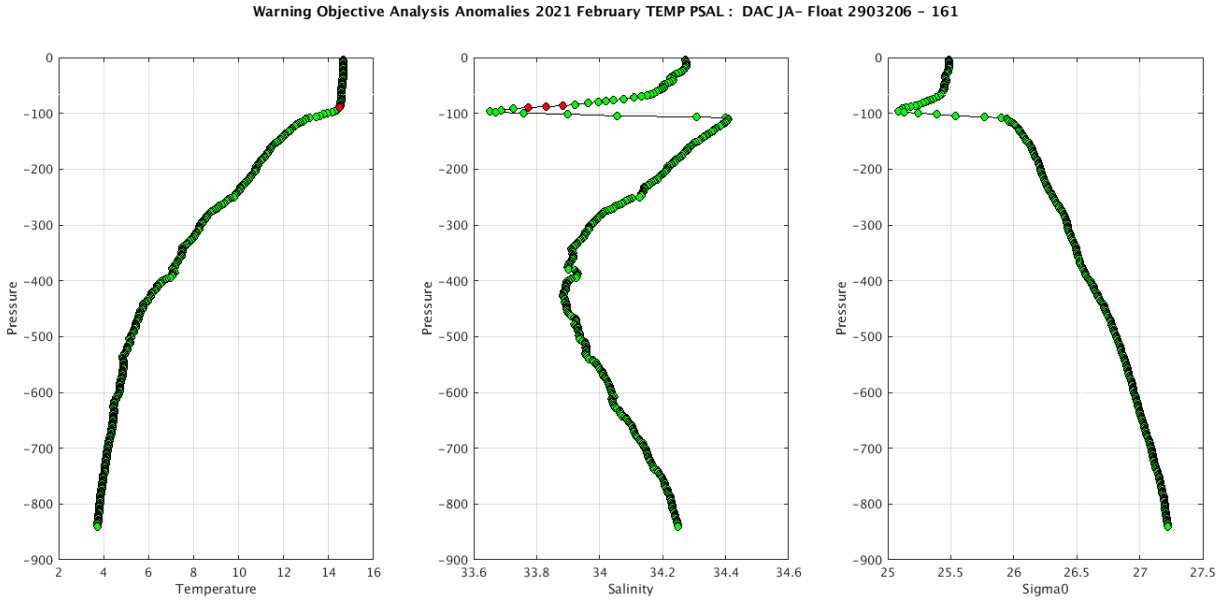

4.7. DAC KMA

Profiles detected by the objective analysis: 0 profile (0 float – float can have several cycles with anomalies)

Data_mode =’R’	Data_mode =’A’	Data_mode =’D’
0 cycle	0 cycle	0 cycle

Status of corrections:

Files data_mode=’R’/’A’

Files data_mode=’D’

The list of the anomalies can be found at https://data-argo.ifremer.fr/etc/ObjectiveAnalysisWarning/kma/

Example of anomalies:

Delayed Mode anomalies (adjusted fields) – date mode =’A’ or ‘D’

- Error on salinity_adjusted error 0.000 ??

Float 2901233 Cycle 53 - Cycle 92 , cycle 128 | Float 2901238 cycle 81

PSAL_ADJUSTED_ERROR =
_, 0.000, 0.000, 0.000, 0.000, 0.000, 0.000,

Mix of R (cycles 001 -024-025) and D files for float 2900171

D2900171_002.nc	D2900171_010.nc	D2900171_018.nc	D2900171_028.nc	D2900171_036.nc	D2900171_044.nc	D2900171_052.nc	D2900171_060.nc	D2900171_068.nc
D2900171_003.nc	D2900171_011.nc	D2900171_019.nc	D2900171_029.nc	D2900171_037.nc	D2900171_045.nc	D2900171_053.nc	D2900171_061.nc	D2900171_069.nc
D2900171_004.nc	D2900171_012.nc	D2900171_020.nc	D2900171_030.nc	D2900171_038.nc	D2900171_046.nc	D2900171_054.nc	D2900171_062.nc	D2900171_070.nc
D2900171_005.nc	D2900171_013.nc	D2900171_021.nc	D2900171_031.nc	D2900171_039.nc	D2900171_047.nc	D2900171_055.nc	D2900171_063.nc	D2900171_071.nc
D2900171_006.nc	D2900171_014.nc	D2900171_022.nc	D2900171_032.nc	D2900171_040.nc	D2900171_048.nc	D2900171_056.nc	D2900171_064.nc	R2900171_001.nc
D2900171_007.nc	D2900171_015.nc	D2900171_023.nc	D2900171_033.nc	D2900171_041.nc	D2900171_049.nc	D2900171_057.nc	D2900171_065.nc	R2900171_024.nc
D2900171_008.nc	D2900171_016.nc	D2900171_026.nc	D2900171_034.nc	D2900171_042.nc	D2900171_050.nc	D2900171_058.nc	D2900171_066.nc	R2900171_025.nc
D2900171_009.nc	D2900171_017.nc	D2900171_027.nc	D2900171_035.nc	D2900171_043.nc	D2900171_051.nc	D2900171_059.nc	D2900171_067.nc	

- Mix of RT and DM files and strange values (Float_wmo, Cycle, Data_state_indicator, Parameter, Value, QC)

KM 2901233 53 2C 30 -1073760,375 4
KM 2901233 92 2C 30 -1073758,25 4
KM 2901233 128 2C 30 -1073758,75 4
KM 2901238 81 2C 30 -1073760,25 4
KM 2901702 67 2C 30 -1073746,625 4
KM 2901710 62 2C 30 -1073745,5 4

4.8. DAC KORDI/KIOST

Profiles detected by the objective analysis: 0 profile (0 float – float can have several cycles with anomalies)

Data_mode =’R’	Data_mode =’A’	Data_mode =’D’
0 cycle	0 cycle	0 cycle

Status of corrections:.

Files data_mode=’R’ /’A’

Files data_mode=’D’

The list of the anomalies can be found at https://data-argo.ifremer.fr/etc/ObjectiveAnalysisWarning/kordi/

Example of anomalies:

4.9. DAC MEDS

Profiles detected by the objective analysis: 6 profiles (4 floats, but floats can have several cycles with anomalies)

Data_mode ='R'	Data_mode ='A'	Data_mode ='D'
2 cycles	2 cycles	2 cycles

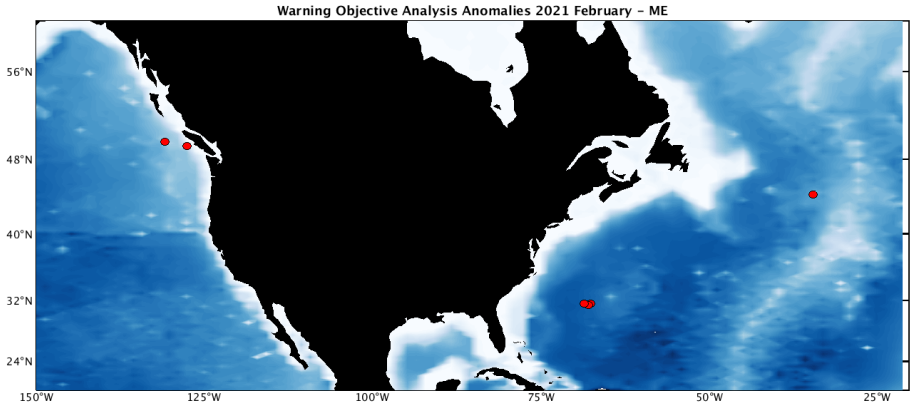

Status of corrections: In progress.

Files data_mode='R'/'A'

Float : 4902406 - Cycle : 124 - PI : Blair Greenan - Data mode : A - Platform type : NOVA - WMO inst type : 865 - FLOAT SERIAL : 442 - Date : 2020 11 26
Float : 4902410 - Cycle : 143 - PI : Blair Greenan - Data mode : A - Platform type : NOVA - WMO inst type : 865 - FLOAT SERIAL : 446 - Date : 2021 2 5
Float : 4902470 - Cycle : 67 - PI : Blair Greenan - Data mode : R - Platform type : ARVOR - WMO inst type : 844 - FLOAT SERIAL : 260018CA14 - Date : 2021 2 11
Float : 4902470 - Cycle : 68 - PI : Blair Greenan - Data mode : R - Platform type : ARVOR - WMO inst type : 844 - FLOAT SERIAL : 260018CA14 - Date : 2021 2 21

Files data_mode='D'

Float : 4902407 - Cycle : 3 - PI : Blair Greenan - Data mode : D - Platform type : NOVA - WMO inst type : 865 - FLOAT SERIAL : 443 - Date : 2017 7 6
Float : 4902470 - Cycle : 66 - PI : Blair Greenan - Data mode : D - Platform type : ARVOR - WMO inst type : 844 - FLOAT SERIAL : 260018CA14 - Date : 2021 2 1

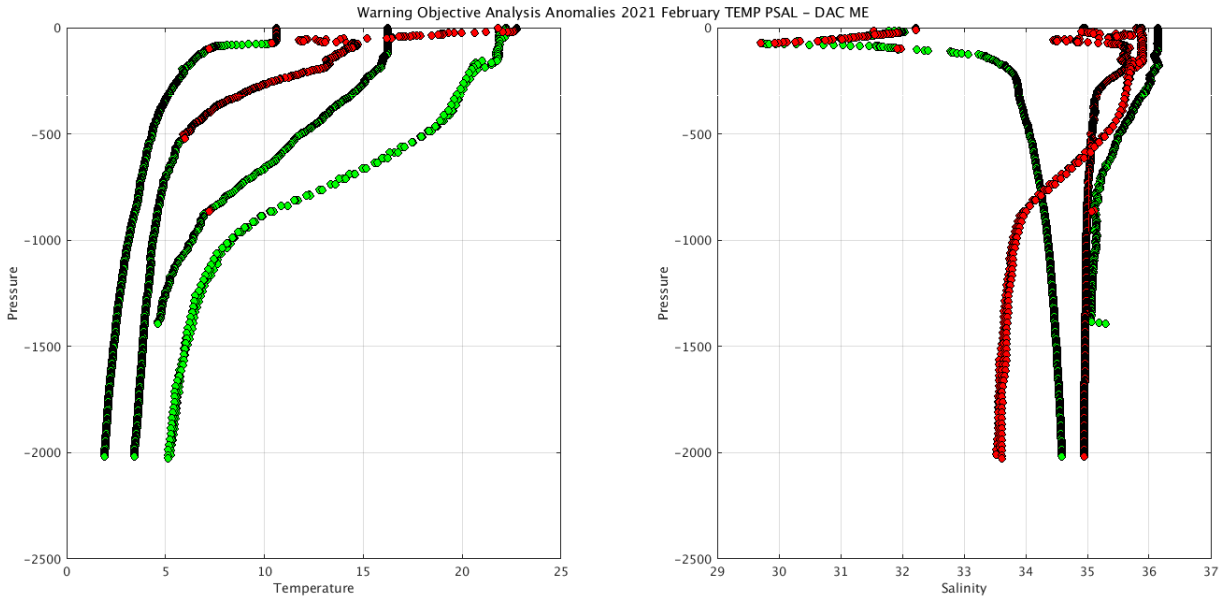

The list of the anomalies can be found at https://data-argo.ifremer.fr/etc/ObjectiveAnalysisWarning/meds/

Example of anomalies:

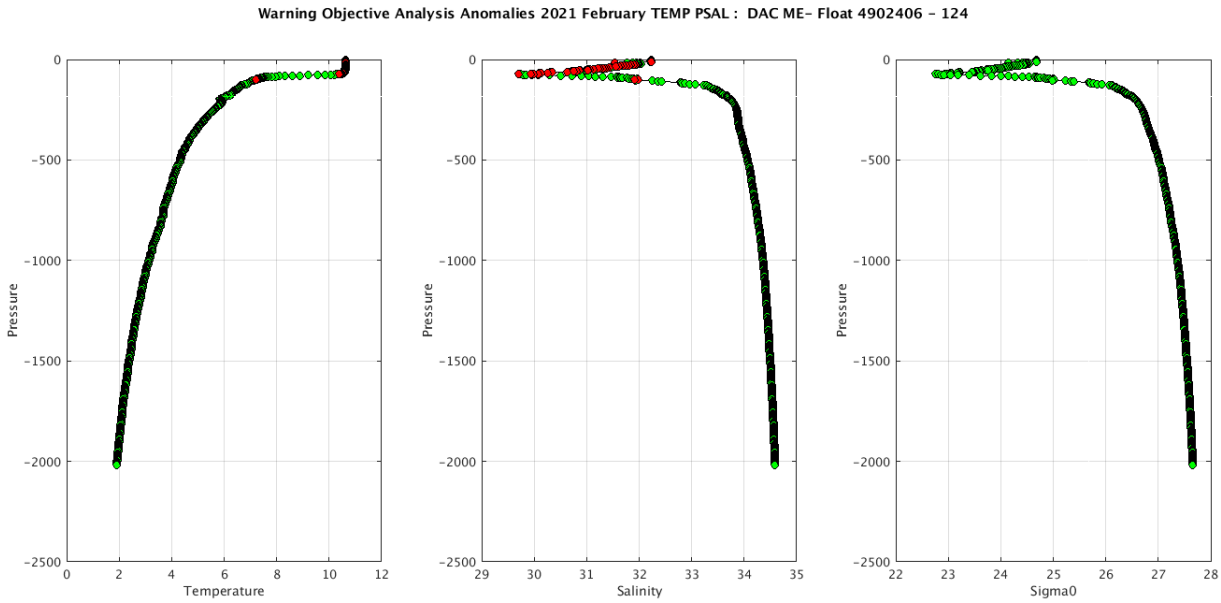

Delayed Mode anomalies (adjusted fields) – date mode =’A’ or ‘D’

Mix of RT and DM files and strange values (Float_wmo, Cycle, Data_state_indicator, Parameter, Value, QC)

ME 3900084 120 2C+ PSAL -17014118346046900000000000000000000000 4
ME 3900085 120 2C+ PSAL -17014118346046900000000000000000000000 4
ME 4900512
ME 4900521
ME 4900537
ME 4900636
ME 4900877
ME 4901081

4.10. DAC NMDIS

Profiles detected by the objective analysis: - profiles (- floats – float can have several cycles with anomalies)

Data_mode ='R'	Data_mode ='A'	Data_mode ='D'
0 cycle	0 cycle	0 cycle

INACTIVE FLOATS

Status of corrections:.

The list of the anomalies can be found at https://data-argo.ifremer.fr/etc/ObjectiveAnalysisWarning/nmdis/

Example of anomalies:

Delayed Mode anomalies (adjusted fields) – date mode ='D'

Some D files with strange adjusted_qc and mix of R and D

D2901615_001.nc	D2901615_010.nc	D2901615_017.nc	D2901615_025.nc	D2901615_033.nc	D2901615_040.nc	D2901615_054.nc	D2901615_063.nc	R2901615_008.nc	R2901615_034.nc	R2901615_049.nc
D2901615_002.nc	D2901615_011.nc	D2901615_018.nc	D2901615_027.nc	D2901615_035.nc	D2901615_042.nc	D2901615_056.nc	D2901615_064.nc	R2901615_014.nc	R2901615_041.nc	R2901615_050.nc
D2901615_003.nc	D2901615_012.nc	D2901615_019.nc	D2901615_028.nc	D2901615_036.nc	D2901615_044.nc	D2901615_058.nc	D2901615_065.nc	R2901615_022.nc	R2901615_043.nc	R2901615_051.nc
D2901615_004.nc	D2901615_013.nc	D2901615_020.nc	D2901615_030.nc	D2901615_037.nc	D2901615_045.nc	D2901615_059.nc	R2901615_000.nc	R2901615_024.nc	R2901615_046.nc	R2901615_055.nc
D2901615_006.nc	D2901615_015.nc	D2901615_021.nc	D2901615_031.nc	D2901615_038.nc	D2901615_052.nc	D2901615_060.nc	R2901615_005.nc	R2901615_026.nc	R2901615_047.nc	R2901615_057.nc
D2901615_009.nc	D2901615_016.nc	D2901615_023.nc	D2901615_032.nc	D2901615_039.nc	D2901615_053.nc	D2901615_062.nc	R2901615_007.nc	R2901615_029.nc	R2901615_048.nc	R2901615_061.nc

2901615 ex. Cycle 58, …

DATA_STATE_INDICATOR = "2C " ;
DATA_MODE = "R" ;

TEMP_ADJUSTED values exist but
TEMP_ADJUSTED_QC =
"99999999999999999999999999999999999999999999999999999999999999999999999999999999999999999999999999999999" ;

5. Synthetic profiles

Please have a look on the log showing problems on synthetic profiles

https://data-argo.ifremer.fr/etc/argo-synthetic-profile-log/

6. Instrument_code error

For a same float, two different instrument_codes have been observed in profile files.

For ex. DAC AOML Float 3901261 : 326 profiles with instrument_code 854 and 400 profiles with instrument_code 872. Here profiles represent the vertical_sampling_scheme, so one cycle but 2 profiles for this cycle :

WMO_INST_TYPE =
"872 ",
"872 " ;

VERTICAL_SAMPLING_SCHEME =
"Primary sampling: averaged [nominal 2 dbar binned data sampled at 1.0 Hz from a SBE41CP; bin detail from 0 dbar (number bins/bin wid
th): 10/ 1; 490/ 2;remaining/ 2] ",
"Near-surface sampling: discrete, pumped [shallowest polling from the same SBE41CP]

AO 3901261 PF 854 326
AO 3901261 PF 872 400

AO 3901262 PF 854 434
AO 3901262 PF 872 294

AO 3901263 PF 854 432
AO 3901263 PF 872 294

AO 3901264 PF 854 440
AO 3901264 PF 872 295

AO 3901266 PF 854 324
AO 3901266 PF 872 400

AO 41534 TE 845 11
AO 41534 TE 999 85

AO 5905759 PF 851 70
AO 5905759 PF 862 74

AO 5905760 PF 851 68
AO 5905760 PF 862 68

BO 1901894 PF 863 94
BO 1901894 PF 869 13

BO 1901896 PF 863 93
BO 1901896 PF 869 14

BO 2901896 PF 863 224
BO 2901896 PF 869 14
BO 2901897 PF 863 224
BO 2901897 PF 869 18

BO 2901898 PF 863 221
BO 2901898 PF 869 14

BO 6901162 PF 846 1
BO 6901162 PF 863 62

BO 6901163 PF 846 1
BO 6901163 PF 863 187

CS 1901740 PF 863 3
CS 1901740 PF 869 75

CS 1901741 PF 863 3
CS 1901741 PF 869 74

CS 1901742 PF 863 2
CS 1901742 PF 869 34
CS 5905428 PF 863 8
CS 5905428 PF 869 74

CS 5905429 PF 863 7
CS 5905429 PF 869 75

CS 7900632 PF 863 3
CS 7900632 PF 869 75

CS 7900633 PF 863 2
CS 7900633 PF 869 75

CS 7900634 PF 863 2
CS 7900634 PF 869 75

HZ 2900313 PF 840 5
HZ 2900313 PF 841 3

HZ 2902695 PF 870 1
HZ 2902695 PF 871 69

HZ 2902698 PF 870 2
HZ 2902698 PF 871 58

HZ 5900228 PF 840 3
HZ 5900228 PF 841 1

IN 2902154 PF 841 1
IN 2902154 PF 846 150

JA 2903635 PF 844 40
JA 2903635 PF 846 1

ME 4901189 PF 846 16
ME 4901189 PF 865 5

7. File anomalies (GDAC – Real time)

For information, on the GDAC for some floats, some netcdf files are missing. Sometimes this is not an anomaly (float has been deployed but no transmission of data then only meta file is available) but for other cases it could be an anomaly so please check.

I removed all the floats for which the missing netcdf files are not due to an anomaly. For instance, I removed all the floats for which only meta.nc file is generated or only meta.nc and tech.nc files are generated. If you think that others associations have to be removed for technical reasons, let me know.
<wmo_number>_meta.nc | <wmo_number>_meta.nc + <wmo_number>_tech.nc

7.1. AOML

GDAC (missing nc files)

For some floats :

- tech.nc and/or traj.nc are missing (meta.nc and prof.nc files existing)
- multiprof.nc is missing (no profiles but tech, traj, meta exist)
- only meta file (no monoprofile, no trajectory, no technical file)

See below the list of floats with existing nc files :
Feedback from AOML to remove floats for which no sufficient information to create the missing files; some are Orbcomm floats (wait for recommendations) which have no technical data, no drift pressure, no timing information and onlmy one surface position then tech files are obsolete and traj files quite useless.
Feedback for floats 4900433, 4903243 that should be updated

DAC name : aoml – Number of floats : 7721

1900167 - Existing NetCDF files
File : 1900167_meta.nc - 1900167_prof.nc -

1900168 - Existing NetCDF files
File : 1900168_meta.nc - 1900168_prof.nc -

1900189 - Existing NetCDF files
File : 1900189_Rtraj.nc - 1900189_meta.nc - 1900189_tech.nc -

1900244 - Existing NetCDF files
File : 1900244_meta.nc - 1900244_prof.nc -

1900245 - Existing NetCDF files
File : 1900245_meta.nc - 1900245_prof.nc -

1900255 - Existing NetCDF files
File : 1900255_meta.nc - 1900255_prof.nc -

1900257 - Existing NetCDF files
File : 1900257_meta.nc - 1900257_prof.nc -

1900748 - Existing NetCDF files
File : 1900748_Rtraj.nc - 1900748_meta.nc - 1900748_tech.nc -

1900831 - Existing NetCDF files
File : 1900831_Rtraj.nc - 1900831_meta.nc - 1900831_tech.nc -

1901658 - Existing NetCDF files
File : 1901658_Rtraj.nc - 1901658_meta.nc - 1901658_tech.nc -

2901106 - Existing NetCDF files
File : 2901106_Rtraj.nc - 2901106_meta.nc - 2901106_tech.nc -

3900148 - Existing NetCDF files
File : 3900148_meta.nc - 3900148_prof.nc -

3900160 - Existing NetCDF files
File : 3900160_Rtraj.nc - 3900160_meta.nc - 3900160_tech.nc -

41534 - Existing NetCDF files
File : 41534_Rtraj.nc - 41534_meta.nc - 41534_tech.nc -

4900228 - Existing NetCDF files
File : 4900228_meta.nc - 4900228_prof.nc -

4900229 - Existing NetCDF files
File : 4900229_meta.nc - 4900229_prof.nc -

4900230 - Existing NetCDF files
File : 4900230_meta.nc - 4900230_prof.nc -

4900268 - Existing NetCDF files
File : 4900268_meta.nc - 4900268_prof.nc -

4900269 - Existing NetCDF files
File : 4900269_meta.nc - 4900269_prof.nc -

4900270 - Existing NetCDF files
File : 4900270_meta.nc - 4900270_prof.nc -

4900271 - Existing NetCDF files
File : 4900271_meta.nc - 4900271_prof.nc -

4900272 - Existing NetCDF files
File : 4900272_meta.nc - 4900272_prof.nc -

4900273 - Existing NetCDF files
File : 4900273_meta.nc - 4900273_prof.nc -

4900287 - Existing NetCDF files
File : 4900287_Rtraj.nc - 4900287_meta.nc - 4900287_tech.nc -

4900358 - Existing NetCDF files
File : 4900358_meta.nc - 4900358_prof.nc -

4900361 - Existing NetCDF files
File : 4900361_meta.nc - 4900361_prof.nc -

4900366 - Existing NetCDF files
File : 4900366_meta.nc - 4900366_prof.nc -

4900367 - Existing NetCDF files
File : 4900367_meta.nc - 4900367_prof.nc -

4900382 - Existing NetCDF files
File : 4900382_meta.nc - 4900382_prof.nc -

4900383 - Existing NetCDF files
File : 4900383_meta.nc - 4900383_prof.nc -

4900385 - Existing NetCDF files
File : 4900385_meta.nc - 4900385_prof.nc -

4900426 - Existing NetCDF files
File : 4900426_meta.nc - 4900426_prof.nc -

4900427 - Existing NetCDF files
File : 4900427_meta.nc - 4900427_prof.nc -

4900428 - Existing NetCDF files
File : 4900428_meta.nc - 4900428_prof.nc -

4900583 - Existing NetCDF files
File : 4900583_Rtraj.nc - 4900583_meta.nc - 4900583_tech.nc -

4901485 - Existing NetCDF files
File : 4901485_Rtraj.nc - 4901485_meta.nc - 4901485_tech.nc -

4901537 - Existing NetCDF files
File : 4901537_Rtraj.nc - 4901537_meta.nc - 4901537_tech.nc

4901560 - Existing NetCDF files
File : 4901560_Rtraj.nc - 4901560_meta.nc - 4901560_tech.nc

4901575 - Existing NetCDF files
File : 4901575_Rtraj.nc - 4901575_meta.nc - 4901575_tech.nc -

4901577 - Existing NetCDF files
File : 4901577_Rtraj.nc - 4901577_meta.nc - 4901577_tech.nc

4903243 - Existing NetCDF files
File : 4903243_meta.nc - 4903243_prof.nc - 4903243_tech.nc -

5900253 - Existing NetCDF files
File : 5900253_Rtraj.nc - 5900253_meta.nc - 5900253_tech.nc -

5900637 - Existing NetCDF files
File : 5900637_Rtraj.nc - 5900637_meta.nc - 5900637_tech.nc -

5900765 - Existing NetCDF files
File : 5900765_Rtraj.nc - 5900765_meta.nc - 5900765_tech.nc -

5900892 - Existing NetCDF files
File : 5900892_Rtraj.nc - 5900892_meta.nc - 5900892_tech.nc -

5901006 - Existing NetCDF files
File : 5901006_Rtraj.nc - 5901006_meta.nc - 5901006_tech.nc -

5901082 - Existing NetCDF files
File : 5901082_Rtraj.nc - 5901082_meta.nc - 5901082_tech.nc

5903442 - Existing NetCDF files
File : 5903442_Rtraj.nc - 5903442_meta.nc - 5903442_tech.nc -

5904282 - Existing NetCDF files
File : 5904282_Rtraj.nc - 5904282_meta.nc - 5904282_tech.nc -

5904838 - Existing NetCDF files
File : 5904838_Rtraj.nc - 5904838_meta.nc - 5904838_prof.nc -

5904839 - Existing NetCDF files
File : 5904839_Rtraj.nc - 5904839_meta.nc - 5904839_prof.nc -

5904840 - Existing NetCDF files
File : 5904840_Rtraj.nc - 5904840_meta.nc - 5904840_prof.nc

5905641 - Existing NetCDF files
File : 5905641_Rtraj.nc - 5905641_meta.nc - 5905641_prof.nc

7.2. BODC

GDAC (missing nc files)

For some floats :

- tech.nc - and/or traj.nc - are missing (meta.nc - and prof.nc - files existing)
- only meta and/or tech files (no monoprofile, no trajectory)

MAINLY TRAJECTORY FILE MISSING

See below the list of floats with existing nc files :

DAC name : bodc – Number of floats : 778

1901312 - Existing NetCDF files
File : 1901312_meta.nc - 1901312_prof.nc - 1901312_tech.nc -

1901844 - Existing NetCDF files
File : 1901844_meta.nc - 1901844_prof.nc - 1901844_tech.nc -

1901845 - Existing NetCDF files
File : 1901845_meta.nc - 1901845_prof.nc - 1901845_tech.nc -

1901846 - Existing NetCDF files
File : 1901846_meta.nc - 1901846_prof.nc - 1901846_tech.nc -

1901847 - Existing NetCDF files
File : 1901847_meta.nc - 1901847_prof.nc - 1901847_tech.nc -

1901848 - Existing NetCDF files
File : 1901848_meta.nc - 1901848_prof.nc - 1901848_tech.nc -

1901849 - Existing NetCDF files
File : 1901849_meta.nc - 1901849_prof.nc - 1901849_tech.nc -

1901850 - Existing NetCDF files
File : 1901850_meta.nc - 1901850_prof.nc - 1901850_tech.nc -

1901851 - Existing NetCDF files
File : 1901851_meta.nc - 1901851_prof.nc - 1901851_tech.nc -

1901852 - Existing NetCDF files
File : 1901852_meta.nc - 1901852_prof.nc - 1901852_tech.nc -

1901853 - Existing NetCDF files
File : 1901853_meta.nc - 1901853_prof.nc - 1901853_tech.nc -

1901854 - Existing NetCDF files
File : 1901854_meta.nc - 1901854_prof.nc - 1901854_tech.nc -

1901855 - Existing NetCDF files
File : 1901855_meta.nc - 1901855_prof.nc - 1901855_tech.nc -

1901856 - Existing NetCDF files
File : 1901856_meta.nc - 1901856_prof.nc - 1901856_tech.nc -

1901857 - Existing NetCDF files
File : 1901857_meta.nc - 1901857_prof.nc - 1901857_tech.nc -

1901858 - Existing NetCDF files
File : 1901858_meta.nc - 1901858_prof.nc - 1901858_tech.nc -

1901859 - Existing NetCDF files
File : 1901859_meta.nc - 1901859_prof.nc - 1901859_tech.nc -

1901860 - Existing NetCDF files
File : 1901860_meta.nc - 1901860_prof.nc - 1901860_tech.nc -

1901861 - Existing NetCDF files
File : 1901861_meta.nc - 1901861_prof.nc - 1901861_tech.nc -

1901862 - Existing NetCDF files
File : 1901862_meta.nc - 1901862_prof.nc - 1901862_tech.nc -

1901863 - Existing NetCDF files
File : 1901863_meta.nc - 1901863_prof.nc - 1901863_tech.nc -

1901864 - Existing NetCDF files
File : 1901864_meta.nc - 1901864_prof.nc - 1901864_tech.nc -

1901865 - Existing NetCDF files
File : 1901865_meta.nc - 1901865_prof.nc - 1901865_tech.nc -

1901866 - Existing NetCDF files
File : 1901866_meta.nc - 1901866_prof.nc - 1901866_tech.nc -

1901867 - Existing NetCDF files
File : 1901867_meta.nc - 1901867_prof.nc - 1901867_tech.nc -

1901868 - Existing NetCDF files
File : 1901868_meta.nc - 1901868_prof.nc - 1901868_tech.nc -

1901869 - Existing NetCDF files
File : 1901869_meta.nc - 1901869_prof.nc - 1901869_tech.nc -

1901870 - Existing NetCDF files
File : 1901870_meta.nc - 1901870_prof.nc - 1901870_tech.nc -

1901871 - Existing NetCDF files
File : 1901871_meta.nc - 1901871_prof.nc - 1901871_tech.nc -

1901872 - Existing NetCDF files
File : 1901872_meta.nc - 1901872_prof.nc - 1901872_tech.nc -

1901873 - Existing NetCDF files
File : 1901873_meta.nc - 1901873_prof.nc - 1901873_tech.nc -

1901875 - Existing NetCDF files
File : 1901875_meta.nc - 1901875_prof.nc - 1901875_tech.nc -

1901876 - Existing NetCDF files
File : 1901876_meta.nc - 1901876_prof.nc - 1901876_tech.nc -

1901877 - Existing NetCDF files
File : 1901877_meta.nc - 1901877_prof.nc - 1901877_tech.nc -

1901878 - Existing NetCDF files
File : 1901878_meta.nc - 1901878_prof.nc - 1901878_tech.nc -

1901879 - Existing NetCDF files
File : 1901879_meta.nc - 1901879_prof.nc - 1901879_tech.nc -

1901880 - Existing NetCDF files
File : 1901880_meta.nc - 1901880_prof.nc - 1901880_tech.nc -

1901881 - Existing NetCDF files
File : 1901881_meta.nc - 1901881_prof.nc - 1901881_tech.nc -

1901882 - Existing NetCDF files
File : 1901882_meta.nc - 1901882_prof.nc - 1901882_tech.nc -

1901883 - Existing NetCDF files
File : 1901883_meta.nc - 1901883_prof.nc - 1901883_tech.nc -

1901884 - Existing NetCDF files
File : 1901884_meta.nc - 1901884_prof.nc - 1901884_tech.nc -

1901885 - Existing NetCDF files
File : 1901885_meta.nc - 1901885_prof.nc - 1901885_tech.nc -

1901886 - Existing NetCDF files
File : 1901886_meta.nc - 1901886_prof.nc - 1901886_tech.nc -

1901887 - Existing NetCDF files
File : 1901887_meta.nc - 1901887_prof.nc - 1901887_tech.nc -

1901888 - Existing NetCDF files
File : 1901888_meta.nc - 1901888_prof.nc - 1901888_tech.nc -

1901889 - Existing NetCDF files
File : 1901889_meta.nc - 1901889_prof.nc - 1901889_tech.nc -

1901890 - Existing NetCDF files
File : 1901890_meta.nc - 1901890_prof.nc - 1901890_tech.nc -

1901892 - Existing NetCDF files
File : 1901892_meta.nc - 1901892_prof.nc - 1901892_tech.nc -

1901893 - Existing NetCDF files
File : 1901893_meta.nc - 1901893_prof.nc - 1901893_tech.nc -

1901894 - Existing NetCDF files
File : 1901894_meta.nc - 1901894_prof.nc - 1901894_tech.nc -

1901895 - Existing NetCDF files
File : 1901895_meta.nc - 1901895_prof.nc - 1901895_tech.nc -

1901896 - Existing NetCDF files
File : 1901896_meta.nc - 1901896_prof.nc - 1901896_tech.nc -

1901897 - Existing NetCDF files
File : 1901897_meta.nc - 1901897_prof.nc - 1901897_tech.nc -

1901898 - Existing NetCDF files
File : 1901898_meta.nc - 1901898_prof.nc - 1901898_tech.nc -

1901899 - Existing NetCDF files
File : 1901899_meta.nc - 1901899_prof.nc - 1901899_tech.nc -

1901900 - Existing NetCDF files
File : 1901900_meta.nc - 1901900_prof.nc - 1901900_tech.nc -

1901901 - Existing NetCDF files
File : 1901901_meta.nc - 1901901_prof.nc - 1901901_tech.nc -

1901902 - Existing NetCDF files
File : 1901902_meta.nc - 1901902_prof.nc - 1901902_tech.nc -

1901903 - Existing NetCDF files
File : 1901903_meta.nc - 1901903_prof.nc - 1901903_tech.nc -

1901904 - Existing NetCDF files
File : 1901904_meta.nc - 1901904_prof.nc - 1901904_tech.nc -

1901906 - Existing NetCDF files
File : 1901906_meta.nc - 1901906_prof.nc - 1901906_tech.nc -

1901907 - Existing NetCDF files
File : 1901907_meta.nc - 1901907_prof.nc - 1901907_tech.nc -

1901909 - Existing NetCDF files
File : 1901909_meta.nc - 1901909_prof.nc - 1901909_tech.nc -

1901910 - Existing NetCDF files
File : 1901910_meta.nc - 1901910_prof.nc - 1901910_tech.nc -

1901911 - Existing NetCDF files
File : 1901911_meta.nc - 1901911_prof.nc - 1901911_tech.nc -

1901912 - Existing NetCDF files
File : 1901912_meta.nc - 1901912_prof.nc - 1901912_tech.nc -

1901914 - Existing NetCDF files
File : 1901914_meta.nc - 1901914_prof.nc - 1901914_tech.nc -

1901915 - Existing NetCDF files
File : 1901915_meta.nc - 1901915_prof.nc - 1901915_tech.nc -

1901916 - Existing NetCDF files
File : 1901916_meta.nc - 1901916_prof.nc - 1901916_tech.nc -

1901917 - Existing NetCDF files
File : 1901917_meta.nc - 1901917_prof.nc - 1901917_tech.nc -

1901920 - Existing NetCDF files
File : 1901920_meta.nc - 1901920_prof.nc - 1901920_tech.nc -

1901921 - Existing NetCDF files
File : 1901921_meta.nc - 1901921_prof.nc - 1901921_tech.nc -

1901922 - Existing NetCDF files
File : 1901922_meta.nc - 1901922_prof.nc - 1901922_tech.nc -

1901923 - Existing NetCDF files
File : 1901923_meta.nc - 1901923_prof.nc - 1901923_tech.nc -

1901924 - Existing NetCDF files
File : 1901924_meta.nc - 1901924_prof.nc - 1901924_tech.nc -

1901927 - Existing NetCDF files
File : 1901927_meta.nc - 1901927_prof.nc - 1901927_tech.nc -

1901933 - Existing NetCDF files
File : 1901933_meta.nc - 1901933_prof.nc - 1901933_tech.nc -

1902079 - Existing NetCDF files
File : 1902079_meta.nc - 1902079_prof.nc - 1902079_tech.nc -

1902080 - Existing NetCDF files
File : 1902080_meta.nc - 1902080_prof.nc - 1902080_tech.nc -

2901891 - Existing NetCDF files
File : 2901891_meta.nc - 2901891_prof.nc - 2901891_tech.nc -

2901892 - Existing NetCDF files
File : 2901892_meta.nc - 2901892_prof.nc - 2901892_tech.nc -

2901893 - Existing NetCDF files
File : 2901893_meta.nc - 2901893_prof.nc - 2901893_tech.nc -

2901894 - Existing NetCDF files
File : 2901894_meta.nc - 2901894_prof.nc - 2901894_tech.nc -

2901895 - Existing NetCDF files
File : 2901895_meta.nc - 2901895_prof.nc - 2901895_tech.nc -

2901896 - Existing NetCDF files

File : 2901896_meta.nc - 2901896_prof.nc - 2901896_tech.nc -

2901897 - Existing NetCDF files
File : 2901897_meta.nc - 2901897_prof.nc - 2901897_tech.nc -

2901898 - Existing NetCDF files
File : 2901898_meta.nc - 2901898_prof.nc - 2901898_tech.nc -

2901899 - Existing NetCDF files
File : 2901899_meta.nc - 2901899_prof.nc - 2901899_tech.nc -

2901900 - Existing NetCDF files
File : 2901900_meta.nc - 2901900_prof.nc - 2901900_tech.nc -

2901902 - Existing NetCDF files
File : 2901902_meta.nc - 2901902_prof.nc - 2901902_tech.nc -

2901903 - Existing NetCDF files
File : 2901903_meta.nc - 2901903_prof.nc - 2901903_tech.nc -

2901904 - Existing NetCDF files
File : 2901904_meta.nc - 2901904_prof.nc - 2901904_tech.nc -

2901905 - Existing NetCDF files
File : 2901905_meta.nc - 2901905_prof.nc - 2901905_tech.nc -

3900538 - Existing NetCDF files
File : 3900538_meta.nc - 3900538_prof.nc - 3900538_tech.nc -

3900559 - Existing NetCDF files
File : 3900559_meta.nc - 3900559_prof.nc - 3900559_tech.nc -

3900560 - Existing NetCDF files
File : 3900560_meta.nc - 3900560_prof.nc - 3900560_tech.nc -

3901488 - Existing NetCDF files
File : 3901488_meta.nc - 3901488_prof.nc - 3901488_tech.nc -

3901489 - Existing NetCDF files
File : 3901489_meta.nc - 3901489_prof.nc - 3901489_tech.nc -

3901490 - Existing NetCDF files
File : 3901490_meta.nc - 3901490_prof.nc - 3901490_tech.nc -

3901491 - Existing NetCDF files
File : 3901491_meta.nc - 3901491_prof.nc - 3901491_tech.nc -

3901492 - Existing NetCDF files
File : 3901492_meta.nc - 3901492_prof.nc - 3901492_tech.nc -

3901493 - Existing NetCDF files
File : 3901493_meta.nc - 3901493_prof.nc - 3901493_tech.nc -

3901494 - Existing NetCDF files
File : 3901494_meta.nc - 3901494_prof.nc - 3901494_tech.nc -

3901495 - Existing NetCDF files
File : 3901495_meta.nc - 3901495_prof.nc - 3901495_tech.nc -

3901499 - Existing NetCDF files
File : 3901499_meta.nc - 3901499_prof.nc - 3901499_tech.nc -

3901500 - Existing NetCDF files
File : 3901500_meta.nc - 3901500_prof.nc - 3901500_tech.nc -

3901501 - Existing NetCDF files
File : 3901501_meta.nc - 3901501_prof.nc - 3901501_tech.nc -

3901502 - Existing NetCDF files
File : 3901502_meta.nc - 3901502_prof.nc - 3901502_tech.nc -

3901503 - Existing NetCDF files
File : 3901503_meta.nc - 3901503_prof.nc - 3901503_tech.nc -

3901504 - Existing NetCDF files
File : 3901504_meta.nc - 3901504_prof.nc - 3901504_tech.nc -

3901505 - Existing NetCDF files
File : 3901505_meta.nc - 3901505_prof.nc - 3901505_tech.nc -

3901506 - Existing NetCDF files
File : 3901506_meta.nc - 3901506_prof.nc - 3901506_tech.nc -

3901507 - Existing NetCDF files
File : 3901507_meta.nc - 3901507_prof.nc - 3901507_tech.nc -

3901508 - Existing NetCDF files
File : 3901508_meta.nc - 3901508_prof.nc - 3901508_tech.nc -

3901509 - Existing NetCDF files
File : 3901509_meta.nc - 3901509_prof.nc - 3901509_tech.nc -

3901510 - Existing NetCDF files
File : 3901510_meta.nc - 3901510_prof.nc - 3901510_tech.nc -

3901511 - Existing NetCDF files
File : 3901511_meta.nc - 3901511_prof.nc - 3901511_tech.nc -

3901512 - Existing NetCDF files
File : 3901512_meta.nc - 3901512_prof.nc - 3901512_tech.nc -

3901513 - Existing NetCDF files
File : 3901513_meta.nc - 3901513_prof.nc - 3901513_tech.nc -

3901514 - Existing NetCDF files
File : 3901514_meta.nc - 3901514_prof.nc - 3901514_tech.nc -

3901515 - Existing NetCDF files
File : 3901515_meta.nc - 3901515_prof.nc - 3901515_tech.nc -

3901516 - Existing NetCDF files
File : 3901516_meta.nc - 3901516_prof.nc - 3901516_tech.nc -

3901517 - Existing NetCDF files
File : 3901517_meta.nc - 3901517_prof.nc - 3901517_tech.nc -

3901519 - Existing NetCDF files
File : 3901519_meta.nc - 3901519_prof.nc - 3901519_tech.nc -

3901520 - Existing NetCDF files
File : 3901520_meta.nc - 3901520_prof.nc - 3901520_tech.nc -

3901521 - Existing NetCDF files
File : 3901521_meta.nc - 3901521_prof.nc - 3901521_tech.nc -

3901522 - Existing NetCDF files
File : 3901522_meta.nc - 3901522_prof.nc - 3901522_tech.nc -

3901523 - Existing NetCDF files
File : 3901523_meta.nc - 3901523_prof.nc - 3901523_tech.nc -

3901524 - Existing NetCDF files
File : 3901524_meta.nc - 3901524_prof.nc - 3901524_tech.nc -

3901525 - Existing NetCDF files
File : 3901525_meta.nc - 3901525_prof.nc - 3901525_tech.nc -

3901526 - Existing NetCDF files
File : 3901526_meta.nc - 3901526_prof.nc - 3901526_tech.nc -

3901527 - Existing NetCDF files
File : 3901527_meta.nc - 3901527_prof.nc - 3901527_tech.nc -

3901528 - Existing NetCDF files
File : 3901528_meta.nc - 3901528_prof.nc - 3901528_tech.nc -

3901529 - Existing NetCDF files
File : 3901529_meta.nc - 3901529_prof.nc - 3901529_tech.nc -

3901532 - Existing NetCDF files
File : 3901532_meta.nc - 3901532_prof.nc - 3901532_tech.nc -

3901533 - Existing NetCDF files
File : 3901533_meta.nc - 3901533_prof.nc - 3901533_tech.nc -

3901534 - Existing NetCDF files
File : 3901534_meta.nc - 3901534_prof.nc - 3901534_tech.nc -

3901535 - Existing NetCDF files
File : 3901535_meta.nc - 3901535_prof.nc - 3901535_tech.nc -

3901536 - Existing NetCDF files
File : 3901536_meta.nc - 3901536_prof.nc - 3901536_tech.nc -

3901537 - Existing NetCDF files
File : 3901537_meta.nc - 3901537_prof.nc - 3901537_tech.nc -

3901538 - Existing NetCDF files
File : 3901538_meta.nc - 3901538_prof.nc - 3901538_tech.nc -

3901539 - Existing NetCDF files
File : 3901539_meta.nc - 3901539_prof.nc - 3901539_tech.nc -

3901540 - Existing NetCDF files
File : 3901540_meta.nc - 3901540_prof.nc - 3901540_tech.nc -

3901541 - Existing NetCDF files
File : 3901541_meta.nc - 3901541_prof.nc - 3901541_tech.nc -

3901542 - Existing NetCDF files
File : 3901542_meta.nc - 3901542_prof.nc - 3901542_tech.nc -

3901543 - Existing NetCDF files
File : 3901543_meta.nc - 3901543_prof.nc - 3901543_tech.nc -

3901544 - Existing NetCDF files
File : 3901544_meta.nc - 3901544_prof.nc - 3901544_tech.nc -

3901545 - Existing NetCDF files
File : 3901545_meta.nc - 3901545_prof.nc - 3901545_tech.nc -

3901546 - Existing NetCDF files
File : 3901546_meta.nc - 3901546_prof.nc - 3901546_tech.nc -

3901547 - Existing NetCDF files
File : 3901547_meta.nc - 3901547_prof.nc - 3901547_tech.nc -

3901548 - Existing NetCDF files
File : 3901548_meta.nc - 3901548_prof.nc - 3901548_tech.nc -

3901549 - Existing NetCDF files
File : 3901549_meta.nc - 3901549_prof.nc - 3901549_tech.nc -

3901550 - Existing NetCDF files
File : 3901550_meta.nc - 3901550_prof.nc - 3901550_tech.nc -

3901551 - Existing NetCDF files
File : 3901551_meta.nc - 3901551_prof.nc - 3901551_tech.nc -

3901552 - Existing NetCDF files
File : 3901552_meta.nc - 3901552_prof.nc - 3901552_tech.nc -

3901553 - Existing NetCDF files
File : 3901553_meta.nc - 3901553_prof.nc - 3901553_tech.nc -

3901554 - Existing NetCDF files
File : 3901554_meta.nc - 3901554_prof.nc - 3901554_tech.nc -

3901556 - Existing NetCDF files
File : 3901556_meta.nc - 3901556_prof.nc - 3901556_tech.nc -

3901562 - Existing NetCDF files
File : 3901562_meta.nc - 3901562_prof.nc - 3901562_tech.nc -

3901563 - Existing NetCDF files
File : 3901563_meta.nc - 3901563_prof.nc - 3901563_tech.nc -

3901564 - Existing NetCDF files
File : 3901564_meta.nc - 3901564_prof.nc - 3901564_tech.nc -

3902398 - Existing NetCDF files
File : 3902398_meta.nc - 3902398_prof.nc - 3902398_tech.nc -

3902399 - Existing NetCDF files
File : 3902399_meta.nc - 3902399_prof.nc - 3902399_tech.nc -

3902400 - Existing NetCDF files
File : 3902400_meta.nc - 3902400_prof.nc - 3902400_tech.nc -

3902402 - Existing NetCDF files
File : 3902402_meta.nc - 3902402_prof.nc - 3902402_tech.nc -

3902403 - Existing NetCDF files
File : 3902403_meta.nc - 3902403_prof.nc - 3902403_tech.nc -

49065 - Existing NetCDF files
File : 49065_meta.nc - 49065_prof.nc - 49065_tech.nc -

6901153 - Existing NetCDF files
File : 6901153_meta.nc - 6901153_prof.nc - 6901153_tech.nc -

6901155 - Existing NetCDF files
File : 6901155_meta.nc - 6901155_prof.nc - 6901155_tech.nc -

6901156 - Existing NetCDF files
File : 6901156_meta.nc - 6901156_prof.nc - 6901156_tech.nc -

6901157 - Existing NetCDF files
File : 6901157_meta.nc - 6901157_prof.nc - 6901157_tech.nc -

6901158 - Existing NetCDF files
File : 6901158_meta.nc - 6901158_prof.nc - 6901158_tech.nc -

6901159 - Existing NetCDF files
File : 6901159_meta.nc - 6901159_prof.nc - 6901159_tech.nc -

6901160 - Existing NetCDF files
File : 6901160_meta.nc - 6901160_prof.nc - 6901160_tech.nc -

6901161 - Existing NetCDF files
File : 6901161_meta.nc - 6901161_prof.nc - 6901161_tech.nc -

6901162 - Existing NetCDF files
File : 6901162_meta.nc - 6901162_prof.nc - 6901162_tech.nc -

6901163 - Existing NetCDF files
File : 6901163_meta.nc - 6901163_prof.nc - 6901163_tech.nc -

6901164 - Existing NetCDF files
File : 6901164_meta.nc - 6901164_prof.nc - 6901164_tech.nc -

6901165 - Existing NetCDF files
File : 6901165_meta.nc - 6901165_prof.nc - 6901165_tech.nc -

6901166 - Existing NetCDF files
File : 6901166_meta.nc - 6901166_prof.nc - 6901166_tech.nc -

6901167 - Existing NetCDF files
File : 6901167_meta.nc - 6901167_prof.nc - 6901167_tech.nc -

6901168 - Existing NetCDF files
File : 6901168_meta.nc - 6901168_prof.nc - 6901168_tech.nc -

6901169 - Existing NetCDF files
File : 6901169_meta.nc - 6901169_prof.nc - 6901169_tech.nc -

6901170 - Existing NetCDF files
File : 6901170_meta.nc - 6901170_prof.nc - 6901170_tech.nc -

6901171 - Existing NetCDF files
File : 6901171_meta.nc - 6901171_prof.nc - 6901171_tech.nc -

6901172 - Existing NetCDF files
File : 6901172_meta.nc - 6901172_prof.nc - 6901172_tech.nc -

6901173 - Existing NetCDF files
File : 6901173_meta.nc - 6901173_prof.nc - 6901173_tech.nc -

6901176 - Existing NetCDF files
File : 6901176_meta.nc - 6901176_prof.nc - 6901176_tech.nc -

6901177 - Existing NetCDF files
File : 6901177_meta.nc - 6901177_prof.nc - 6901177_tech.nc -

6901178 - Existing NetCDF files
File : 6901178_meta.nc - 6901178_prof.nc - 6901178_tech.nc -

6901179 - Existing NetCDF files
File : 6901179_meta.nc - 6901179_prof.nc - 6901179_tech.nc -

6901184 - Existing NetCDF files
File : 6901184_meta.nc - 6901184_prof.nc - 6901184_tech.nc -

6901185 - Existing NetCDF files
File : 6901185_meta.nc - 6901185_prof.nc - 6901185_tech.nc -

6901188 - Existing NetCDF files
File : 6901188_meta.nc - 6901188_prof.nc - 6901188_tech.nc -

6901189 - Existing NetCDF files
File : 6901189_meta.nc - 6901189_prof.nc - 6901189_tech.nc -

6901190 - Existing NetCDF files
File : 6901190_meta.nc - 6901190_prof.nc - 6901190_tech.nc -

6901191 - Existing NetCDF files
File : 6901191_meta.nc - 6901191_prof.nc - 6901191_tech.nc -

6901192 - Existing NetCDF files
File : 6901192_meta.nc - 6901192_prof.nc - 6901192_tech.nc -

6901193 - Existing NetCDF files
File : 6901193_meta.nc - 6901193_prof.nc - 6901193_tech.nc -

6901194 - Existing NetCDF files
File : 6901194_meta.nc - 6901194_prof.nc - 6901194_tech.nc -

6901195 - Existing NetCDF files
File : 6901195_meta.nc - 6901195_prof.nc - 6901195_tech.nc -

6901197 - Existing NetCDF files
File : 6901197_meta.nc - 6901197_prof.nc - 6901197_tech.nc -

6901198 - Existing NetCDF files
File : 6901198_meta.nc - 6901198_prof.nc - 6901198_tech.nc -

6901199 - Existing NetCDF files
File : 6901199_meta.nc - 6901199_prof.nc - 6901199_tech.nc -

6901200 - Existing NetCDF files
File : 6901200_meta.nc - 6901200_prof.nc - 6901200_tech.nc -

6901201 - Existing NetCDF files
File : 6901201_meta.nc - 6901201_prof.nc - 6901201_tech.nc -

6901202 - Existing NetCDF files
File : 6901202_meta.nc - 6901202_prof.nc - 6901202_tech.nc -

6901205 - Existing NetCDF files
File : 6901205_meta.nc - 6901205_prof.nc - 6901205_tech.nc -

6901207 - Existing NetCDF files
File : 6901207_meta.nc - 6901207_prof.nc - 6901207_tech.nc -

6901208 - Existing NetCDF files
File : 6901208_meta.nc - 6901208_prof.nc - 6901208_tech.nc -

6901211 - Existing NetCDF files
File : 6901211_meta.nc - 6901211_prof.nc - 6901211_tech.nc -

6901212 - Existing NetCDF files
File : 6901212_meta.nc - 6901212_prof.nc - 6901212_tech.nc -

6901213 - Existing NetCDF files
File : 6901213_meta.nc - 6901213_prof.nc - 6901213_tech.nc -

6901214 - Existing NetCDF files
File : 6901214_meta.nc - 6901214_prof.nc - 6901214_tech.nc -

6901215 - Existing NetCDF files

File : 6901215_meta.nc - 6901215_prof.nc - 6901215_tech.nc -

6901919 - Existing NetCDF files
File : 6901919_meta.nc - 6901919_prof.nc - 6901919_tech.nc -

6901920 - Existing NetCDF files
File : 6901920_meta.nc - 6901920_prof.nc - 6901920_tech.nc -

6901921 - Existing NetCDF files
File : 6901921_meta.nc - 6901921_prof.nc - 6901921_tech.nc -

6901922 - Existing NetCDF files
File : 6901922_meta.nc - 6901922_prof.nc - 6901922_tech.nc -

6901923 - Existing NetCDF files
File : 6901923_meta.nc - 6901923_prof.nc - 6901923_tech.nc -

6901924 - Existing NetCDF files
File : 6901924_meta.nc - 6901924_prof.nc - 6901924_tech.nc -

6901925 - Existing NetCDF files
File : 6901925_meta.nc - 6901925_prof.nc - 6901925_tech.nc -

6901926 - Existing NetCDF files
File : 6901926_meta.nc - 6901926_prof.nc - 6901926_tech.nc -

6901927 - Existing NetCDF files
File : 6901927_meta.nc - 6901927_prof.nc - 6901927_tech.nc -

6901928 - Existing NetCDF files
File : 6901928_meta.nc - 6901928_prof.nc - 6901928_tech.nc -

6903715 - Existing NetCDF files
File : 6903715_meta.nc - 6903715_prof.nc - 6903715_tech.nc -

6903716 - Existing NetCDF files
File : 6903716_meta.nc - 6903716_prof.nc - 6903716_tech.nc -

6903717 - Existing NetCDF files
File : 6903717_meta.nc - 6903717_prof.nc - 6903717_tech.nc -

6903718 - Existing NetCDF files
File : 6903718_meta.nc - 6903718_prof.nc - 6903718_tech.nc -

6903719 - Existing NetCDF files
File : 6903719_meta.nc - 6903719_prof.nc - 6903719_tech.nc -

6903720 - Existing NetCDF files
File : 6903720_meta.nc - 6903720_prof.nc - 6903720_tech.nc -

6903721 - Existing NetCDF files
File : 6903721_meta.nc - 6903721_prof.nc - 6903721_tech.nc -

6903722 - Existing NetCDF files
File : 6903722_meta.nc - 6903722_prof.nc - 6903722_tech.nc -

6903723 - Existing NetCDF files
File : 6903723_meta.nc - 6903723_prof.nc - 6903723_tech.nc -

6903724 - Existing NetCDF files
File : 6903724_meta.nc - 6903724_prof.nc - 6903724_tech.nc -

6903725 - Existing NetCDF files
File : 6903725_meta.nc - 6903725_prof.nc - 6903725_tech.nc -

6903726 - Existing NetCDF files
File : 6903726_meta.nc - 6903726_prof.nc - 6903726_tech.nc -

6903751 - Existing NetCDF files
File : 6903751_meta.nc - 6903751_prof.nc - 6903751_tech.nc

7.3. CORIOLIS

GDAC (missing nc files)

For some floats :

- multiprof.nc - is missing (no profiles but tech, traj, meta exist)

See below the list of floats with existing nc files :

DAC name : Coriolis – Number of floats : 3116
1900380 - Existing NetCDF files
File : 1900380_Rtraj.nc - 1900380_meta.nc - 1900380_tech.nc -

1901216 - Existing NetCDF files
File : 1901216_Rtraj.nc - 1901216_meta.nc - 1901216_tech.nc -

5903129 - Existing NetCDF files
File : 5903129_Rtraj.nc - 5903129_meta.nc - 5903129_tech.nc -

6900215 - Existing NetCDF files
File : 6900215_meta.nc - 6900215_prof.nc - 6900215_tech.nc -

6900217 - Existing NetCDF files
File : 6900217_meta.nc - 6900217_prof.nc - 6900217_tech.nc -

6900940 - Existing NetCDF files
File : 6900940_Rtraj.nc - 6900940_meta.nc - 6900940_tech.nc -

6901000 - Existing NetCDF files
File : 6901000_Rtraj.nc - 6901000_meta.nc - 6901000_tech.nc

6901438 - Existing NetCDF files
File : 6901438_Rtraj.nc - 6901438_meta.nc -

6901469 - Existing NetCDF files
File : 6901469_Rtraj.nc - 6901469_meta.nc -

6901551 - Existing NetCDF files
File : 6901551_Rtraj.nc - 6901551_meta.nc - 6901551_tech.nc -

6901594 - Existing NetCDF files

File : 6901594_Rtraj.nc - 6901594_meta.nc - 6901594_tech.nc -

6901615 - Existing NetCDF files
File : 6901615_Rtraj.nc - 6901615_meta.nc - 6901615_tech.nc -

6901820 - Existing NetCDF files
File : 6901820_Rtraj.nc - 6901820_meta.nc -

6901844 - Existing NetCDF files
File : 6901844_Rtraj.nc - 6901844_meta.nc -

6901854 - Existing NetCDF files
File : 6901854_Rtraj.nc - 6901854_meta.nc - 6901854_tech.nc -

6901870 - Existing NetCDF files
File : 6901870_Rtraj.nc - 6901870_meta.nc -

6901871 - Existing NetCDF files
File : 6901871_Rtraj.nc - 6901871_meta.nc -

6902583 - Existing NetCDF files
File : 6902583_Rtraj.nc - 6902583_meta.nc -

6902685 - Existing NetCDF files
File : 6902685_Rtraj.nc - 6902685_meta.nc - 6902685_tech.nc -

6902741 - Existing NetCDF files
File : 6902741_Rtraj.nc - 6902741_meta.nc - 6902741_tech.nc -

6903181 - Existing NetCDF files
File : 6903181_Rtraj.nc - 6903181_meta.nc -

6903185 - Existing NetCDF files
File : 6903185_Rtraj.nc - 6903185_meta.nc -

6903193 - Existing NetCDF files
File : 6903193_Rtraj.nc - 6903193_meta.nc -

6903226 - Existing NetCDF files
File : 6903226_Rtraj.nc - 6903226_meta.nc -

7900349 - Existing NetCDF files
File : 7900349_Rtraj.nc - 7900349_meta.nc - 7900349_tech.nc

7.4. CSIO

GDAC (missing nc files)

For some floats :

- multiprof.nc - is missing (no profiles but tech, traj, meta exist)

See below the list of floats with existing nc files :

DAC name : csio – Number of floats : 473

7.5. CSIRO

GDAC (missing nc files)

For some floats :

- traj.nc - is missing (only meta.nc - , tech.nc - and prof.nc - files)

See below the list of floats with existing nc files :

DAC name : csiro – Number of floats : 976

1901743 - Existing NetCDF files
File : 1901743_meta.nc - 1901743_prof.nc - 1901743_tech.nc -

1901744 - Existing NetCDF files
File : 1901744_meta.nc - 1901744_prof.nc - 1901744_tech.nc -

1901745 - Existing NetCDF files
File : 1901745_meta.nc - 1901745_prof.nc - 1901745_tech.nc -

1901746 - Existing NetCDF files
File : 1901746_meta.nc - 1901746_prof.nc - 1901746_tech.nc -

1901747 - Existing NetCDF files
File : 1901747_meta.nc - 1901747_prof.nc - 1901747_tech.nc -

1901749 - Existing NetCDF files
File : 1901749_meta.nc - 1901749_prof.nc - 1901749_tech.nc -

1901752 - Existing NetCDF files
File : 1901752_meta.nc - 1901752_prof.nc - 1901752_tech.nc -

1901753 - Existing NetCDF files
File : 1901753_meta.nc - 1901753_prof.nc - 1901753_tech.nc -

3901467 - Existing NetCDF files
File : 3901467_meta.nc - 3901467_prof.nc - 3901467_tech.nc -

5904221 - Existing NetCDF files
File : 5904221_meta.nc - 5904221_prof.nc - 5904221_tech.nc -

5904224 - Existing NetCDF files
File : 5904224_meta.nc - 5904224_prof.nc - 5904224_tech.nc -

5904226 - Existing NetCDF files
File : 5904226_meta.nc - 5904226_prof.nc - 5904226_tech.nc -

5904916 - Existing NetCDF files
File : 5904916_meta.nc - 5904916_prof.nc - 5904916_tech.nc -

5904917 - Existing NetCDF files
File : 5904917_meta.nc - 5904917_prof.nc - 5904917_tech.nc -

5904922 - Existing NetCDF files
File : 5904922_meta.nc - 5904922_prof.nc - 5904922_tech.nc -

5904925 - Existing NetCDF files
File : 5904925_meta.nc - 5904925_prof.nc - 5904925_tech.nc -

5905205 - Existing NetCDF files
File : 5905205_meta.nc - 5905205_prof.nc - 5905205_tech.nc -

5905389 - Existing NetCDF files
File : 5905389_meta.nc - 5905389_prof.nc - 5905389_tech.nc -

5905390 - Existing NetCDF files
File : 5905390_meta.nc - 5905390_prof.nc - 5905390_tech.nc -

5905393 - Existing NetCDF files
File : 5905393_meta.nc - 5905393_prof.nc - 5905393_tech.nc -

5905394 - Existing NetCDF files
File : 5905394_meta.nc - 5905394_prof.nc - 5905394_tech.nc -

5905410 - Existing NetCDF files
File : 5905410_meta.nc - 5905410_prof.nc - 5905410_tech.nc -

5905411 - Existing NetCDF files
File : 5905411_meta.nc - 5905411_prof.nc - 5905411_tech.nc -

5905412 - Existing NetCDF files
File : 5905412_meta.nc - 5905412_prof.nc - 5905412_tech.nc -

5905413 - Existing NetCDF files
File : 5905413_meta.nc - 5905413_prof.nc - 5905413_tech.nc -

5905419 - Existing NetCDF files
File : 5905419_meta.nc - 5905419_prof.nc - 5905419_tech.nc -

5905420 - Existing NetCDF files
File : 5905420_meta.nc - 5905420_prof.nc - 5905420_tech.nc -

5905421 - Existing NetCDF files
File : 5905421_meta.nc - 5905421_prof.nc - 5905421_tech.nc -

5905430 - Existing NetCDF files
File : 5905430_meta.nc - 5905430_prof.nc - 5905430_tech.nc -

5905431 - Existing NetCDF files
File : 5905431_meta.nc - 5905431_prof.nc - 5905431_tech.nc -

5905432 - Existing NetCDF files
File : 5905432_meta.nc - 5905432_prof.nc - 5905432_tech.nc -

5905454 - Existing NetCDF files
File : 5905454_meta.nc - 5905454_prof.nc - 5905454_tech.nc -

5905468 - Existing NetCDF files
File : 5905468_Rtraj.nc - 5905468_meta.nc - 5905468_tech.nc -

7900638 - Existing NetCDF files
File : 7900638_meta.nc - 7900638_prof.nc - 7900638_tech.nc -

7900639 - Existing NetCDF files
File : 7900639_meta.nc - 7900639_prof.nc - 7900639_tech.nc -

7900640 - Existing NetCDF files
File : 7900640_meta.nc - 7900640_prof.nc - 7900640_tech.nc -

7900641 - Existing NetCDF files
File : 7900641_meta.nc - 7900641_prof.nc - 7900641_tech.nc -

7900642 - Existing NetCDF files
File : 7900642_meta.nc - 7900642_prof.nc - 7900642_tech.nc -

7900643 - Existing NetCDF files
File : 7900643_meta.nc - 7900643_prof.nc - 7900643_tech.nc -

7900646 - Existing NetCDF files
File : 7900646_meta.nc - 7900646_prof.nc - 7900646_tech.nc -

7900647 - Existing NetCDF files
File : 7900647_meta.nc - 7900647_prof.nc - 7900647_tech.nc -

7900648 - Existing NetCDF files
File : 7900648_meta.nc - 7900648_prof.nc - 7900648_tech.nc -

7900649 - Existing NetCDF files
File : 7900649_meta.nc - 7900649_prof.nc - 7900649_tech.nc -

7900650 - Existing NetCDF files
File : 7900650_meta.nc - 7900650_prof.nc - 7900650_tech.nc -

7900651 - Existing NetCDF files
File : 7900651_meta.nc - 7900651_prof.nc - 7900651_tech.nc -

7900891 - Existing NetCDF files
File : 7900891_meta.nc - 7900891_prof.nc - 7900891_tech.nc -

7900892 - Existing NetCDF files
File : 7900892_meta.nc - 7900892_prof.nc - 7900892_tech.nc -

7900894 - Existing NetCDF files
File : 7900894_meta.nc - 7900894_prof.nc - 7900894_tech.nc -

7900899 - Existing NetCDF files
File : 7900899_meta.nc - 7900899_prof.nc - 7900899_tech.nc -

7900903 - Existing NetCDF files
File : 7900903_meta.nc - 7900903_prof.nc - 7900903_tech.nc

7.6. INCOIS

For some floats :

- tech.nc - is missing (meta.nc - , traj.nc - and prof.nc - files existing)

- traj.nc - is missing (meta, prof, tech existing)
- multiprof.nc - is missing (no profiles but tech, traj, meta exist)

See below the list of floats with existing nc files :

DAC name : incois – Number of floats : 491

2900268 - Existing NetCDF files
File : 2900268_Rtraj.nc - 2900268_meta.nc - 2900268_prof.nc -

2900275 - Existing NetCDF files
File : 2900275_Rtraj.nc - 2900275_meta.nc - 2900275_prof.nc -

2900767 - Existing NetCDF files
File : 2900767_meta.nc - 2900767_prof.nc - 2900767_tech.nc -

2902126 - Existing NetCDF files
File : 2902126_Rtraj.nc - 2902126_meta.nc - 2902126_tech.nc -

2902229 - Existing NetCDF files
File : 2902229_meta.nc - 2902229_prof.nc - 2902229_tech.nc -

2902230 - Existing NetCDF files
File : 2902230_meta.nc - 2902230_prof.nc - 2902230_tech.nc -

2902231 - Existing NetCDF files
File : 2902231_meta.nc - 2902231_prof.nc - 2902231_tech.nc -

2902232 - Existing NetCDF files
File : 2902232_meta.nc - 2902232_prof.nc - 2902232_tech.nc -

2902233 - Existing NetCDF files
File : 2902233_meta.nc - 2902233_prof.nc - 2902233_tech.nc -

2902234 - Existing NetCDF files
File : 2902234_meta.nc - 2902234_prof.nc - 2902234_tech.nc -

2902235 - Existing NetCDF files
File : 2902235_meta.nc - 2902235_prof.nc - 2902235_tech.nc -

2902236 - Existing NetCDF files
File : 2902236_meta.nc - 2902236_prof.nc - 2902236_tech.nc -

2902246 - Existing NetCDF files
File : 2902246_meta.nc - 2902246_prof.nc - 2902246_tech.nc -

2902248 - Existing NetCDF files
File : 2902248_meta.nc - 2902248_prof.nc - 2902248_tech.nc -

2902249 - Existing NetCDF files
File : 2902249_meta.nc - 2902249_prof.nc - 2902249_tech.nc -

2902250 - Existing NetCDF files
File : 2902250_meta.nc - 2902250_prof.nc - 2902250_tech.nc -

2902251 - Existing NetCDF files
File : 2902251_meta.nc - 2902251_prof.nc - 2902251_tech.nc -

2902252 - Existing NetCDF files
File : 2902252_meta.nc - 2902252_prof.nc - 2902252_tech.nc -

2902253 - Existing NetCDF files
File : 2902253_meta.nc - 2902253_prof.nc - 2902253_tech.nc -

2902254 - Existing NetCDF files
File : 2902254_meta.nc - 2902254_prof.nc - 2902254_tech.nc -

2902255 - Existing NetCDF files
File : 2902255_meta.nc - 2902255_prof.nc - 2902255_tech.nc -

2902256 - Existing NetCDF files
File : 2902256_meta.nc - 2902256_prof.nc - 2902256_tech.nc -

2902257 - Existing NetCDF files
File : 2902257_meta.nc - 2902257_prof.nc - 2902257_tech.nc -

2902258 - Existing NetCDF files
File : 2902258_meta.nc - 2902258_prof.nc - 2902258_tech.nc -

2902259 - Existing NetCDF files
File : 2902259_meta.nc - 2902259_prof.nc - 2902259_tech.nc -

2902260 - Existing NetCDF files
File : 2902260_meta.nc - 2902260_prof.nc - 2902260_tech.nc -

2902261 - Existing NetCDF files
File : 2902261_meta.nc - 2902261_prof.nc - 2902261_tech.nc -

2902262 - Existing NetCDF files
File : 2902262_meta.nc - 2902262_prof.nc - 2902262_tech.nc -

2902265 - Existing NetCDF files
File : 2902265_meta.nc - 2902265_prof.nc - 2902265_tech.nc -

2902266 - Existing NetCDF files
File : 2902266_meta.nc - 2902266_prof.nc - 2902266_tech.nc -

2902267 - Existing NetCDF files
File : 2902267_meta.nc - 2902267_prof.nc - 2902267_tech.nc -

2902268 - Existing NetCDF files
File : 2902268_meta.nc - 2902268_prof.nc - 2902268_tech.nc -

2902269 - Existing NetCDF files
File : 2902269_meta.nc - 2902269_prof.nc - 2902269_tech.nc -

2902278 - Existing NetCDF files
File : 2902278_meta.nc - 2902278_prof.nc - 2902278_tech.nc -

2902279 - Existing NetCDF files
File : 2902279_meta.nc - 2902279_prof.nc - 2902279_tech.nc -

2902280 - Existing NetCDF files
File : 2902280_meta.nc - 2902280_prof.nc - 2902280_tech.nc -

2902281 - Existing NetCDF files
File : 2902281_meta.nc - 2902281_prof.nc - 2902281_tech.nc -

2902282 - Existing NetCDF files
File : 2902282_meta.nc - 2902282_prof.nc - 2902282_tech.nc -

2902283 - Existing NetCDF files
File : 2902283_meta.nc - 2902283_prof.nc - 2902283_tech.nc -

2902284 - Existing NetCDF files

File : 2902284_meta.nc - 2902284_prof.nc - 2902284_tech.nc -

2902285 - Existing NetCDF files
File : 2902285_meta.nc - 2902285_prof.nc - 2902285_tech.nc -

2902286 - Existing NetCDF files
File : 2902286_meta.nc - 2902286_prof.nc - 2902286_tech.nc -

2902287 - Existing NetCDF files
File : 2902287_meta.nc - 2902287_prof.nc - 2902287_tech.nc -

2902288 - Existing NetCDF files
File : 2902288_meta.nc - 2902288_prof.nc - 2902288_tech.nc -

2902289 - Existing NetCDF files
File : 2902289_meta.nc - 2902289_prof.nc - 2902289_tech.nc -

2902290 - Existing NetCDF files
File : 2902290_meta.nc - 2902290_prof.nc - 2902290_tech.nc -

2902292 - Existing NetCDF files
File : 2902292_meta.nc - 2902292_prof.nc - 2902292_tech.nc -

2902293 - Existing NetCDF files
File : 2902293_meta.nc - 2902293_prof.nc - 2902293_tech.nc -

2902300 - Existing NetCDF files
File : 2902300_meta.nc - 2902300_prof.nc - 2902300_tech.nc -

2902301 - Existing NetCDF files
File : 2902301_meta.nc - 2902301_prof.nc - 2902301_tech.nc -

2902302 - Existing NetCDF files
File : 2902302_meta.nc - 2902302_prof.nc - 2902302_tech.nc -

2902303 - Existing NetCDF files
File : 2902303_meta.nc - 2902303_prof.nc - 2902303_tech.nc -

2902304 - Existing NetCDF files
File : 2902304_meta.nc - 2902304_prof.nc - 2902304_tech.nc

7.7. JMA

Feedback sent by Wataru.(some months/years ago)
Checking of the status of each float.

-Deep NINJA: 14 floats in preparation for data release and profile files will be sent to GDACs

2902508	**7900600**	**7900655**
2902509	**7900601**	**7900657**
2902510	**7900652**	**7900658**
5904937	**7900653**	**7900660**
7900599	**7900654**	

-Others : 8 floats
need further investigation

For some floats :

- tech.nc - and/or traj.nc - are missing (only meta.nc - and prof.nc - files)
- traj.nc - is missing

See below the list of floats with existing nc files :

DAC name : jma – Number of floats : 1802

1902074 - Existing NetCDF files
File : 1902074_meta.nc - 1902074_prof.nc -

1902075 - Existing NetCDF files
File : 1902075_meta.nc - 1902075_prof.nc -

1902332 - Existing NetCDF files
File : 1902332_Sprof.nc - 1902332_meta.nc - 1902332_prof.nc -

1902333 - Existing NetCDF files
File : 1902333_meta.nc - 1902333_prof.nc -

1902335 - Existing NetCDF files
File : 1902335_meta.nc - 1902335_prof.nc -

1902336 - Existing NetCDF files
File : 1902336_meta.nc - 1902336_prof.nc -

1902337 - Existing NetCDF files
File : 1902337_meta.nc - 1902337_prof.nc

1902339 - Existing NetCDF files
File : 1902339_meta.nc - 1902339_prof.nc

1902340 - Existing NetCDF files
File : 1902340_meta.nc - 1902340_prof.nc

2900961 - Existing NetCDF files
File : 2900961_meta.nc - 2900961_prof.nc - 2900961_tech.nc -

2900962 - Existing NetCDF files
File : 2900962_meta.nc - 2900962_prof.nc - 2900962_tech.nc

2901998 - Existing NetCDF files
File : 2901998_meta.nc - 2901998_prof.nc -

2902455 - Existing NetCDF files
File : 2902455_Rtraj.nc - 2902455_meta.nc - 2902455_tech.nc -

2902469 - Existing NetCDF files
File : 2902469_Rtraj.nc - 2902469_meta.nc - 2902469_tech.nc -

2902508 - Existing NetCDF files
File : 2902508_meta.nc - 2902508_prof.nc -

2902509 - Existing NetCDF files
File : 2902509_meta.nc - 2902509_prof.nc -

2902510 - Existing NetCDF files
File : 2902510_meta.nc - 2902510_prof.nc -

2902529 - Existing NetCDF files
File : 2902529_meta.nc - 2902529_prof.nc -

2902530 - Existing NetCDF files
File : 2902530_meta.nc - 2902530_prof.nc -

2902971 - Existing NetCDF files
File : 2902971_meta.nc - 2902971_prof.nc -

2902977 - Existing NetCDF files
File : 2902977_Rtraj.nc - 2902977_meta.nc - 2902977_tech.nc -

2902978 - Existing NetCDF files
File : 2902978_Rtraj.nc - 2902978_meta.nc - 2902978_tech.nc -

2903005 - Existing NetCDF files
File : 2903005_meta.nc - 2903005_prof.nc -

2903006 - Existing NetCDF files
File : 2903006_meta.nc - 2903006_prof.nc -

2903007 - Existing NetCDF files
File : 2903007_meta.nc - 2903007_prof.nc -

2903008 - Existing NetCDF files
File : 2903008_meta.nc - 2903008_prof.nc -

2903009 - Existing NetCDF files
File : 2903009_meta.nc - 2903009_prof.nc -

2903010 - Existing NetCDF files
File : 2903010_meta.nc - 2903010_prof.nc -

2903011 - Existing NetCDF files
File : 2903011_meta.nc - 2903011_prof.nc -

2903012 - Existing NetCDF files
File : 2903012_meta.nc - 2903012_prof.nc -

2903013 - Existing NetCDF files
File : 2903013_meta.nc - 2903013_prof.nc -

2903014 - Existing NetCDF files
File : 2903014_meta.nc - 2903014_prof.nc -

2903165 - Existing NetCDF files
File : 2903165_meta.nc - 2903165_prof.nc -

2903166 - Existing NetCDF files
File : 2903166_meta.nc - 2903166_prof.nc -

2903167 - Existing NetCDF files
File : 2903167_meta.nc - 2903167_prof.nc -

2903168 - Existing NetCDF files
File : 2903168_meta.nc - 2903168_prof.nc -

2903169 - Existing NetCDF files
File : 2903169_meta.nc - 2903169_prof.nc -

2903170 - Existing NetCDF files
File : 2903170_meta.nc - 2903170_prof.nc -

2903171 - Existing NetCDF files
File : 2903171_meta.nc - 2903171_prof.nc -

2903172 - Existing NetCDF files
File : 2903172_meta.nc - 2903172_prof.nc -

2903173 - Existing NetCDF files
File : 2903173_meta.nc - 2903173_prof.nc -

2903174 - Existing NetCDF files
File : 2903174_meta.nc - 2903174_prof.nc -

2903175 - Existing NetCDF files
File : 2903175_meta.nc - 2903175_prof.nc -

2903176 - Existing NetCDF files
File : 2903176_meta.nc - 2903176_prof.nc -

2903209 - Existing NetCDF files
File : 2903209_Sprof.nc - 2903209_meta.nc - 2903209_prof.nc -

2903210 - Existing NetCDF files
File : 2903210_Sprof.nc - 2903210_meta.nc - 2903210_prof.nc -

2903211 - Existing NetCDF files
File : 2903211_meta.nc - 2903211_prof.nc

2903212 - Existing NetCDF files
File : 2903212_Sprof.nc - 2903212_meta.nc - 2903212_prof.nc -

2903213 - Existing NetCDF files
File : 2903213_meta.nc - 2903213_prof.nc -

2903327 - Existing NetCDF files
File : 2903327_meta.nc - 2903327_prof.nc -

2903329 - Existing NetCDF files
File : 2903329_meta.nc - 2903329_prof.nc -

2903330 - Existing NetCDF files
File : 2903330_meta.nc - 2903330_prof.nc -

2903346 - Existing NetCDF files
File : 2903346_meta.nc - 2903346_prof.nc -

2903347 - Existing NetCDF files
File : 2903347_meta.nc - 2903347_prof.nc -

2903350 - Existing NetCDF files
File : 2903350_meta.nc - 2903350_prof.nc -

2903351 - Existing NetCDF files
File : 2903351_meta.nc - 2903351_prof.nc -

2903352 - Existing NetCDF files
File : 2903352_meta.nc - 2903352_prof.nc

2903353 - Existing NetCDF files
File : 2903353_Sprof.nc - 2903353_meta.nc - 2903353_prof.nc

2903354 - Existing NetCDF files
File : 2903354_Sprof.nc - 2903354_meta.nc - 2903354_prof.nc

2903356 - Existing NetCDF files
File : 2903356_meta.nc - 2903356_prof.nc -

2903357 - Existing NetCDF files
File : 2903357_meta.nc - 2903357_prof.nc -

2903359 - Existing NetCDF files
File : 2903359_meta.nc - 2903359_prof.nc -

2903360 - Existing NetCDF files
File : 2903360_meta.nc - 2903360_prof.nc -

2903362 - Existing NetCDF files
File : 2903362_meta.nc - 2903362_prof.nc -

2903363 - Existing NetCDF files
File : 2903363_meta.nc - 2903363_prof.nc -

2903364 - Existing NetCDF files
File : 2903364_meta.nc - 2903364_prof.nc -

2903365 - Existing NetCDF files
File : 2903365_meta.nc - 2903365_prof.nc -

2903366 - Existing NetCDF files
File : 2903366_meta.nc - 2903366_prof.nc -

2903367 - Existing NetCDF files
File : 2903367_meta.nc - 2903367_prof.nc -

2903368 - Existing NetCDF files
File : 2903368_meta.nc - 2903368_prof.nc -

2903369 - Existing NetCDF files
File : 2903369_meta.nc - 2903369_prof.nc -

2903370 - Existing NetCDF files
File : 2903370_meta.nc - 2903370_prof.nc -

2903371 - Existing NetCDF files
File : 2903371_meta.nc - 2903371_prof.nc -

2903372 - Existing NetCDF files
File : 2903372_meta.nc - 2903372_prof.nc -

2903373 - Existing NetCDF files
File : 2903373_meta.nc - 2903373_prof.nc -

2903374 - Existing NetCDF files
File : 2903374_meta.nc - 2903374_prof.nc -

2903375 - Existing NetCDF files
File : 2903375_meta.nc - 2903375_prof.nc -

2903376 - Existing NetCDF files
File : 2903376_meta.nc - 2903376_prof.nc -

2903377 - Existing NetCDF files
File : 2903377_meta.nc - 2903377_prof.nc -

2903378 - Existing NetCDF files
File : 2903378_meta.nc - 2903378_prof.nc -

2903379 - Existing NetCDF files
File : 2903379_meta.nc - 2903379_prof.nc -

2903380 - Existing NetCDF files
File : 2903380_meta.nc - 2903380_prof.nc -

2903381 - Existing NetCDF files
File : 2903381_meta.nc - 2903381_prof.nc -

2903382 - Existing NetCDF files
File : 2903382_meta.nc - 2903382_prof.nc -

2903383 - Existing NetCDF files
File : 2903383_meta.nc - 2903383_prof.nc -

2903384 - Existing NetCDF files
File : 2903384_meta.nc - 2903384_prof.nc -

2903385 - Existing NetCDF files
File : 2903385_meta.nc - 2903385_prof.nc -

2903386 - Existing NetCDF files
File : 2903386_meta.nc - 2903386_prof.nc -

2903387 - Existing NetCDF files
File : 2903387_meta.nc - 2903387_prof.nc -

2903389 - Existing NetCDF files
File : 2903389_meta.nc - 2903389_prof.nc -

2903390 - Existing NetCDF files
File : 2903390_meta.nc - 2903390_prof.nc -

2903391 - Existing NetCDF files
File : 2903391_meta.nc - 2903391_prof.nc -

2903394 - Existing NetCDF files
File : 2903394_Sprof.nc - 2903394_meta.nc - 2903394_prof.nc -

2903395 - Existing NetCDF files
File : 2903395_Sprof.nc - 2903395_meta.nc - 2903395_prof.nc -

2903397 - Existing NetCDF files
File : 2903397_meta.nc - 2903397_prof.nc -

2903398 - Existing NetCDF files
File : 2903398_meta.nc - 2903398_prof.nc

2903399 - Existing NetCDF files
File : 2903399_meta.nc - 2903399_prof.nc -

2903400 - Existing NetCDF files
File : 2903400_meta.nc - 2903400_prof.nc -

2903401 - Existing NetCDF files
File : 2903401_meta.nc - 2903401_prof.nc -

2903402 - Existing NetCDF files

File : 2903402_meta.nc - 2903402_prof.nc -

2903403 - Existing NetCDF files
File : 2903403_meta.nc - 2903403_prof.nc -

2903404 - Existing NetCDF files
File : 2903404_meta.nc - 2903404_prof.nc -

2903605 - Existing NetCDF files
File : 2903605_meta.nc - 2903605_prof.nc -

2903606 - Existing NetCDF files
File : 2903606_meta.nc - 2903606_prof.nc -

2903607 - Existing NetCDF files
File : 2903607_meta.nc - 2903607_prof.nc -

2903608 - Existing NetCDF files
File : 2903608_meta.nc - 2903608_prof.nc -

2903609 - Existing NetCDF files
File : 2903609_meta.nc - 2903609_prof.nc -

2903610 - Existing NetCDF files
File : 2903610_meta.nc - 2903610_prof.nc -

2903611 - Existing NetCDF files
File : 2903611_meta.nc - 2903611_prof.nc -

2903612 - Existing NetCDF files
File : 2903612_meta.nc - 2903612_prof.nc -

2903616 - Existing NetCDF files
File : 2903616_meta.nc - 2903616_prof.nc -

2903617 - Existing NetCDF files
File : 2903617_meta.nc - 2903617_prof.nc -

3902388 - Existing NetCDF files
File : 3902388_meta.nc - 3902388_prof.nc -

3902389 - Existing NetCDF files
File : 3902389_meta.nc - 3902389_prof.nc -

3902390 - Existing NetCDF files
File : 3902390_meta.nc - 3902390_prof.nc -

3902392 - Existing NetCDF files
File : 3902392_meta.nc - 3902392_prof.nc -

3902393 - Existing NetCDF files
File : 3902393_meta.nc - 3902393_prof.nc -

3902394 - Existing NetCDF files
File : 3902394_meta.nc - 3902394_prof.nc -

4900293 - Existing NetCDF files
File : 4900293_Rtraj.nc - 4900293_meta.nc - 4900293_tech.nc -

4902378 - Existing NetCDF files
File : 4902378_meta.nc - 4902378_prof.nc -

4902380 - Existing NetCDF files
File : 4902380_meta.nc - 4902380_prof.nc -

4902981 - Existing NetCDF files
File : 4902981_Rtraj.nc - 4902981_meta.nc - 4902981_prof.nc -

4902982 - Existing NetCDF files
File : 4902982_meta.nc - 4902982_prof.nc -

4902983 - Existing NetCDF files
File : 4902983_meta.nc - 4902983_prof.nc -

4902984 - Existing NetCDF files
File : 4902984_meta.nc - 4902984_prof.nc -

4902985 - Existing NetCDF files
File : 4902985_meta.nc - 4902985_prof.nc -

4902986 - Existing NetCDF files
File : 4902986_meta.nc - 4902986_prof.nc -

4902987 - Existing NetCDF files
File : 4902987_meta.nc - 4902987_prof.nc -

4902988 - Existing NetCDF files
File : 4902988_meta.nc - 4902988_prof.nc

4902992 - Existing NetCDF files
File : 4902992_meta.nc - 4902992_prof.nc

5900277 - Existing NetCDF files
File : 5900277_Rtraj.nc - 5900277_meta.nc - 5900277_tech.nc -

5901582 - Existing NetCDF files
File : 5901582_meta.nc - 5901582_prof.nc - 5901582_tech.nc -

5901937 - Existing NetCDF files
File : 5901937_Rtraj.nc - 5901937_meta.nc - 5901937_prof.nc -

5904937 - Existing NetCDF files
File : 5904937_meta.nc - 5904937_prof.nc -

5905062 - Existing NetCDF files
File : 5905062_Sprof.nc - 5905062_meta.nc - 5905062_prof.nc -

5905063 - Existing NetCDF files
File : 5905063_meta.nc - 5905063_prof.nc -

5905218 - Existing NetCDF files
File : 5905218_Sprof.nc - 5905218_meta.nc - 5905218_prof.nc

5905223 - Existing NetCDF files
File : 5905223_Sprof.nc - 5905223_meta.nc - 5905223_prof.nc

5905224 - Existing NetCDF files
File : 5905224_meta.nc - 5905224_prof.nc -

5905225 - Existing NetCDF files
File : 5905225_meta.nc - 5905225_prof.nc -

5905226 - Existing NetCDF files
File : 5905226_meta.nc - 5905226_prof.nc -

5905227 - Existing NetCDF files
File : 5905227_meta.nc - 5905227_prof.nc -

5905228 - Existing NetCDF files
File : 5905228_meta.nc - 5905228_prof.nc -

5905229 - Existing NetCDF files
File : 5905229_Sprof.nc - 5905229_meta.nc - 5905229_prof.nc -

5905232 - Existing NetCDF files
File : 5905232_Sprof.nc - 5905232_meta.nc - 5905232_prof.nc -

5905233 - Existing NetCDF files
File : 5905233_meta.nc - 5905233_prof.nc -

5905834 - Existing NetCDF files
File : 5905834_meta.nc - 5905834_prof.nc -

5905835 - Existing NetCDF files
File : 5905835_meta.nc - 5905835_prof.nc -

5905836 - Existing NetCDF files
File : 5905836_meta.nc - 5905836_prof.nc -

5905837 - Existing NetCDF files
File : 5905837_meta.nc - 5905837_prof.nc -

5905838 - Existing NetCDF files
File : 5905838_meta.nc - 5905838_prof.nc -

5905839 - Existing NetCDF files
File : 5905839_meta.nc - 5905839_prof.nc -

5905840 - Existing NetCDF files
File : 5905840_meta.nc - 5905840_prof.nc -

5905841 - Existing NetCDF files
File : 5905841_meta.nc - 5905841_prof.nc -

5905842 - Existing NetCDF files
File : 5905842_meta.nc - 5905842_prof.nc -

5905843 - Existing NetCDF files
File : 5905843_meta.nc - 5905843_prof.nc -

5905844 - Existing NetCDF files
File : 5905844_meta.nc - 5905844_prof.nc -

5905845 - Existing NetCDF files
File : 5905845_meta.nc - 5905845_prof.nc -

5905846 - Existing NetCDF files
File : 5905846_meta.nc - 5905846_prof.nc -

5905848 - Existing NetCDF files
File : 5905848_meta.nc - 5905848_prof.nc -

5905849 - Existing NetCDF files
File : 5905849_meta.nc - 5905849_prof.nc -

5905851 - Existing NetCDF files
File : 5905851_meta.nc - 5905851_prof.nc -

5905852 - Existing NetCDF files
File : 5905852_meta.nc - 5905852_prof.nc -

5905853 - Existing NetCDF files
File : 5905853_meta.nc - 5905853_prof.nc -

5905854 - Existing NetCDF files
File : 5905854_meta.nc - 5905854_prof.nc -

5905855 - Existing NetCDF files
File : 5905855_meta.nc - 5905855_prof.nc -

5905856 - Existing NetCDF files
File : 5905856_meta.nc - 5905856_prof.nc -

5905860 - Existing NetCDF files
File : 5905860_meta.nc - 5905860_prof.nc -

5905861 - Existing NetCDF files
File : 5905861_meta.nc - 5905861_prof.nc -

5905862 - Existing NetCDF files
File : 5905862_meta.nc - 5905862_prof.nc -

5905863 - Existing NetCDF files
File : 5905863_meta.nc - 5905863_prof.nc -

5905864 - Existing NetCDF files
File : 5905864_meta.nc - 5905864_prof.nc -

5905865 - Existing NetCDF files
File : 5905865_meta.nc - 5905865_prof.nc -

5905875 - Existing NetCDF files
File : 5905875_meta.nc - 5905875_prof.nc -

5905876 - Existing NetCDF files
File : 5905876_meta.nc - 5905876_prof.nc -

5905877 - Existing NetCDF files
File : 5905877_meta.nc - 5905877_prof.nc -

5905878 - Existing NetCDF files
File : 5905878_meta.nc - 5905878_prof.nc -

5905879 - Existing NetCDF files
File : 5905879_meta.nc - 5905879_prof.nc -

5905881 - Existing NetCDF files
File : 5905881_meta.nc - 5905881_prof.nc -

5905882 - Existing NetCDF files
File : 5905882_meta.nc - 5905882_prof.nc -

7900024 - Existing NetCDF files
File : 7900024_Rtraj.nc - 7900024_meta.nc - 7900024_tech.nc -

7900025 - Existing NetCDF files
File : 7900025_Rtraj.nc - 7900025_meta.nc - 7900025_tech.nc -

7900599 - Existing NetCDF files
File : 7900599_meta.nc - 7900599_prof.nc -

7900600 - Existing NetCDF files
File : 7900600_meta.nc - 7900600_prof.nc -

7900601 - Existing NetCDF files
File : 7900601_meta.nc - 7900601_prof.nc -

7900652 - Existing NetCDF files
File : 7900652_meta.nc - 7900652_prof.nc -

7900653 - Existing NetCDF files
File : 7900653_meta.nc - 7900653_prof.nc -

7900654 - Existing NetCDF files
File : 7900654_meta.nc - 7900654_prof.nc -

7900655 - Existing NetCDF files
File : 7900655_meta.nc - 7900655_prof.nc -

7900657 - Existing NetCDF files
File : 7900657_meta.nc - 7900657_prof.nc -

7900658 - Existing NetCDF files
File : 7900658_meta.nc - 7900658_prof.nc -

7900660 - Existing NetCDF files
File : 7900660_meta.nc - 7900660_prof.nc -

7900691 - Existing NetCDF files
File : 7900691_meta.nc - 7900691_prof.nc –

7900863 - Existing NetCDF files
File : 7900863_Sprof.nc - 7900863_meta.nc - 7900863_prof.nc -

7900864 - Existing NetCDF files
File : 7900864_meta.nc - 7900864_prof.nc -

7900866 - Existing NetCDF files
File : 7900866_meta.nc - 7900866_prof.nc -

7900868 - Existing NetCDF files
File : 7900868_meta.nc - 7900868_prof.nc -

7900872 - Existing NetCDF files
File : 7900872_meta.nc - 7900872_prof.nc -

7900873 - Existing NetCDF files
File : 7900873_meta.nc - 7900873_prof.nc

7900881 - Existing NetCDF files
File : 7900881_Mprof.nc - 7900881_meta.nc - 7900881_prof.nc

7.8. KMA

For some floats :

- tech.nc - is missing (meta.nc - , traj.nc - and prof.nc - files existing)
- multiprof.nc - is missing (no profiles but tech, traj, meta exist)

See below the list of floats with existing nc files :

DAC name : kma – Number of floats : 253
2901213 - Existing nc files
File : 2901213_Rtraj.nc - 2901213_meta.nc - 2901213_prof.nc -

2901731 - Existing nc files
File : 2901731_meta.nc - 2901731_prof.nc

7.9. KORDI/KIOST

For some floats :

- tech.nc - is missing (meta.nc - , traj.nc - and prof.nc - files existing)
- only meta and traj files (no monoprofile, no tech.nc -)

See below the list of floats with existing nc files :
DAC name : kiost – Number of floats : 109
2901779 - Existing nc files
File : 2901779_meta.nc - 2901779_prof.nc - 2901779_tech.nc -

2901780 - Existing nc files
File : 2901780_meta.nc - 2901780_prof.nc - 2901780_tech.nc -

7.10. MEDS

For some floats :

- traj file missing

See below the list of floats with existing nc files :
DAC name : meds – Number of floats : 589

7.11. NMDIS

For some floats :

-

See below the list of floats with existing nc files :

DAC name : nmdis – Number of floats : 19